

## CUPRINS:

<b>1. INTRODUCERE .....</b>	<b>pag. 7</b>
1.1. Originea și scopul geometriei descriptive.....	7
1.2. Scurt istoric.....	7
1.3. Sisteme de proiecție.....	8
1.4. Proprietăți geometrice ale proiecțiilor.....	9
<b>2. REPREZENTAREA PUNCTULUI .....</b>	<b>pag. 11</b>
2.1. Proiecția dublu ortogonală.....	11
2.2. Epura punctului.....	12
2.3. Plane bisectoare.....	13
2.4. Alfabetul descriptiv al punctului.....	14
2.5. Tripla proiecție ortogonală.....	14
2.6. Aplicații.....	16
<b>3. REPREZENTAREA DREPTEI.....</b>	<b>pag. 22</b>
3.1. Epura și urmele drepte.....	22
3.2. Proiecția drepte pe planul lateral.....	23
3.3. Citirea epurei unei drepte.....	23
3.4. Drepte în poziții particulare față de planele de proiecție.....	25
3.4.1. Drepte paralele cu planele de proiecție .....	25
3.4.2. Drepte conținute în planele de proiecție.....	26
3.4.3. Drepte perpendiculare pe planele de proiecție.....	27
3.4.4. Dreapta perpendiculară pe linia pământului .....	28
3.4.5. Dreapta care intersectează linia pământului.....	28
3.5. Pozițiile relative a două drepte.....	29
3.5.1. Drepte paralele .....	29
3.5.2. Drepte concurente.....	30
3.5.3. Drepte oarecare.....	32
3.6. Proiecția unghiurilor plane.....	33
3.7. Aplicații.....	34
<b>4. REPREZENTAREA PLANULUI.....</b>	<b>pag. 37</b>
4.1. Urmele planului.....	37
4.2. Drepte conținute în plan.....	39
4.2.1. Dreapta oarecare.....	39
4.2.2. Drepte particulare ale planului.....	39
4.2.3. Drepte de cea mai mare pantă ale planului (d.d.c.m.m.p.).....	41
4.3. Punct conținut în plan.....	42
4.4. Plane în poziții particulare față de planele de proiecție.....	43
4.4.1. Plane perpendiculare pe planele de proiecție .....	43
4.4.2. Plane paralele cu planele de proiecție.....	45
4.5. Pozițiile relative a două plane.....	46
4.6. Pozițiile relative ale drepte față de plan.....	49
4.7. Aplicații.....	51

<b>5. POLIEDRE .....</b>	<b>pag.</b>	<b>55</b>
5.1. Generalități.....		55
5.2. Reguli de reprezentare.....		56
5.3. Punct curent pe suprafața unui poliedru.....		58
5.4. Secțiuni plane în poliedre.....		58
5.4.1. Secțiuni cu plane proiectante.....		58
5.4.2. Secțiuni cu plane oarecare. ....		59
5.5. Intersecția unei drepte cu un poliedru.....		61
5.6. Desfășurarea poliedrelor.....		62
5.6.1. Piramida oblică .....		63
5.6.2. Trunchi de piramidă.....		64
5.6.3. Prisma dreaptă.....		64
5.6.4. Prisma oblică.....		65
5.7. Aplicații .....		66
 <b>6. CORPURI DE ROTAȚIE.....</b>	 <b>pag.</b>	 <b>71</b>
6.1. Generalități. Reguli de reprezentare.....		71
6.1.1. Conul oblic.....		71
6.1.2. Cilindru oblic.....		72
6.1.3. Sfera.....		72
6.2. Plane tangente la suprafață.....		73
6.3. Secțiuni plane în suprafețe curbe.....		74
6.3.1. Secțiuni cu plane proiectante.....		75
6.3.2. Secțiuni cu plane oarecare.....		76
6.3.3. Secțiuni plane în conul de rotație.....		79
6.4. Intersecții de drepte cu suprafețe curbe.....		81
6.4.1. Con oblic intersectat de o dreaptă oarecare.....		81
6.4.2. Intersecția unei drepte cu un cilindru oblic.....		82
6.4.3. O dreaptă oarecare intersectează o sferă.....		82
6.5. Desfășurarea suprafețelor curbe.....		83
6.5.1. Desfășurata suprafeței laterale a unui con circular drept.....		83
6.5.2. Desfășurata trunchiului de con.....		83
6.5.3. Desfășurata suprafeței laterale a unui cilindru circular drept.....		84
6.6. Aplicații.....		85
 <b>7. INTERSECȚII DE CORPURI.....</b>	 <b>pag.</b>	 <b>89</b>
7.1. Clasificări. Metoda planelor auxiliare.....		89
7.2. Intersecții de poliedre.....		91
7.3. Intersecții de suprafețe cilindro-conice.....		95
7.4. Intersecții de poliedre cu suprafețe curbe.....		97
7.5. Aplicații.....		99

<b>8. SUPRAFEȚE RIGLATE.....</b>	<b>pag.</b>	<b>102</b>
8.1. Suprafețele riglate de rotație.....		102
8.2. Suprafețe riglate cu plan director.....		103
8.2.1. <i>Cilindroidul</i> .....		104
8.2.2. <i>Conoidul</i> .....		104
8.2.3. <i>Paraboloidul hiperbolic</i> .....		105
<b>9. REPREZENTĂRI AXONOMETRICE .....</b>	<b>pag.</b>	<b>107</b>
9.1. Generalități. Clasificare.....		107
9.2. Axonometria oblică.....		113
9.2.1. <i>Axonometria oblică oarecare</i> .....		113
9.2.2. <i>Axonometria oblică frontală</i> .....		113
9.2.3. <i>Axonometria oblică orizontală</i> .....		114
9.3. Axonometria ortogonală.....		117
9.3.1. <i>Generalități</i> .....		117
9.3.2. <i>Axonometria izometrică, dimetrică și anizometrică</i> .....		118
9.4. Aplicații.....		119
<b>10. ACOPERIȘURI.....</b>	<b>pag.</b>	<b>123</b>
10.1. Generalități.....		123
10.2. Urmărirea elementelor acoperișului.....		124
10.2.1. <i>Acoperiș cu versanți de pante egale</i> .....		124
10.2.2. <i>Acoperișuri cu versanți de pante diferite</i> .....		126
10.2.3. <i>Acoperișuri denivelate cu versanții de pante egale</i> .....		127
<b>11. PERSPECTIVA GEOMETRICĂ.....</b>	<b>pag.</b>	<b>129</b>
11.1. Generalități.....		129
11.1.1. <i>Condițiile unei bune perspective</i> .....		129
11.1.2. <i>Clasificarea perspectivelor după direcția principală de privire</i> .....		130
11.1.3. <i>Elementele sistemului perspectiv de reprezentare</i> .....		131
11.1.4. <i>Metoda lui Leonardo da Vinci</i> .....		132
11.1.5. <i>Pregătirea geometralului</i> .....		133
11.2. Perspectiva punctului.....		135
11.3. Perspectiva dreptelor.....		136
11.3.1. <i>Perspectiva dreptei de nivel</i> .....		137
11.3.2. <i>Perspectiva dreptei principale</i> .....		138
11.3.3. <i>Perspectiva dreptei verticale</i> .....		139
11.4. Perspectiva planului și a figurilor plane.....		139
11.5. Perspectiva elementelor din spațiu.....		142
11.5.1. <i>Perspectiva directă a punctelor din spațiu</i> .....		142
11.5.2. <i>Perspectiva cu ajutorul elementelor din planul orizontal</i> .....		145
11.6. Aplicații.....		146

**12.UMBRE.....pag. 153**

12.1.Umbra punctului..... 153

12.2.Umbra drepte..... 156

12.3.Umbra paralelipipedului..... 157

**13. PROBLEME.....pag. 158**

13.1. Punctul..... 158

13.2. Dreapta ..... 158

13.3. Planul..... 160

13.4. Poliedre..... 162

13.5. Corpuri rotunde..... 163

13.6. Intersecții de corpuri..... 164

13.7. Axonometrie..... 164

13.8. Desfășurări,secțiuni..... 165

13.9. Perspectivă..... 176

**BIBLIOGRAFIE..... pag. 179**



## 1. INTRODUCERE

### 1.1. Originea și scopul geometriei descriptive

Nevoia de a reprezenta, obiectele din spațiu prin desene este pentru om o necesitate comparabilă cu aceea de a exprima graiul prin scris. După cum a inventat scrisul pentru a fixa ceea ce vorbește, omul a imaginat desenul pentru a exprima ceea ce vede. Acest îndemn natural a dat naștere diverselor sisteme convenționale de reprezentare imaginate de-a lungul secolelor, conform cărora, orice obiect din spațiu este reprezentat printr-o imagine plană construită după anumite reguli, numită desen. Din toate sistemele imaginate, au rămas azi în uz doar cele consacrate de practică, mai ales în arhitectură și construcții.

Problema este de a desena, pe o foaie de hârtie, deci pe o suprafață plană cu numai două dimensiuni, un obiect din spațiu având trei dimensiuni. Metoda de rezolvare a acestei probleme este cea geometrică; ea constă în utilizarea regulilor geometriei care stabilesc legătura dintre obiectul din spațiu și imaginea lui pe hârtie. Aceste reguli trebuie cunoscute atât de cel care alcătuiește desenul cât și de cel care îl citește. Astfel, pentru a putea proiecta o clădire și a construi apoi clădirea după proiect, regulile de reprezentare trebuie cunoscute atât de proiectant cât și de executant.

Deprinderea de a reprezenta corpurile din spațiu prin imagini plane și respectiv de a imagina corpurile în spațiu prin simpla citire a desenelor, duce la rezolvarea așa-numitei „vederi în spațiu”, însușire de primă importanță pentru inginerul constructor sau arhitect.

### 1.2. Scurt istoric

Problema reprezentării corpurilor pe un plan a fost una din preocupările omului încă din cele mai vechi timpuri. Ea a apărut, sub diferite forme, în două domenii: în artă, îndeosebi în pictură și în tehnică, mai ales în proiectarea clădirilor.

Grecii și romanii alcătuiesc decoruri scenice care dau spectatorului iluzia realității, ce se vor numi apoi perspective. Arhitectul roman **Vitruvius** (sec.I) utilizează în tratatul său „De arhitectura” reprezentarea clădirilor prin două vederi care corespund cu ceea ce numim astăzi „planul” și „elevația”. Necesitatea de a tăia cu exactitate blocurile de piatră pentru monumente după anumite forme geometrice, a dus în Evul Mediu la planurile de tăiere a pietrelor, adică „epurele de stereotomie”.

În timpul Renașterii, perspectiva cunoaște o largă dezvoltare atât în domeniul picturii cât și în cel al arhitecturii. Ea intră apoi în preocuparea geometrilor și evoluează spre o doctrină de investigație pur geometrică.

Sfârșitul secolului al XVIII-lea (1798) aduce apariția tratatului de geometrie descriptivă al savantului revoluționar francez Gaspard Monge. Acesta adună, analizează și sistematizează materialul existent și elaborează, având în vedere nevoile reprezentărilor tehnice, sistemul dublei proiecții ortogonale. Începând cu această dată, geometria descriptivă devine o disciplină care se răspândește încetul cu încetul în toate școlile tehnice din Europa.

În țara noastră, geometria descriptivă este introdusă în școlile ingineresti în anul 1812 de către Gh. Asachi la Iași și în 1818 de Gh. Lazăr la București. Prima geometrie descriptivă în limba română apare în 1851 și este o traducere din limba franceză făcută de Alex. Orăscu. Printre profesorii care și-au legat numele de această disciplină se amintesc: A. Costenescu, M. Gapuțineanu, N. Ureche, E. Pangrati, Gh. Nichifor, A. Tănăsescu, etc.

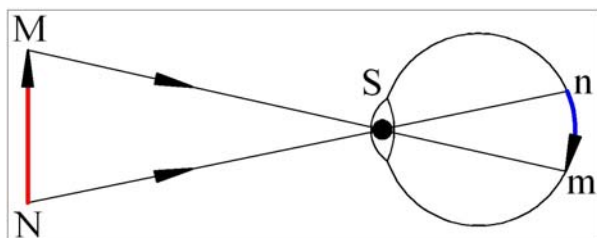
Geometria descriptivă astăzi, trăiește legată de domeniile tehnice care i-au dat naștere și are drept scop expunerea sistemelor de reprezentare consacrate de practică, în

spirit geometric și pe o bază științifică bine fundamentată. Alături de alte discipline teoretice, ea are menirea să formeze gândirea tehnicianului, arhitect și constructor.

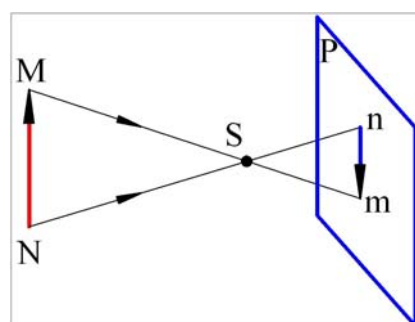
### 1.3. Sisteme de proiecție

**Definiții.** Sistemele de reprezentare utilizează metoda proiecțiilor, care își are inspirația în mecanismul vederii monoculare a omului. Conform acestuia, razele care pornesc din punctele luminoase ale obiectului **MN**, trec prin lentila convergentă a cristalinului și formează imaginea **mn** pe fundul ochiului, pe membrana sensibilă a retinei (figura 1.1,a).

În mod convențional, sistemul poate fi redus la o schemă geometrică simplă (figura 1.1,b), dacă se înlocuiește lentila cristalinului cu un punct fix, **S**, **numit centru de proiecție**, sau punct de vedere, pentru a păstra legătura cu ochiul omenesc, iar membrana sensibilă a retinei cu un ecran **plan P**, **numit plan de proiecție**. În acest sistem **razele luminoase devin proiectantele obiectului**, iar **imaginea obținută pe ecranul plan, proiecția obiectului**.



a)



b)

Fig. 1.1. Mecanismul vederii (a) și schema lui (b).

Poziția relativă a planului de proiecție față de obiect și centrul de proiecție poate fi oarecare. Dacă se pune obiectul între planul de proiecție și punctul de vedere (figura 1.2), apare clar originea cuvântului „a proiecta”: toate punctele obiectului sunt aruncate înainte de-a lungul proiectantelor, până pe ecranul plan unde formează imaginea.

**A proiecta un corp pe un plan oarecare înseamnă a duce, dintr-un centru de proiecție dat, raze proiectante prin punctele caracteristice ale corpului și a determina apoi punctele în care aceste proiectante intersectează planul dat.**

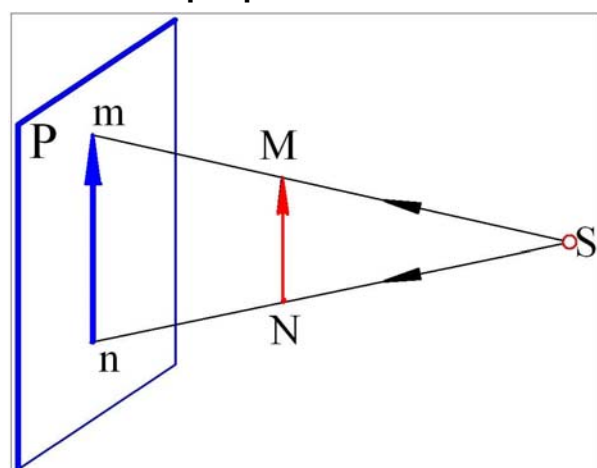


Fig.1.2.Proiecția segmentului MN.

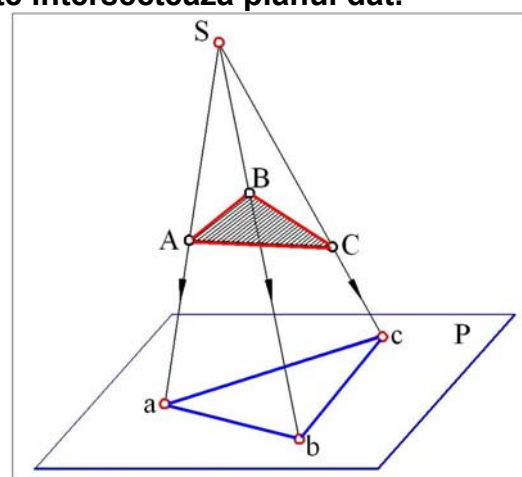


Fig.1.3.Proiecția triunghiului ABC.

Astfel, fie un triunghi opac **ABC**, punctul **S** este centrul de proiecție, iar planul **P**, planul de proiecție (figura 1.3). Dacă din centrul ales **S** se duc proiectantele **SA**, **SB** și **SC** prin vârfurile triunghiului, se determină la intersecția acestora cu planul dat **P**, punctele **a**,

## Geometrie descriptivă

$b$  și  $c$ , proiecțiile punctelor  $A$ ,  $B$  și  $C$ . Triunghiul  $abc$  reprezintă proiecția din centrul  $S$ , a triunghiului din spațiu  $ABC$ , pe planul de proiecție  $P$ .

Dacă pozițiile triunghiului-obiect  $ABC$  și a planului de proiecție  $P$  rămân neschimbate, se vede că imaginea-proiecție  $abc$  depinde de poziția centrului de proiecție  $S$ .

Dacă centrul  $S$  se deplasează pe o dreaptă oarecare  $D$  (figura 1.4) în pozițiile  $S_1$ ,  $S_2$ , ..., proiecțiile triunghiului  $ABC$  devin respectiv  $a_1, b_1, c_1$ ,  $a_2, b_2, c_2$ ,...

**Dacă centrul de proiecție este la distanță finită față de planul de proiecție (pozițiile  $S_1$  și  $S_2$ ), proiectantele apar concurente în centrul de proiecție iar *proiecția se numește conică sau centrală*.**

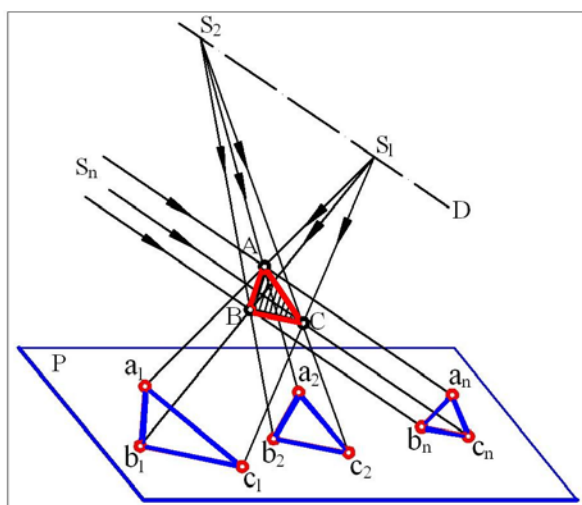


Fig.1.4. Proiecții centrale( $S_1$ ,  $S_2$ ) și proiecție paralelă( $S_n$ );

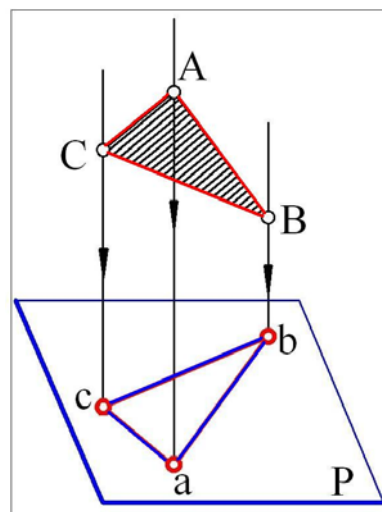


Fig.1.5. Proiecție paralelă, ortogonală.

**Dacă centrul de proiecție este la infinit ( $S_n$ ), proiectantele apar paralele cu dreapta  $D$ , numită direcție de proiecție și *proiecția devine cilindrică sau paralelă*.**

**Proiecția cilindrică sau paralelă poate fi oblică** când direcția de proiecție este înclinată față de planul de proiecție (figura 1.4), **sau ortogonală** pentru o direcție de proiecție perpendiculară pe planul de proiecție (figura 1.5). În sistemele de reprezentare a clădirilor se utilizează atât proiecția centrală, cât și cea paralelă, mai ales cea ortogonală.

Deoarece, mecanismul vederii omului se bazează pe proiecția centrală, ori de câte ori se urmărește să se redea obiectul care trebuie reprezentat așa cum îl vede ochiul, deci cât mai natural, se utilizează proiecția centrală. Proiecția paralelă este folosită la reprezentările care au drept scop să redea forma reală a obiectelor din spațiu, adică desene pe care să se poată face măsurători.

Obiectele din spațiu apar, în general, deformate prin proiecție. Această deformare se face însă după anumite legi geometrice specifice fiecărui sistem de proiecție.

### 1.4. Proprietăți geometrice ale proiecțiilor

- proiecția unui punct va fi tot un punct indiferent de sistemul de proiecție utilizat;
- dacă punctul aparține planului de proiecție, proiecția lui este tot în acel punct;
- dacă proiectanta este paralelă cu planul de proiecție, proiecția punctului va fi aruncată la infinit;
- proiecția unei drepte este de obicei, tot o dreaptă;

## Geometrie descriptivă

---

- urma unei drepte pe un plan de proiecție este punctul în care dreapta intersectează planul;
- proiecția conică a punctului de la infinit al drepte se numește punctul de fugă al drepte;
- un segment de dreaptă se proiectează pe un plan după un segment de lungime mai mică sau cel mult egală cu cel din spațiu;
- două drepte concurente în spațiu, au proiecțiile concurente;
- două drepte paralele în spațiu au proiecții paralele dacă se folosește proiecția cilindrică sau concurente dacă se utilizează proiecția conică;
- un unghi plan format de două drepte concurente în spațiu, se proiectează deformat pe un plan de proiecție;
- dacă planul format de cele două drepte este paralel cu planul de proiecție unghiul format de ele se proiectează în adevărata mărime;
- unghiul drept se proiectează ortogonal în adevărata mărime pe un plan dacă măcar o latură este paralelă cu acel plan;
- un plan oarecare se intersectează cu planul de proiecție după o dreaptă numită urma planului;
- un corp se proiectează pe un plan de proiecție după o singură proiecție care este insuficientă pentru determinarea corpului din spațiu,
- dubla și tripla proiecție ortogonală folosește două respectiv trei plane de proiecție.

## 2. REPREZENTAREA PUNCTULUI

### 2.1. Proiecția dublu ortogonală

Se consideră două plane perpendiculare  $H$  și  $V$  (figura 2.1), numite **plane de proiecție**. Dreapta de intersecție dintre planul orizontal de proiecție  $H$  și planul vertical de proiecție  $V$  se numește **linie de pământ** și se notează cu  $Ox$ .

Din intersecția planelor de proiecție rezultă patru semiplane delimitate de linia de pământ:

- semiplanul orizontal anterior,  $Ha$ ;
- semiplanul orizontal posterior,  $Hp$ ;
- semiplanul vertical superior,  $Vs$ ;
- semiplanul vertical inferior,  $Vi$ .

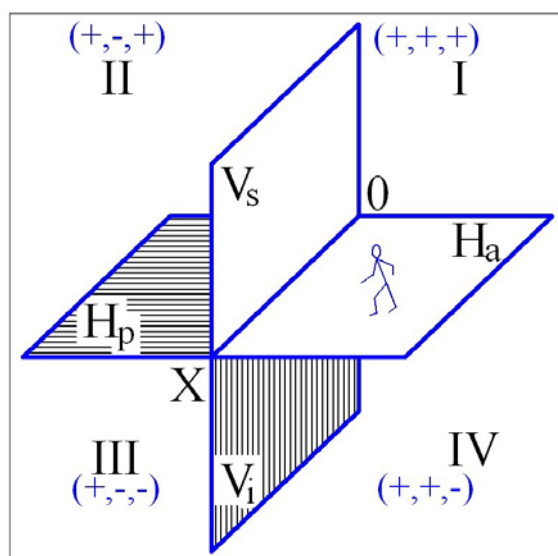


Fig. 2.1. Cele patru diedre de proiecție.

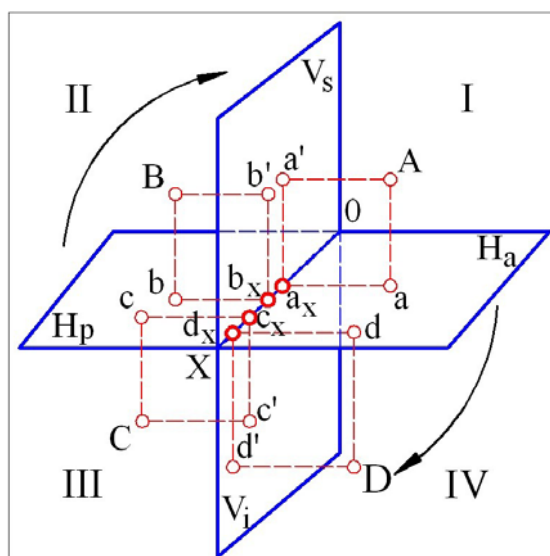


Fig. 2.2. Proiecția punctelor A, B, C, D.

**Planele de proiecție  $H$  și  $V$ , împart spațiul în patru unghiuri diedre.**

Acestea sunt:

- **diedrul I**, între semiplanele  $Ha$  și  $Vi$ ;
- **diedrul II**, între semiplanele  $Vs$  și  $Hp$ ;
- **diedrul III**, între semiplanele  $Hp$  și  $Vi$ ;
- **diedrul IV**, între semiplanele  $Vi$  și  $Ha$ .

Fie dat **punctul  $A$**  din spațiu, situat în **diedrul I** (figura 2.2). Se proiectează punctul  $A$ , ortogonal pe planele de proiecție  $H$  și  $V$ . Planele de proiecție fiind ortogonale, proiectantele sunt, de asemenea, ortogonale.

Proiectanta verticală din  $A$  întâlnește planul orizontal de proiecție  $H$  în punctul  $a$ , numit **proiecția orizontală a punctului  $A$** , iar proiectanta orizontală întâlnește planul vertical de proiecție  $V$ , în punctul  $a'$ , numit **proiecția verticală a punctului  $A$** .

**Sistemul dublu ortogonal de plane de proiecție, asociat cu proiecția ortogonală constituie sistemul de proiecție Monge.**

## 2.2. Epura punctului

Se consideră punctul **A** din spațiu, în **diedrul I** (figura 2.2). Proiecțiile sale pe planele de proiecție sunt **a** și **a'**. Planul proiectant **aAa'** este perpendicular pe axa **Ox** și o intersectează în punctul **a<sub>x</sub>**, punct ce poate fi considerat, și ca proiecția ortogonală a punctului **A** din spațiu pe axa **Ox**.

**Segmentul  $Oax$  reprezintă abscisa punctului A.** Cele două drepte **a<sub>x</sub>a** și **a<sub>x</sub>a'** sunt perpendiculare pe linia de pământ **Ox**.

**Segmentul  $Aa = a_xa'$  se numește cota punctului și măsoară distanța punctului A față de planul orizontal de proiecție.**

**Segmentul  $Aa' = a_xa$  măsoară distanța punctului față de planul vertical de proiecție și se numește depărtarea punctului.**

**Abscisa, cota și depărtarea sunt coordonatele descriptive ale punctului și definesc poziția acestuia în spațiu.**

Toate punctele situate deasupra planului orizontal au cotele pozitive (proiectate pe semiplanul vertical superior), după cum toate punctele aflate în fața planului vertical au depărtările pozitive (proiectate pe semiplanul orizontal anterior).

**Rotind planul H până la suprapunerea peste planul V**, proiecțiile **a** și **a'** ale punctului **A** se vor situa pe aceeași dreaptă, perpendiculară pe axa **Ox**, numită **linie de ordine**. Considerând și **alte puncte B, C și D** situate în **diedrele II, III și IV**, ele vor avea, după suprapunerea planelor de proiecție, proiecțiile **b-b'**, **c-c'** și respectiv **d-d'** situate pe aceeași linie de ordine (figura 2.3).

Rezultă astfel, o **reprezentare plană convențională a punctelor din spațiu, proiectate ortogonal pe planele de proiecție, utilizând numai linia de pământ, numită epură** (figura 2.4).

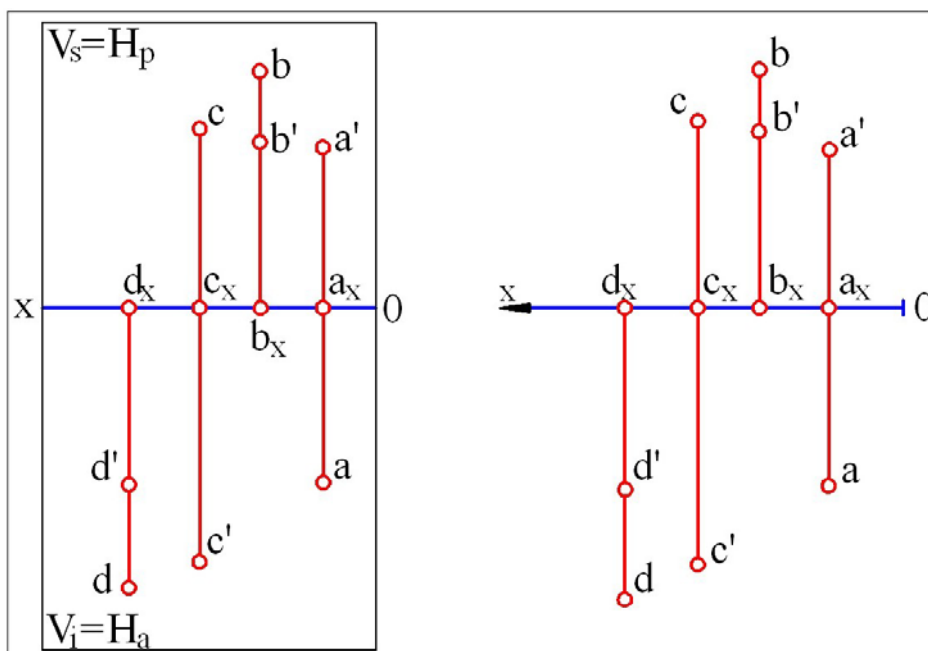


Fig. 2.3. Epura completă.

Fig.2.4. Epura simplificată.

Se observă că pe epură, depărtările pozitive (pentru punctele din diedrele I și IV) se măsoară sub linia de pământ, iar cele negative (pentru punctele din diedrele II și III) deasupra axei **Ox**.



De asemenea, cotele pozitive (pentru punctele din diedrele I și II) se măsoară deasupra liniei de pământ, iar cotele negative (pentru punctele din diedrele III și IV), sub axa  $Ox$ .

Poziția punctului în spațiu, în raport cu planele de proiecție, se determină după semnul coordonatelor sale descriptive, așa cum rezultă din tabelul 2.1.

De exemplu, punctul **B** având depărtarea negativă și cota pozitivă se află în diedrul II. Punctul **C**, cu depărtarea negativă și cota negativă se găsește în diedrul III, iar punctul **D** care are depărtarea pozitivă și cota negativă, este situat în diedrul IV (figura 2.4).

Tabelul 2.1.

Diedrul	I	II	III	IV
Depărtarea	+	-	-	+
Cota	+	+	-	-

## 2.3. Plane bisectoare

Planele care împart cele patru diedre în câte două unghiuri egale se numesc plane bisectoare. Astfel, primul plan bisector trece prin diedrele I și III, iar al doilea plan bisector prin diedrele II și IV (figura 2.5,a). Planele bisectoare împreună cu planele de proiecție împart spațiul în **opt unghiuri octante sau octanți**.

Planele bisectoare fiind definite ca locul geometric al punctelor din spațiu egal depărtate de planele de proiecție, rezultă că punctele situate în aceste plane **au cota egală cu depărtarea** și de același semn, dacă punctele sunt situate în **B I** și de semne contrare, dacă se află în **B II**.

Punctele **A** și **C** conținute în primul plan bisector **B I** și punctele **B** și **D** situate în al doilea plan bisector **B II**, (figura 2.5,a), sunt reprezentate în epură, în figura 2.5,b.

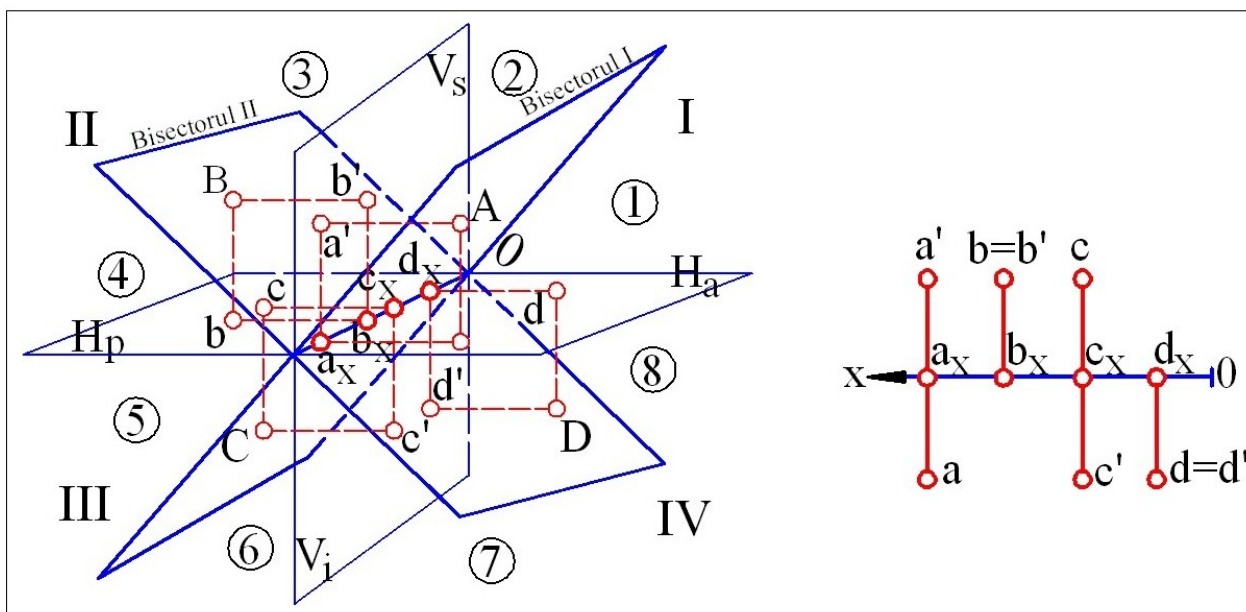


Fig.2.5. Punctele A, B, C, D aflate în planele bisectoare (a) și reprezentate în epură (b).

## 2.4. Alfabetul descriptiv al punctului

Un punct oarecare din spațiu poate ocupa 17 poziții caracteristice în raport cu semiplanele de proiecție și planele bisectoare în cei 8 octanți (fig.2.6). Astfel:

- punctul A este situat pe linia de pământ, **Ox**;
- punctul B este situat în semiplanul **Ha**;
- punctul C este situat în diedrul I, sub **[B I]**;
- punctul D este situat în diedrul I, fiind conținut în **[B I]**;
- punctul E este situat în diedrul I, deasupra planului **[B I]**;
- punctul F este situat în semiplanul **Vs**;
- punctul G este situat în diedrul II, deasupra planului **[B II]**;
- punctul I este situat în diedrul II, fiind conținut în **[B II]**;
- punctul J este situat în diedrul II, sub planul **[B II]**;
- punctul K este situat în semiplanul **Hp**;
- punctul L este situat în diedrul III deasupra planului **[B I]**;
- punctul M este situat în diedrul III, fiind conținut în **[B I]**;
- punctul K este situat în diedrul III sub planul **[B I]**;
- punctul L este situat în semiplanul **Vi**;
- punctul R este situat în diedrul IV, sub planul **[B II]**;
- punctul S este situat în diedrul IV, fiind conținut în **[B II]**;
- punctul T este situat în diedrul IV, deasupra planului **[B II]**.

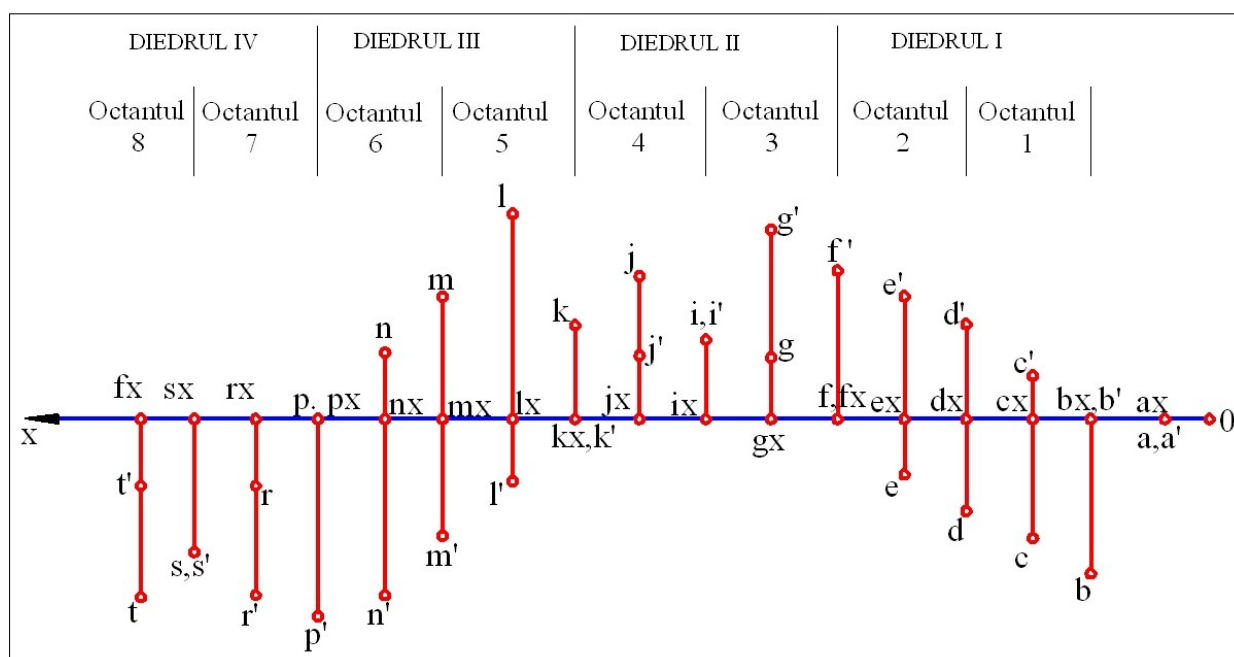


Fig.2.6. Alfabetul punctului.

Studiul pe epură al tuturor pozițiilor caracteristice ale unui punct, în raport cu planele de proiecție și planele bisectoare, constituie alfabetul descriptiv al punctului.

## 2.5. Tripla proiecție ortogonală

Reprezentarea în dublă proiecție ortogonală nu redă particularitățile obiectului proiectat, fiind necesar introducerea celui de-al treilea plan de proiecție, perpendicular pe planul orizontal și pe cel vertical, notat cu **L** și numit plan lateral (figura 2.7).



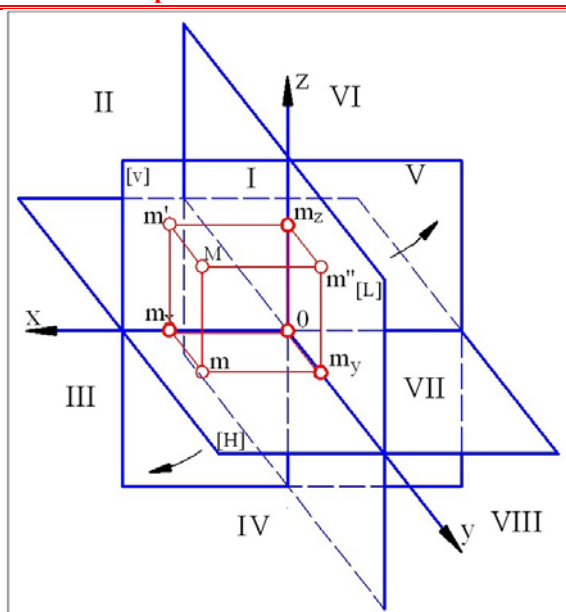


Fig.2.7. Tripla proiecție ortogonală a punctului  $M$ .

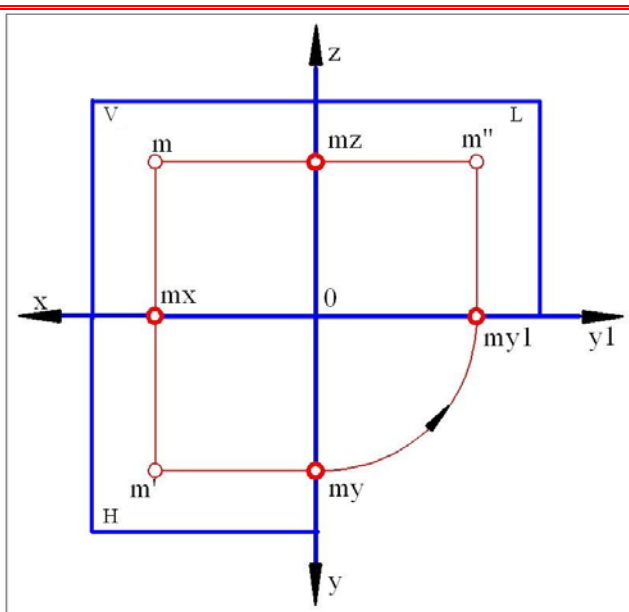


Fig.2.8. Epura pe trei plane a punctului  $M$ .

Un punct  $M$  din spațiu, situat în diedrul I, pe lângă proiecțiile  $m$  și  $m'$  va avea încă o proiecție pe planul lateral  $L$  notată cu  $m''$  și numită proiecție laterală.

Epura punctului  $M$  se obține prin rotirea planului orizontal în jurul axei  $Ox$  și a planului lateral în jurul axei  $Oz$ , în sens antiorar, până la suprapunerea lor peste planul vertical.

Proiecția  $m''$  descrie în rotație, un arc de cerc de rază egală cu depărtarea punctului (figura 2.8).

Prin introducerea planului lateral de proiecție  $L$ , spațiul se împarte în 8 triedre. Reprezentarea în epură a punctelor  $A, B, C, \dots, P, R$  situate în cele 8 triedre este prezentată în figura 2.9. iar semnele coordonatelor descriptive se văd în tabelul 2.2.

Tabelul 2.2.

TRIEDRUL	I	II	III	IV	V	VI	VII	VIII
Abscisa ( $x$ )	+	+	+	+	-	-	-	-
Depărtarea ( $y$ )	+	-	-	+	+	-	-	+
Cota ( $z$ )	+	+	-	-	+	+	-	-

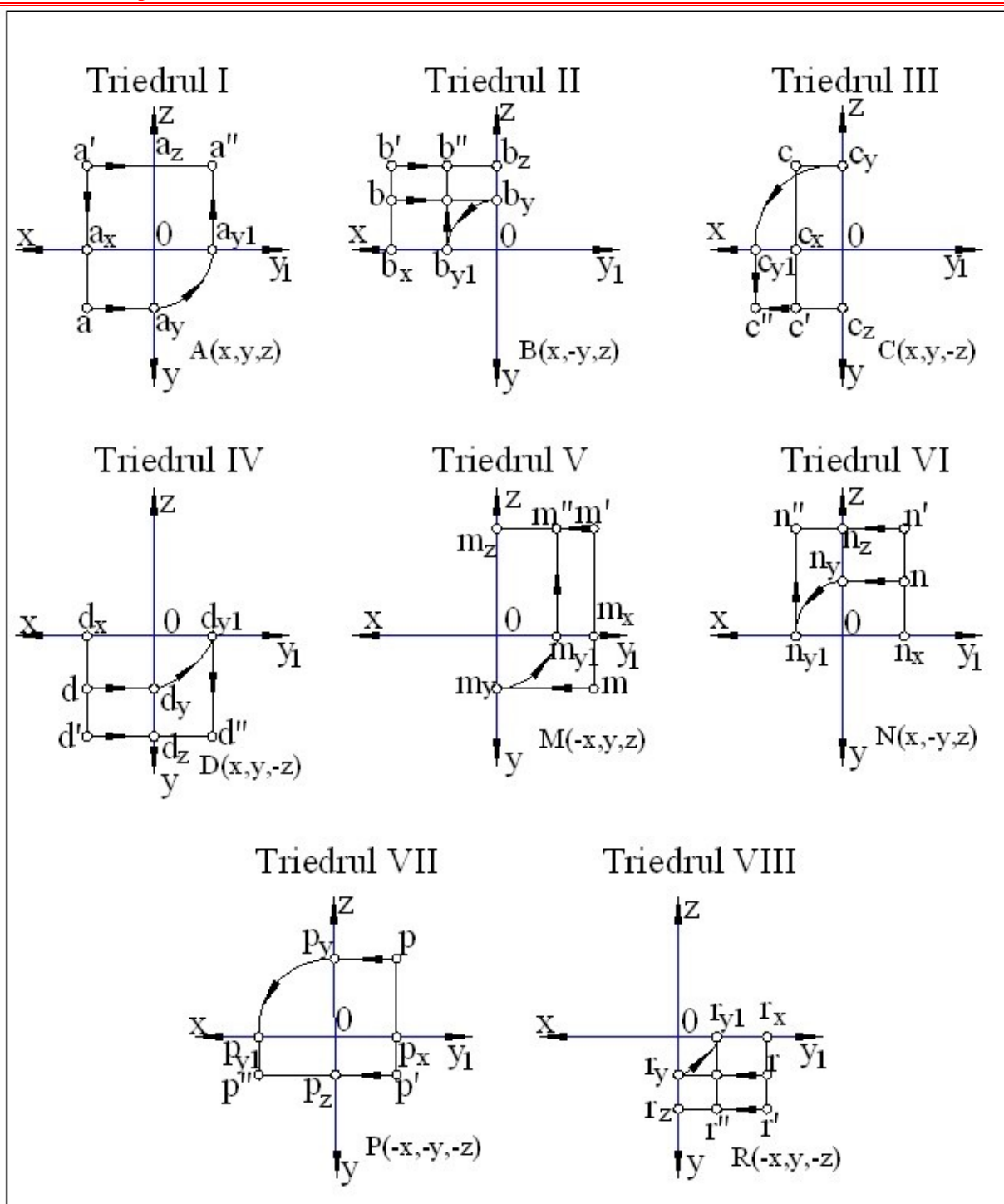


Fig.2.9. Puncte situate în triedre.

## 2.6. Aplicații

1) Să se reprezinte în epură punctele:

A (15; 20; - 10); B (30; - 20; - 20); C (45; 0; 15), D (55; 0; 0), [mm].

Să se arate care este poziția lor față de planele de proiecție și planele bisectoare.

**Rezolvare:**

Se măsoară din origine (figura 2.10) spre stânga, pe linia pământului, abscisa  $Oa_x = 15$  mm și se obține  $a_x$ . Se duce prin  $a_x$  linia de ordine perpendiculară pe  $Ox$  și se poartă pe aceasta: depărtarea punctului,  $y = a_x a = 20$  (sub  $Ox$ , pentru că este pozitivă), iar apoi cota punctului,  $z = a_x a' = - 10$ , (sub  $Ox$ , pentru cota negativă).

Punctul se găsește în diedrul IV, octantul 8.

Procedând în mod analog se reprezintă și punctul **B** în diedrul III, pe planul bisector **B1**, punctul **C** în semiplanul **Vs** și punctul **D** pe linia pământului.

**2) Fiind date proiecțiile  $m, m', n, n'$  și  $r, r'$  a trei puncte  $M, N$  și  $R$ , să se construiască proiecțiile lor laterale  $m'', n''$  și  $r''$ .**

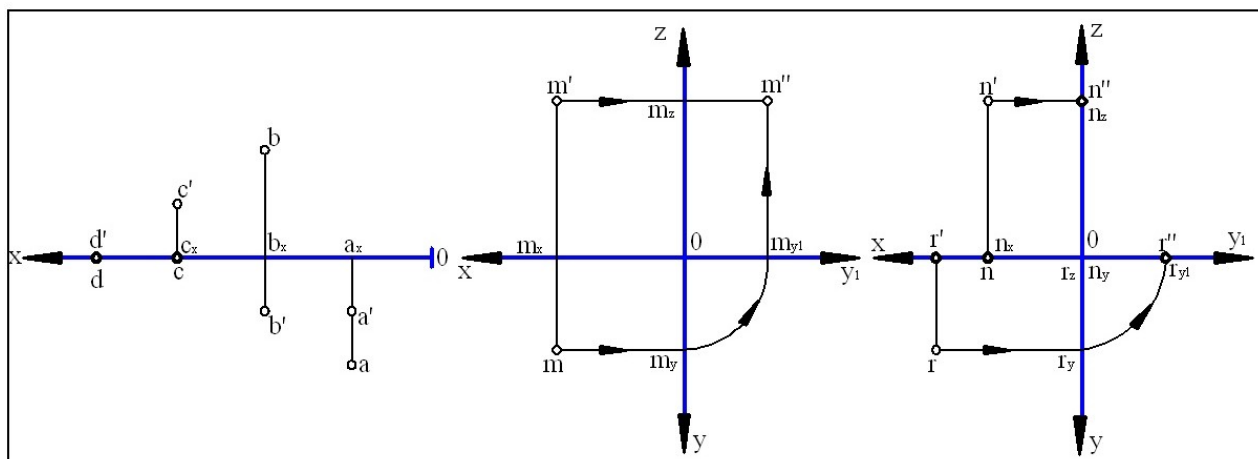


Fig. 2.10. Aplicația 1.

Fig. 2.11. Aplicația 2.

Fig. 2.12. Aplicația 2.

### Rezolvare:

Se duc axe **Ox**, **Oy** și **Oz**. Pentru a se obține  $m''$  (fig. 2.11) se duce linia de ordine  $m'm_z$  și se prelungește dincolo de **Oz**; pe această linie se poartă depărtarea  $m_xm$  a punctului în  $m_zm''$  (grafic operația se face ducând linia  $mm_y m_{y1} m''$ ) și se obține în  $m''$  proiecția laterală căutată.

Punctul  $n, n'$  (fig. 2.12) fiind situat în planul vertical de proiecție, proiecția lui laterală  $n''$  se va găsi pe axa **Oz**, după cum punctul  $r, r'$  din planul orizontal de proiecție va avea proiecția laterală  $r''$  pe axa **Oy**. Executând construcțiile grafice indicate în figură prin săgeți, se obțin pozițiile lui  $n''$  și  $r''$  pe cele două axe.

**3) Cum trebuie să fie coordonatele unui punct oarecare  $M (m, m', m'')$  pentru ca punctul să fie în octantul 6 ?**

### Rezolvare:

Octantul 6 fiind în diedrul III, rezultă că atât depărtarea cât și cota punctului trebuie să fie negative. Mai trebuie apoi ca **y (depărtarea) să fie mai mic decât z (cota)**, pentru ca punctul să fie în octantul 6.

**4) Să se determine distanța față de axa Ox a punctului M având depărtarea egală cu 3 și cota egală cu 4 [cm].**

### Rezolvare:

Cota și depărtarea unui punct sunt catetele unui triunghi dreptunghic având ipotenuza drept distanța punctului față de Ox. Deci:  $d = \sqrt{3^2 + 4^2} = 5$  [cm].

**5) Să se reprezinte în triedru și epură punctele A,B,C,D situate în primele patru diedre de proiecție, și proiecțiile lor pe cele trei plane.**

Rezolvare în figura 2.13.a.b.c.d.

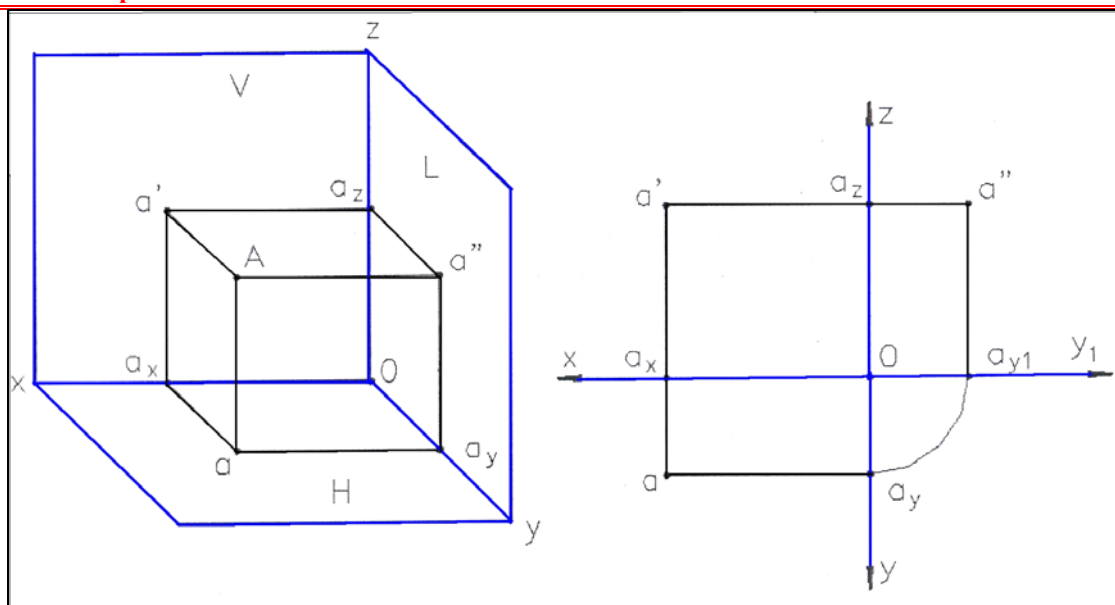


Fig. 2.13.a. Aplicația 5. Triedrul I.

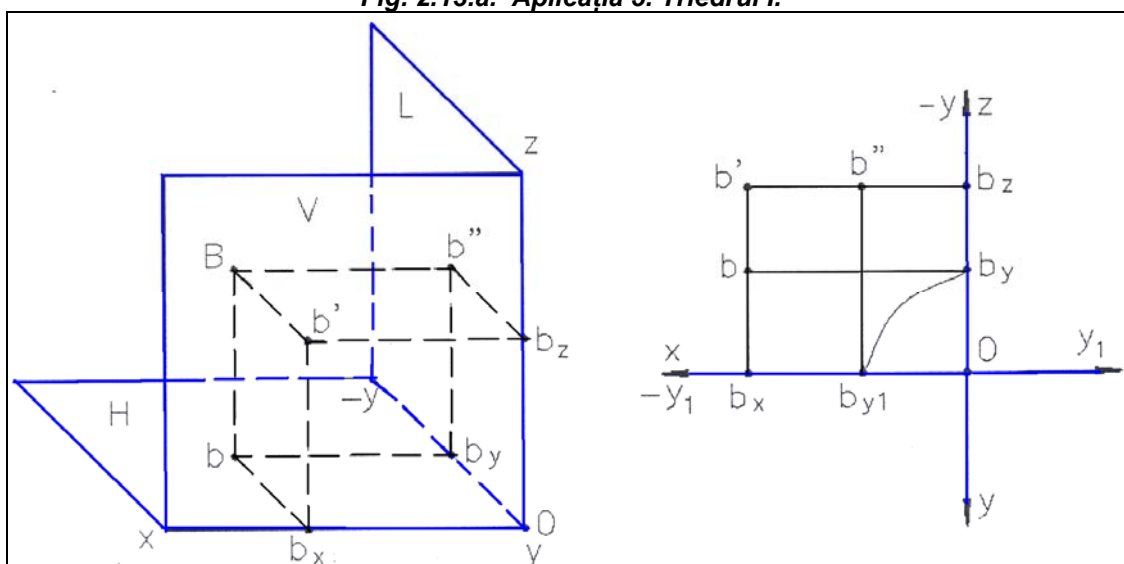


Fig. 2.13.b. Aplicația 5. Triedrul II.

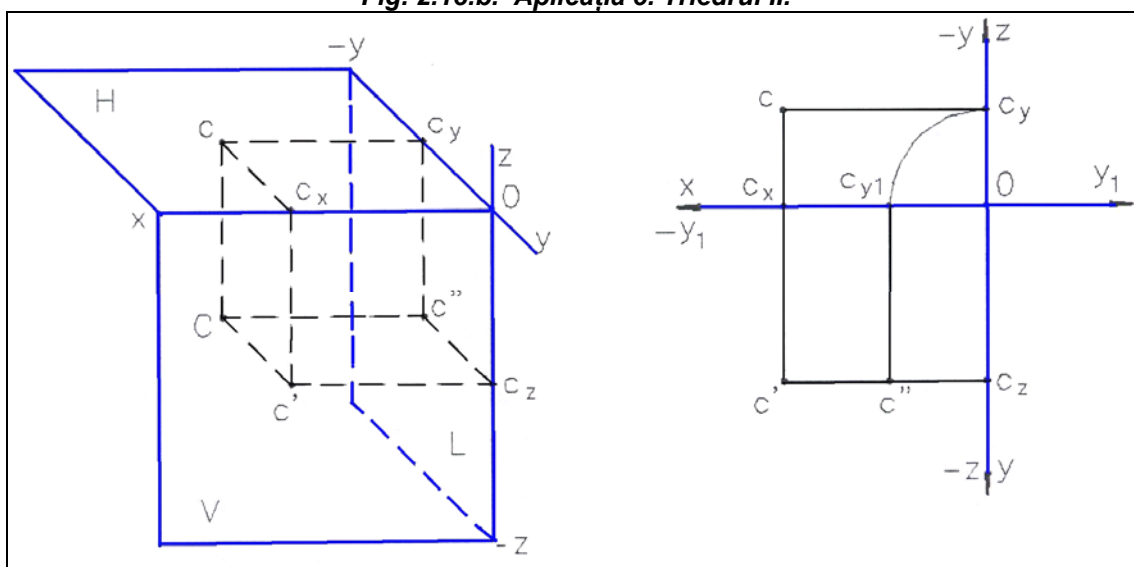


Fig. 2.13.c. Aplicația 5. Triedrul III.

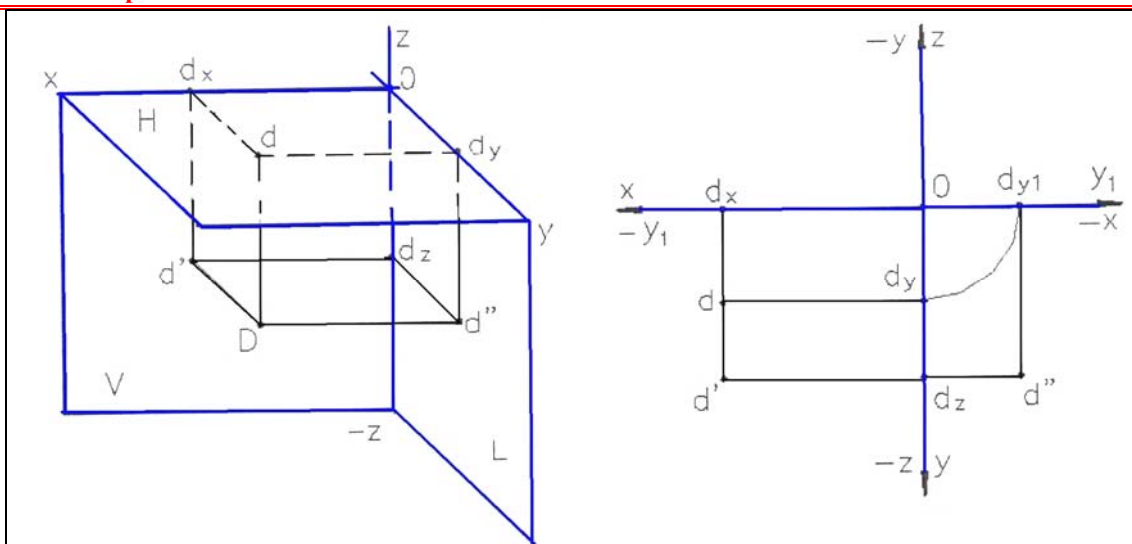


Fig. 2.13.d. Aplicația 5. Triedrul IV.

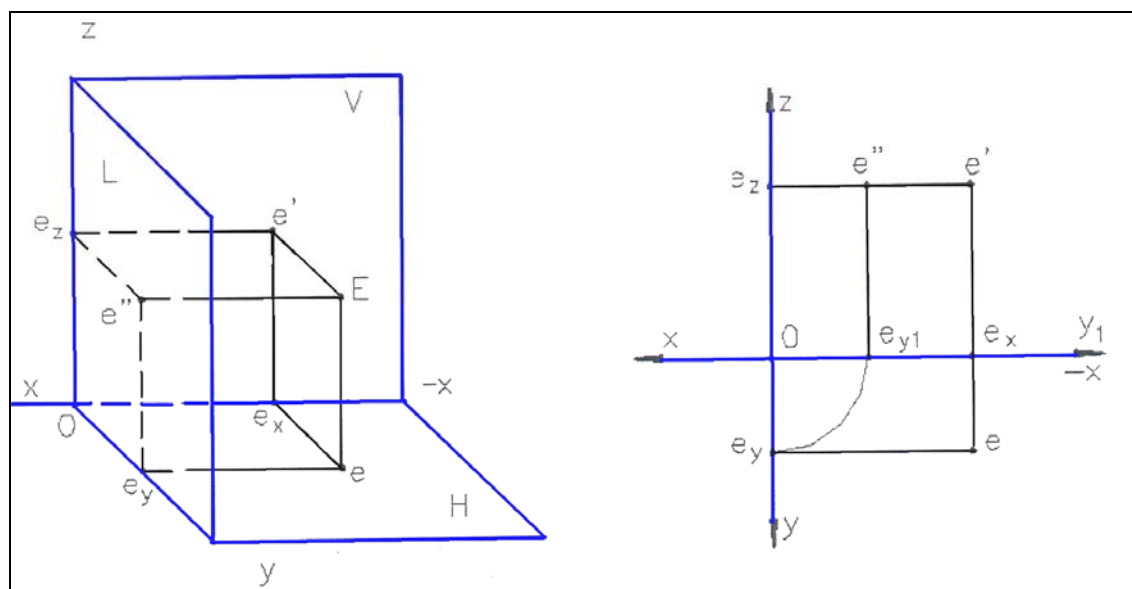


Fig. 2.14.a. Aplicația 6. Triedrul V.

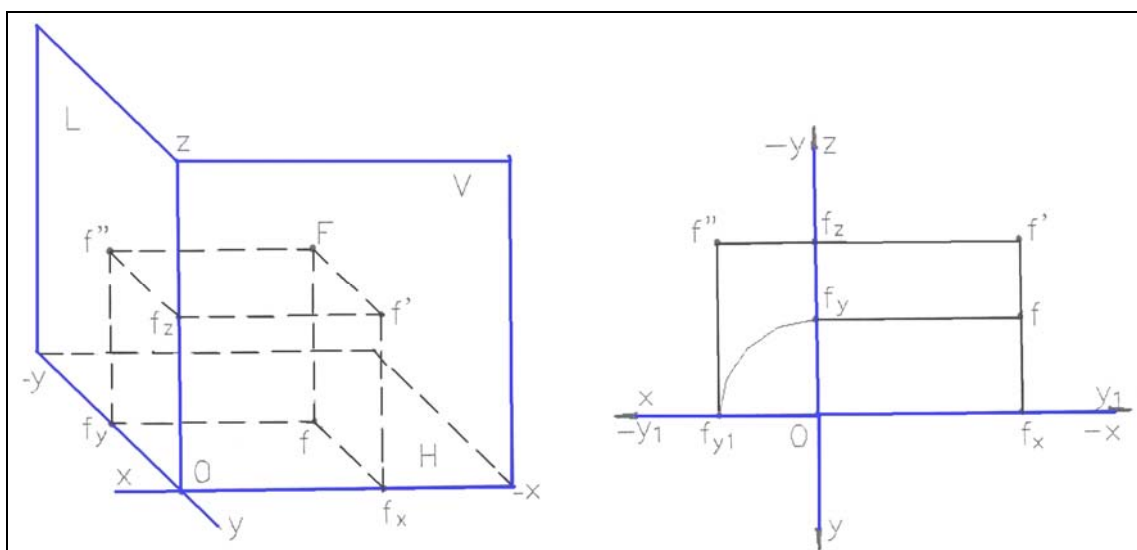


Fig. 2.14.b. Aplicația 6. Triedrul VI.

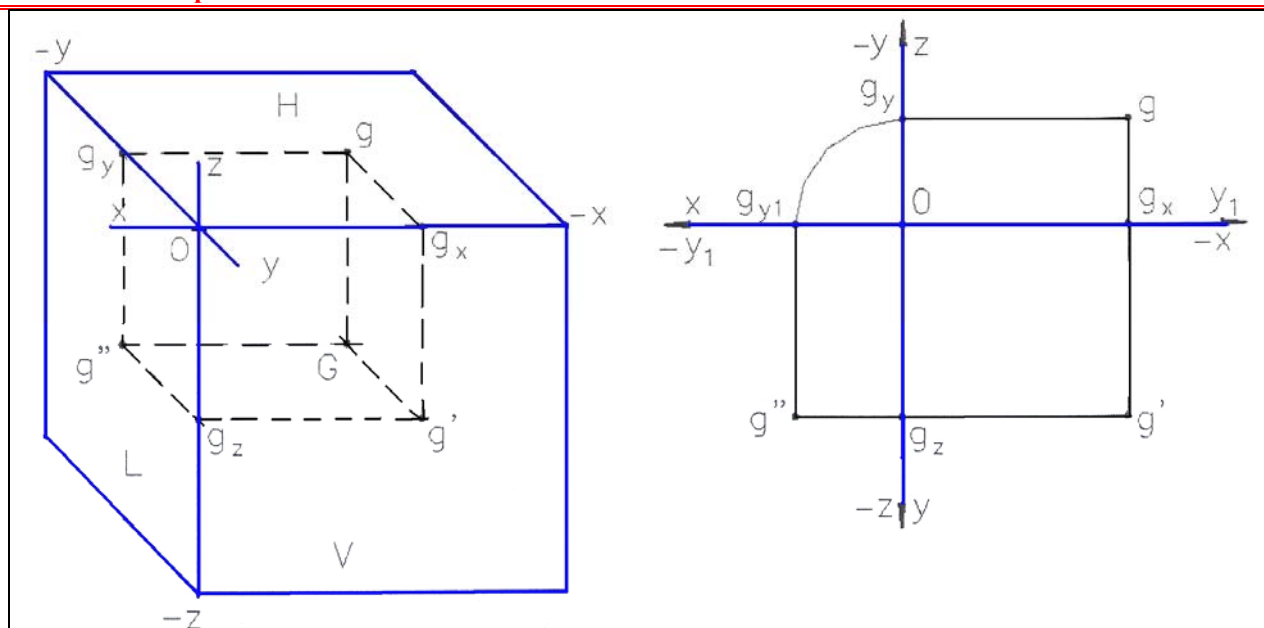


Fig. 2.14.c. Aplicația 6. Triedrul VII.

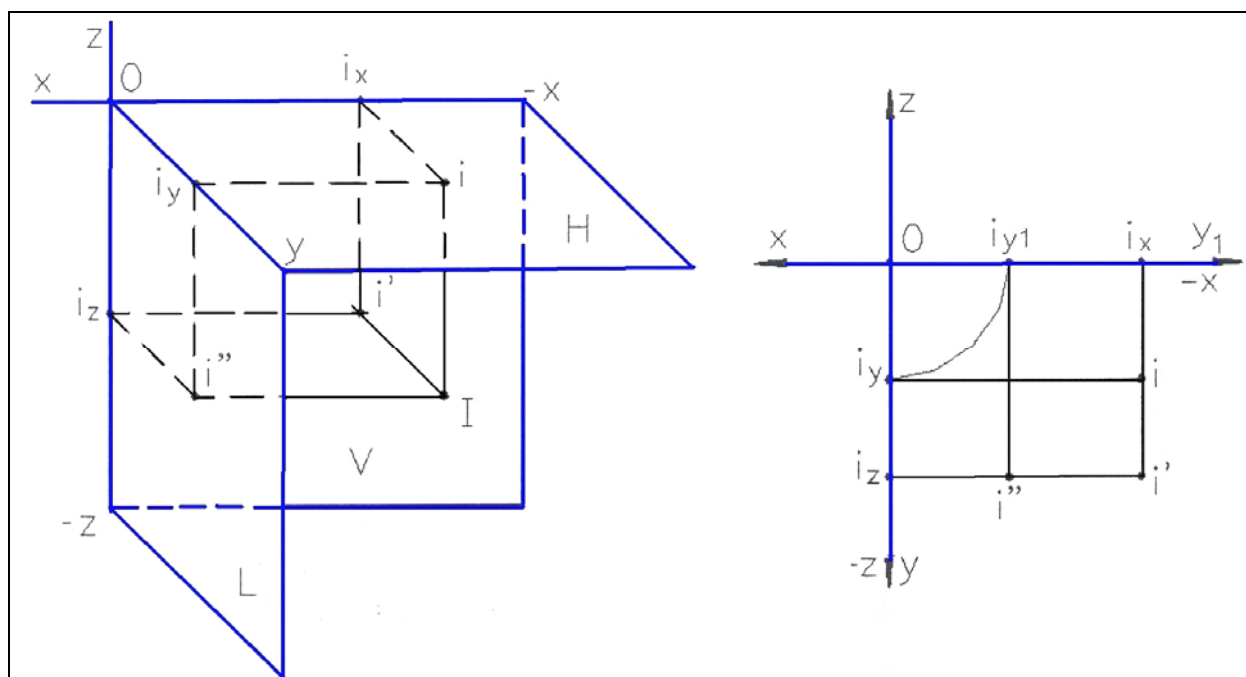


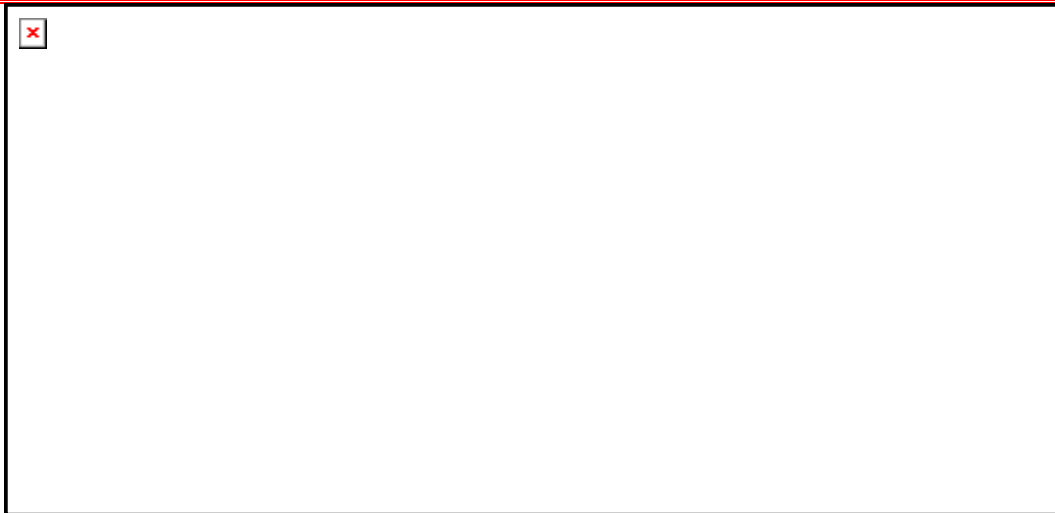
Fig. 2.14.d. Aplicația 6. Triedrul VIII.

6) Să se reprezinte în triedru și epură punctele  $E, F, G, I$  situate în ultimele patru diedre de proiecție, și proiecțiile lor pe cele trei plane.

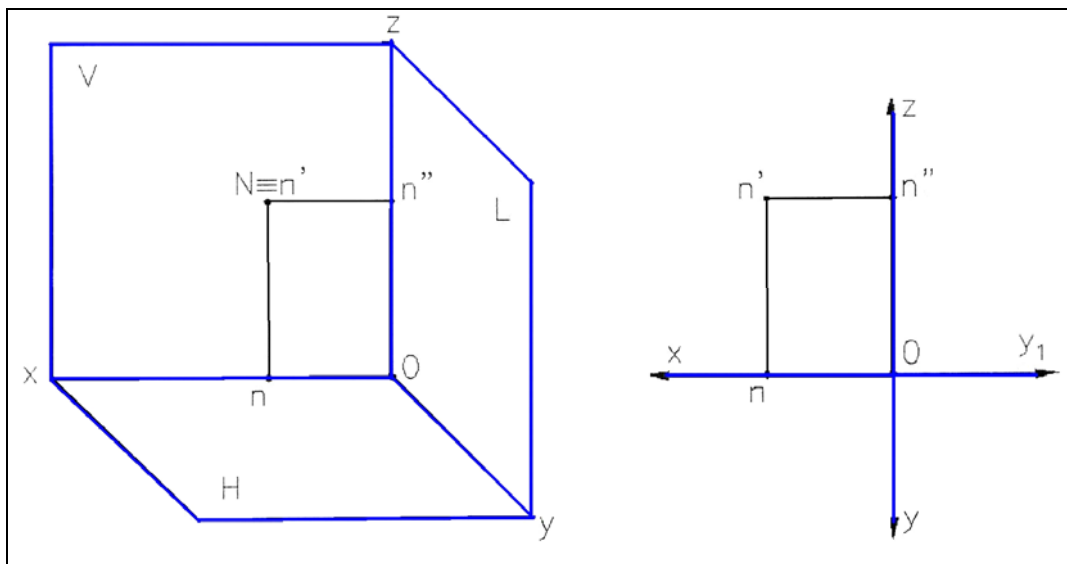
Rezolvare în figura 2.14.a.b.c.d.

7) Să se reprezinte în triedru și epură punctele  $M, N, P$  conținute în planele de proiecție, și proiecțiile lor pe cele trei plane.

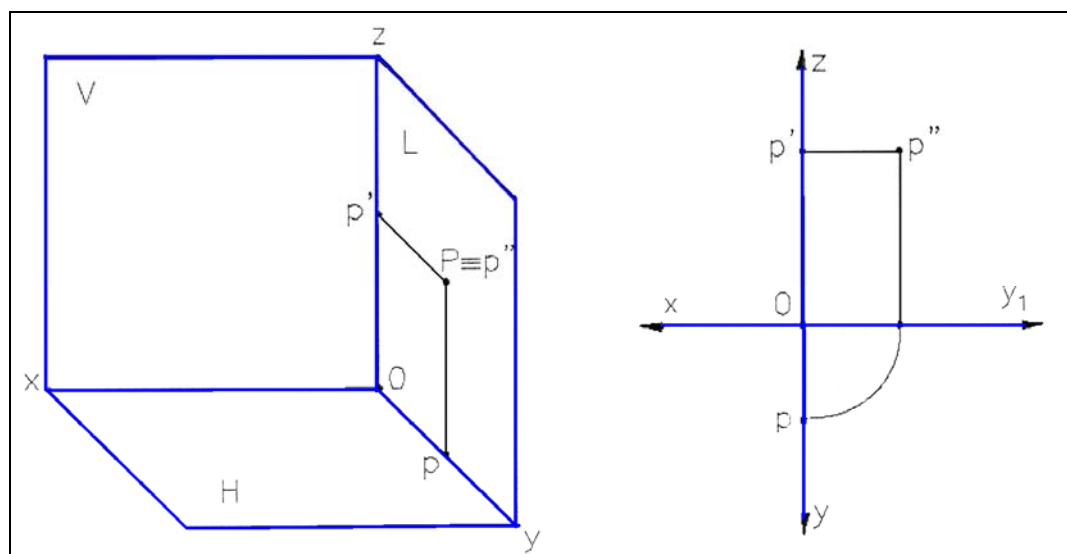
Rezolvare în figura 2.15.a.b.c.



**Fig. 2.15.a. Aplicația 7. Punct în H.**



**Fig. 2.15.b. Aplicația 7. Punct în V.**



**Fig. 2.15.c. Aplicația 7. Punct în L.**

### 3. REPREZENTAREA DREPTEI

#### 3.1. Epura și urmele drepte

Proiecția unei drepte pe un plan este, în general, tot o dreaptă. Pentru a reprezenta deci o dreaptă în epură, este suficient să se reprezinte două puncte ale ei.

Fie **A** și **B** (figura 3.1.a) două puncte oarecare de pe dreapta **D**. Proiecțiile celor două puncte, **a** respectiv **b** pe planul **H** și **a'** respectiv **b'** pe planul **V**, determină proiecțiile **d** și **d'** ale dreptei.

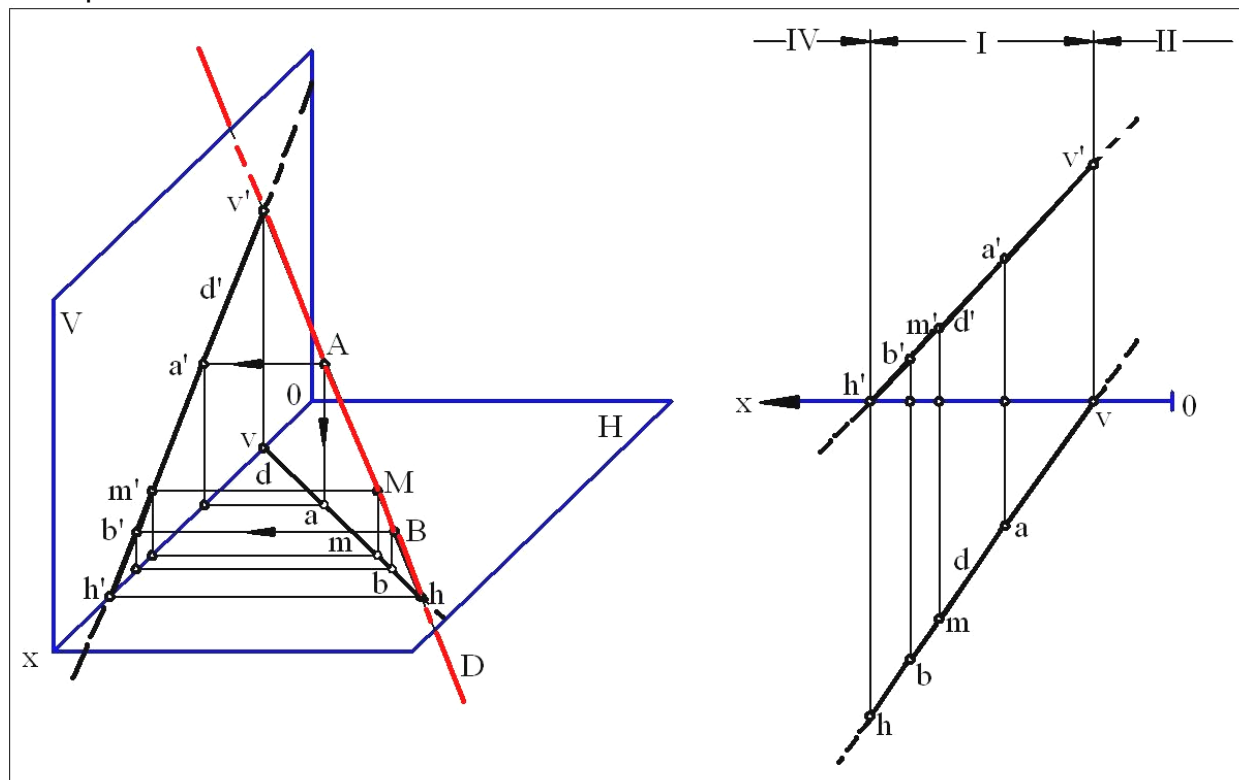


Fig. 3.1. Dreapta AB cu punctul M și urmele ei.

Se observă că, dacă un punct oarecare **M** se află pe dreapta **D**, atunci proiecțiile lui se vor găsi pe proiecțiile de același nume ale dreptei. Dacă se prelungește dreapta **D** dincolo de punctele **A** și **B**, aceasta va intersecta planul **H** în punctul **h**, **h'**, iar planul **V** în punctul **v**, **v'**.

**Punctul  $h$**  în care dreapta intersectează planul **H** se numește **urma orizontală a drepte**; el are cota egală cu zero și deci proiecția verticală **h'** situată pe linia pământului. **Punctul  $v'$**  în care dreapta intersectează planul **V** se numește **urma verticală a drepte**; el are depărtarea egală cu zero și deci proiecția orizontală **v** pe linia pământului.

În epură (figura 3.1,b), pentru a găsi **urma orizontală a drepte D**, se caută punctul de pe dreaptă care are cota zero, adică, punctul care se găsește în planul orizontal. Pentru aceasta, deoarece cotele se citesc în planul **V**, se prelungește proiecția verticală a drepte până când întâlnește linia pământului în **h'** și apoi din acest punct se coboară linia de ordine până în **h**, pe proiecția orizontală a drepte. Punctul **h**, **h'** astfel obținut este **urma orizontală a drepte**. În mod analog, dacă se prelungește proiecția orizontală a drepte până când întâlnește linia **Ox** în **v** și apoi din acest punct se ridică linia de ordine până în **v'**, pe proiecția verticală a drepte, se obține **urma verticală v, v'** a acesteia.



Cele două urme ale unei drepte sunt puncte caracteristice ale acesteia. Ele limitează porțiunile de dreaptă cuprinse în diedre. Astfel:

Dacă se prelungeste dreapta  $D$  dincolo de urmele ei, cea verticală ( $v, v'$ ) și orizontală ( $h, h'$ ), ea trece respectiv în diedrele  $II, IV$ . Pe porțiunile respective, dreapta fiind nevăzută de observatorul așezat în diedrul  $I$ , se va trasa în epură cu linii întrerupte.

Se reține că un segment de dreaptă are cele două proiecții așezate în poziții diferite față de linia pământului, după cum se află în unul din cele patru diedre, și anume:

- în diedrul  $I$ , proiecția orizontală sub  $Ox$ , cea verticală deasupra;
- în diedrul  $II$ , ambele proiecții deasupra lui  $Ox$ ;
- în diedrul  $III$ , proiecția orizontală deasupra lui  $Ox$ , cea verticală dedesubt;
- în diedrul  $IV$ , ambele proiecții sub  $Ox$ .

### 3.2. Proiecția dreptei pe planul lateral

Trecerea de la dubla proiecție ortogonală a dreptei pe planele  $H$  și  $V$ , la proiecția ei pe planul lateral  $L$ , se face proiectând lateral două puncte oarecare de pe dreaptă.

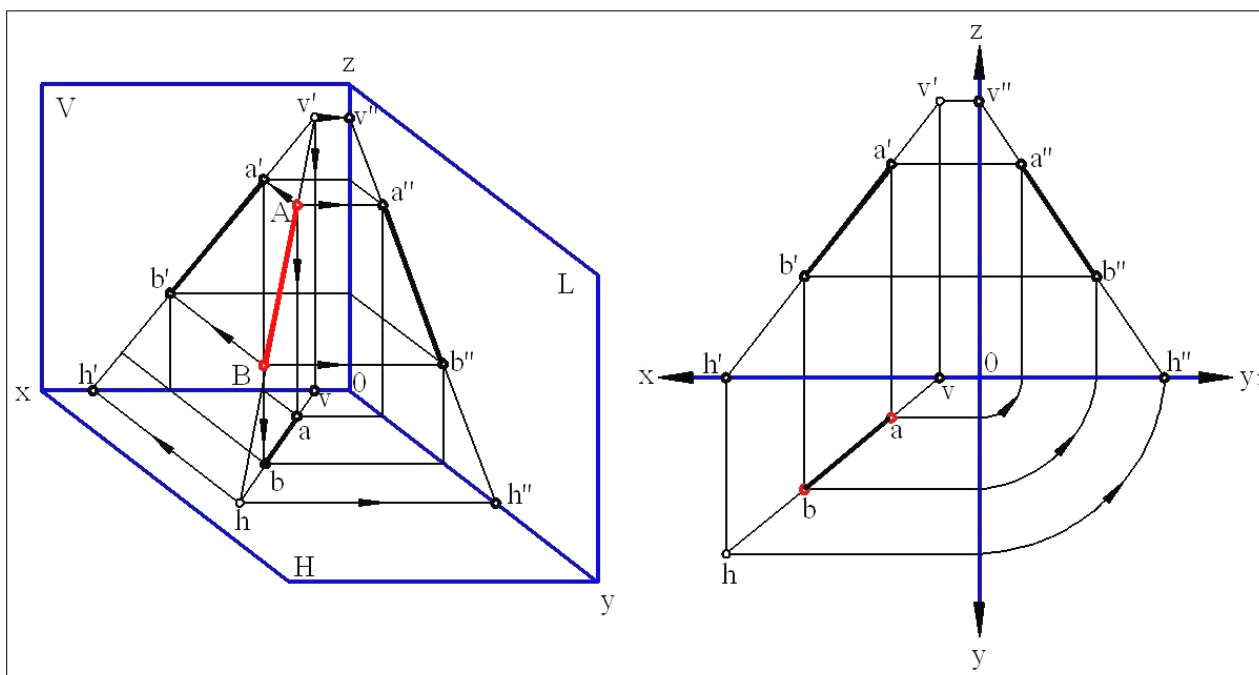


Fig. 3.2. Proiecțiile pe cele trei plane ale dreptei  $AB$ , în triedru și epură.

Fie  $ab, a'b'$  dreapta, definită prin două puncte ale ei,  $a, a'$  și  $b, b'$  (figura 3.2). Proiectând cele două puncte ale dreptei pe planul  $L$ , se obține în  $a''b''$  proiecția laterală a dreptei. Dacă în loc de două puncte oarecare de pe dreaptă se recurge la urmele acesteia, se obține proiecția laterală  $h''v''$  a dreptei.

### 3.3. Citirea epurei unei drepte

A citi epura unei drepte înseamnă a „vedea în spațiu” dreapta, adică a ne imagina pe baza datelor pe care le oferă epura, poziția pe care o are dreapta în spațiu față de planele de proiecție.

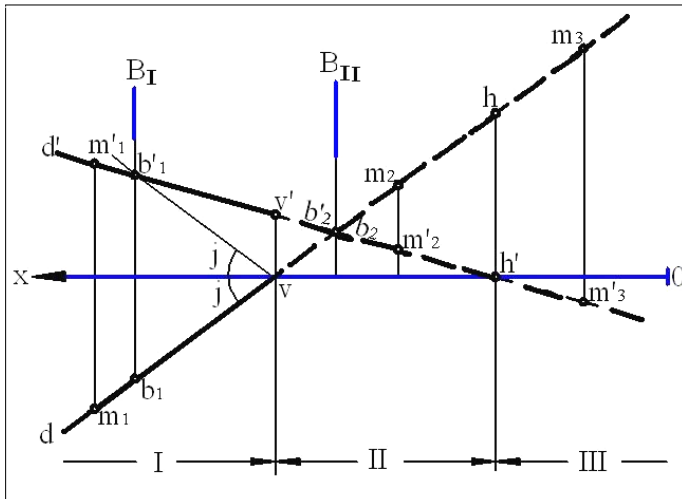


Fig.3.3a. Dreapta  $D(d,d')$  în epură.

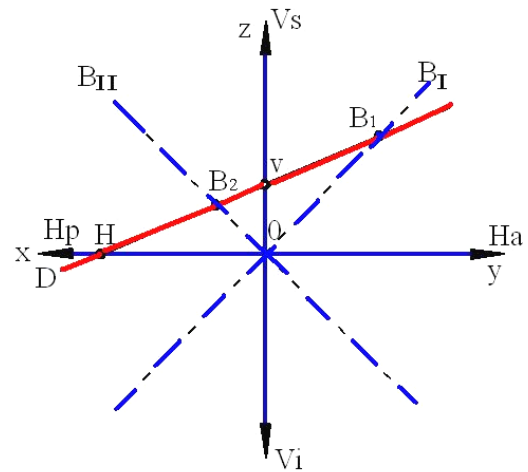


Fig.3.3b. Dreapta  $D$  în spațiu.

Fie  $d, d'$  o dreaptă oarecare dată în epură prin cele două proiecții ale ei (figura 3.3,a).

Se determină întâi urmele dreptei în  $h, h'$  și  $v, v'$ .

Se consideră apoi un punct mobil  $m, m'$  pe dreaptă, care se deplasează pe aceasta, spre exemplu de la stânga la dreapta, și se urmărește în diferitele lui poziții succesive față de planele de proiecție  $m_1' m_1 - m_2' m_2 - m_3' m_3$ .

**Se observă că până în punctul  $v, v'$  în care dreapta intersectează planul  $V$ , punctul  $m, m'$  în poziția  $m_1' m_1$  are depărtarea pozitivă și cota pozitivă; rezultă că porțiunea respectivă din dreaptă este în diedrul I.**

**Între urma verticală  $v, v'$  și cea orizontală  $h, h'$ , punctul  $m, m'$  în poziția  $m_2, m_2'$  continuă să aibă cota pozitivă, depărtarea devine însă negativă; rezultă că porțiunea  $v'h', v'h$  a dreptei se găsește în diedrul II.**

**De la  $h, h'$  spre dreapta, punctul  $m, m'$  în poziția  $m_3, m_3'$  are atât depărtarea cât și cota negative; porțiunea respectivă de dreaptă se găsește în diedrul III.**

Conform convenției stabilite asupra **vizibilității**, se trasează cu linii pline proiecțiile dreptei pe porțiunea cuprinsă în diedrul I și cu linii întrerupte porțiunile cuprinse în celelalte diedre.

**Punctul  $b_2, b_2'$**  (în epură intersecția celor două proiecții ale dreptei) este și el un punct particular al dreptei, întrucât **are cota și depărtarea opuse**, deci este punctul în care **dreapta intersectează al doilea plan bisector BII**.

Pentru a găsi punctul în care **dreapta intersectează primul plan bisector BI**, se duce din punctul  $v$ , în epură, simetrica lui  $d$  față de  $Ox$ , în  $v b_1'$ . Punctul  $b_1, b_1'$  de pe dreapta dată are **cota egală cu depărtarea** și deci este punctul căutat.

Cu aceste date cunoscute, se poate acum imagina **poziția dreptei în spațiu**. Se știe că aceasta vine din diedrul I, traversează diedrul II între cele două urme și se continuă apoi în diedrul III. Se mai știe și că intersectează bisectorul întâi în diedrul I și bisectorul al doilea în diedrul II. Dacă se reprezintă schematic planele de proiecție și cele două plane bisectoare, se poate imagina dreapta dată în epură (figura 3.3,b).

### 3.4. Drepte în poziții particulare față de planele de proiecție

O dreaptă oarecare poate ocupa diferite poziții în spațiu, față de planele de proiecție. Se vor examina câteva cazuri particulare de drepte care prezintă anumite particularități în epură.

#### 3.4.1. Drepte paralele cu planele de proiecție

**Orizontala sau dreapta de nivel este dreapta paralelă cu planul  $H$ .**

Fie  $M$  și  $N$  (figura 3.4.a și 3.5.a) cele două puncte care definesc dreapta, întrucât orizontala este paralelă cu planul  $H$ , toate punctele ei vor avea aceeași cotă. Rezultă că proiecția verticală  $m'n'$  este paralelă cu linia pământului  $Ox$ .

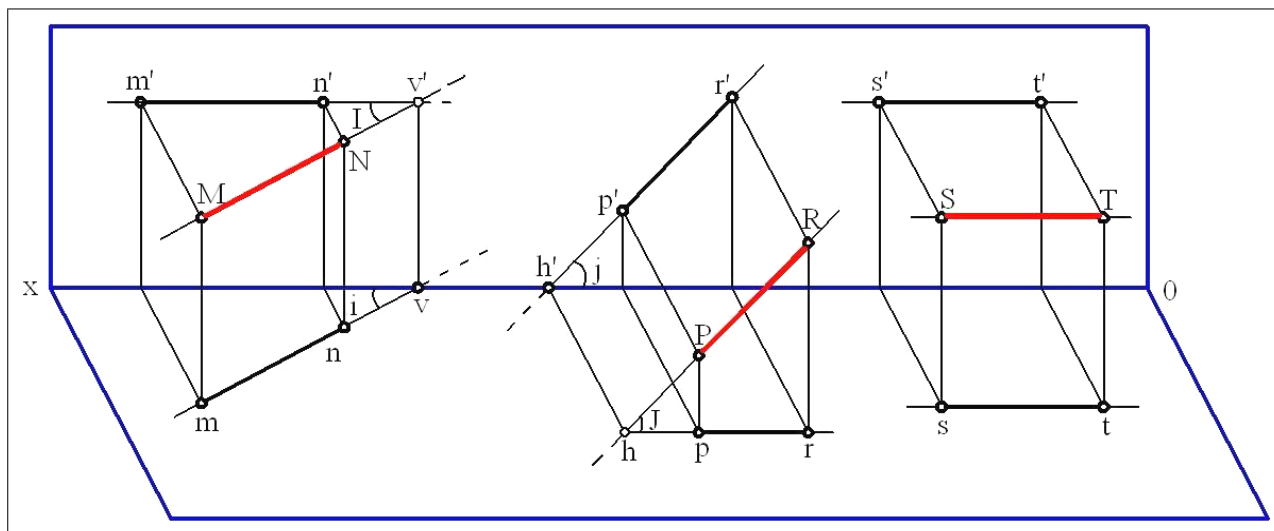


Fig.3.4. Orizontala  $MN$ , frontala  $PR$  și fronto-orizontala  $ST$  în spațiu.

**Orizontala nu are decât urmă verticală, ( $v, v'$ );** urma orizontală a dreptei este aruncată la infinit, deoarece dreapta, fiind paralelă cu planul  $H$ , nu-l întâlnește niciodată la distanță finită.

Unghiul  $i$  dintre orizontală și planul vertical de proiecție apare în adevărată mărime în proiecția orizontală, fiind determinat de  $mn$  și  $Ox$ . Atât dreapta  $MN$  cât și proiecția ei verticală  $m'n'$  sunt paralele cu planul  $H$ , deci unghiul dintre ele va apărea proiectat pe acesta în adevărată mărime.

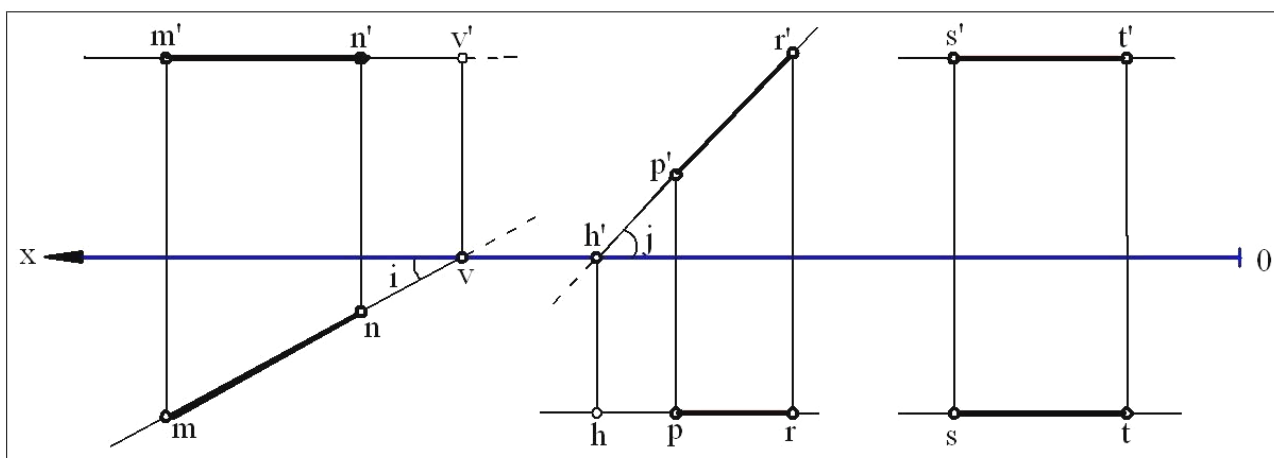


Fig.3.5.a)b)c). Orizontala  $MN$ , frontala  $PR$  și fronto-orizontala  $ST$  în epură.

**Frontala sau dreapta de front este dreapta paralelă cu planul  $V$ .**

Fie  $P$  și  $R$  (figura 3.4,b și 3.5,b) cele două puncte care o determină. Urmând un raționament analog cu cel de la dreapta de nivel, se deduc caracteristici similare pentru frontală: proiecția orizontală  $p, r$  a dreptei este paralelă cu linia  $Ox$ , deoarece toate punctele ei au aceeași depărtare; frontala nu are decât urmă orizontală ( $h, h'$ ), deoarece este paralelă cu planul  $V$ ; unghiul  $j$  dintre frontală și planul  $H$  apare în adevărată mărime în epură, fiind determinat de  $p'r'$  și  $Ox$ .

**Fronto-orizontala este dreapta în același timp paralelă și cu planul  $V$  și cu planul  $H$  și deci cu intersecția lor, linia  $Ox$**  (figura 3.4.c și 3.5.c).

Fiind totodată, și orizontală și frontală, prezintă caracteristici comune: are ambele proiecții paralele cu  $Ox$ ; nu are nici urmă orizontală, nici urmă verticală.

O proprietate metrică importantă, comună tuturor segmentelor paralele cu un plan de proiecție, este aceea că, **se proiectează în adevărată mărime pe planul cu care sunt paralele** (ca segmente paralele cuprinse între proiectante paralele).

În figurile 3.4. și 3.5. avem:  $MN = mn$ ;  $PR = p'r'$ ;  $ST = st = s't'$ .

### 3.4.2. Drepte conținute în planele de proiecție

Dreptele conținute în planele de proiecție nu sunt decât cazuri particulare ale dreptelor paralele cu acestea.

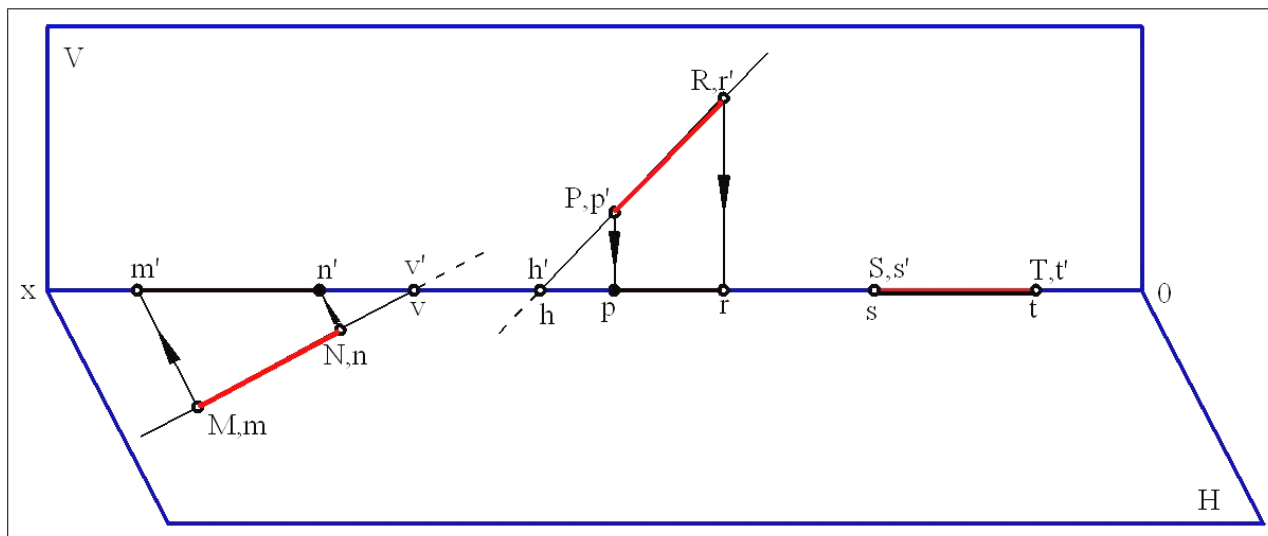


Fig.3.6.a)b)c). Dreptele  $MN$  și  $PR$  conținute în planul  $H$ , respectiv  $V$ . Dreapta  $ST$  este pe  $Ox$ ; (spațiu).

**Dreapta conținută în planul  $H$**  este o orizontală ale cărei puncte au cota egală cu zero (figura 3.6,a și 3.7,a), deci proiecția verticală a dreptei se găsește pe  $Ox$  și urma verticală a dreptei are cele două proiecții  $v$  și  $v'$  confundate pe linia pământului.

**Dreapta conținută în planul  $V$**  (figura 3.6,b și 3.7,b) este o frontală cu proiecția orizontală pe linia pământului și urma orizontală  $h, h'$  pe linia  $Ox$ .

**Dreapta conținută simultan în planul  $V$  și  $H$**  este o dreaptă aparținând axei  $Ox$  (figura 3.6,c și 3.7,c). Este de fapt, o fronto-orizontala având cele două proiecții confundate pe linia pământului.

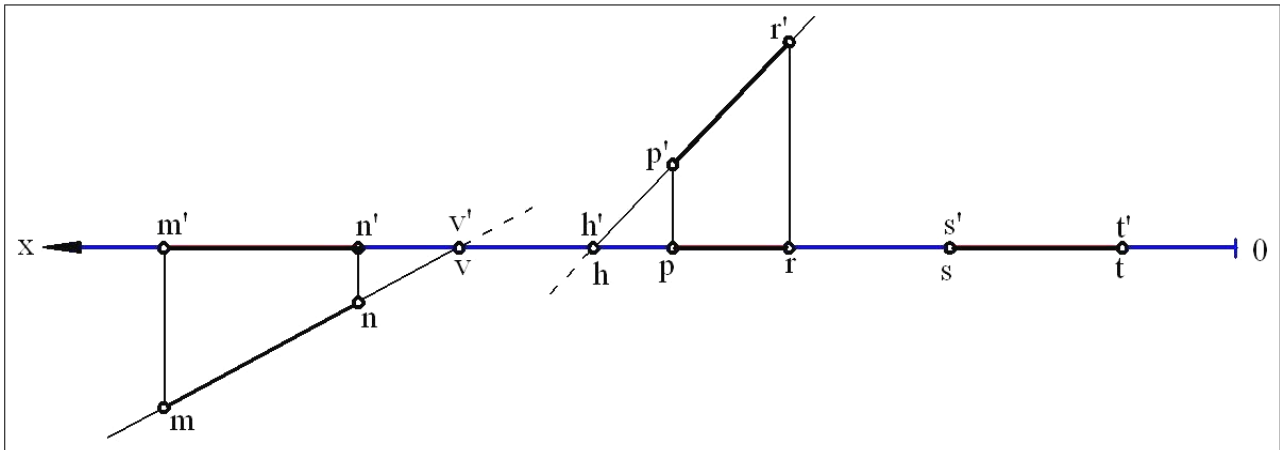


Fig.3.7.a)b)c). Dreptele  $MN$  și  $PR$  conținute în planul  $H$ , respectiv  $V$ . Dreapta  $ST$  este pe  $Ox$ ; (epură).

### 3.4.3. Drepte perpendiculare pe planele de proiecție

**Verticala este dreapta perpendiculară pe planul  $H$  și, implicit, paralelă cu planul  $V$ ; este deci o frontală într-o poziție particulară** (figura 3.8.a și 3.9.a).

Caracteristicile ei sunt:

- se proiectează pe planul  $H$  într-un singur punct, întrucât toate punctele drepte sunt pe aceeași proiectantă, iar pe planul  $V$  după dreapta  $c'e'$ , perpendiculară pe  $Ox$ ;
- punctul care reprezintă proiecția orizontală a dreptei este în același timp și urma orizontală a acesteia; verticala nu are urmă verticală, fiind paralelă cu planul  $V$ ;
- verticala fiind o frontală particulară, segmentul  $CE$  se proiectează în adevărată mărime pe planul  $V$  în  $c'e'$ .

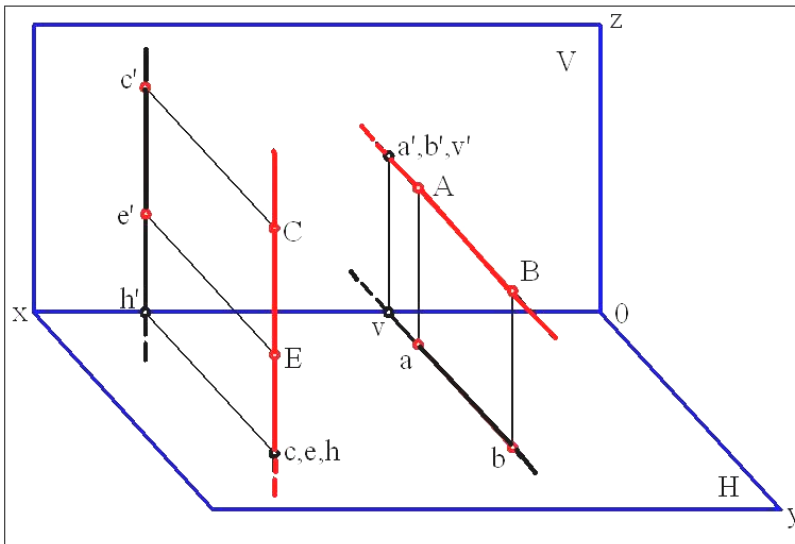


Fig. 3.8.a.b. Verticala și dreapta de capăt (spațiu).

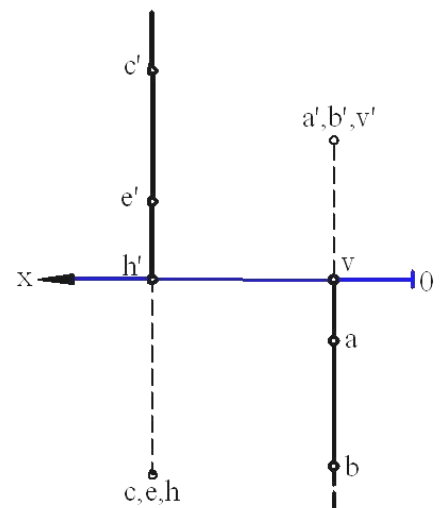


Fig. 3.9.a.b. Idem – epură.

**Dreapta de capăt este perpendiculară pe planul  $V$  și, implicit, paralelă cu planul  $H$ ; este deci o orizontală într-o poziție particulară** (figura 3.8,b și 3.9,b).

Caracteristicile ei sunt:

- se proiectează pe planul  $V$  într-un singur punct, care este în același timp și urma verticală a drepte;
- proiecția orizontală  $ab$  a dreptei este perpendiculară pe linia  $Ox$ , reprezentând adevărata mărime a segmentului  $AB$  din spațiu.

**3.4.4. Dreapta perpendiculară pe linia pământului**

**Dreapta perpendiculară pe linia pământului fiind cuprinsă într-un plan  $P$  paralel cu planul lateral, se numește dreaptă de profil.**

Planul  $P$  este în același timp și planul proiectant al dreptei, fiind perpendicular pe planele  $H$  și  $V$  (figura 3.10,a) și deci și pe  $Ox$ ; rezultă că proiecțiile  $d$  și  $d'$  ale dreptei vor fi perpendiculare pe linia  $Ox$ , iar în epură vor fi în prelungire (figura 3.10,b). Se observă că oricare ar fi poziția dreptei de profil în planul  $P$ , proiecțiile ei pe cele două plane  $H$  și  $V$  sunt invariabil  $d$  și  $d'$ . Rezultă că dreapta de profil nu este determinată prin proiecțiile ei  $d$  și  $d'$ , deci face excepție de la regula generală.

Pentru determinarea urmelor dreptei în epură, metoda cunoscută nu poate fi aplicată, în consecință, pentru a defini o dreaptă de profil în epură, este necesar ca aceasta să fie reprezentată prin două puncte  $m, m'$  și  $n, n'$  de pe dreaptă, sau pe lângă cele două proiecții  $d$  și  $d'$  să fie dată și proiecția  $d''$  a dreptei pe planul lateral.

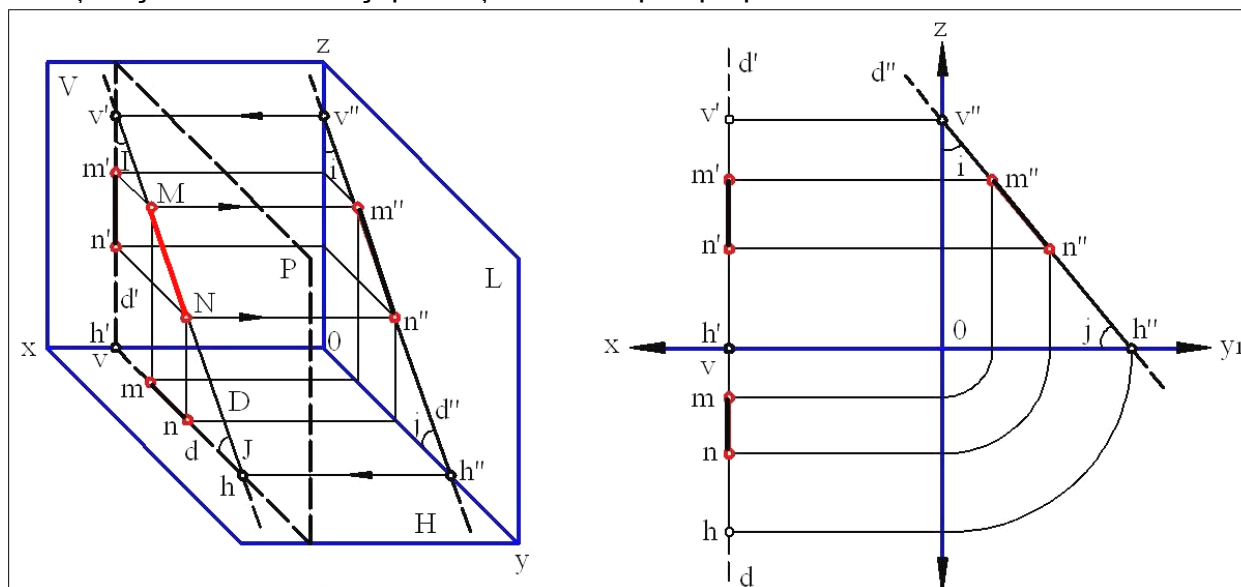


Fig. 3.10. Urmele dreptei de profil, în triedru a) și epură b).

Dacă dreapta este dată prin două puncte  $m, m'$  și  $n, n'$  (fig. 3.10. a, b), pentru a obține proiecția laterală  $d''$  a acesteia se proiectează, după metoda cunoscută, cele două puncte  $M$  și  $N$  și pe planul  $L$  respectiv în  $m''$  și  $n''$ . Prelungind proiecția aflată  $d''$  dincolo de punctele  $m''$  și  $n''$ , rezultă, la intersecția acesteia cu axele  $Oy_1$  și  $Oz$ , proiecțiile laterale  $h''$  respectiv  $v''$  ale urmelor dreptei. Revenind acum pe calea cunoscută cu  $h''$  și  $v''$  pe proiecțiile  $d$  și  $d'$  ale dreptei, se obțin proiecțiile  $h, h'$  și  $v, v'$  ale urmelor acesteia.

Dreapta de profil fiind paralelă cu planul  $L$ , segmentul  $MN$  de pe aceasta se proiectează în adevărată mărime în  $m''n''$  pe  $L$ .

Unghiurile făcute de dreaptă cu planele  $V$  și  $H$ , respectiv  $I$  și  $J$ , apar în adevărată mărime pe planul lateral, fiind determinate de  $m''n''$  și  $Oz$ , respectiv  $m''n''$  și  $Oy_1$ .

**3.4.5. Dreapta care intersectează linia pământului**

**Această dreaptă intersectează atât planul  $H$  cât și planul  $V$  în același punct, pe linia pământului (figura 3.11.).** Rezultă că, în epură cele două proiecții ale dreptei se întâlnesc într-un punct  $r, r'$  pe linia  $Ox$  și că acest punct este în același timp urma orizontală și urma verticală a dreptei.

Întrucât planele bisectoare trec prin linia pământului, rezultă că dreptele conținute în aceste plane reprezintă în general cazuri particulare ale dreptelor care intersectează linia  $Ox$ .

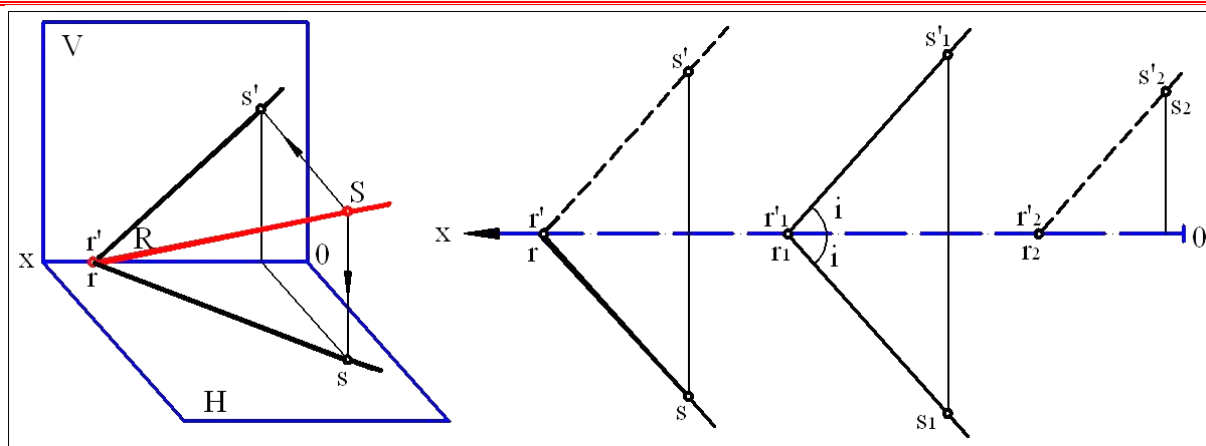


Fig. 3.11. Dreapta ce trece prin linia de pământ, diedru și epură.

- Dreptele conținute în primul bisector (figura 3.11,c) au proiecțiile lor simetrice față de  $Ox$ , întrucât au toate punctele de cotă egală cu depărtarea;
- Dreptele conținute în cel de-al doilea bisector (figura 3.11,d) au proiecțiile lor confundate, deoarece au toate punctele cu cota egală cu depărtarea și de semn contrar.

### 3.5. Pozițiile relative a două drepte

Două drepte din spațiu pot fi: **paralele sau concurente** și deci coplanare, și **oarecare**, adică nici paralele, nici concurente, deci necoplanare.

#### 3.5.1. Drepte paralele

**Proiecțiile a două drepte paralele din spațiu sunt și ele paralele (figura 3.12,a).** Rezultă că în epură (figura 3.12,b), proiecțiile de același nume a două drepte paralele din spațiu sunt și ele paralele ( $ab$  este paralel cu  $ce$  și  $a'b'$  cu  $c'e'$ ).

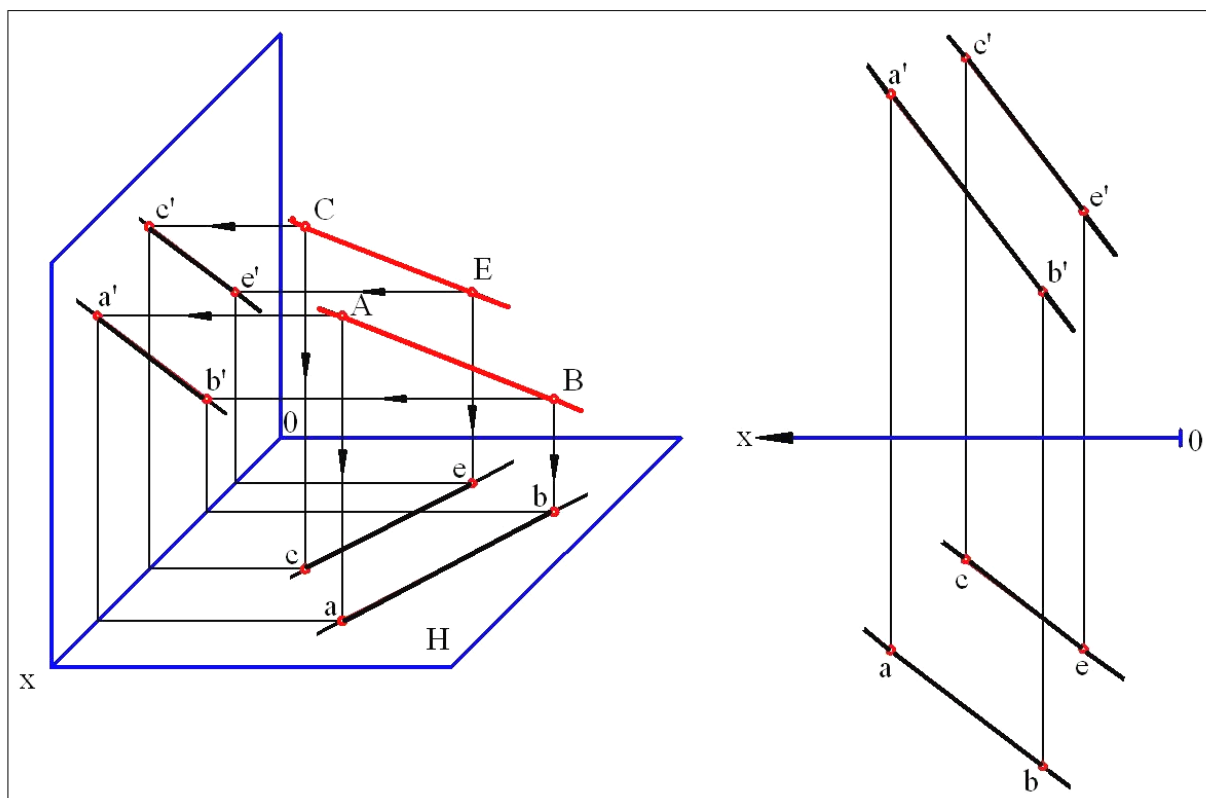


Fig. 3.12. Drepte paralele, diedru a) și epură b).

**Reciproca** acestei teoreme este în general adevărată: *dacă în epură proiecțiile de același nume a două drepte sunt paralele între ele, rezultă că ele reprezintă două drepte paralele între ele în spațiu.*

**Fac excepție de la această regulă dreptele de profil pentru care paralelismul trebuie dovedit și prin proiecția pe planul lateral  $L$ .**

Într-adevăr, fie  $ab$ ,  $a'b'$  și  $ce$ ,  $c'e'$  (figura 3.13) cele două drepte de profil, întrucât  $ab$  este paralelă cu  $ce$  și  $a'b'$  cu  $c'e'$ , ar rezulta, conform teoremei enunțate, că cele două drepte  $AB$  și  $CE$  sunt paralele între ele în spațiu. Acest lucru nu se confirmă însă dacă se proiectează dreptele și pe planul  $L$ . Într-adevăr,  $a''b''$  nu este paralel cu  $c''e''$ , deci cele două drepte  $AB$  și  $CE$  nu sunt paralele între ele în spațiu.

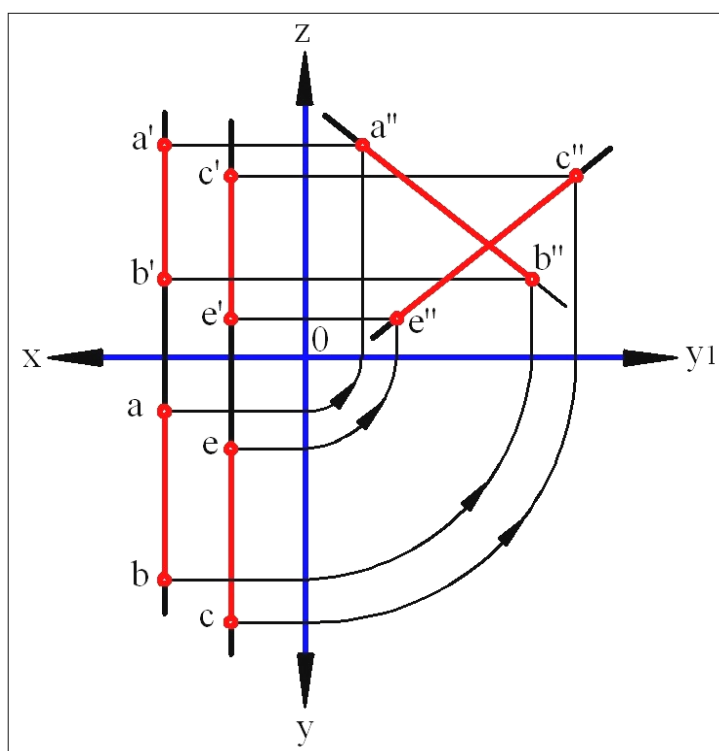


Fig.3.13.Drepte de profil, neparalele (epură).

### 3.5.2. Drepte concurente

**Două drepte concurente în spațiu au și proiecțiile lor pe un plan concurente.** Punctul de concurență al proiecțiilor este proiecția punctului de concurență al dreptelor din spațiu. Dacă cele două drepte concurente se proiectează pe planele  $H$  și  $V$  (figura 3.14,a,b) proiecțiile lor orizontale ( $ab$  și  $ce$ ) vor fi concurente și cele verticale ( $a'b'$  și  $c'e'$ ) de asemenea.

În plus, întrucât **punctul de concurență  $k$ ,  $k'$**  este comun celor două drepte, rezultă că în epură punctul de concurență  $k$  trebuie să fie pe aceeași linie de ordine cu punctul de concurență  $k'$ . **În concluzie:** *două drepte concurente din spațiu au, în epură, proiecțiile de același nume concurente și punctele de concurență ale proiecțiilor de același nume pe aceeași linie de ordine.*

**Reciproc**, se poate spune că, în general, *dacă proiecțiile de același nume a două drepte sunt concurente și punctele respective de intersecție sunt pe aceeași linie de ordine, dreptele sunt concurente.*



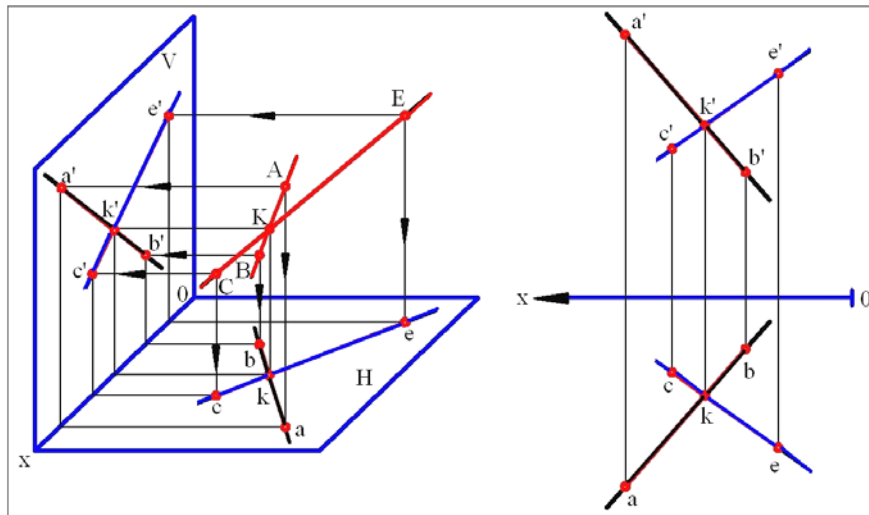


Fig. 3.14.a, b. Drepte concurente în K.

**Fac excepție de la această regulă dreptele de profil, a căror concurență chiar cu alte drepte trebuie verificată și în proiecția pe planul lateral  $L$ .**

Astfel, fie o dreaptă oarecare  $ab, a'b'$  și una de profil  $mn, m'n'$  (figura 3.15). Conform teoremei enunțate, cele două drepte din spațiu  $AB$  și  $MN$  ar trebui să fie concurente, deoarece  $ab$  și  $mn$  sunt concurente,  $a'b'$  și  $m'n'$  de asemenea, iar  $k_1$  este pe aceeași linie de ordine cu  $k_2'$ . Dacă se proiectează însă dreptele pe planul  $L$ , se vede că punctul  $k_3$  de concurență a proiecțiilor  $a''b''$  și  $m''n''$  nu este pe aceeași linie de ordine cu  $k_1$  și  $k_2'$ , deci cele două drepte  $AB$  și  $MN$  din spațiu nu sunt concurente.

Punctele  $k_1, k_2$  și  $k_3$  se numesc **puncte de concurență aparentă**, fiind de fapt numai puncte de concurență ale proiecțiilor, nu și ale dreptelor corespunzătoare din spațiu.

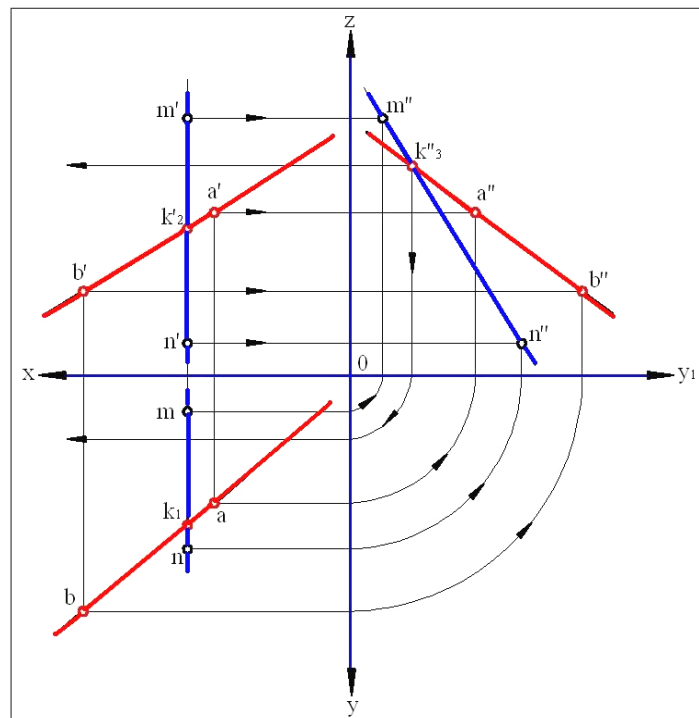


Fig. 3.15. Dreptele  $AB$  și  $MN$  neconcurente.

### 3.5.3. Drepte oarecare

**Dreptele care nu sunt nici concurente și nici paralele sunt într-o poziție oarecare una față de cealaltă.** Pentru ca două drepte să fie într-o poziție oarecare va trebui deci ca proiecțiile lor să nu îndeplinească nici una din condițiile stabilite pentru dreptele paralele și concurente.

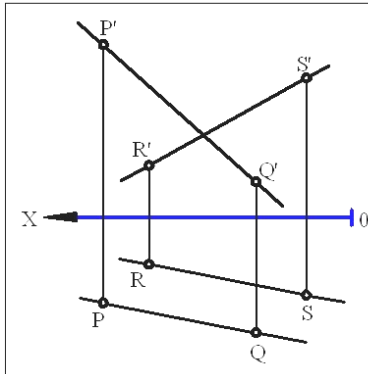


Fig. 3.16. Drepte oarecare.

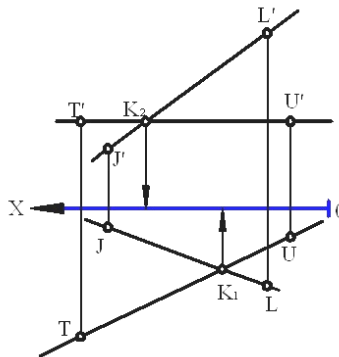


Fig. 3.17. Idem.

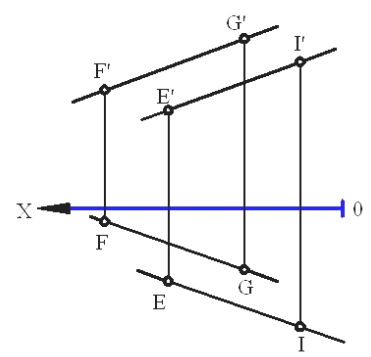


Fig. 3.18. Idem.

Astfel, dreptele:

- **PQ** și **RS** (figura 3.16.) nu sunt nici concurente și nici paralele, deoarece nu au decât proiecțiile orizontale paralele, respectiv cele verticale concurente;
- **TU** și **JL** (figura 3.17.) nu sunt concurente, deoarece deși **tu** este concurentă cu **jl** și **t'u'** cu **j'l'**, punctele **k1** și **k2'** sunt numai puncte de concurență aparentă, nefiind pe aceeași linie de ordine;
- **FG** și **EI** (figura 3.18.) nu sunt paralele, deoarece proiecțiile de același nume ale celor două drepte nu sunt paralele între ele (**fg** cu **ei** și **f'g'** cu **e'i'**).

Rezultă că dreptele reprezentate în cele trei epure sunt drepte oarecare.

Se mai face următoarea convenție în privința poziției observatorului față de planele de proiecție:

**Se consideră că proiecția orizontală a unui obiect constituie aspectul său pentru un observator așezat la o distanță infinită deasupra planului H și privind în direcția proiectantelor față de acesta. În mod analog, proiecția verticală a obiectului constituie aspectul său pentru un observator așezat la o distanță infinită în fața planului V și privind în direcția proiectantelor față de acesta.**

O problemă care se pune la dreptele oarecare este aceea de a stabili **care din cele două drepte trece deasupra, respectiv prin fața celeilalte**. Problema se rezolvă cu ajutorul punctelor de concurență aparentă din cele două proiecții.

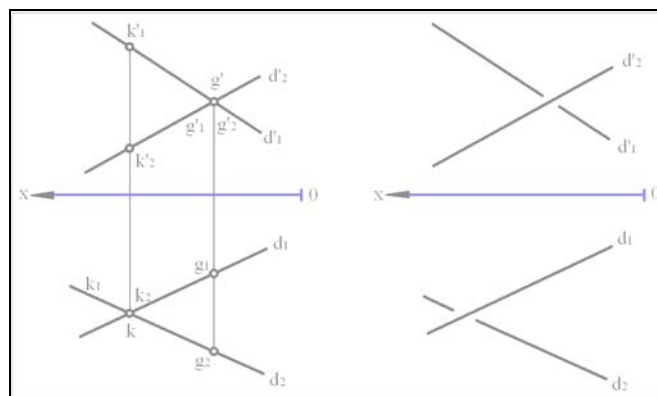


Fig. 3.19. Dreptele D1 și D2 în poziție oarecare.

Fie **D1** și **D2** (figura 3.19,a) cele două drepte oarecare. Dacă se urmărește epura, se vede că, de fapt în punctul de concurență aparentă **k**, se suprapun proiecțiile orizontale **k1** și **k2** a două puncte din spațiu: unul de pe dreapta, **d1**, **d1'** și celălalt de pe **d2**, **d2'**. Proiecțiile verticale **k1'** și **k2'** ale celor două puncte se găsesc la intersecția liniei de ordine ridicată din **k**, respectiv cu **d1'** și **d2'**. Deoarece punctul **k1**, **k1'** de pe dreapta **d1**, **d1'** are cota mai mare decât **k2**, **k2'** de pe **d2**, **d2'**, rezultă că dreapta, **d1**, **d1'** trece deasupra dreptei **d2**, **d2'**.

Este de remarcat că segmentul **K1K2**, care se proiectează orizontal în **k**, nu este altceva decât verticala care se reazemă pe cele două drepte date.

În mod similar, dacă se pornește de la punctul de concurență aparentă **g'** și se determină proiecțiile punctelor **g1**, **g1'** și **g2**, **g2'**, se deduce că dreapta **d2**, **d2'** este în fața dreptei **d1**, **d1'**. Segmentul **G1G2**, proiectat vertical în **g'**, este dreapta de capăt care se reazemă pe cele două drepte date.

Pentru a face epura mai expresivă se obișnuiește ca proiecția dreptei care este dedesubtul, respectiv în spatele celeilalte drepte, să fie întreruptă în dreptul punctului de concurență aparentă (figura 3.19,b).

### 3.5. Proiecția unghiurilor plane

Două drepte concurente determină un unghi plan. Acest unghi se proiectează ortogonal pe planele **H** și **V**, în general deformat.

Dacă planul dreptelor este paralel cu unul din planele de proiecție, unghiul dintre ele se va proiecta pe acesta, în adevărată mărime. Rezultă că unghiul determinat de două drepte de nivel va apărea în adevărată mărime pe planul **H**, după cum unghiul a două drepte frontale se va obține în adevărată mărime în proiecția pe planul **V**.

Dacă unghiul celor două drepte concurente este drept, este suficient ca numai una din ele să fie paralelă, cu planul de proiecție (orizontală sau frontală) pentru ca unghiul să se proiecteze pe acesta în adevărată mărime.

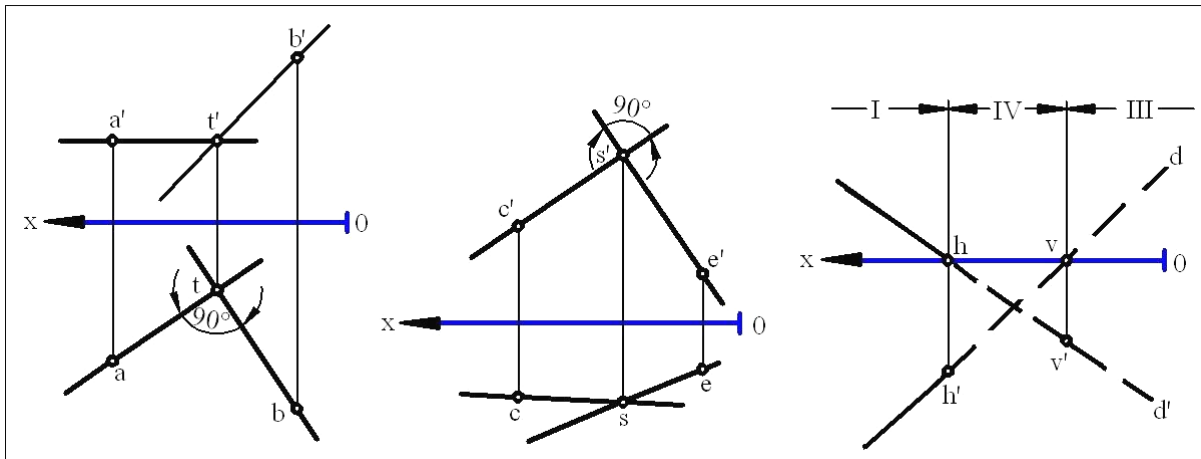


Fig. 3.20. Drepte perpendiculare. Fig. 3.21. Idem.

Fig. 3.22. Aplicația 1.

În epura din figura 3.20 sunt reprezentate două drepte perpendiculare **at**, **a't'** și **bt**, **b't'**. Dreptele sunt perpendiculare, deoarece una din ele **AT**, este o orizontală, iar proiecțiile orizontale **at** și **bt** se întâlnesc sub un unghi drept.

Dreptele **cs**, **cs'** și **es**, **es'** (figura 3.21) sunt de asemenea perpendiculare, deoarece **CS** este o frontală și proiecțiile verticale **c's'** și **e's'** se intersectează sub un unghi de 90°.

### 3.7. Aplicații

1) Cunosând proiecțiile  $v'$  și  $h$  ale urmelor unei drepte, să se găsească proiecțiile  $d$  și  $d'$  ale acesteia (figura 3.22).

**Rezolvare:**

Se determină întâi proiecțiile de nume contrar,  $v$  și  $h'$ , ale celor două urme ducând linii de ordine respectiv din  $v'$  și  $h$  până la linia de pământ. Se unesc  $v$  cu  $h$  și se obține proiecția orizontală  $d$  și apoi  $v'$  cu  $h'$  și se obține proiecția verticală  $d'$  a dreptei.

2) Se dă o dreaptă prin proiecțiile  $d$  și  $d'$  paralele între ele (figura 3.23). Se cere să se arate care este poziția drepte față de planele de proiecție și planele bisectoare.

**Rezolvare:**

Se determină, punctele caracteristice ale drepte (urmele și punctele de intersecție cu cele două plane bisectoare). Analizând semnele coordonatelor punctelor de pe dreaptă, se ajunge la concluzia că aceasta traversează pe rând diedrele  $IV$ ,  $I$  și  $II$ . Întrucât proiecțiile  $d$  și  $d'$  ale dreptei sunt paralele între ele, rezultă că dreapta nu intersectează al doilea plan bisector, deci este paralelă cu el.

3) Se dă o dreaptă de profil prin două puncte ale ei:  $M(2; 1; 1,5)$  și  $N(2; 4; 4)$ . Se cere proiecția verticală  $s'$  a unui punct  $S$  de depărtare egală cu 2, situat pe dreaptă (figura 3.24).

**Rezolvare:**

Se reprezintă întâi dreapta de profil  $mn$ ,  $m'n'$  în epură și pe această dreaptă proiecția  $s$  cunoscută. Pentru a găsi pe  $s'$  se proiectează dreapta pe planul lateral în  $m''n''$  după metoda cunoscută și apoi, pornind din  $s$ , se obține  $s''$  și de aici proiecția căutată  $s'$ , urmând drumul arătat în figură prin săgeți.

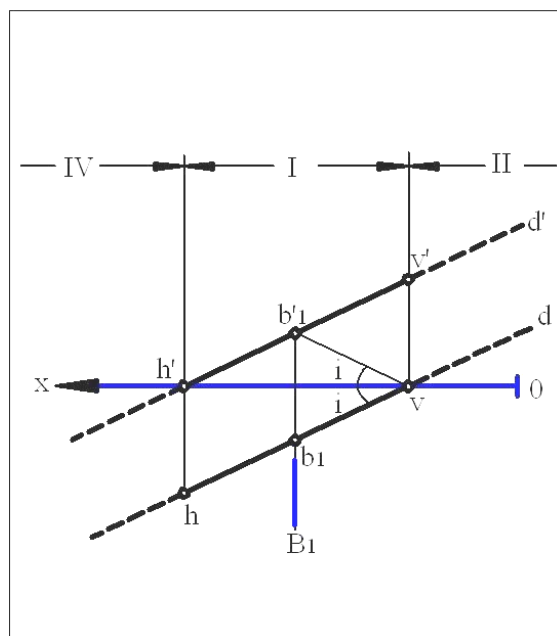


Fig.3.23. Aplicația 2.

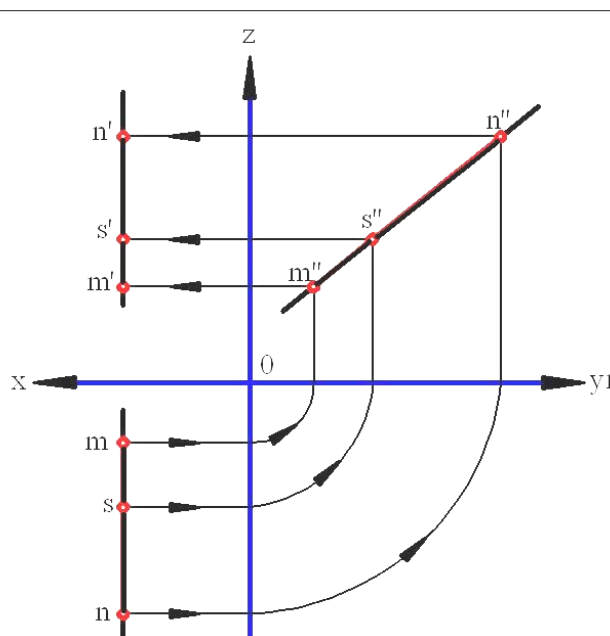


Fig.3.24. Aplicația 3.

4) Să se construiască o dreaptă care să treacă printr-un punct dat  $s$ ,  $s'$  și să se sprijine pe o dreaptă data  $d$ ,  $d'$  (figura 3.25).

**Rezolvare:**

Se duce întâi proiecția verticală  $u'$  a dreptei trecând prin  $s'$  și având o direcție arbitrară. La intersecția lui  $u'$  cu  $d'$ , se obține proiecția verticală  $t'$  a punctului de sprijin. Cu ajutorul liniei de ordine duse prin  $t'$  se obține pe  $d$  proiecția orizontală  $t$  a punctului și, cu ajutorul ei, proiecția orizontală  $ts$  a dreptei căutate. Problema are o infinitate de soluții, ceea ce rezultă și din epură, întrucât  $s't'$  s-a putut lua arbitrar.

Dacă se impune condiția ca dreapta dusă prin  $s$ ,  $s'$  să fie o orizontală, problema nu are decât o soluție. Într-adevăr, proiecția verticală  $s'r'$  (trasată cu linie-punct în epură) trebuind să fie paralelă cu linia  $Ox$  (dreaptă orizontală), punctul  $r'$ ,  $r$  și proiecția  $rs$  au acum poziții unice.

**5) Să se verifice dacă două drepte  $ab$ ,  $a'b'$  și  $ce$ ,  $c'e'$  ale căror proiecții nu se întâlnesc în cadrul epurei sunt sau nu concurente (figura 3.26).**

**Rezolvare:**

Dacă dreptele sunt concurente, sunt și coplanare. Dacă sunt coplanare, atunci, ducând două drepte oarecare  $rs$ ,  $r's'$  și  $tu$ ,  $t'u'$  care să se sprijine pe ele, acestea vor aparține și ele aceluiași plan, deci vor trebui la rândul lor să îndeplinească, în epură, condiția de concurență cunoscută.

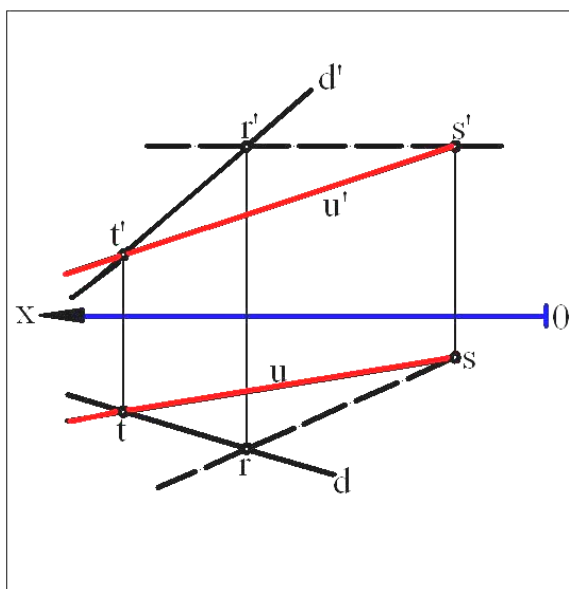


Fig. 3.25. Aplicația 4.

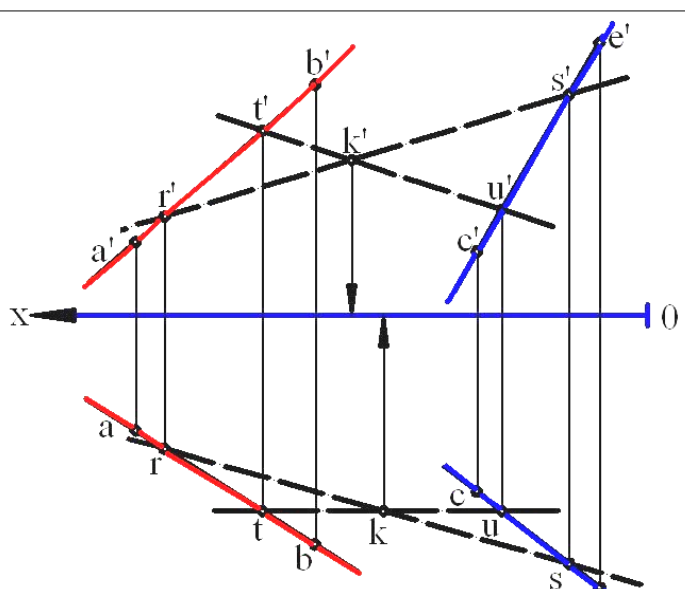


Fig. 3.26. Aplicația 5.

În epura din figura 3.26 se vede că cele două drepte date nu sunt concurente, întrucât proiecțiile  $k$  și  $k'$  nu sunt pe aceeași linie de ordine.

**6) Să se construiască perpendiculara comună la o dreaptă oarecare  $d$ ,  $d'$  și o dreaptă de capăt  $c$ ,  $c'$  (figura 3.27).**

**Rezolvare:**

Dreapta de capăt fiind perpendiculară pe planul  $V$ , rezultă că orice dreaptă perpendiculară pe aceasta va fi paralelă cu planul  $V$ , deci o frontală. Dacă se știe că perpendiculara comună celor două drepte este o frontală, potrivit celor stabilite la proiectarea unghiului drept, rezultă că unghiul de  $90^\circ$  dintre frontală și dreapta oarecare  $d$ ,  $d'$  se va proiecta în adevărată mărime pe planul  $V$ . Cu aceste observații se poate construi acum perpendiculara comună și în epură.

Prin punctul  $c'$ , proiecția verticală a dreptei de capăt, se duce proiecția verticală  $g'$  a perpendicularei comune, perpendicular pe  $d'$ . Cu ajutorul liniei de ordine ce trece prin  $t'$  se găsește pe  $d$  proiecția orizontală  $t$  a punctului de intersecție dintre dreapta oarecare  $d$ ,  $d'$  și perpendiculara comună. Proiecția orizontală  $g$  a acesteia se obține ducând prin  $t$  o paralelă la  $Ox$  (proiecția orizontală a unei frontale).

**7) Se dau un punct  $m, m'$  și o dreaptă fronto-orizentală  $d, d'$  (figura 3.28).**

**Se cere să se construiască în epură un pătrat având un vârf în  $m, m'$  și o latură pe fronto-orizentală  $d, d'$ .**

**Rezolvare:**

Întrucât latura pătratului care se găsește pe dreapta  $d, d'$  este fronto-orizentală, rezultă că și latura opusă, care trece prin  $m, m'$  va fi tot fronto-orizentală. Celelalte două laturi fiind perpendiculare pe cele două fronto-orizontale, vor fi segmente de profil. Cele două fronto-orizontale se proiectează pe planul lateral după punctele  $d''$  și  $m''$ , iar laturile de profil ale pătratului după segmentul  $d''m''$ , în adevărată mărime.

Pentru a construi proiecțiile pătratului pe planele  $V$  și  $H$  se duc întâi din  $m$  și  $m'$  proiecțiile  $mn$  și  $m'n'$  ale uneia din laturile de profil ale pătratului, respectiv perpendicular pe  $d$  și  $d'$  (unghiul de  $90^\circ$  făcut de laturile pătratului apare în adevărată mărime atât pe  $H$  cât și pe  $V$ , întrucât  $d, d'$  este paralelă cu ambele plane de proiecție).

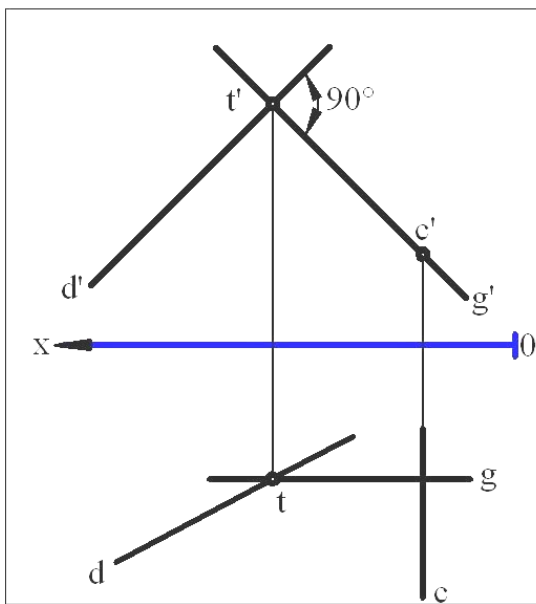


Fig. 3.27. Aplicația 6.

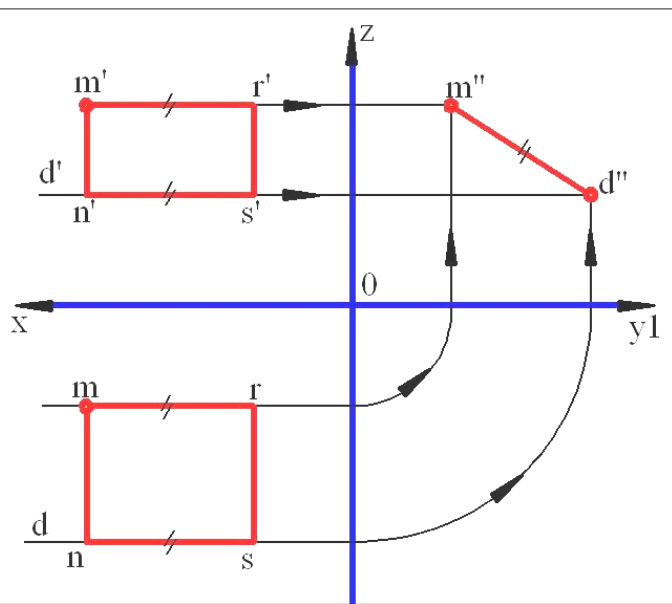


Fig. 3.28. Aplicația 7.

Pe proiecțiile celor două fronto-orizontale se poartă din  $m$  și  $n$ , respectiv  $m'$  și  $n'$ , segmente de lungime egală cu  $d''m''$  (laturile respective ale pătratului apar în adevărată mărime pe planele,  $H$  și  $V$ , ca fronto-orizontale). Unind între ele punctele  $r$  și  $s$ , respectiv  $r'$  și  $s'$  astfel aflate, se obțin și proiecțiile celei de-a patra laturi a pătratului.

## 4. REPREZENTAREA PLANULUI

### 4.1. Urmele planului

Un plan oarecare poate fi reprezentat în epură prin proiecțiile elementelor geometrice care îl determină, adică trei puncte necoliniare, o dreaptă și un punct exterior ei, două drepte concurente sau două drepte paralele.

Acest mod de reprezentare, nu este însă sugestiv și de aceea, se preferă reprezentarea prin drepte prin care planul dat  $P$  intersectează planele  $H$  și  $V$ .

Aceste drepte se numesc **urma orizontală** și respectiv **urma verticală a planului** pe planele de proiecție și se notează cu  $Ph$  și  $Pv$  (figura 4.1,a).

Cele trei plane concurente  $P$ ,  $H$  și  $V$  se intersectează două câte două după trei drepte,  $Ph$ ,  $Ox$  și  $Pv$ , care se întâlnesc în punctul de concurență al celor trei plane, notat cu  $Px$ .

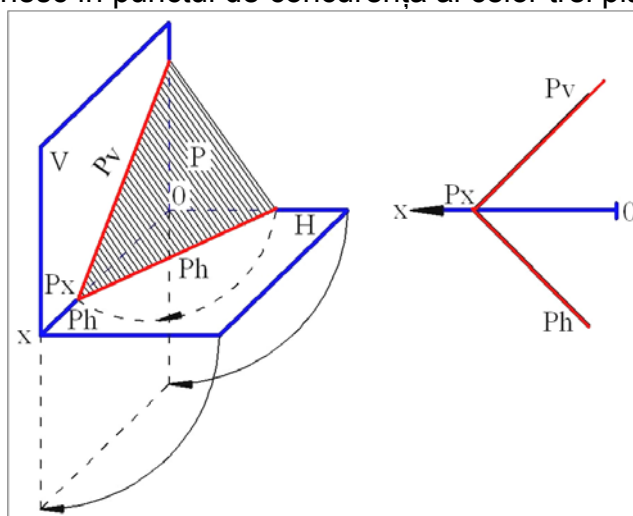


Fig.4.1.a) Urmele planului  $P$ .

În epură (figura 4.1,b), urma orizontală a planului, are proiecția orizontală  $Ph$  pe planul  $H$ , iar proiecția verticală pe linia pământului. Analog, urma verticală are proiecția verticală în  $Pv$  pe planul  $V$ , iar proiecția orizontală pe linia pământului.

Pentru simplificarea notațiilor nu se mai notează în epură și proiecțiile urmelor de pe linia  $Ox$ . Acest lucru trebuie reținut, deoarece dacă se compară epura unui plan oarecare  $P$  (figura 4.2,a) cu aceea a unei drepte  $D$  ce trece prin linia pământului (figura 4.2,b), se vede că acestea se deosebesc numai prin notații și deci se pot ușor confunda. Nu trebuie uitat că urmele unui plan sunt două drepte distincte, conținute în acesta și deci cele două proiecții  $Ph$  și  $Pv$  prin care sunt reprezentate în epură nu corespund.

Rezultă că un punct de pe urma  $Ph$  are proiecția orizontală  $m1$  pe  $Ph$  și cea verticală  $m1'$  pe  $Ox$ , după cum un punct aparținând urmei  $Pv$  are proiecția verticală  $m2'$  pe  $Pv$  și cea orizontală  $m2$  pe  $Ox$ , în timp ce punctul de pe dreapta  $d$ ,  $d'$ , ce trece prin linia  $Ox$ , are proiecția verticală  $m'$  pe  $d'$  și cea orizontală  $m$  pe  $d$ .

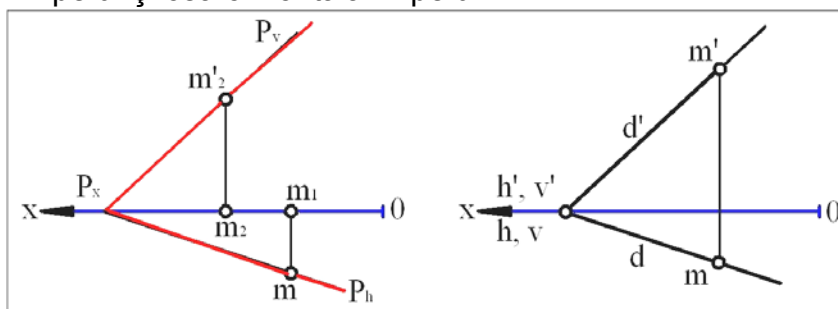


Fig.4.2.a) Punctul  $M$  pe urma planului  $P$  și pe dreapta  $D$ .

### Determinarea urmelor unui plan.

Urmele unui plan pot fi construite în epură și dacă planul este dat prin două drepte concurente, două drepte paralele sau oricare alte elemente care îl determină.

Astfel, fie  $d_1, d_1'$  și  $d_2, d_2'$  (figura 4.3) **două drepte concurente care determină un plan  $P$** . Se construiesc întâi urmele orizontale  $h_1, h_1'$  și  $h_2, h_2'$  și urmele verticale  $v_1, v_1'$  și  $v_2, v_2'$  ale celor două drepte date. Dacă se unesc între ele urmele de același nume, se obțin două drepte  $h_1h_2, h_1'h_2'$  și  $v_1v_2, v_1'v_2'$  care se sprijină pe cele două drepte date și deci sunt în planul lor. Dar dreptele  $H_1H_2$  și  $V_1V_2$  sunt în același timp și în planul  $H$  respectiv  $V$ , deoarece au fiecare câte două puncte aparținând acestor plane; rezultă că ele sunt chiar urmele  $Ph$  și  $Pv$  ale planului. Construcția grafică este bine executată dacă cele două urme aflate se întâlnesc într-un punct  $P_x$  pe linia pământului.

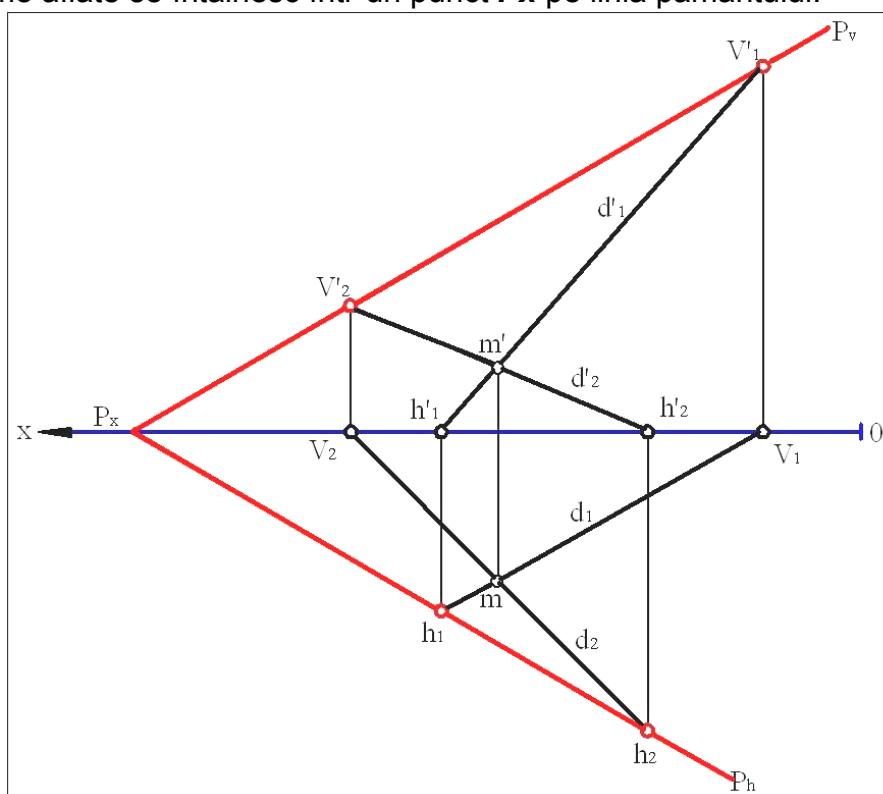


Fig.4.3. Determinarea urmelor planului  $P$ .

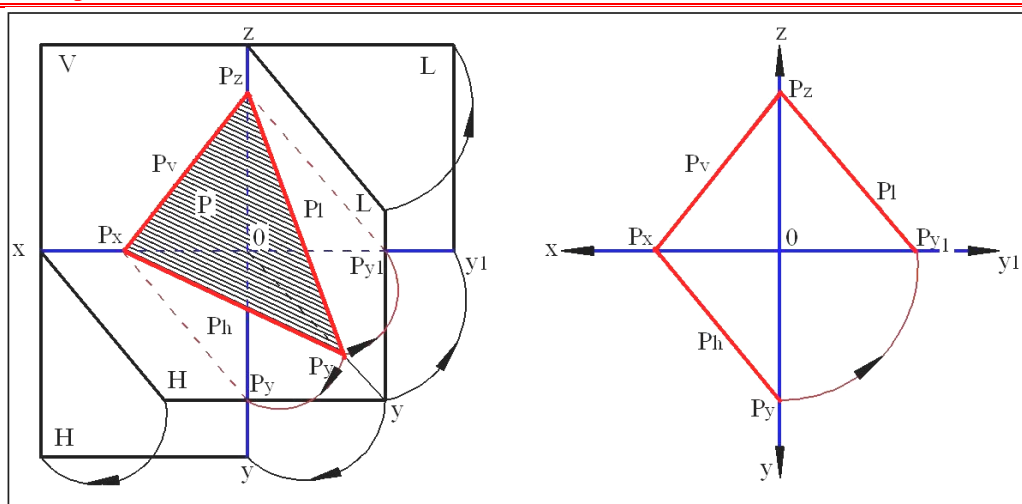
**Dacă planul  $P$  este definit prin două drepte paralele**, metoda care conduce la aflarea urmelor planului este aceeași. Se caută urmele dreptelor și prin acestea se duc urmele planului.

**Dacă planul este dat printr-o dreaptă și un punct exterior ei sau prin trei puncte necoliniare**, problema aflării urmelor planului se poate reduce la una din cele două menționate. În primul caz, prin punctul dat se duce o dreaptă concurentă sau paralelă cu dreapta dată; în cel de-al doilea, se unesc între ele două din punctele date și se obține o dreaptă, iar prin al treilea se duce a doua dreaptă, fie concurentă, fie paralelă cu prima.

**Urma unui plan oarecare pe planul lateral de proiecție** poate fi determinată dacă se cunosc urmele pe planul orizontal și planul vertical de proiecție.

Fie dat planul oarecare  $P$  (figura 4.4,a,b). Dacă se prelungesc urmele  $Ph$  și  $Pv$ , până când intersectează planul  $L$ , se obțin punctele  $P_y$  respectiv  $P_z$  care, fiind în același timp în planul  $P$  și în planul  $L$  vor determina dreapta de intersecție a celor două plane, adică urma laterală  $Pl$  a planului  $P$ .



Fig.4.4. a), b). Urmă laterală a planului  $P$  în triedru și epură.

## 4.2. Drepte conținute în plan

### 4.2.1. Dreaptă oarecare.

Condiția necesară și suficientă ca o dreaptă oarecare să aparțină unui plan dat este ca urmele dreptei să se afle pe urmele de același nume ale planului.

Fie  $P$  planul dat (figura 4.5, a) și  $D$  dreapta oarecare conținută în plan. Dacă dreapta  $D$  este conținută în planul  $P$ , rezultă că toate punctele ei sunt conținute în acest plan și deci, și cele două urme  $h, h'$  și  $v, v'$ . Urma  $h, h'$  este un punct de pe dreaptă cuprins atât în planul  $P$  cât și în planul  $H$  și deci se află pe dreapta după care se intersectează cele două plane, adică pe urma  $Ph$  a planului  $P$ . În mod analog, urma  $v, v'$ , fiind un punct de pe dreaptă cuprins simultan în planul  $P$  și planul  $V$ , nu poate fi decât pe urma  $Pv$  a planului  $P$ .

Pentru a construi deci în epură (figura 4.5, b) o dreaptă oarecare  $d, d'$  conținută într-un plan  $P$  dat prin urmele lui  $Ph$  și  $Pv$ , se ia urma  $h, h'$  a dreptei pe urma  $Ph$  a planului și urma  $v, v'$  pe  $Pv$ ; se unesc apoi  $h$  cu  $v$  și  $h'$  cu  $v'$  și se obțin cele două proiecții ale dreptei.

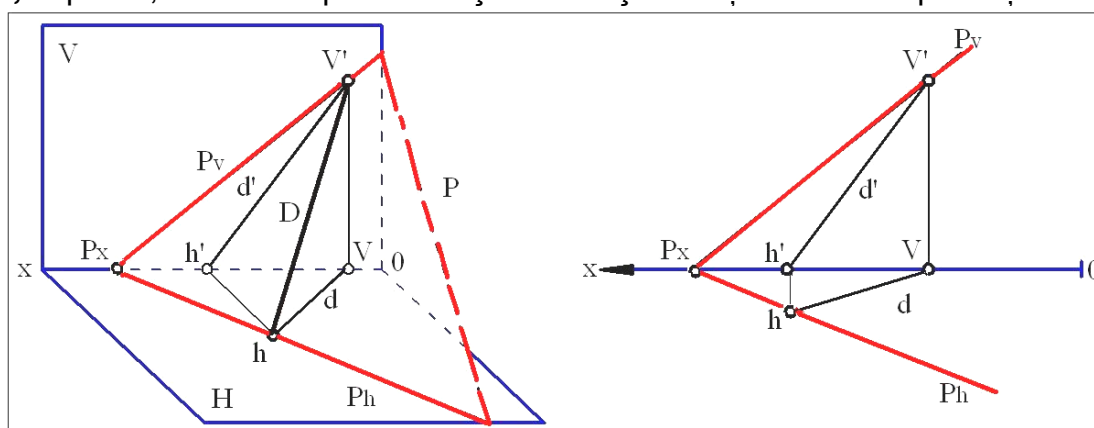


Fig.4.5. Dreaptă oarecare.

### 4.2.2. Drepte particulare ale planului

**Orizontala** sau dreapta de nivel a planului este o dreaptă conținută în planul  $P$  și paralelă cu planul orizontal de proiecție (figura 4.6). Proiecțiile  $d', d''$  ale orizontalei din plan sunt paralele cu linia de pământ, iar proiecția orizontală  $d$  este paralelă cu urma orizontală  $Ph$  a planului  $P$ . Unghiul  $\beta$  este unghiul pe care dreapta de nivel  $D (d, d', d'')$  îl face cu planul vertical de proiecție.

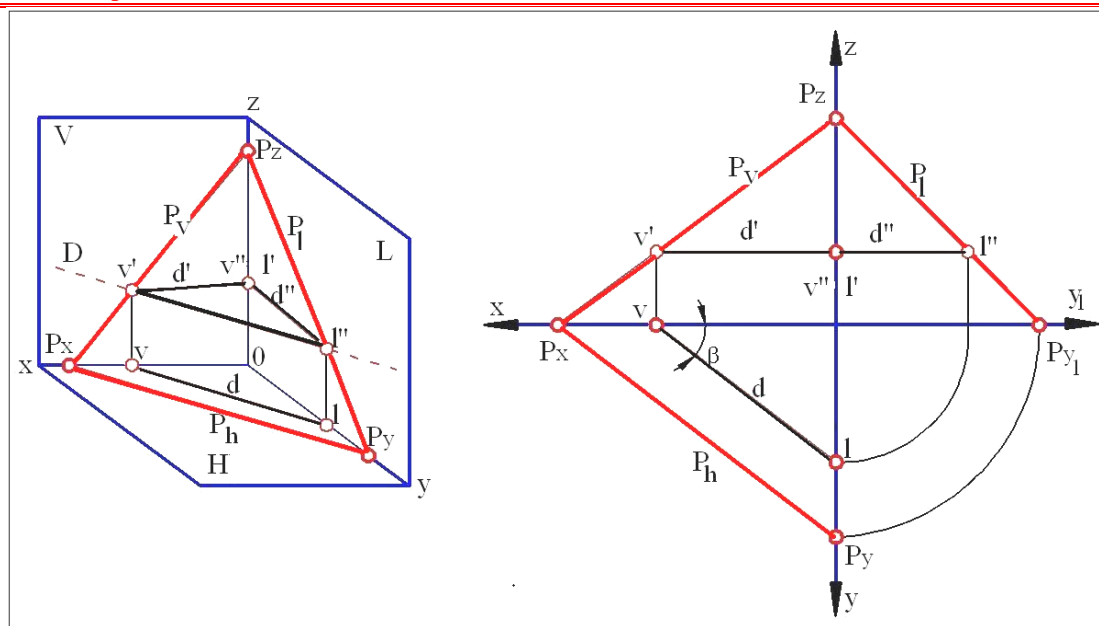


Fig.4.6. Dreapta de nivel  $D$  a planului  $P$ .

**Frontala** sau dreapta de front a planului este o dreaptă  $D (d, d', d'')$  conținută în planul  $Q$  și paralelă cu planul vertical de proiecție (figura 4.7). Ea are proiecția orizontală  $d$  paralelă cu linia de pământ, proiecția verticală  $d'$  paralelă cu urma verticală a planului  $Q_v$ , iar proiecția laterală  $d''$  perpendiculară pe  $Ox$ .

Unghiul  $\alpha$  este unghiul pe care frontala îl formează cu planul orizontal de proiecție.

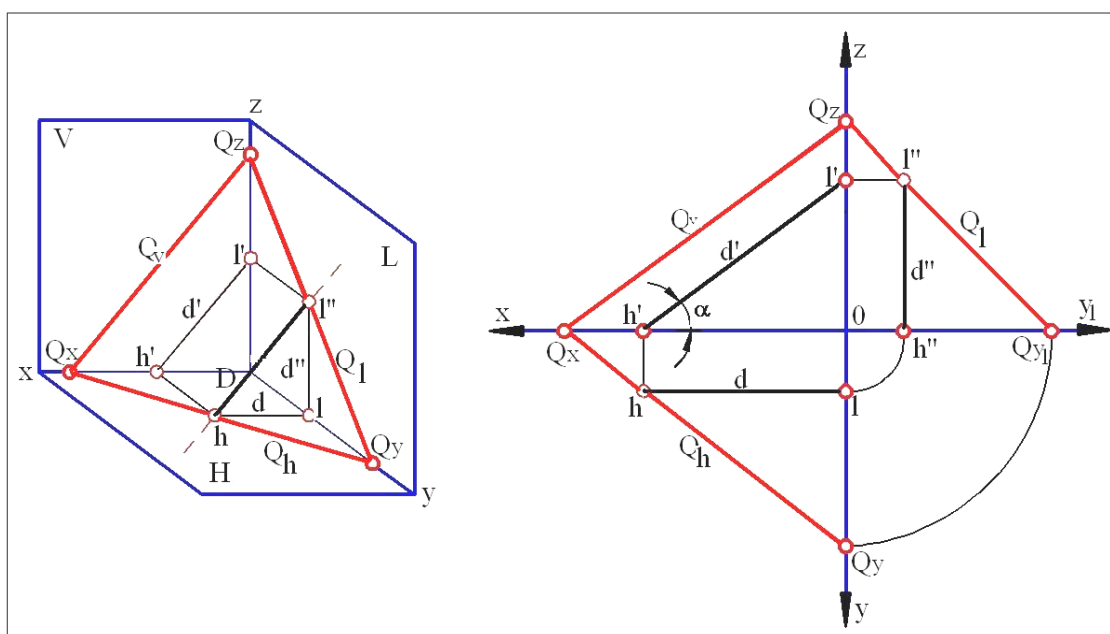
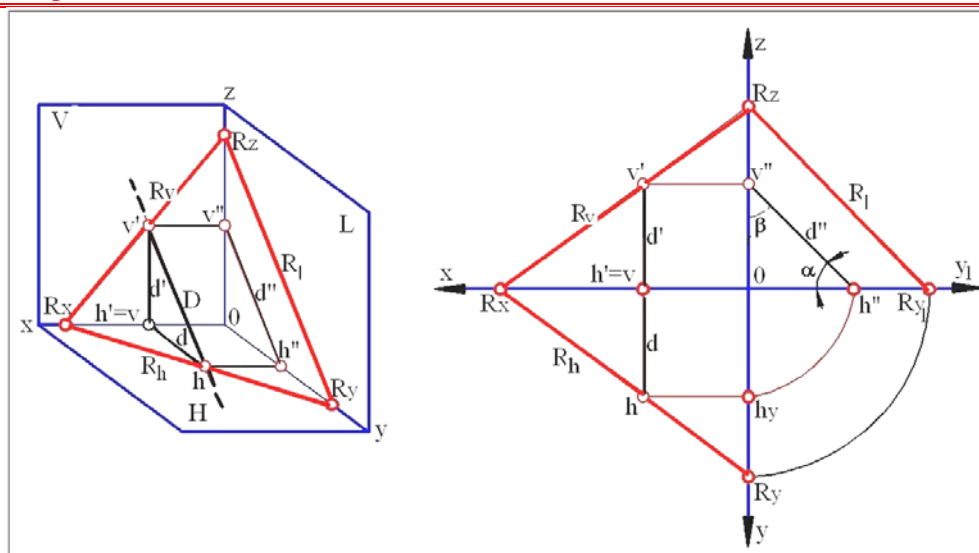


Fig.4.7. Dreapta de front  $D$  a planului  $Q$

**Dreapta de profil** conținută în planul  $R$  este în același timp paralelă cu planul lateral de proiecție (fig.4.8). Proiecțiile sale  $d$  și  $d'$  sunt în prelungire și perpendiculare pe  $Ox$ , iar proiecția laterală  $d''$  este paralelă cu urma laterală a planului. Unghiurile  $\alpha$  și  $\beta$  sunt unghiurile pe care dreapta le face cu planul orizontal și respectiv vertical de proiecție.

Fig.4.8. Dreapta de profil  $D$  a planului  $R$ 

#### 4.2.3. Drepte de cea mai mare pantă ale planului ( $d.d.c.m.m.p.$ )

Se numește dreaptă de cea mai mare pantă a unui plan  $P$  față de planul  $H$  dreapta  $T$  cuprinsă în planul  $P$ , perpendiculară pe toate orizontalele planului și deci implicit și pe urma  $Ph$  a acestuia (figura 4.9, a).

Pentru a construi în epură (figura 4.9,b)  $d.d.c.m.m.p.$  a planului dat  $Ph$ ,  $Pv$  față de planul  $H$  se pornește de la proiecția ei orizontală  $hv$ , care se duce perpendiculară pe urma  $Ph$ , deoarece unghiul de  $90^\circ$  pe care  $d.d.c.m.m.p.$  îl face cu oricare din orizontalele planului, se proiectează în adevărată mărime pe planul  $H$ . După ce se duce proiecția  $hv$  perpendiculară pe  $Ph$ , se pune condiția ca dreapta să fie cuprinsă în plan: cu ajutorul liniilor de ordine ridicate din  $h$  și  $v$  se determină  $h'$  și  $v'$ , la intersecția cu  $Ox$  respectiv  $Pv$  și cu acestea proiecția  $h'v'$  a dreptei.

**Proprietățile  $d.d.c.m.m.p.$  a unui plan față de planul  $H$  sunt următoarele:**

a) Deoarece atât  $d.d.c.m.m.p.$  ( $T$ ) cât și proiecția ei ( $t$ ) pe planul  $H$  sunt perpendiculare pe urma  $Ph$  a planului, rezultă că planul determinat de ele (hașurat în schiță) este și el perpendicular pe  $Ph$  și implicit, pe planele  $P$  și  $H$ . Rezultă că unghiul diedru format de planul  $P$  cu planul orizontal de proiecție  $H$  are ca măsură unghiul plan  $\delta$  cuprins între  $d.d.c.m.m.p.$  și proiecția ei pe planul  $H$ .

Dreapta  $d.d.c.m.m.p.$  față de planul  $H$  este deci dreapta cu cea mai mare înclinare ( $\delta$ ) față de planul  $H$ , care se poate duce în planul  $P$ . Ea are și o semnificație fizică: picăturile de ploaie care se scurg pe fața unui acoperiș spre jgheab urmează  $d.d.c.m.m.p.$  a acoperișului, etc.

b) Dreapta  $d.d.c.m.m.p.$  a unui plan  $P$  față de planul  $H$ , determină complet planul.

Fie  $t, t'$  proiecțiile unei drepte oarecare considerată  $d.d.c.m.m.p.$  a unui plan  $P$  față de planul  $H$  (figura 4.9.b). Pentru a determina urmele planului se duce întâi urma  $Ph$ , perpendiculară pe  $t$  prin  $h$  și, la intersecția cu  $Ox$ , se află  $Px$ . Urmă  $Pv$  trebuie să treacă prin  $Px$ , dar și prin  $v'$ , deoarece  $d.d.c.m.m.p.$  este o dreaptă aparținând planului. Întrucât atât  $Ph$  cât și  $Pv$  astfel aflate au poziții unice în epură, rezultă că  $d.d.c.m.m.p.$  față de planul  $H$  determină complet planul  $P$ .

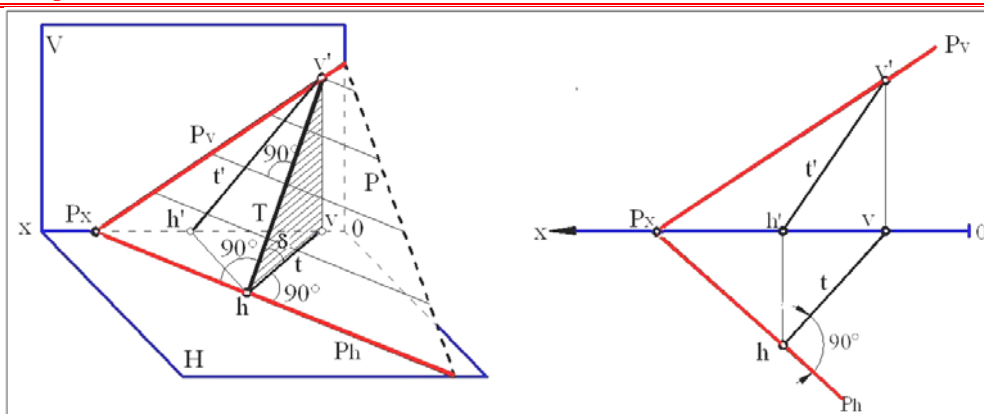


Fig.4.9. a),b) Dreapta de cea mai mare pantă față de planul orizontal

Prin analogie, se poate reprezenta și **d.d.c.m.m.p. a planului în raport cu planul vertical** de proiecție, și anume dreapta cuprinsă în plan, perpendiculară pe toate frontalele planului. Rezultă proprietăți similare raportate în acest caz la planul vertical de proiecție.

În figura 4.10.a,b este reprezentată în schiță și epură **d.d.c.m.m.p.** a unui plan oarecare **P** față de planul **V**. De reținut: proiecția verticală **t'** a dreptei este perpendiculară pe urma verticală **Pv** a planului.

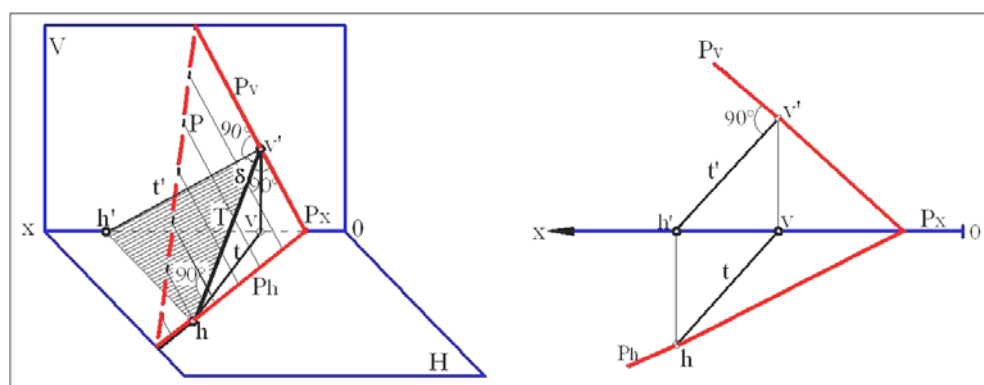


Fig.4.10. Dreapta de cea mai mare pantă față de planul vertical

### 4.3. Punct conținut în plan

Pentru ca un punct să fie conținut într-un plan este suficient să fie așezat pe o dreaptă a planului.

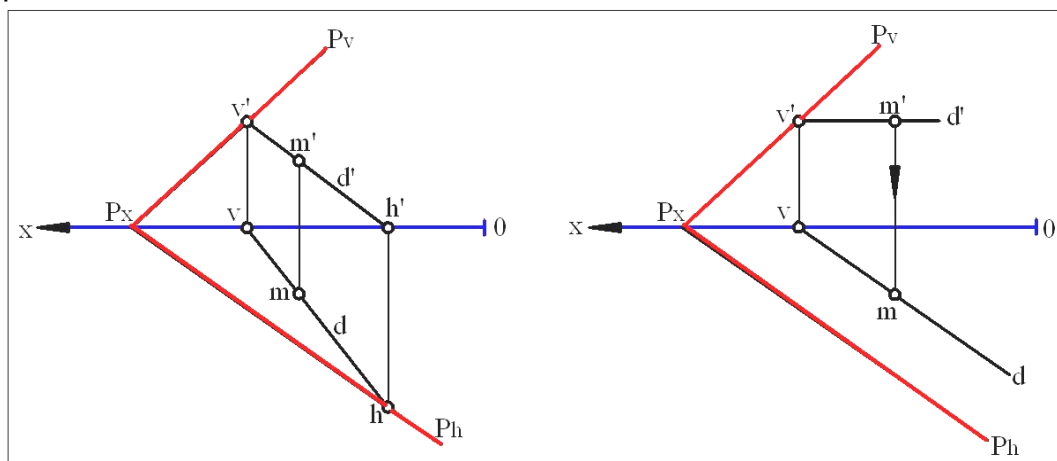


Fig.4.11. Punctul M pe dreapta oarecare D. Fig.4.12. Punctul M pe dreapta orizontală D

Pentru a construi în epură (figura 4.11.) proiecțiile unui punct oarecare  $m, m'$  care aparține planului  $Ph, Pv$ , se duce întâi o dreaptă oarecare  $d, d'$  cuprinsă în plan și se așează apoi proiecțiile punctului pe proiecțiile de același nume ale dreptei.

Dacă se dă una din proiecțiile punctului căutat, de exemplu cea verticală, și se cere să se determine cealaltă proiecție punând condiția ca punctul să aparțină planului dat, se urmează calea indicată mai sus, cu specificarea că trebuie dusă întâi proiecția verticală a dreptei aparținând planului prin proiecția verticală a punctului.

De cele mai multe ori, pentru a obține o simplificare a construcțiilor grafice, dreapta pe care se așează punctul se ia fie o orizontală, fie o frontală a planului.

Astfel, fie  $Ph, Pv$  planul dat (figura 4.12) și  $m'$  proiecția verticală a punctului ce trebuie așezat în plan. Se duce întâi proiecția verticală  $d'$  a unei orizontale a planului trecând prin proiecția  $m'$  a punctului; după ce s-a determinat proiecția  $d$  a dreptei punând condiția ca aceasta să fie cuprinsă în planul  $Ph, Pv$ , se obține la intersecția liniei de ordine coborâtă din  $m'$  cu  $d$ , proiecția orizontală  $m$  căutată.

## 4.4. Plane în poziții particulare față de planele de proiecție

### 4.4.1. Plane perpendiculare pe planele de proiecție

a. **Planul vertical** este un plan perpendicular pe planul orizontal de proiecție și deci, implicit, proiectant față de acesta.

Fie  $P$  un plan vertical oarecare, de urme  $Ph$  și  $Pv$  (figura 4.13.a). Deoarece atât  $P$  cât și  $V$  sunt perpendiculare pe  $H$ , dreapta lor de intersecție, urma  $Pv$ , trebuie să fie perpendiculară pe  $H$  și deci și pe  $Ox$ , care este o dreaptă cuprinsă în  $H$ . Rezultă deci că în epură (figura 4.13.b) urma  $Pv$  a planului vertical va trebui dusă perpendicular pe linia pământului. Planul vertical  $P$  fiind proiectant față de  $H$ , orice punct  $M$  cuprins în planul  $P$  va avea proiecția orizontală  $m$  pe urma orizontală a planului. De asemenea, orice dreaptă, linie curbă sau figură plană (triunghi, cerc, etc.), situată într-un plan vertical, se proiectează orizontal chiar pe urma orizontală  $Ph$  a planului, deci proiecțiile lor orizontale se reduc la o linie dreaptă, urma  $Ph$ .

Deoarece atât planul  $P$  cât și planul  $V$  sunt perpendiculare pe  $H$ , rezultă că unghiul diedru al celor două plane,  $P$  și  $V$ , poate fi măsurat în adevărată mărime în  $\alpha$  pe planul  $H$ , fiind determinat de  $Ph$  și  $Ox$ .

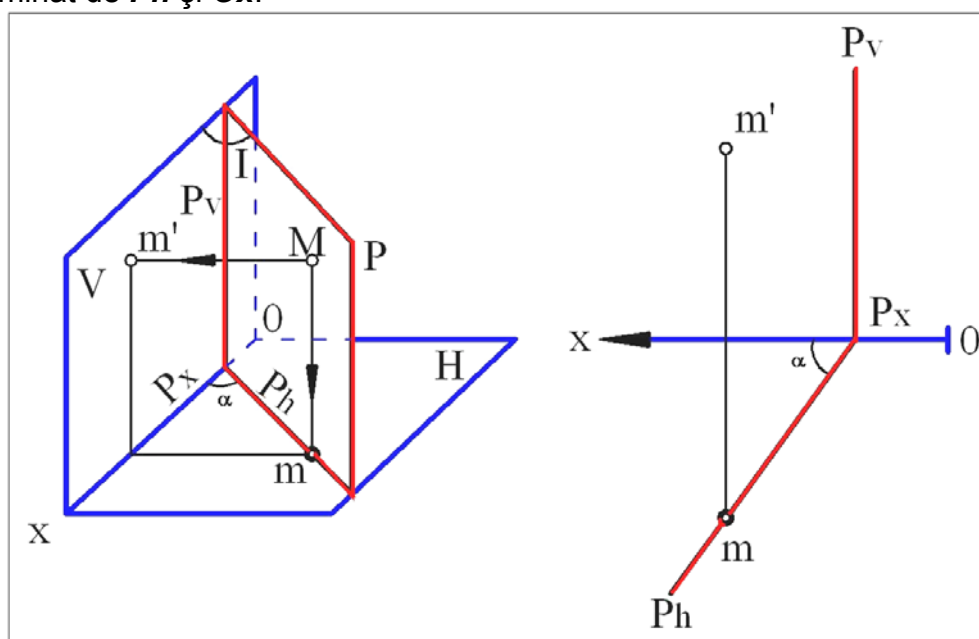


Fig.4.13. Planul vertical  $P$ .

**b. Planul de capăt  $R$**  este un plan perpendicular pe planul vertical de proiecție și deci proiectant față de acesta.

Prin analogie cu planul vertical, urmărind același raționament, rezultă în ceea ce privește planul de capăt  $R$  (figura 4.14. a.b.):

- urma orizontală  $Rh$  a planului de capăt este perpendiculară pe linia pământului;
- un punct oarecare cuprins într-un plan de capăt și deci orice figură plană în această situație se proiectează pe planul  $V$  chiar pe urma verticală  $Rv$  a planului;
- unghiul diedru al planelor  $R$  și  $H$  se măsoară în adevărată mărime în planul  $V$ , fiind determinat de  $Rv$  și  $Ox$ .

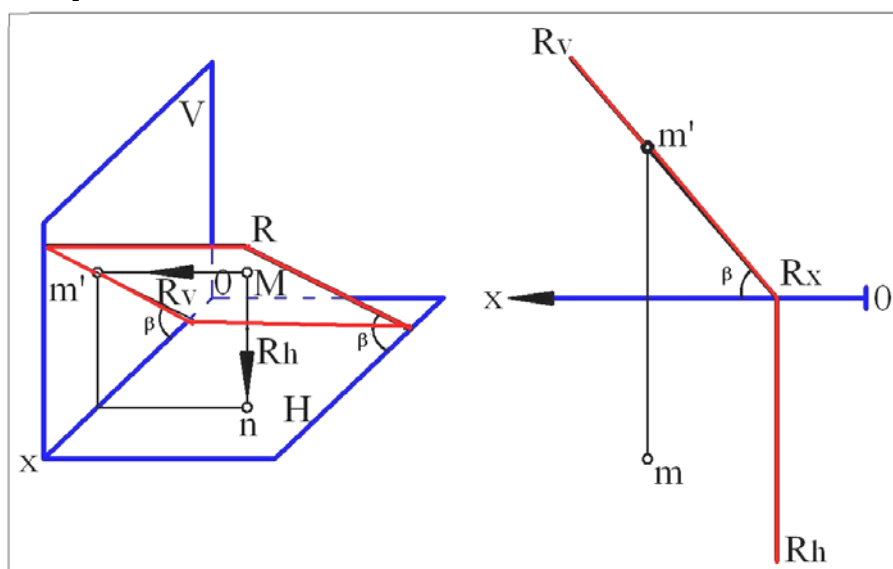


Fig.4.14. Planul de capăt  $R$ .

**c. Plan paralel cu linia pământului.**

Planul  $Q$  este un plan perpendicular pe planul lateral  $L$ , fiind paralel cu linia pământului (figura 4.15.a.b). Rezultă că cele două urme  $Qh$  și  $Qv$  trebuie să fie paralele cu  $Ox$ . Orice punct  $M$  cuprins într-un plan paralel cu  $Ox$  se proiectează deci pe planul  $L$  pe urma laterală  $Ql$  a planului.

Proiecțiile  $m$ ,  $m'$  ale unui punct  $M$  cuprins într-un plan  $Q$  paralel cu  $Ox$  se determină fie pe calea obișnuită așezând punctul pe o dreaptă oarecare aparținând planului, fie pornind de la proiecția laterală  $m''$  (care se găsește pe urma  $Ql$ ), cu ajutorul construcțiilor grafice cunoscute.

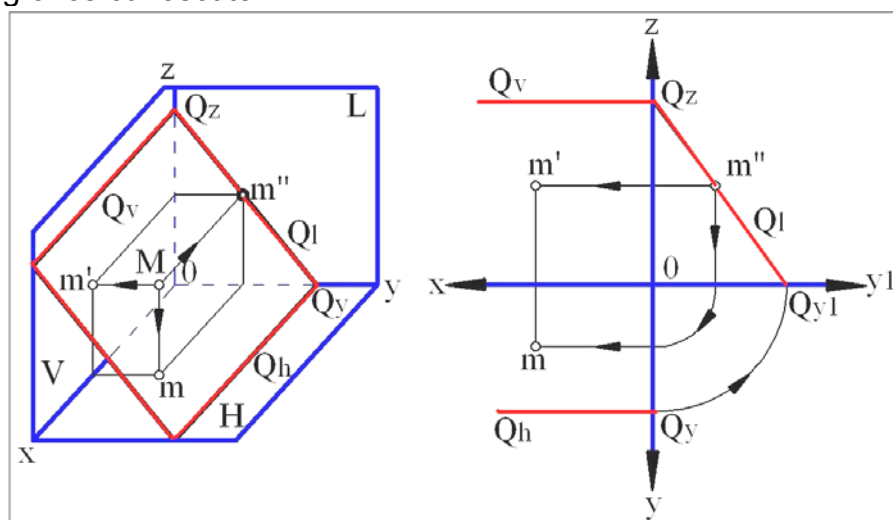


Fig. 4.15. Planul  $Q$  perpendicular pe planul lateral

**d. Plan care trece prin linia pământului.**

Planul axial (figura 4.16. a.b) este un plan care trece prin axa  $Ox$ . Ca și planul paralel cu linia pământului, planul axial  $U$  fiind perpendicular pe planul lateral  $L$ , este proiectant față de acesta.

Planul axial are ambele urme,  $Uh$  și  $Uv$ , confundate cu  $Ox$ , deci reduse la o singură dreaptă; aceasta face ca planul să nu poată fi determinat prin urmele sale  $Uh$  și  $Uv$ . Pentru a-l defini se recurge fie la urma  $Ul$ , fie la un punct suplimentar cuprins în plan și reprezentat în epură o dată cu urmele  $Uh$  și  $Uv$ .

Un punct oarecare  $M$  cuprins într-un plan axial se proiectează pe urma laterală  $Ul$  a planului, în  $m''$ . Urma laterală  $Ul$  a planului axial trece prin originea  $O$ .

Cele două plane bisectoare  $B1$  și  $B2$ , nu sunt altceva decât plane axiale în poziții particulare.

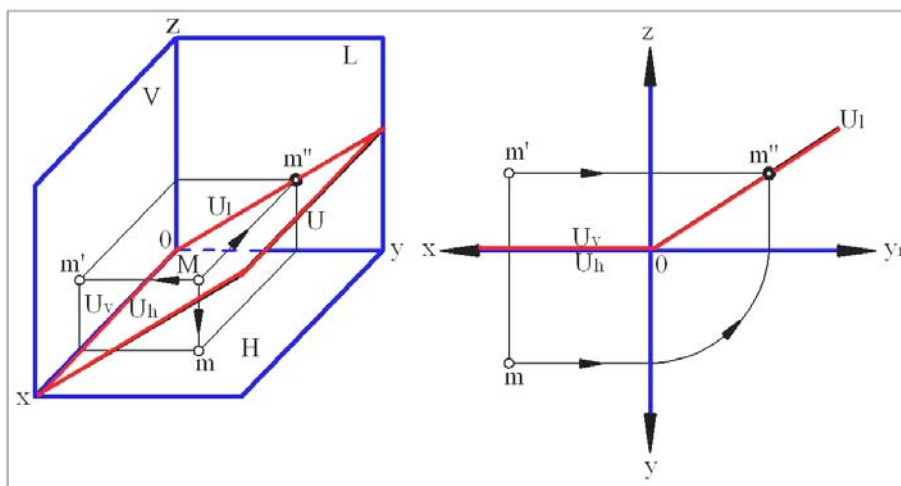


Fig.4.16. Planul axial  $U$ .

**4.4.2. Plane paralele cu planele de proiecție**

a. Planul orizontal sau de nivel (figura 4.17.a.b) este un plan paralel cu planul orizontal de proiecție; fiind în același timp și perpendicular pe planul vertical de proiecție, rezultă că este, de fapt un plan de capăt într-o poziție particulară.

Planul de nivel  $S$  nu are urmă orizontală, întrucât este paralel cu  $H$ . Urma verticală  $Sv$  este paralelă cu  $Ox$ , deoarece cele două plane paralele,  $S$  și  $H$ , se intersectează cu  $V$  după două drepte paralele,  $Sv$  respectiv  $Ox$ .

Planul de nivel, fiind proiectant față de  $V$ , rezultă că orice punct  $M$  cuprins în plan are proiecția verticală  $m'$  pe urma verticală  $Sv$  a planului.

Planul de nivel fiind paralel cu planul  $H$ , orice element geometric cuprins în plan se proiectează pe planul  $H$  în adevărată mărime.

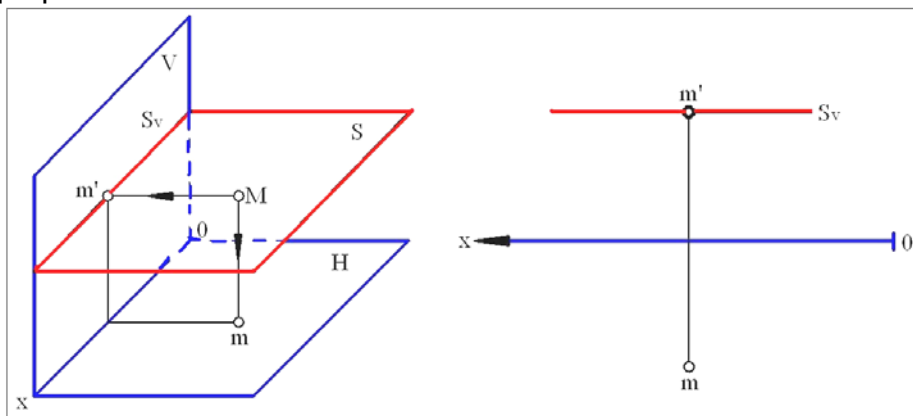


Fig.4.17. Planul de nivel  $S$ .



**b. Planul de front (figura 4.18) este un plan paralel cu planul vertical de proiecție și deci perpendicular pe planul orizontal de proiecție, adică de fapt un plan vertical într-o poziție particulară. El are o singură urmă orizontală  $Th$ , care este paralelă cu  $Ox$ .**

Orice element geometric cuprins într-un plan de front se proiectează în adevărată mărime pe planul  $V$  și după urma orizontală  $Th$  pe planul  $H$ .

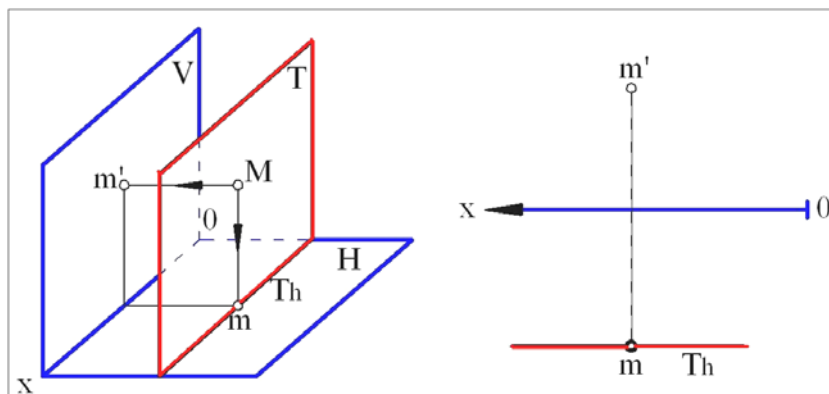


Fig. 4.18. Planul de front  $T$ .

**c. Planul de profil  $W$  (figura 4.19) este un plan paralel cu planul lateral  $L$ , deci orice element cuprins în planul de profil se proiectează în adevărată mărime pe planul  $L$ .**

Planul de profil este în același timp și un plan perpendicular pe ambele plane de proiecție  $H, V$ , deci și pe linia lor de intersecție  $Ox$ . Rezultă că planul de profil prezintă atât particularitățile planului vertical cât și cele ale planului de capăt.

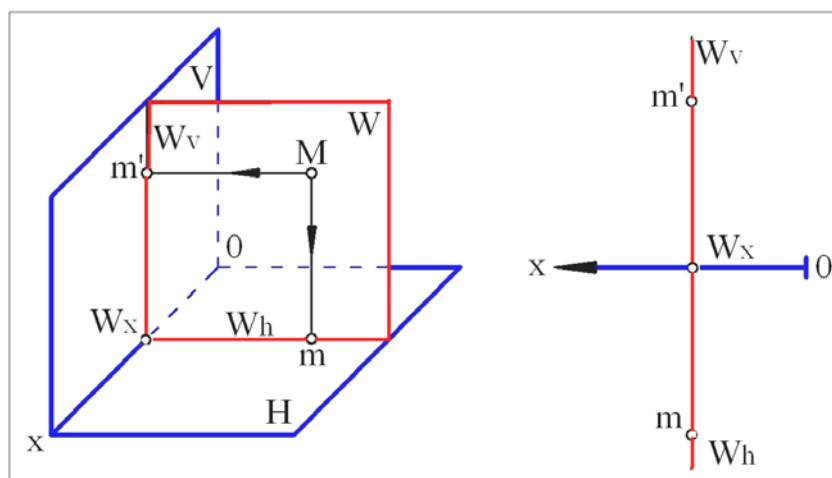


Fig. 4.19. Planul de profil  $W$ .

## 4.5. Pozițiile relative a două plane

Două plane pot fi unul față de celălalt, fie paralele, fie concurente.

### a. Plane paralele.

***Două plane paralele între ele în spațiu au urmele lor de același nume, paralele între ele în epură.*** Într-adevăr, două plane paralele se intersectează cu un al treilea plan după două drepte paralele. Rezultă că urmele de același nume a două plane paralele, adică de fapt dreptele după care acestea se intersectează cu planele  $H$  și  $V$  (figura 4.20.), trebuie să fie paralele între ele. Reciproca acestei teoreme este și ea adevărată: *dacă urmele de același nume a două plane sunt paralele între ele, cele două plane reprezentate în epură sunt paralele între ele în spațiu.*



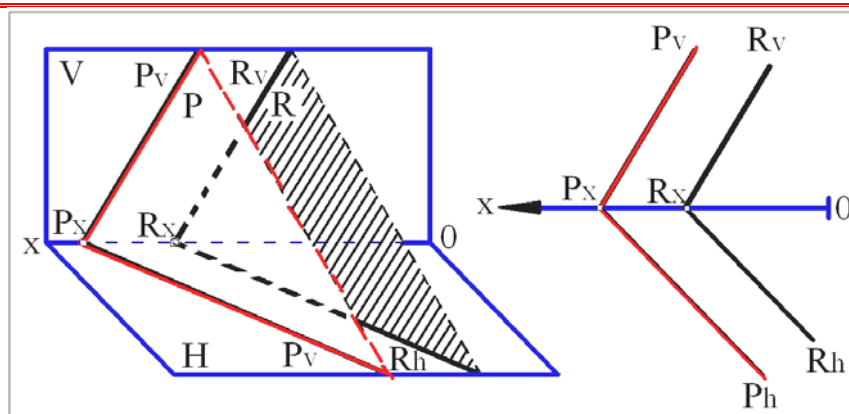


Fig. 4.20. Două plane  $P$  și  $R$  paralele.

În cazul planelor paralele cu linia pământului, paralelismul urmelor trebuie verificat și pe planul lateral  $L$ . Într-adevăr, deși în epură (figura 4.21,a,b) urmele orizontale  $Sh$  și  $Th$  a două plane  $S$  și  $T$  paralele cu  $Ox$  sunt paralele între ele ca și cele verticale  $Sv$  și  $Tv$ , totuși cele două plane nu sunt paralele între ele în spațiu, deoarece urmele  $Sl$  și  $Tl$  ale celor două plane pe planul  $L$  nu sunt paralele.

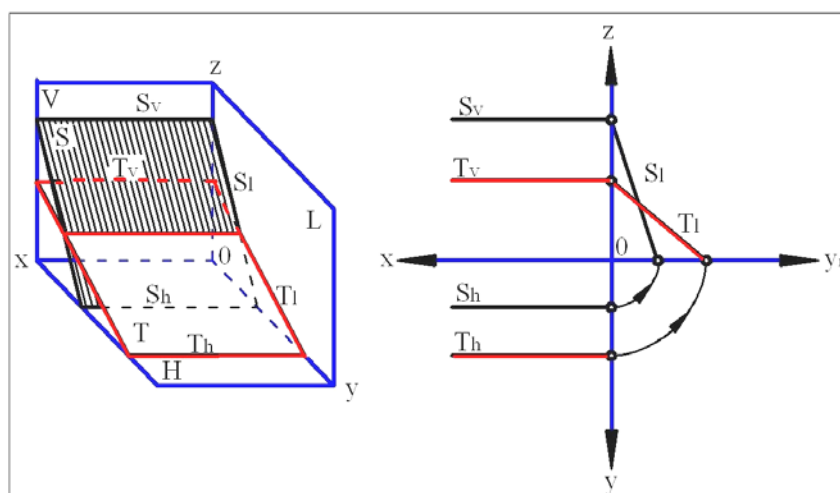


Fig. 4.21. Două plane  $S$  și  $T$  neparalele.

## b. Plane concurente.

Două plane concurente se intersectează după o dreaptă (figura 4.22.).

Pentru ca dreapta de intersecție să fie determinată este suficient să se cunoască două puncte ale ei. Dacă cele două plane sunt date prin urmele lor, atunci punctele care definesc dreapta pot fi chiar punctele după care se intersectează urmele de același nume ale celor două plane. Într-adevăr, urmele  $Ph$  și  $Rh$  a două plane oarecare  $P$  și  $R$  se găsesc în planul  $H$  și deci se intersectează în  $h, h'$ . Punctul  $h, h'$ , fiind comun celor două plane, se găsește pe dreapta lor de intersecție. Un raționament analog conduce la determinarea celui de-al doilea punct  $v, v'$  al dreptei, la intersecția urmelor  $Pv$  și  $Rv$ .

Punctele  $h, h'$  și  $v, v'$  sunt chiar urmele dreptei de intersecție, deoarece aceasta fiind cuprinsă în același timp în cele două plane, trebuie să aibă urmele ei pe urmele de același nume ale ambelor plane, deci la intersecția lor. În epură, după ce s-au determinat cele două puncte  $h, h'$  și  $v, v'$  la intersecția urmelor  $Ph$  cu  $Rh$ , respectiv  $Pv$  cu  $Rv$ , se unesc între ele punctele  $h$  cu  $v$  și  $h'$  cu  $v'$  și se obțin cele două proiecții  $hv$  și  $h'v'$  ale dreptei de intersecție.

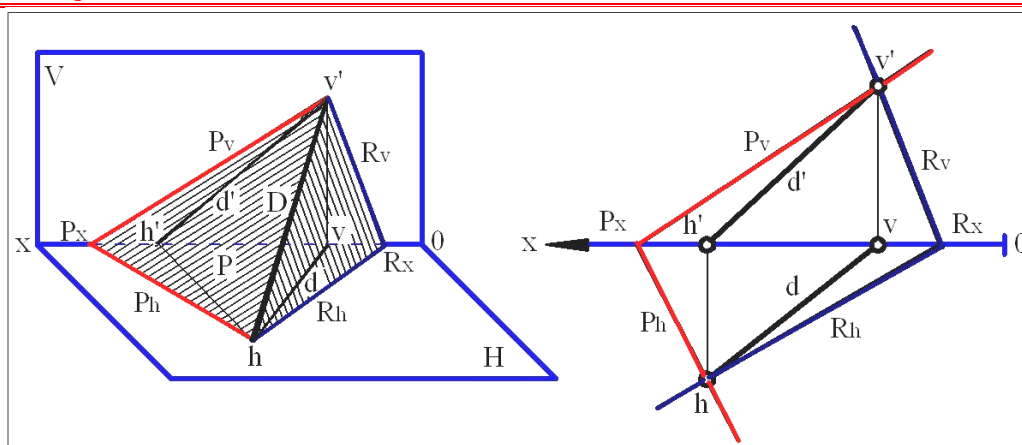


Fig.4.22. Două plane  $P$  și  $R$  oarecare, concurente.

Dacă unul din cele două plane care se intersectează este un *plan de nivel*  $N$ , atunci dreapta de intersecție este o orizontală (fig. 4.23).

Un *plan oarecare*  $P$  se intersectează cu un *plan de front*  $F$  după o dreaptă frontală ale cărei proiecții se determină ca în figura 4.24.

Un *plan vertical*  $Q$  (figura 4.25) se intersectează cu un *plan oarecare*  $P$ , după o dreaptă a cărei proiecție orizontală  $hv$  este confundată cu urma orizontală  $Qh$  a planului vertical, deoarece dreapta de intersecție este cuprinsă în planul  $Q$ , care este proiectant față de  $H$ .

Un *plan de capăt*  $T$  intersectat cu un *plan oarecare*  $P$  are dreapta de intersecție cu proiecția verticală  $h'v'$  pe urma verticală  $Tv$  a planului de capăt  $T$  (figura 4.26).

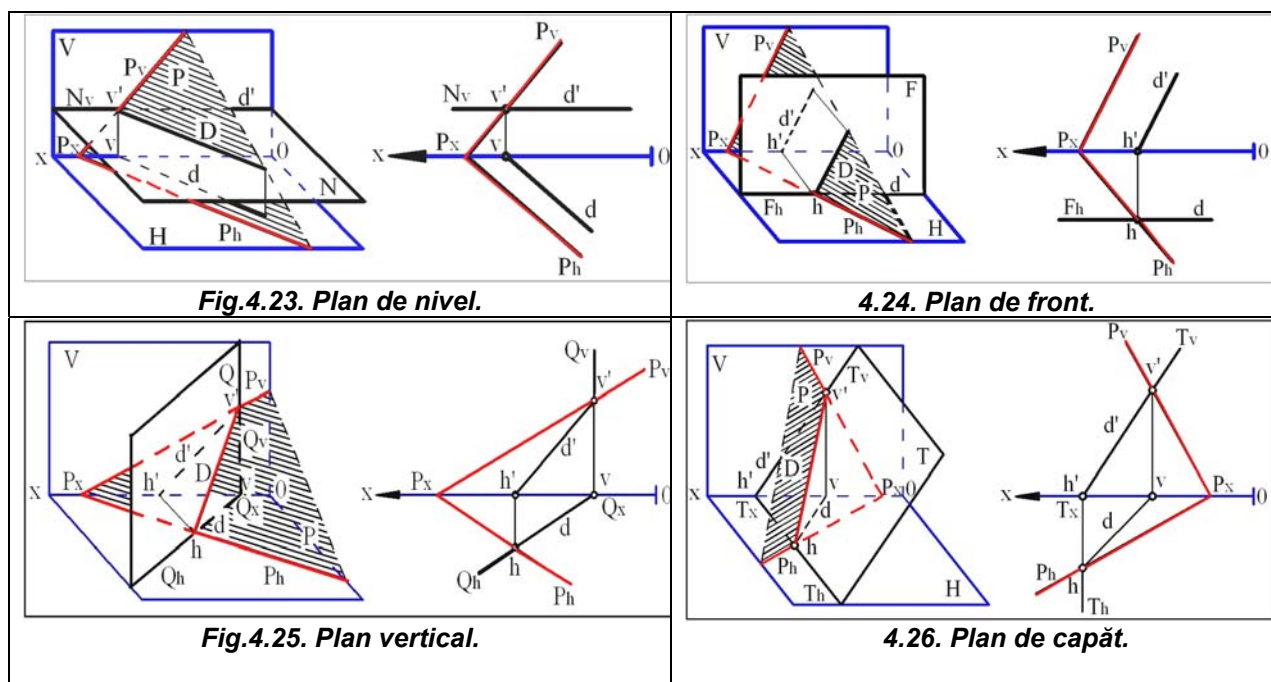


Fig.4.23. Plan de nivel.

4.24. Plan de front.

Fig.4.25. Plan vertical.

4.26. Plan de capăt.

## 4.6. Pozițiile relative ale dreptei față de plan

Față de un plan oarecare, o dreaptă poate ocupa una din următoarele poziții:

- cuprinsă în plan, când toate punctele dreptei aparțin planului;
- paralelă cu planul, când nici un punct al dreptei nu aparține planului;
- oarecare față de plan, când dreapta și planul au un singur punct comun, punctul în care dreapta intersectează planul.

Întrucât prima categorie de drepte a fost studiată anterior, în cele ce urmează se vor trata numai următoarele două. La categoria dreptelor oarecare față de plan se va studia separat cazul particular al dreptei perpendiculare pe plan, deoarece prezintă anumite particularități.

### a. Dreaptă paralelă cu un plan.

Paralelismul dintre o dreaptă și un plan se poate reduce la paralelismul a două drepte. *O dreaptă este paralelă cu un plan (figura 4.27) dacă este paralelă cu o dreaptă cuprinsă în acel plan.* În consecință, pentru a duce o dreaptă paralelă cu un plan dat, se duce întâi o dreaptă oarecare aparținând planului și apoi o dreaptă exterioară planului, paralelă cu cea cuprinsă în plan.

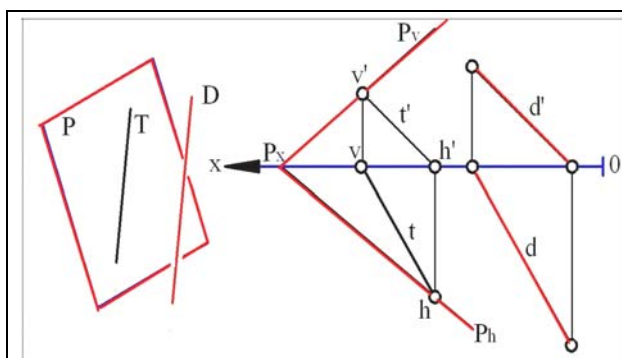


Fig. 4.27. Dreapta  $D$  paralelă cu planul  $P$ .

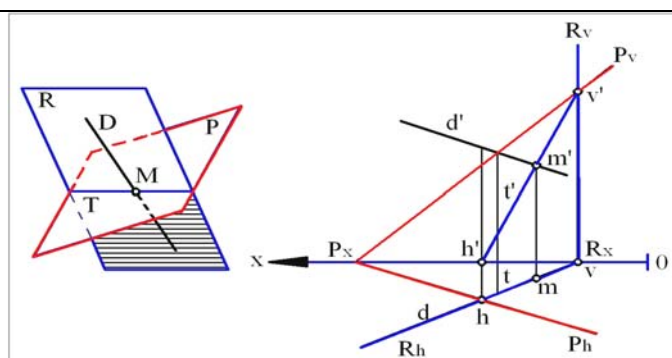


Fig. 4.28. Dreapta  $D$  intersectează planul  $P$ .

În epură, (figura 4.27.b), pentru a duce o dreaptă paralelă cu planul  $Ph, Pv$ , se duce întâi o dreaptă oarecare  $t, t'$  aparținând planului (urmele dreptei pe urmele de același nume ale planului) și apoi dreapta  $d, d'$  paralelă cu aceasta ( $d$  paralelă cu  $t$  și  $d'$  paralelă, cu  $t'$ ). Dreapta  $d, d'$  este paralelă cu planul  $Ph, Pv$ .

Dacă se cere să se ducă un plan paralel cu o dreaptă dată se va duce întâi o dreaptă paralelă, cu cea dată, și prin aceasta planul cerut.

În epură (figura 4.27.b), fie  $d$  și  $d'$  proiecțiile dreptei date. Se duce întâi dreapta  $t, t'$  paralelă cu  $d, d'$ . Se determină urmele  $h, h'$  și  $v, v'$  ale dreptei  $t, t'$  și, dintr-un punct oarecare  $Px$  luat pe  $Ox$ , se duc apoi urmele  $Ph$  și  $Pv$  ale planului căutat prin urmele  $h, h'$  respectiv  $v, v'$  ale dreptei. Se observă că întrucât  $Px$  a fost luat arbitrar, problema are o infinitate de soluții.

### b. Dreaptă oarecare față de un plan.

Problema intersecției unei drepti cu un plan se poate reduce la intersecția a două drepte. Fie  $D$  (figura 4.28.a) dreapta care intersectează într-un punct  $M$  un plan oarecare  $P$ . Pentru a găsi punctul de intersecție  $M$  se procedează astfel:

- se duce întâi prin dreapta  $D$  un plan oarecare  $R$ ;
- se determină apoi dreapta de intersecție  $T$  a planului  $P$  cu planul  $R$ ;
- la intersecția dreptei date  $D$  cu dreapta  $T$ , comună celor două plane  $P$  și  $R$ , se găsește punctul căutat  $M$ .

În epură (figura 4.28.b), fie  $Ph, Pv$  planul dat și  $d, d'$  dreapta care intersectează planul.

Pentru a găsi punctul de intersecție  $m, m'$  se procedează astfel:

- Se duce întâi prin dreapta  $d, d'$  planul auxiliar  $Rh, Rv$ . Pentru simplificarea construcțiilor grafice este avantajos să se ia ca plan auxiliar chiar unul din planele proiectante ale dreptei. În epura din figura 4.28,b s-a utilizat un plan vertical, în acest caz, urma orizontală  $Rh$  a planului trebuie dusă suprapusă peste proiecția  $d$  a dreptei (orice element conținut într-un plan vertical se proiectează orizontal pe urma orizontală a planului), iar urma  $Rv$ , perpendiculară pe  $Ox$ .
- Se determină apoi dreapta  $t, t'$  după care se intersectează planul  $Ph, Pv$  cu planul  $Rh, Rv$  (urmele dreptei se obțin la intersecția urmelor de același nume ale celor două plane). La intersecția lui  $d'$  cu  $t'$  se găsește proiecția verticală  $m'$  a punctului căutat; cu ajutorul liniei de ordine coborâtă din  $m'$  pe  $d$  rezultă proiecția orizontală,  $m$ .

Dacă planul  $Ph, Pv$  se consideră, opac, este evident că, în proiecția orizontală, va fi văzută numai porțiunea din dreapta,  $d, d'$  care se găsește *deasupra* planului  $Ph, Pv$ . Punctul  $m, m'$  comun dreptei și planului, separă porțiunea văzută de cea nevăzută a dreptei. În mod analog în proiecția verticală va fi văzută numai porțiunea din dreapta  $d, d'$ , care se află *în fața* planului  $Ph, Pv$ .

Pentru a stabili porțiunile văzute și nevăzute ale dreptei  $d, d'$  față de plan, în cele două proiecții, se cercetează pozițiile relative ale dreptei față de urmele planului cu ajutorul punctelor de intersecție aparentă dintre  $d$  și  $Ph$  respectiv  $d'$  și  $Pv$ .

Porțiunea văzută din dreaptă se trasează cu linie plină, cea nevăzută, cu linie întreruptă.

Dacă planul cu care se intersectează dreapta nu este un plan oarecare, ci un plan proiectant față de unul din planele de proiecție, atunci punctul de intersecție se poate obține imediat fără nici o construcție auxiliară.

### c. Dreaptă perpendiculară pe un plan.

O dreaptă este perpendiculară pe un plan, dacă este perpendiculară pe două drepte din acest plan.

În acest caz, perpendiculara  $D$  (figura 4.29.a), ridicată dintr-un punct  $M$  pe planul oarecare  $P$ , este în același timp perpendiculară pe o orizontală  $T$  și pe o frontală  $F$ , duse în planul  $P$  prin punctul  $M$ . Întrucât urma  $Ph$  este și ea o orizontală a planului iar urma  $Pv$  o frontală a acestuia, rezultă că:

***Dreapta perpendiculară pe un plan are proiecția ei orizontală perpendiculară pe urma orizontală a planului și proiecția verticală perpendiculară pe urma verticală a planului.***

În epură (figura 4.29.b), fie  $Ph, Pv$  planul dat și  $m, m'$  un punct oarecare conținut în plan (este în plan deoarece s-a așezat pe orizontala  $t, t'$  a planului).

Pentru a duce perpendiculara la plan în punctul  $m, m'$ , se duce din  $m$  proiecția orizontală  $d$  a dreptei perpendiculară pe urma  $Ph$  și proiecția verticală  $d'$  perpendiculară pe urma  $Pv$  a planului.

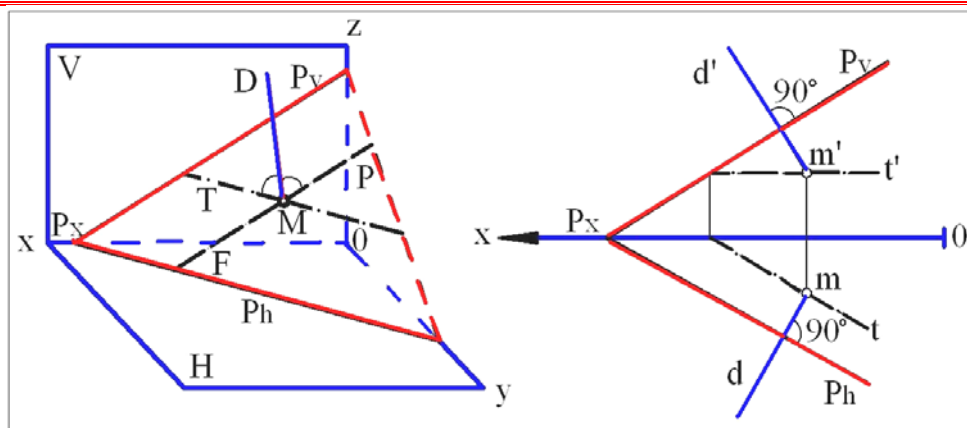


Fig. 4.29. Dreapta  $D$  perpendiculară pe planul  $P$ .

## 4.7. Aplicații

1) Se dau un plan oarecare  $P$  prin urmele lui  $Ph$  și  $Pv$ , precum și proiecția verticală  $d'$  a unei drepte. Se cere să se determine proiecția orizontală  $d$  a dreptei astfel ca dreapta să aparțină planului.

**Rezolvare:**

Pentru ca dreapta  $d, d'$  să aparțină planului  $Ph, Pv$  (figura 4.30), trebuie ca urmele ei să se găsească pe urmele de același nume ale planului. Prelungind pe  $d'$ , se obține la intersecția cu  $Pv$  proiecția verticală  $v'$  a urmei verticale a drepte, iar la intersecția cu  $Ox$ , proiecția verticală  $h'$  a urmei orizontale a drepte. Cu ajutorul liniilor de ordine duse prin  $v'$  și  $h'$ , se obțin la intersecția cu  $Ox$ , respectiv  $Ph$ , celelalte două proiecții,  $v$  respectiv  $h$ , ale urmelor drepte. Unind apoi pe  $v$  cu  $h$  se obține și proiecția căutată  $d$  a drepte.

Urmând convențiile stabilite în privința vizibilității, se trasează cu linii întrerupte proiecțiile drepte între cele două urme, precum și urma orizontală, a planului între  $h$  și  $Px$ , care se găsesc în diedrul II.

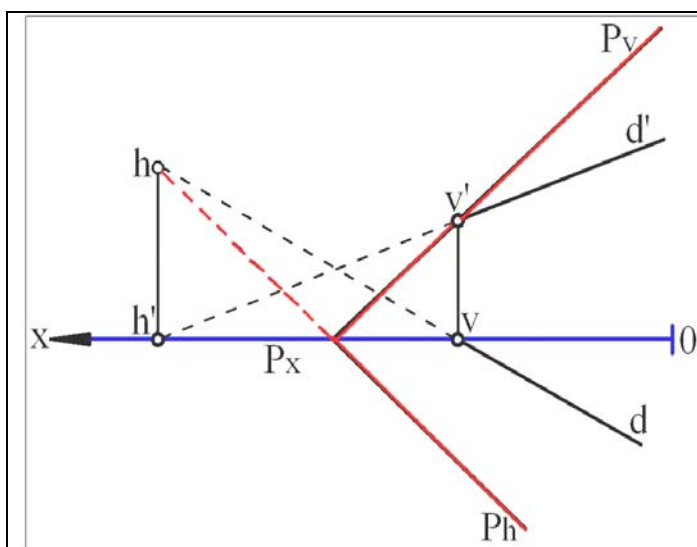


Fig. 4.30. Aplicația 1.

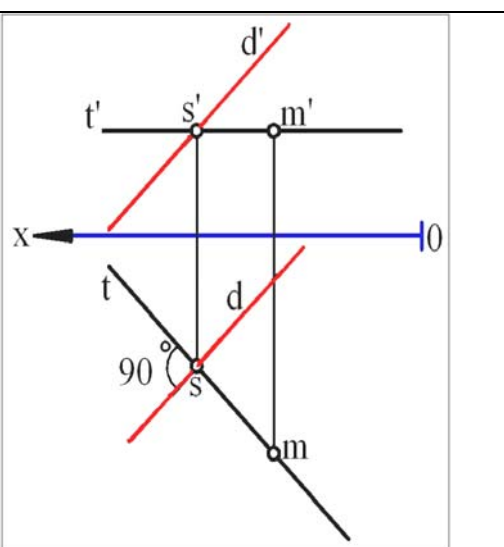


Fig. 4.31. Aplicația 2.

2) Se dau un plan prin  $d, d'$  dreapta lui d.c.m.m.p. față de planul orizontal de proiecție (figura 4.31.) precum și proiecția orizontală  $m$  a unui punct conținut în plan. Se cere să se găsească proiecția verticală  $m'$  a punctului.

**Rezolvare:**

Pentru ca un punct să aparțină unui plan, este suficient ca el să fie situat pe o dreaptă a planului. Întrucât **d.d.c.m.m.p.** față de planul **H** determină toate horizontalele planului, se va situa punctul **m**, **m'** pe o orizontală a acestuia. Pentru aceasta, se duce prin **m** proiecția **t** a orizontalei perpendiculară pe **d** (dreapta **d.c.m.m.p.** față de **H** este perpendiculară pe toate horizontalele planului). Se determină apoi, pornind de la **s** și proiecția verticală **s'** a punctului **S** de concurență a celor două drepte coplanare. Prin **s'** se duce apoi proiecția **t'** a orizontalei planului, paralelă cu **Ox**. Cu ajutorul liniei de ordine duse prin **m** se găsește, la intersecția cu **t'**, și proiecția **m'** a punctului căutat.

**3) Printr-un punct  $m, m'$  (figura 4.32.) să se ducă un plan  $Rh, Rv$  paralel cu un plan dat  $Ph, Pv$ .**

**Rezolvare:**

Pentru ca cele două plane să fie paralele va trebui ca **Rh** să fie paralelă cu **Ph**, iar **Rv** cu **Pv**. Pentru ca planul **Rh, Rv** să conțină punctul **m**, **m'** va trebui ca acesta din urmă să fie situat pe o dreaptă a planului.

Se duce întâi prin **m**, **m'** orizontala **t**, **t'** care, urmând să fie conținută, în planul **Rh, Rv**, va trebui să fie paralelă cu urma **Rh** și implicit cu **Ph**, deoarece cele două plane sunt paralele. Se duce deci prin **m** proiecția **t** a orizontalei paralelă cu **Ph**, iar prin **m'**, proiecția **t'** paralelă cu **Ox**. Se determină apoi urma **v**, **v'** a orizontalei și prin aceasta se duce urma **Rv** a planului căutat, paralelă cu **Pv**. Din punctul **Rx**, aflat la intersecția lui **Rv** cu **Ox**, se duce, paralel cu **Ph**, urma **Rh**.

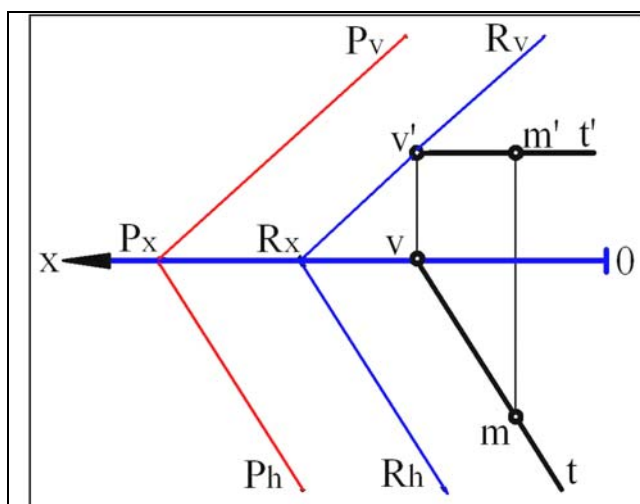


Fig. 4.32. Aplicația 3.

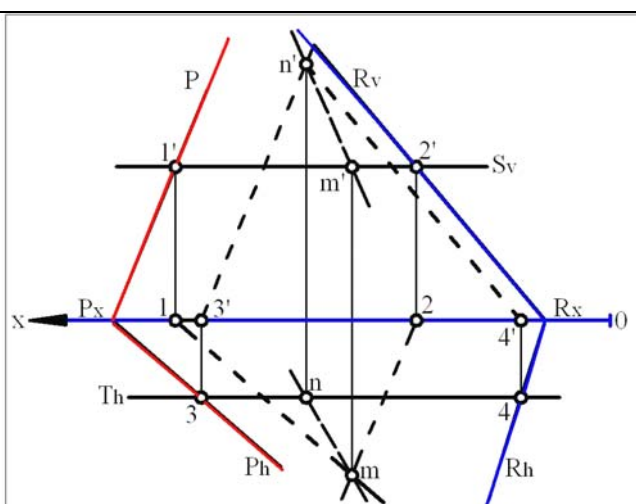


Fig. 4.33. Aplicația 4.

**4) Să se determine dreapta după care se intersectează două plane oarecare ale căror urme nu se întâlnesc în cadrul epurei.**

**Rezolvare:**

Dreapta de intersecție nu poate fi determinată prin cele două urme ale ei. Se vor căuta deci două puncte oarecare ale dreptei. Pentru aceasta, știind că intersecția a trei plane oarecare este un punct, se vor intersecta cele două plane date, pe rând, cu două plane auxiliare convenabil alese și se vor obține astfel cele două puncte ale dreptei căutate.

Fie **Ph, Pv** și **Rh, Rv** (figura 4.33.) cele două plane date. Dacă se intersectează atât **P** cât și **R** cu un plan auxiliar de nivel **Sv**, vor rezulta două drepte de intersecție, horizontalele **1 m**, **1' m'** și **2 m**, **2' m'**. Punctul lor de intersecție **m**, **m'** este comun celor trei plane, deci este un punct al dreptei de intersecție căutate.



Pentru a obține un al doilea punct al dreptei se poate repeta operația de mai sus utilizând un alt plan de nivel, sau, așa cum s-a făcut în epura din figura 4.33, se poate recurge la un plan de front **Th**, care duce la frontalele de intersecție **3 n**, **3' n'** și **4 n**, **4' n'** cu punctul comun căutat **n**, **n'**.

Unind pe **m** cu **n** și pe **m'** cu **n'**, se găsesc cele două proiecții ale dreptei de intersecție a planelor **P** și **R**.

**5). Să se determine punctul în care o dreaptă oarecare intersectează o placă plană de formă triunghiulară.**

**Rezolvare:**

Fie **abc**, **a'b'c'** (figura 4.34) placa triunghiulară și **d**, **d'** dreapta dată.

Se duce prin dreapta dată un plan proiectant vertical **Ph**, **Pv** (cu urma **Ph** confundată cu **d**) care intersectează placa triunghiulară după dreapta **rs**, **r's'**.

Punctele **r**, **r'** și **s**, **s'** reprezintă punctele în care laturile **ab**, **a'b'** respectiv **bc**, **b'c'** intersectează planul proiectant **Ph**, **Pv**.

Punctul căutat **m**, **m'** se găsește la intersecția dreptei **d**, **d'** cu **rs**, **r's'**.

Dacă se consideră placa triunghiulară opacă, este evident că o porțiune din dreaptă va apărea nevăzută, fiind acoperită de placă. Pentru stabilirea porțiunilor văzute și nevăzute ale dreptei se observă că punctul de concurență aparentă **s** are ca proiecții verticale pe **s'** pe **b'c'** și pe **s1'** pe **d'**. Întrucât **s'** indică o cotă mai mare decât **s1'**, rezultă că latura **bc**, **b'c'** este situată deasupra dreptei **d**, **d'**. Porțiunea **ms** va fi deci nevăzută. În mod analog se stabilește, cu ajutorul punctului de concurență aparentă **t'**, că **m't'** este nevăzută.

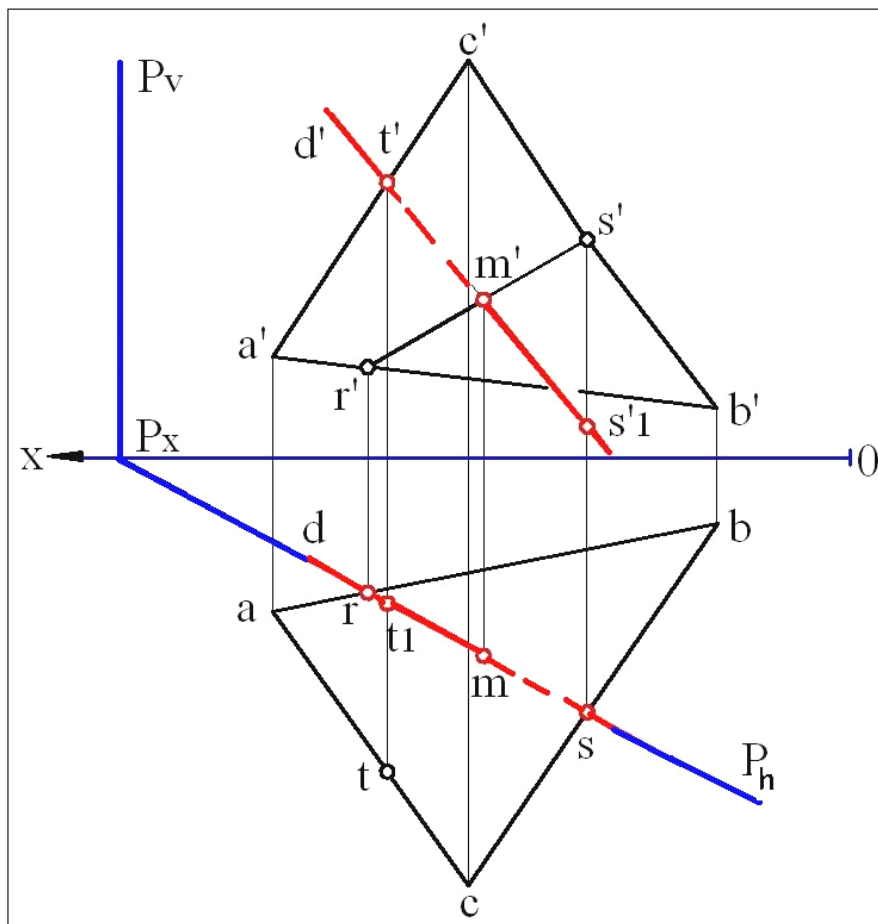


Fig. 4.34. Aplicația 5.

6. Să se reprezinte în triedru și epură un dreptunghi ABCD de nivel.  
Rezolvare în figura 4.35.

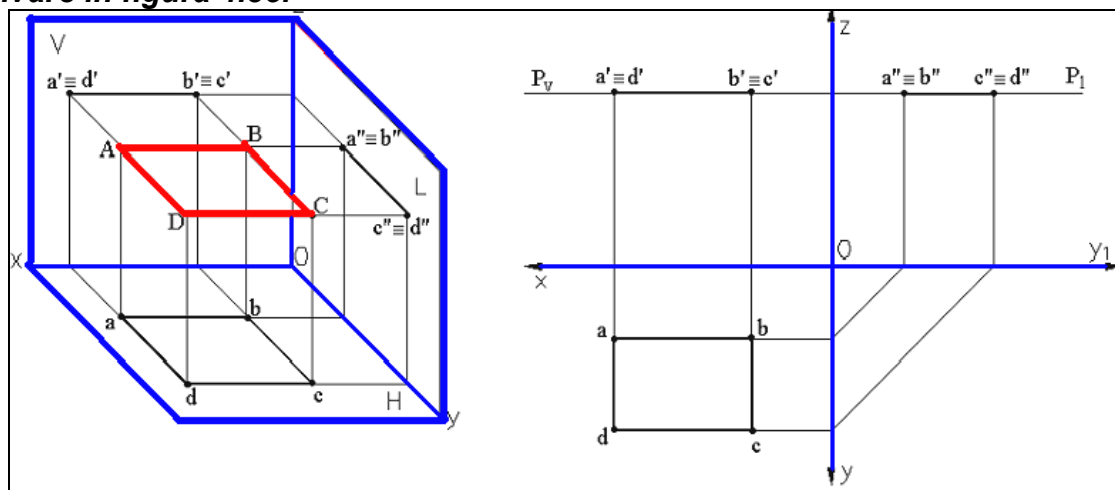


Fig.4.35. Aplicația 6.

7. Să se reprezinte în triedru și epură un cerc de front.  
Rezolvare în figura 4.36.

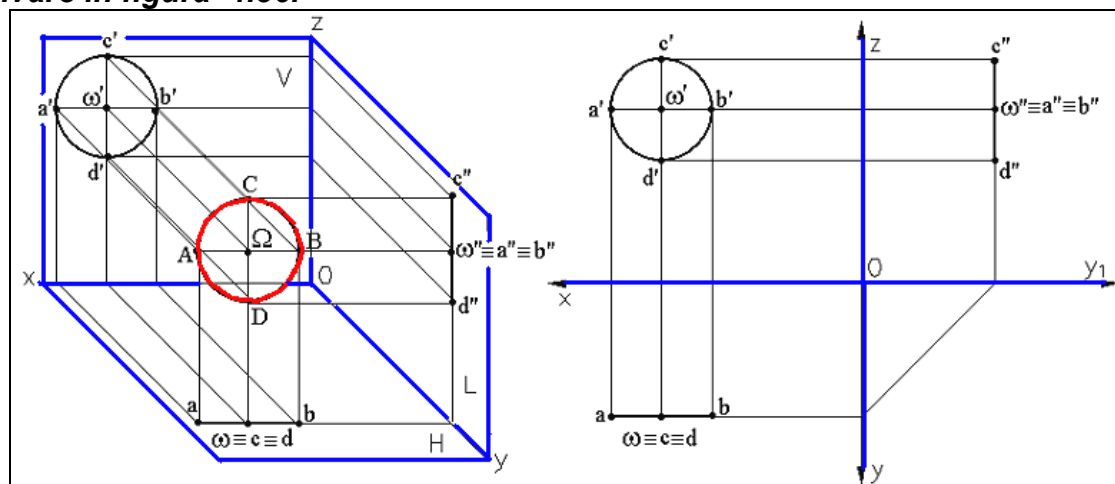


Fig.4.36. Aplicația 7.

8. Să se reprezinte în epură un hexagon de nivel.  
Rezolvare în figura 4.37.

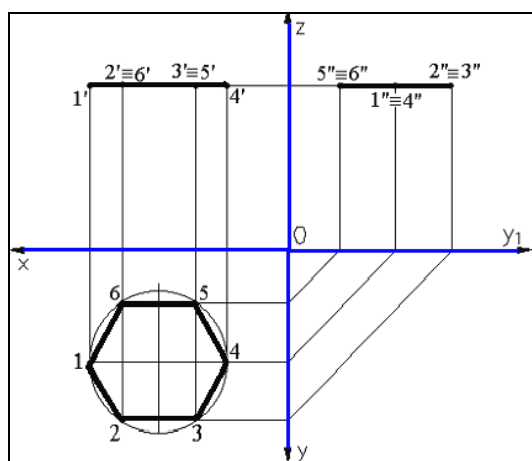


Fig.4.37. Aplicația 8.



## 5. POLIEDRE

### 5.1. Poliedre regulate

Se numesc poliedre, corpurile geometrice limitate de **fețe plane**. Fețele plane care mărginesc un poliedru se intersectează după drepte numite **muchiile** poliedrului. Punctele de intersecție ale muchiilor se numesc **vârfurile poliedrului**.

Poliedrul este **convex**, dacă rămâne în întregime de aceeași parte a suprafeței plane a oricărei fețe a lui și **concav**, când unele din suprafețele plane ce corespund fețelor, taie poliedrul.

**Poliedrul regulat convex** are toate fețele poligoane regulate egale între ele și toate unghiurile solide egale între ele. În natură există **doar cinci poliedre regulate** (figurile 5.1; 5.2). Acestea sunt: **tetraedrul** (4 fețe triunghiuri echilaterale), cubul sau **hexaedrul** (6 fețe pătrate), **octaedrul** (8 fețe triunghiuri echilaterale), **dodecaedrul** (12 fețe pentagoane) și **icosaedrul** (20 fețe triunghiuri echilaterale).

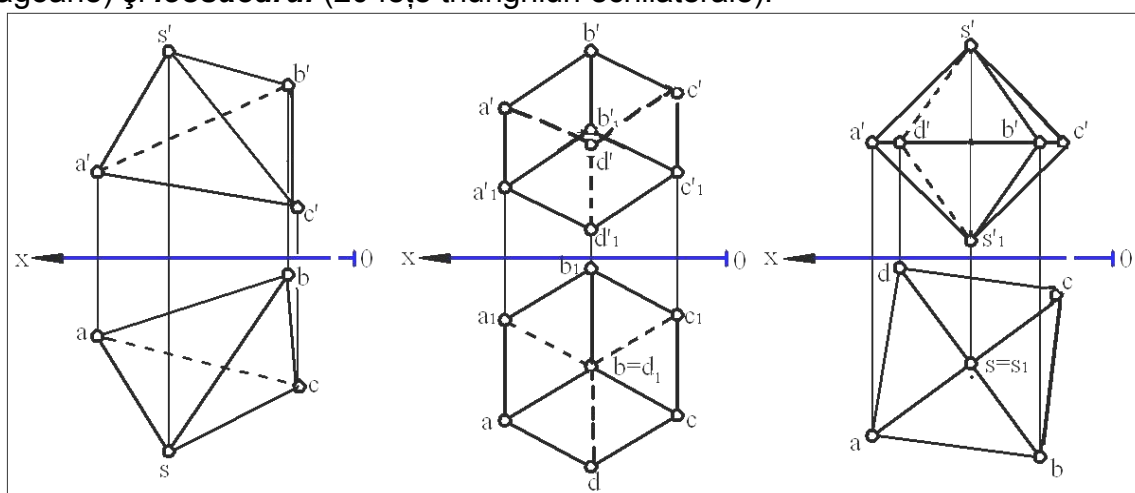


Fig.5.1. Tetraedrul, cubul, octaedrul.

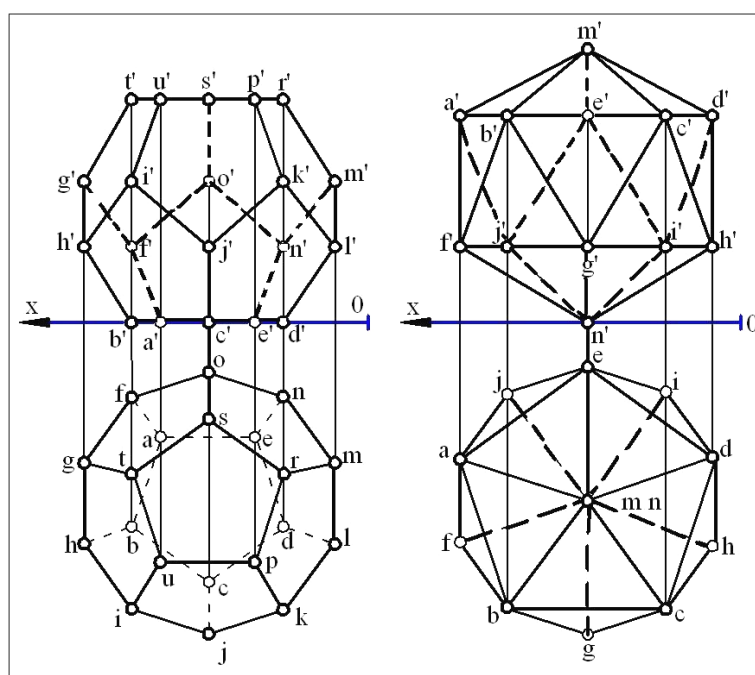


Fig. 5.2. Dodecaedrul și icosaedrul.

Din categoria poliedrelor neregulate, se întâlnesc mai des în construcții prisma și piramida.

## 5.2. Reguli de reprezentare

**Poliedrele se reprezintă prin proiecțiile muchiilor lor pe cele două plane  $H$  și  $V$ .** Problema se reduce deci la reprezentarea în epură a unor segmente de dreaptă, concurente în vârfurile poliedrului.

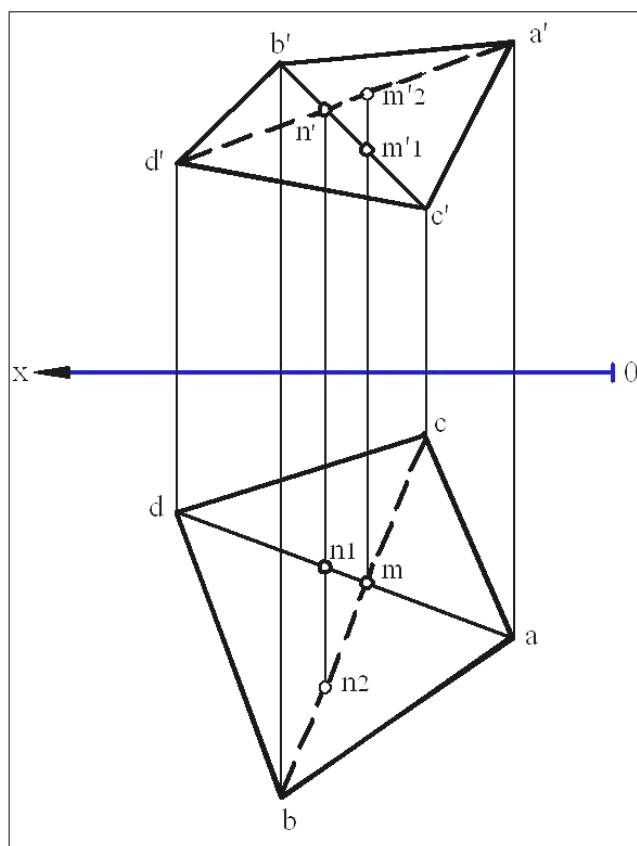
Pentru a face epura cât mai expresivă, poliedrele se consideră opace și, în acest caz, în raport cu poziția ocupată de observator, **unele muchii vor apărea văzute și deci se vor trasa în epură cu linii pline, iar altele, nevăzute se vor trasa cu linii întrerupte.** Proiecția orizontală a unui poliedru este aspectul său pentru un observator situat la o distanță infinită deasupra planului  $H$  și privind în direcția proiectantelor față de acesta iar proiecția verticală a poliedrului constituie aspectul său pentru observatorul așezat la o distanță infinită în fața planului  $V$  și privind în direcția proiectantelor față de acesta. Rezultă că, întrucât poziția observatorului este diferită pentru cele două proiecții, nu există o corespondență directă în cele două proiecții între muchiile văzute și cele nevăzute.

**O muchie văzută în proiecția orizontală poate apărea nevăzută în cea verticală, și invers.**

Pentru a reprezenta un poliedru oarecare prin muchiile lui este suficient să se cunoască proiecțiile vârfurilor lui. Cu ajutorul acestora se obțin și proiecțiile muchiilor respective. Pentru a deosebi muchiile văzute de cele nevăzute este suficientă, de cele mai multe ori, observarea atentă a poliedrului.

Sunt utile următoarele **observații**:

1. *Muchiile care dau conturul aparent se trasează cu linii pline.*
2. *O muchie apare în proiecție fie complet văzută, fie complet nevăzută;*
3. *Dacă două muchii au un punct de concurență aparentă, atunci una este văzută, iar cealaltă nevăzută, (de exemplu  $bc$  cu  $ad$  din figura 5.3).*



**Fig. 5.3. Vizibilitatea muchiilor.**

Pentru a stabili care din proiecțiile orizontale este văzută, **ad** sau **bc**, trebuie văzut care din muchii trece deasupra celeilalte. Urmărind cele două puncte **m**, **m<sub>1</sub>'** și **m**, **m<sub>2</sub>'** situate pe aceeași verticală, se vede că **m<sub>2</sub>'** este deasupra lui **m<sub>1</sub>'** și deci muchia **AD** trece deasupra muchiei **BC**; în concluzie, **ad** se vede, iar **bc** nu se vede.

În mod similar, în proiecție verticală, deoarece **n<sub>2</sub>** este în fața lui **n<sub>1</sub>**, rezultă că **b'c'** se vede și **a'd'** nu se vede.

4. O față a poliedrului se vede în proiecție numai dacă toate muchiile care o mărginesc sunt văzute (de exemplu **abd** și **adc** în proiecția pe planul **H**, figura 5.3).

Fața care conține un punct vizibil este vizibilă în întregime.

5. Dacă muchia de intersecție a două fețe aparține conturului aparent, una din fețe se vede, iar cealaltă nu se vede (de exemplu **acd** și **bcd**).

Pentru exemplificare, se reprezintă în epură o piramidă oarecare și o prismă oblică, cu bazele situate în planul **H**.

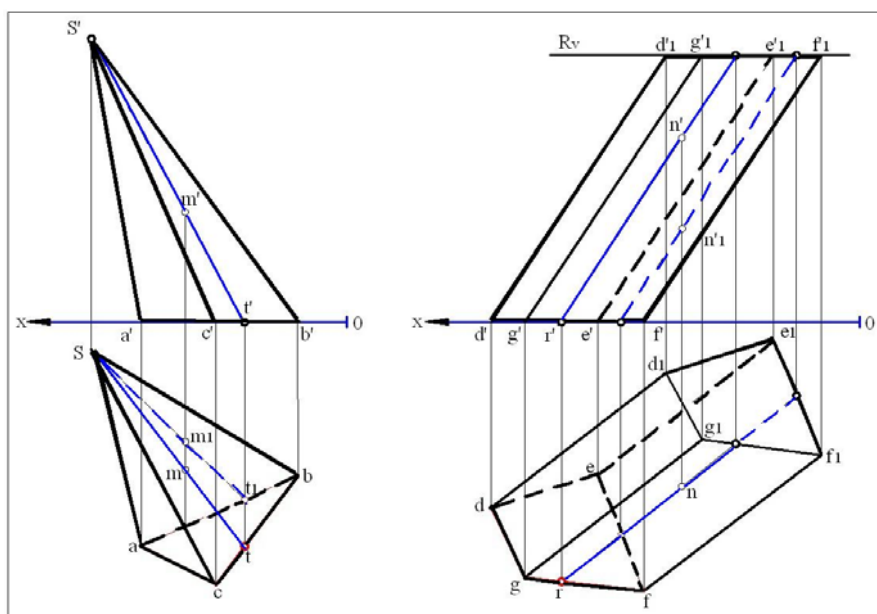


Fig.5.4.Piramidă oblică.

Fig.5.5.Prisma oblică.

Fie **ABCS** piramida ce trebuie reprezentată (figura 5.4). Dacă se așează baza **ABC** în planul **H**, ea apare în adevărată mărime în **abc** și se proiectează pe planul **V** în **a'b'c'** pe linia pământului. Dacă se ia ca vârf al piramidei un punct oarecare **s**, **s'** din spațiu, cele trei muchii laterale sunt: **sa**, **s'a'**; **sb**, **sb'** și **sc**, **s'c'**. În ce privește vizibilitatea, ținând seama de regulile enunțate, rezultă că în proiecția orizontală doar **muchia ab nu se vede** (fiind situată chiar în planul **H** trece evident pe sub muchia proiectată în **sc**), iar în cea verticală **a'b'** (fiind în spatele lui **ac** și **cb**).

În mod similar în figura 5.5., dacă se așează patrulaterul neregulat **DEFG**, constituind baza unei **prisme oblice**, chiar în planul **H**, acesta va apărea în adevărată mărime în **defg** și proiectat vertical în **d'e'f'g'** pe linia **Ox**.

Muchiile prisme se duc apoi din fiecare vârf al poligonului de bază, paralele între ele și de o anumită înclinare în fiecare proiecție. Pentru a construi baza superioară a prisme, este suficient să se construiască o figură egală și cu laturile paralele cu baza inferioară; în proiecție orizontală aceasta va apărea după **d<sub>1</sub>e<sub>1</sub>f<sub>1</sub>g<sub>1</sub>**, egală și la fel așezată cu **defg**, iar în proiecție verticală redusă la segmentul de dreaptă **d<sub>1</sub>'f<sub>1</sub>'** paralel cu **d'f'**.

Muchiile văzute și nevăzute ale prisme se stabilesc în acest caz prin simpla observare a celor două proiecții ale poliedrului.

### 5.3. Punct curent pe suprafața unui poliedru

Un punct aparține suprafeței unui poliedru, dacă se găsește pe o dreaptă situată pe una din fețele poliedrului.

Astfel în figura 5.4., pentru a determina cele două proiecții  $m, m'$  ale unui punct de pe suprafața unei piramide, se alege, spre exemplu, proiecția verticală  $m'$  undeva în interiorul conturului aparent vertical al piramidei, se duce prin punctul  $m'$  proiecția  $s't'$  a dreptei ce trece prin vârful  $s, s'$  al piramidei și se sprijină într-un punct  $t, t'$  pe poligonul de bază și apoi, cu ajutorul liniei de ordine coborâtă din  $m'$  pe  $st$ , se găsește în  $m$  proiecția orizontală a punctului căutat. Este de remarcat că, deoarece linia de ordine coborâtă din  $t'$  intersectează poligonul  $abc$  atât pe latura  $bc$  în  $t$  cât și pe  $ab$  în  $t_1$ , rezultă că lui  $s't'$  îi corespund atât  $st$  (pe fața  $sbc$ ) cât și  $st_1$  (pe fața  $sba$ ). În  $m'$  se va proiecta atunci atât punctul de proiecție orizontală  $m$  cât și  $m_1$ .

Într-adevăr atât  $m, m'$  cât și  $m_1, m'$  sunt puncte de pe suprafața poliedrului; ele corespund punctelor în care dreapta de capăt de proiecție verticală  $m'$  intersectează poliedrul.

În mod asemănător, în figura 5.5., pentru a determina proiecțiile  $n, n'$  ale unui punct de pe suprafața unei prisme, s-a pornit de la proiecția orizontală  $n$  luată arbitrar și s-a determinat proiecția verticală  $n'$  cu ajutorul dreptei  $nr, n'r'$  dusă din punct, paralelă cu muchiile prisme. Și în acest caz, pentru proiecția orizontală  $n$ , s-au obținut proiecțiile verticale  $n'$  și  $n_1'$ , deci două puncte  $n, n'$  și  $n, n_1'$  de pe suprafața prisme corespund de fapt punctelor în care verticala de proiecție orizontală  $n$  intersectează poliedrul.

### 5.4. Secțiuni plane în poliedre

Un plan oarecare intersectează un poliedru după un poligon, ale cărui vârfuri sunt punctele în care muchiile poliedrului intersectează planul și ale cărui laturi sunt segmente din drepte de intersecție ale fețelor poliedrului cu planul secant.

Întrucât poligonul de intersecție este definit atât prin vârfuri cât și prin laturile lui, problema determinării lui în cele două proiecții se reduce la două probleme cunoscute: intersecția unei drepte cu un plan (muchii cu planul secant) sau intersecția a două plane (fețele cu planul secant).

#### 5.4.1. Secțiuni cu plane proiectante

Dacă planul secant este proiectant, problema are o rezolvare imediată, întrucât orice punct aflat într-un plan proiectant și deci și vârfurile poligonului de secțiune se proiectează pe una din urmele planului (pe urma verticală dacă este vorba de un plan de capăt, pe cea orizontală în cazul unui plan vertical).

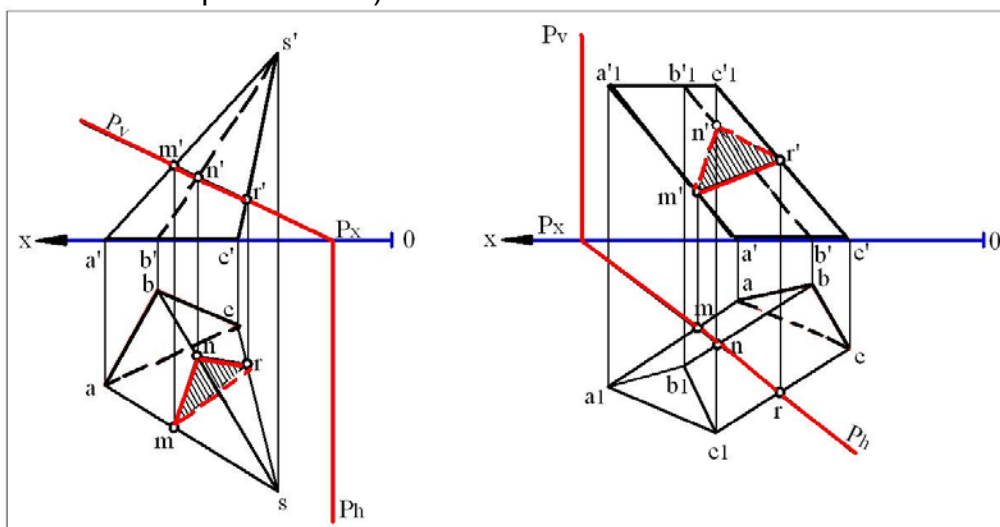


Fig.5.6. Poligon de secțiune în piramidă. Fig.5.7. Poligon de secțiune în prismă.

Astfel, în figura 5.6., se determină poligonul de secțiune a unei piramide cu un plan de capăt. Punctele în care cele trei muchii ale piramidei intersectează planul de capăt **Ph**, **Pv** se proiectează vertical în **m'**, **n'** și **r'**, deoarece trebuie să se găsească în același timp pe proiecțiile verticale respective ale celor trei muchii și pe urma verticală a planului de capăt. Coborând din **m'**, **n'** și **r'** liniile de ordine pe proiecțiile orizontale ale muchiilor corespunzătoare, se obține în **mnr** proiecția orizontală a poligonului de secțiune căutat.

În figura 5.7., se arată cum se obține, în mod similar, poligonul de secțiune a unei prisme cu un plan vertical. Planul secant fiind proiectant față de planul **H**, vârfurile poligonului se găsesc în proiecție orizontală în **m**, **n** și **r**, la intersecția lui **Ph** cu **aa<sub>1</sub>**, respectiv **bb<sub>1</sub>** și **cc<sub>1</sub>**. Ridicând liniile de ordine din **m**, **n** și **r**, pe proiecțiile verticale ale muchiilor respective, se găsește în **m'n'r'** proiecția verticală a poligonului căutat.

Dacă prisma este dreaptă și planul secant de capăt (figura 5.8), poligonul de secțiune apare în ambele proiecții: proiecția verticală **m'n'r's'** a acestuia se suprapune peste urma **Pv** a planului, iar proiecția orizontală **mnr** peste conturul **abcd** al bazei prisme, întrucât muchiile prisme sunt drepte proiectante față de planul **H**.

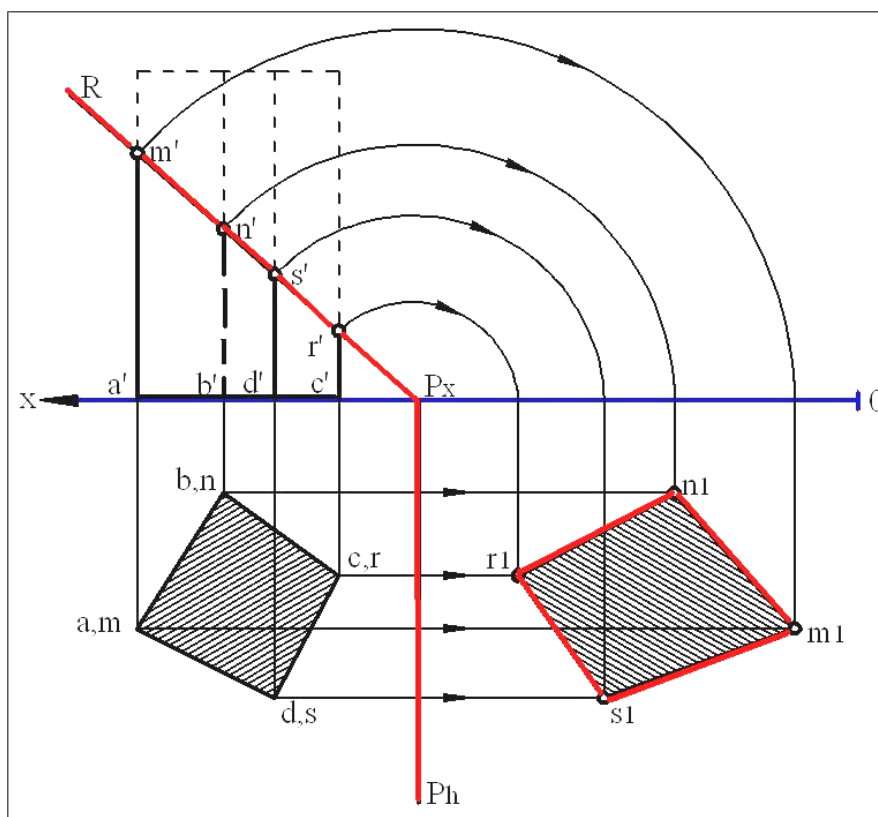


Fig.5.8. Adevărata mărime a poligonului de secțiune.

Adevărata mărime a poligonului de secțiune se obține rabatând (rotind) planul secant în jurul urmei **Ph** pe planul **H**. Un punct oarecare **M** al poligonului se rabate cunoscând că, după rabatare, trebuie să se găsească pe perpendiculara dusă din **m** la axa **Ph** și la o distanță **mpm** de aceasta, egală cu raza de rabatare. Raza de rabatare se proiectează în adevărată mărime pe planul **V**, cu care este paralelă, în **P<sub>x</sub>m'**.

#### 5.4.2. Secțiuni cu plane oarecare

1) Pentru determinarea vârfurilor poligonului de secțiune a unui poliedru cu un plan oarecare, se intersectează pe rând fiecare din muchiile poliedrului cu acest plan.

Astfel, fie **abcs**, **a'b'c's'** o piramidă (figura 5.9.) și **Ph**, **Pv** un plan secant oarecare. Pentru a determina punctul în care muchia **sa**, **s'a'** intersectează planul **Ph**, **Pv** se duce planul de capăt **R<sub>1h</sub>**, **R<sub>1v</sub>** prin muchia **sa**, **s'a'**; se determină apoi dreapta de intersecție **h<sub>1</sub>v<sub>1</sub>**, a celor două plane și la intersecția acesteia cu muchia **sa**, **s'a'**, se obține în **m**, **m'** punctul de intersecție căutat. Procedând în mod analog, se găsesc în **n**, **n'** și **r**, **r'** celelalte două vârfuri ale poligonului căutat.

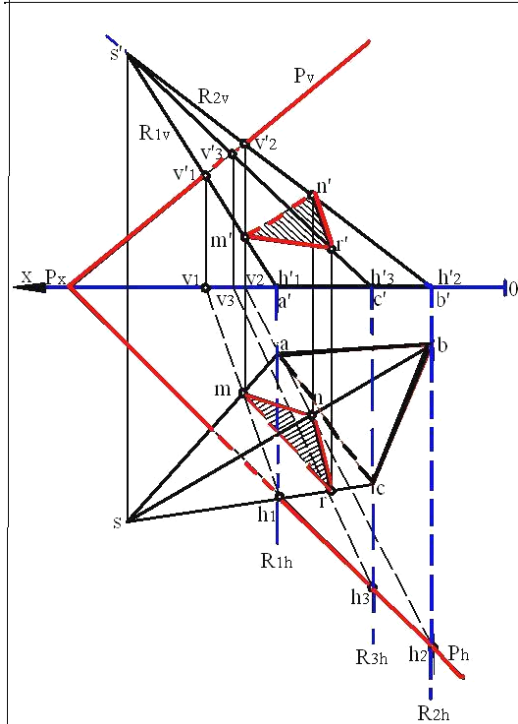


Fig. 5.9. Piramida cu plan oarecare, secant.

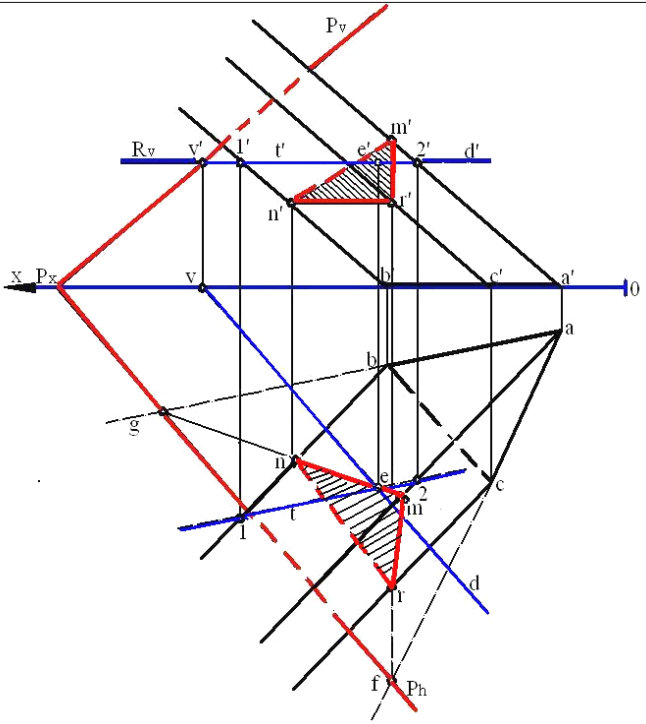


Fig. 5.10. Prisma cu plan oarecare, secant.

Pentru a trasa laturile poligonului în cele două proiecții, se ține seama de convențiile adoptate în privința vizibilității: în proiecție orizontală, **mn** și **nr** sunt văzute deoarece se găsesc pe fețele corespunzătoare lui **ab** respectiv **bc** văzute, în timp ce **mr** este nevăzută, deoarece se găsește pe fața **ac** nevăzută. În mod analog, examinând proiecția verticală, rezultă **m'r'** și **n'r'** laturi văzute, iar **m'n'** nevăzută.

## 2) Pentru a determina laturile poligonului de secțiune a unui poliedru cu un plan oarecare se intersectează pe rând fiecare din fețele poliedrului cu acest plan.

Astfel, fie o prismă oblică cu baza triunghiul **abc**, **a'b'c'** (figura 5.10) și **Ph**, **Pv** un plan secant oarecare. Pentru a determina dreapta după care se intersectează planul **Ph**, **Pv** cu planul feței prisme **ab**, **a'b'** se observă că proiecția **ab** a laturii poligonului de bază al prisme este chiar urma pe planul **H** a planului feței **ab**, **a'b'**. Deci la intersecția lui **ab** cu **Ph** se va găsi în **g** un punct al drepte de intersecție căutate. Pentru a găsi un al doilea punct, se utilizează un plan auxiliar de nivel **Rv** care se intersectează cu **Ph**, **Pv** după orizontala **d**, **d'** și cu planul feței **ab**, **a'b'** după orizontala **t**, **t'**, obținută cu ajutorul punctelor **1**, **1'** și **2**, **2'**; la intersecția lui **d**, **d'** cu **t**, **t'**, se găsește în **e**, **e'** cel de-al doilea punct căutat. Unind pe **g** cu **e** se găsește la intersecția cu muchiile din **a** și din **b** segmentul **mn**, latura poligonului de pe fața **ab**. Trecând la fața **ac**, este suficient să se determine, ca mai sus, punctul **f** la intersecția urmelor **Ph** și **ac**; unind pe **f** cu **m**, se obține în **mr** și cea de-a doua latură a poligonului. Latura a treia rezultă direct unind pe **n** cu **r**, care sunt deja cunoscute.

Proiecția verticală **m'n'r'** a poligonului de secțiune se obține cu ajutorul vârfurilor **m'**, **n'** și **r'** ridicând liniile de ordine din **m**, **n** și **r**, pe proiecțiile verticale ale muchiilor respective.



## 5.5. Intersecția unei drepte cu un poliedru

Pentru a găsi punctele în care o dreaptă oarecare intersectează un poliedru, se folosește un procedeu similar cu cel utilizat pentru a determina punctul de intersecție al unei drepte cu un plan.

Se duce prin dreapta dată  $D$  (figura 5.11.a) un plan auxiliar  $P$ , care va intersecta poliedrul după un poligon  $MNR$ . Dreapta  $D$  și poligonul  $MNR$  fiind coplanare, se vor intersecta în punctele  $Q$  și  $T$  care sunt tocmai punctele căutate întrucât se găsesc în același timp și pe dreapta  $D$  și pe laturile poligonului, deci pe fețele poliedrului.

În epură (figura 5.11. b), fie  $sabc, s'a'b'c'$  o piramidă oblică și  $d, d'$  o dreaptă oarecare.

Se duce prin dreapta dată un plan proiectant vertical  $P_h, P_v$  și se determină poligonul de intersecție  $mnr, m'n'r'$ . Proiecția  $d'$  a dreptei intersectează proiecția  $m'n'r'$  a poligonului în punctele  $q'$  și  $t'$ . Coborând liniile de ordine respective pe  $d$ , se găsesc în  $q$  și  $t$  proiecțiile horizontale ale punctelor căutate.

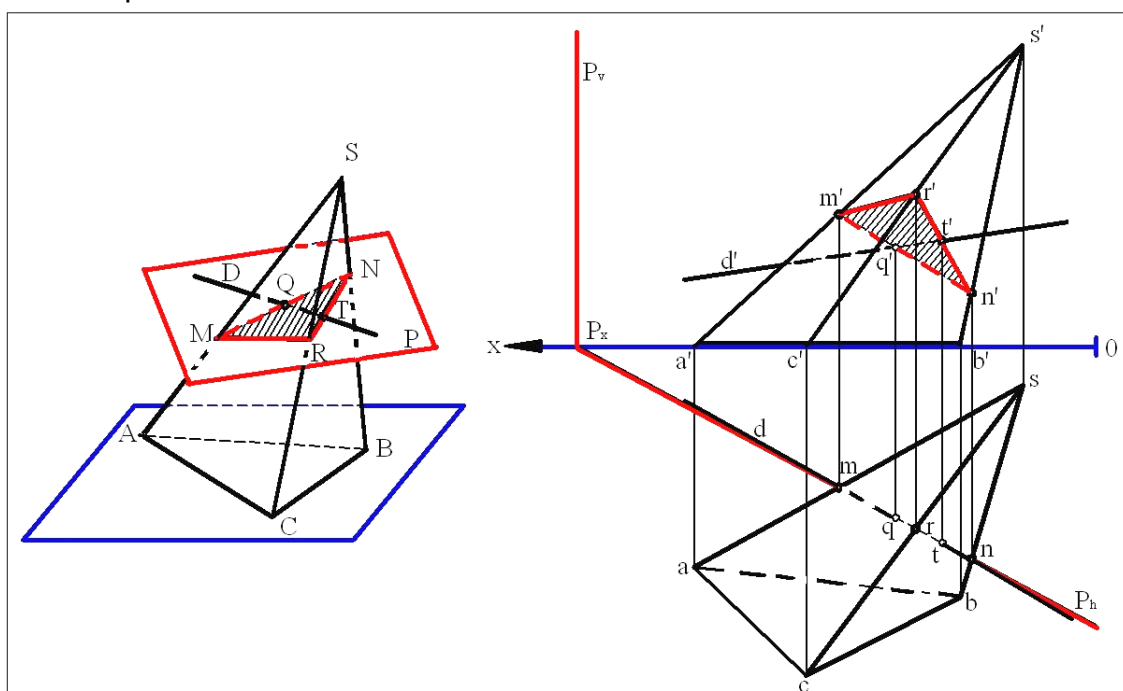


Fig. 5.11. Piramidă intersectată de dreaptă.

Pentru a face epura mai expresivă va trebui să se determine în cele două proiecții și porțiunile văzute și nevăzute ale dreptei  $d, d'$ . Este evident că porțiunea  $qt, q't'$ , în care dreapta străbate piramida, va fi nevăzută în ambele proiecții, după cum porțiunile din afara contururilor aparente ale poliedrului (cum sunt, spre exemplu, în proiecția orizontală, cele la stânga lui  $m$  și la dreapta lui  $n$ ) sunt văzute. Rămân de analizat zonele intermediare ale dreptei. Pentru acestea se poate face următorul raționament: punctul  $q, q'$  se găsește pe latura  $mn, m'n'$  a poligonului de secțiune, nevăzută în ambele proiecții; rezultă că porțiunea  $qm, q'm'$  va fi nevăzută, atât în proiecție orizontală cât și în cea verticală. În mod analog, punctul  $t, t'$  se găsește pe latura  $rn, r'n'$ , văzută în ambele proiecții. Rezultă că dreapta va fi văzută în porțiunea de la punctul  $t, t'$  până la muchia  $sb, s'b'$ , atât în proiecția orizontală cât și în cea verticală.

Pentru a determina punctele în care o dreaptă oarecare intersectează o prismă se procedează la fel. În ambele cazuri însă, planul auxiliar  $P$  ce se duce prin dreaptă poate fi luat și astfel încât să intersecteze suprafața laterală a poliedrului nu după un poligon, ci după două drepte. Un asemenea plan va trebui să treacă prin vârful piramidei, sau să fie paralel cu muchiile prisme. Secțiunile astfel obținute se numesc *secțiuni longitudinale*.

Se vor determina punctele în care o dreaptă oarecare intersectează o prismă, utilizând, pentru exemplificare, secțiunea longitudinală prin poliedru.

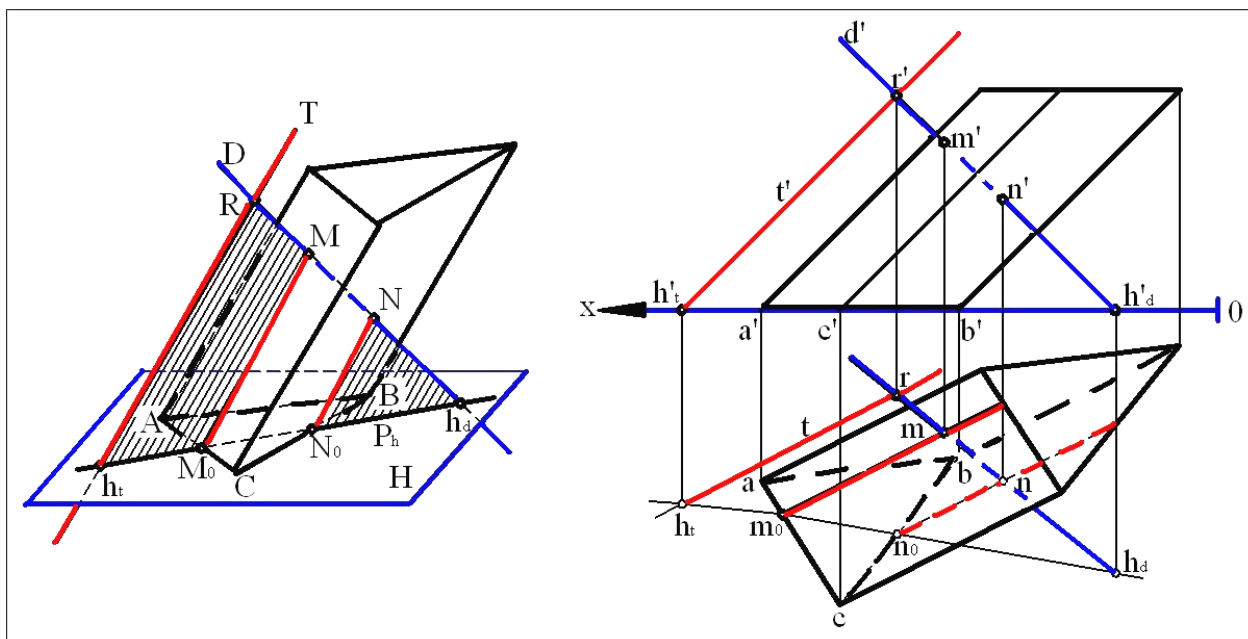


Fig. 5.12. Prismă intersectată de dreaptă.

Fie o prismă oblică cu baza un triunghi  $abc$ ,  $a'b'c'$  (figura 5.12) și  $d$ ,  $d'$  o dreaptă oarecare intersectând prismă. Dacă dintr-un punct oarecare  $r$ ,  $r'$  de pe dreaptă se duce o dreaptă  $t$ ,  $t'$  paralelă cu muchiile prisme, cele două drepte concurente în  $r$ ,  $r'$  vor determina planul de secțiune longitudinală. Urma orizontală  $Ph$  a planului se găsește unind urmele orizontale  $hd$  respectiv  $ht$  ale celor două drepte. Această urmă intersectează proiecția  $abc$  a bazei prisme în  $m_0$  și  $n_0$  prin care vor trece proiecțiile  $m_0m$  și  $n_0n$  ale celor două drepte paralele cu muchiile prisme după care planul secant  $P$  taie poliedrul.

La intersecția acestora cu proiecția  $d$  a dreptei date se obțin proiecțiile  $m$  și  $n$  ale celor două puncte de intersecție căutate. Cu ajutorul liniilor de ordine ridicate din  $m$  și  $n$  pe  $d'$  se găsesc apoi și proiecțiile verticale  $m'$  respectiv  $n'$  ale celor două puncte.

Pentru a determina porțiunile văzute și nevăzute ale dreptei se procedează ca în cazul precedent.

Metoda poate fi aplicată în același fel și pentru intersecția unei drepte cu o piramidă, cu singura diferență că, în acest caz, dreapta care urmează să definească planul de secțiune longitudinală împreună cu dreapta dată va trebui dusă prin vârful piramidei.

## 5.5. Desfășurarea poliedrelor

Prin desfășurarea unui poliedru se înțelege tăierea lui de-a lungul unor muchii și așternerea tuturor fețelor care-l mărginesc, una lângă cealaltă pe un singur plan, astfel încât să se obțină o singură figură plană.

Desfășurarea este curent aplicată în practică mai ales la elementele de construcții alcătuite din piese subțiri (tablă, material plastic etc.), cum sunt învelitorile, piesele de tinichigerie, rezervoarele etc., pentru confecționarea cărora se croiește întâi materialul după desenul desfășuratei respective și apoi se assemblează, astfel încât să reconstituie cu precizie, atât ca formă cât și ca dimensiuni, elementul de construcție proiectat.



## 5.6.1. Piramida oblică

Pentru a putea desfășura o piramidă oblică oarecare este suficient să se cunoască adevărata mărime a tuturor muchiilor ei. Într-adevăr, întrucât toate fețele laterale ale piramidei sunt triunghiuri, ele se pot construi imediat dacă se cunosc lungimile laturilor respective.

Fie  $abcs$ ,  $a'b'c's'$  piramida oblică dată (figura 5.13.a).

Muchiile  $AB$ ,  $BC$  și  $CA$  fiind situate în planul  $H$ , apar în adevărată mărime în  $ab$ ,  $bc$  și  $ca$ . Pentru a obține și adevărata mărime a muchiilor ce se întâlnesc în vârful  $s$ ,  $s'$  al piramidei, se rotește pe rând fiecare muchie în jurul unei axe verticale  $d$ ,  $d'$ , care trece prin vârful  $s$ ,  $s'$ , până când devine paralelă cu planul  $V$  și poate fi măsurată în adevărată mărime. Astfel, după rotație, proiecția orizontală a muchiei  $SA$ , spre exemplu, ajunge în  $sa_1$  paralelă cu  $Ox$ , iar cea verticală în  $s'a_1'$ . Urmând aceeași cale, se obțin și celelalte două muchii în adevărată mărime, în  $s'b_1'$  și  $s'c_1'$ .

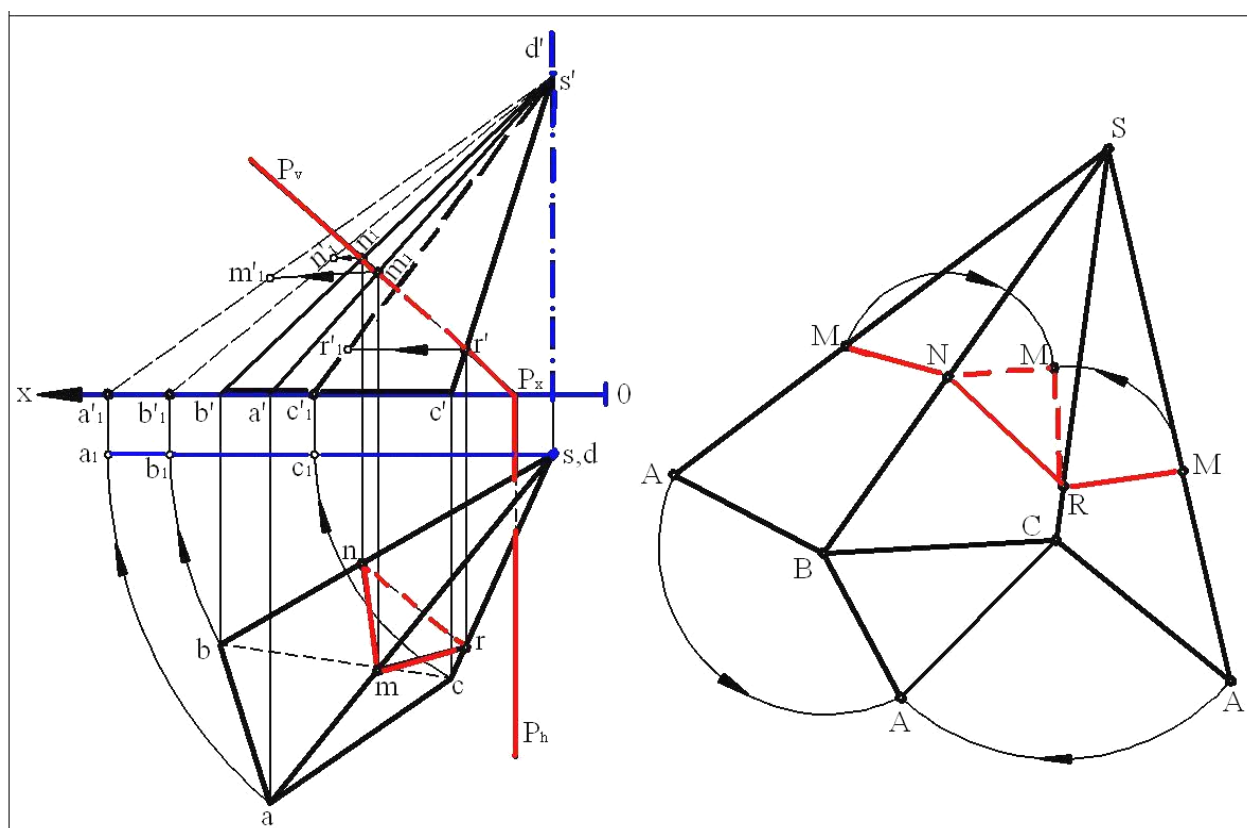


Fig. 5.13a.b. Desfășurata piramidei și a trunchiului.

Pentru a construi desfășurata (figura 5.13.b) se începe prin a construi una din fețele laterale ale piramidei, spre exemplu  $SAB$ . Pentru aceasta se ia pe o direcție oarecare lungimea  $AB$ , măsurată în adevărată mărime în  $ab$  pe epură, apoi cu vârful compasului în  $A$  se duce arcul de rază  $AS$ , măsurată în  $a_1's'$  și din  $B$  arcul de rază  $BS$ , măsurată în  $b_1's'$ ; la intersecția lor se găsește vârful  $S$ , care, unit cu  $A$  și  $B$ , determină fața  $SAB$  în adevărată mărime. Se trece apoi la  $SBC$ , care se construiește în mod similar, pornind de la  $SB$  considerat trasat și căutând pe  $C$ .

Urmând același procedeu se obține și  $SCA$  și, în sfârșit, baza  $ABC$  a piramidei, care completează desfășurata.

### 5.6.2. Trunchi de piramidă

Dacă se secționează piramida cu un plan de capăt  $Ph$ ,  $Pv$  (figura 5.13.a) se obține trunchiul de piramidă  $abcmnr$ ,  $a'b'c'm'n'r'$ .

Pentru a construi desfășurata acestui volum, după ce s-a construit întâi desfășurata piramidei așa cum s-a arătat mai sus, se poartă pe muchiile  $SA$ ,  $SB$  și  $SC$  respectiv segmentele  $SM$  măsurat în  $s's_1'$ ;  $SN$  măsurat în  $s'n_1'$  și  $SR$  măsurat în  $s'r_1'$ , care s-au obținut în adevărată mărime tot prin rotație în jurul axei verticale  $d, d'$ .

De remarcat că, pe epură, pentru a determina segmentele  $s'm_1'$ ,  $s'n_1'$  și  $s'r_1'$  a fost suficient să se ducă paralele  $m'm_1'$ ,  $n'n_1'$  și  $r'r_1'$  la  $Ox$ , întrucât proiecțiile verticale ale muchiilor rotite sunt deja cunoscute.

Unind pe  $M$  cu  $N$ ,  $N$  cu  $R$  și  $B$  cu  $M$ , se obține linia frântă  $MNRM$ , care limitează la partea superioară desfășurata trunchiului de piramidă. Construind, în sfârșit, în  $NRM$  și baza superioară a volumului, se completează desfășurata trunchiului de piramidă.

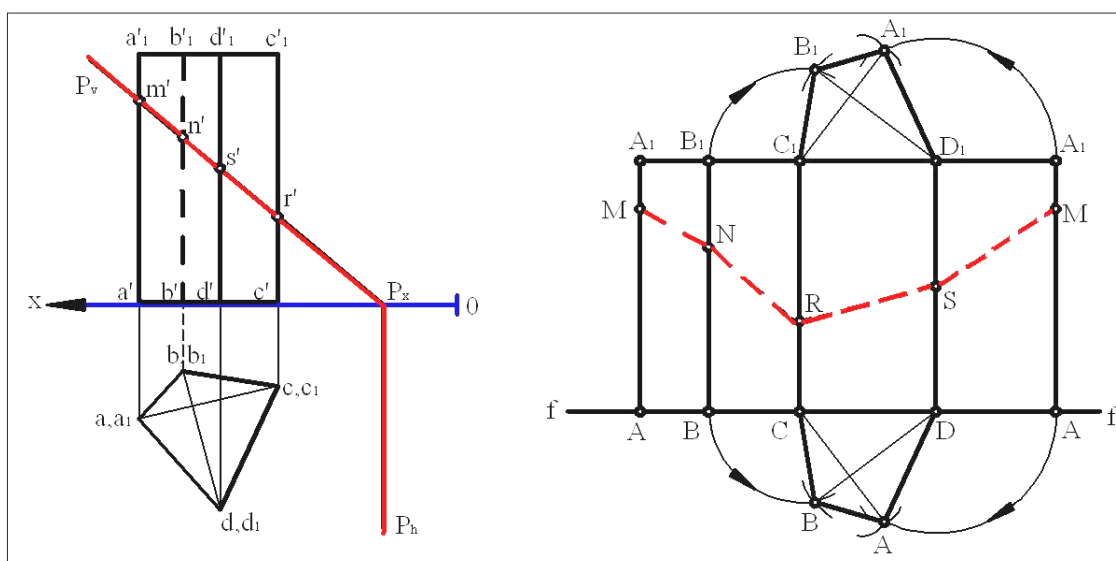


Fig. 5.14.Desfășurarea prisme.

### 5.6.3. Prisma dreaptă

Pentru desfășurarea prisme drepte nu este nevoie de nici o construcție geometrică auxiliară, întrucât toate elementele necesare construirii desfășuratei pot fi măsurate direct în epură (figura 5.14.a).

Într-adevăr, laturile poligoanelor de bază  $ABCD$  și  $A_1B_1C_1D_1$  apar în adevărată mărime proiectate pe planul  $H$ , în  $abcd$ , iar muchiile laterale, pe planul  $V$ .

Pentru a obține desfășurata (figura 5.14.b) se poartă pe o linie  $f, f$  succesiv, toate laturile poligonului de bază măsurate în adevărată mărime în  $ab$ ,  $bc$ ,  $cd$  și  $da$ , obținându-se astfel desfășurata poligonului de bază  $ABCD$ . Din punctele  $A$ ,  $B$ ,  $C$ ,  $D$  și  $A$  se duc perpendiculare pe dreapta  $ff$ , pe care se așează muchiile prisme în adevărată mărime, de lungimi egale:  $AA_1 = BB_1 = \dots = aa_1'$

Linia  $A_1B_1C_1D_1$  reprezintă în cazul de față desfășurata poligonului bazei superioare a prisme. Atașând și cele două poligoane de bază, construite cu ajutorul diagonalelor lor, la desfășurata suprafeței laterale a prisme, se obține în întregime desfășurata prisme drepte.

Dacă prisma este secționată de un plan de capăt  $Ph$ ,  $Pv$ , suprafața laterală a trunchiului rămas sub plan poate fi desfășurată în mod analog cu ajutorul lungimilor muchiilor secționate, măsurate în adevărată mărime pe planul  $V$  în  $a'm'$ ,  $b'n'$ ,  $c'r'$  și  $d's'$ .

## 5.6.4. Prisma oblică

Pentru desfășurarea unei prisme oblice se secționează întâi prisma cu un plan perpendicular pe muchii, pentru a se obține un poligon, numit *de secțiune dreaptă*, care va servi în desfășurare la raportarea muchiilor. Pentru ca acestea să apară în epură în adevărată mărime, se recomandă ca prisma să se aducă sau să se așeze de la început cu muchiile frontale.

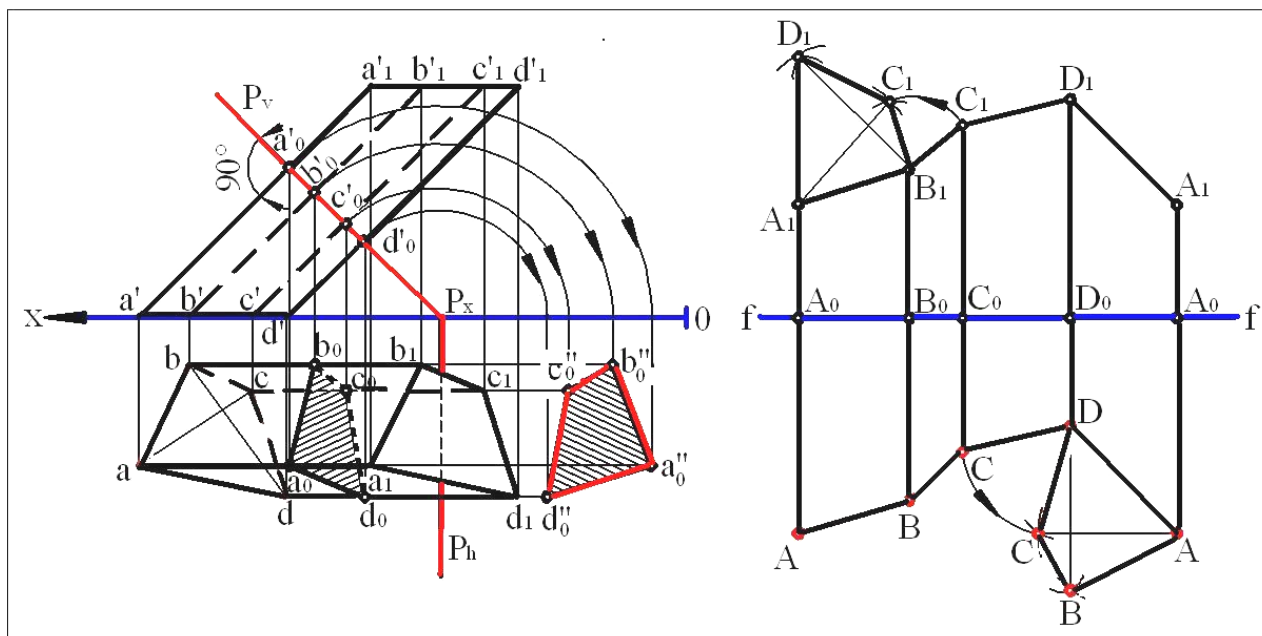


Fig. 5.15a.b. Desfășurata prisme oblice.

Calea care trebuie urmată în epură este următoarea (figura 5.15.a): Se secționează prisma având muchiile de front, cu un plan de capăt  $P$  perpendicular pe muchii ( $P_v$  este perpendicular pe  $a'a_1$ ). Polygonul de secțiune se obține în adevărată mărime în  $a_0b_0c_0d_0$ , prin rabatarea planului  $Ph, P_v$  pe planul  $H$ .

Se trece la construirea desfășuratei (figura 5.15.b). Pe o dreaptă oarecare  $ff$  se desfășoară polygonul de secțiune cu laturile măsurate în adevărată mărime pe polygonul rabătit în  $a_0b_0c_0d_0$ . Pe perpendicularele ridicate la  $ff$  în punctele  $A_0, B_0, C_0, D_0$  și  $A_0$  se poartă lungimile muchiilor de deasupra și de dedesubtul planului  $P$ , măsurate în adevărată mărime în proiecția verticală:

$$A_0A_1 = a_0'a_1'; A_0A = a_0'a'; B_0B_1 = b_0'b_1', \text{ etc.}$$

Unind între ele punctele aflate,  $A, B, C, D, A$ , respectiv  $A_1, B_1, C_1, D_1, A_1$  se obțin două linii poligonale care, dacă construcția grafică a fost bine executată, trebuie să fie paralele între ele.

Pentru a completa desfășurata se construiesc apoi, cu ajutorul diagonalelor  $AC$  și  $BD$ , cele două poligoane de bază  $ABCD$  și  $A_1B_1C_1D_1$ , care se găsesc în adevărată mărime în  $abcd$ , pe planul  $H$ .

## 5.7. Aplicații

1) Să se determine proiecțiile unui cub cu muchiile de lungime dată, așezat cu una din fețe într-un plan de capăt.

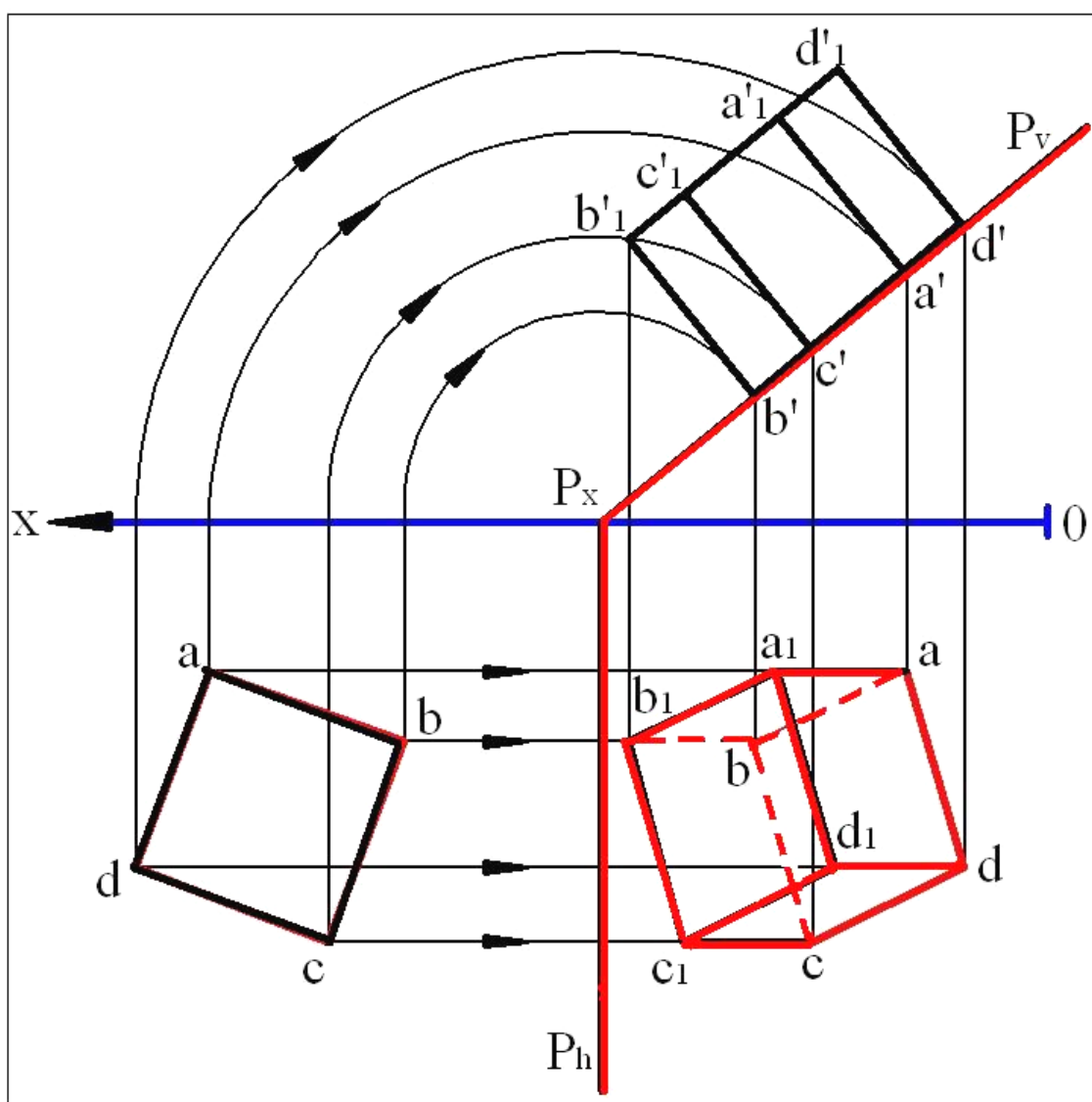


Fig.5.16. Aplicația 1.

**Rezolvare:**

Fie  $Ph$ ,  $Pv$  (figura 5.16) planul de capăt dat. Pentru a construi baza cubului situată în planul de capăt se rabate întâi planul  $Ph$ ,  $Pv$  pe planul orizontal de proiecție, se construiește pătratul în adevărată mărime pe planul rabătat și apoi se ridică în cele două proiecții:  $abcd$  și  $a'b'c'd'$ . Muchiile perpendiculare pe baza  $ABCD$  vor fi perpendiculare și pe planul  $Ph$ ,  $Pv$  și deci, implicit, paralele cu planul  $V$ , deoarece  $Ph$ ,  $Pv$  este un plan de capăt; rezultă că, în proiecție verticală, ele apar în adevărată mărime și pot fi construite, dacă se poartă pe fiecare din perpendicularele ridicate din punctele  $a'$ ,  $b'$ ,  $c'$  și  $d'$  lungimi egale cu muchia cubului. Proiecțiile orizontale ale muchiilor de front  $aa_1$ ,  $bb_1$ ,  $cc_1$ , și  $dd_1$  se obțin ducând paralele la  $Ox$  respectiv din  $a$ ,  $b$ ,  $c$ ,  $d$  și coborând pe acestea liniile de ordine corespunzătoare din  $a'_1$ ,  $b'_1$ ,  $c'_1$  și  $d'_1$ .

Pentru determinarea muchiilor văzute și nevăzute se analizează fiecare proiecție în parte ținând seama de convențiile adoptate în privința vizibilității.

2) Să se determine punctele în care o dreaptă de profil intersectează o suprafață prismatică.

**Rezolvare:**

Fie  $hv$ ,  $h'v'$  (figura 5.17) dreapta de profil și  $abcd$ ,  $a_1b_1c_1d_1$ ,  $a'b'c'd'$ ,  $a_1'b_1'c_1'd_1'$ , suprafața prismatică limitată la porțiunea cuprinsă în primul diedru.

Se construiesc întâi pe planul lateral proiecțiile dreptei și prismei, utilizând urmele lor. Se duce apoi prin dreapta dată un plan de profil  $Rh$ ,  $Rv$  care intersectează prisma după poligonul  $pqrs$ ,  $p'q'r's'$ ,  $p''q''r''s''$ , având proiecția laterală  $p''q''r''s''$ , de aceeași mărime cu poligonul de secțiune.

Dreapta de profil și poligonul de secțiune fiind în același plan  $R$ , se vor intersecta în cele două puncte căutate  $M$  și  $N$ , care se determină întâi pe proiecția laterală în  $m''$ ,  $n''$  și se raportează apoi pe celelalte două proiecții ale dreptei, în  $m'$ ,  $n'$  respectiv  $m$ ,  $n$ .

Pentru a determina, porțiunile văzute și nevăzute ale dreptei se ține seama că punctul  $M$  aparține feței  $ABA_1B_1$  iar  $N$  feței  $CDC_1D_1$  a prismei și deci va fi văzut sau nevăzut după cum fața respectivă a prismei va apărea văzută sau nevăzută în fiecare din cele trei proiecții.

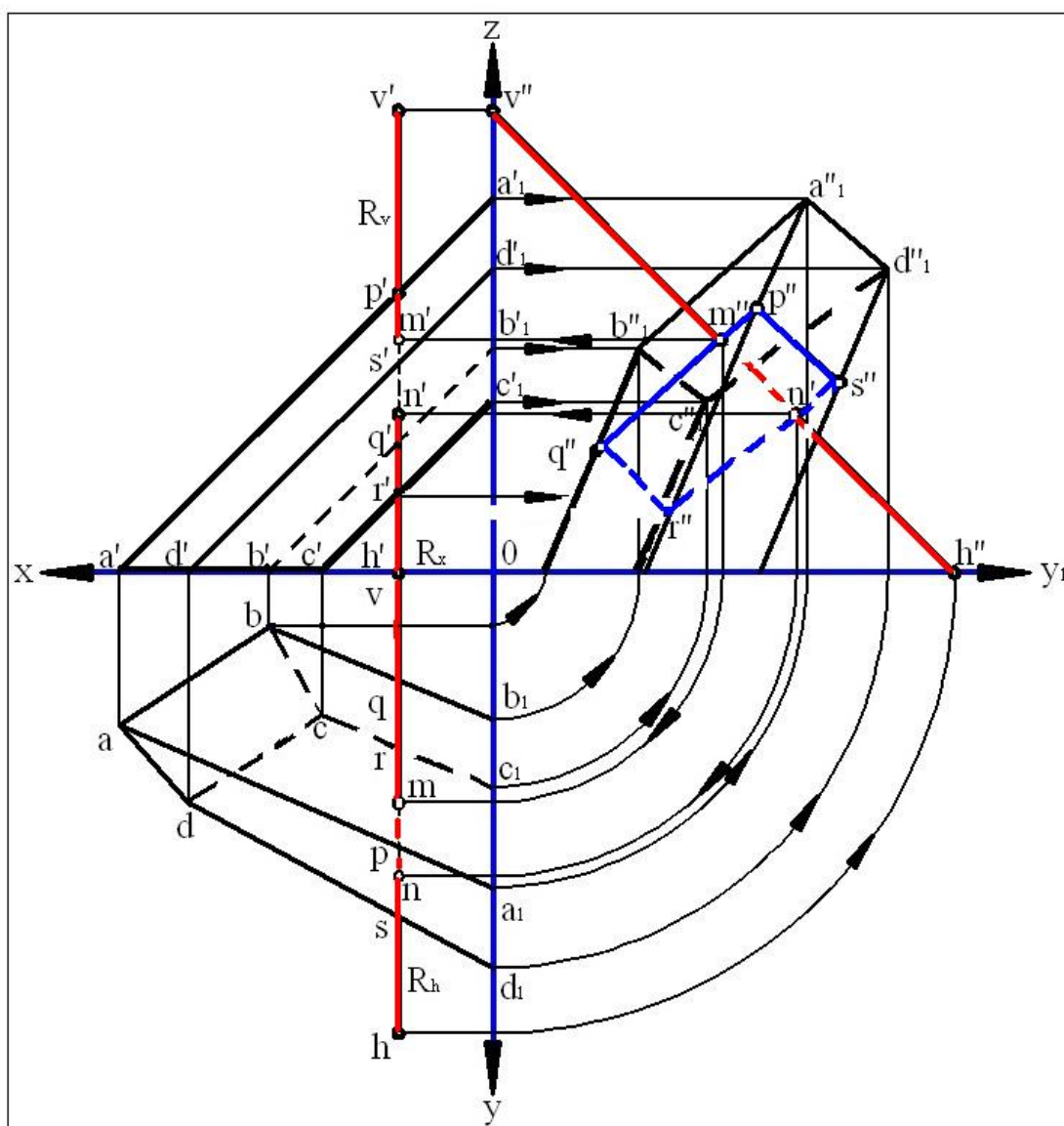


Fig.5.17. Aplicația 2.

3) Să se determine adevărata mărime a secțiunii unei piramide oblice cu un plan paralel cu  $Ox$ .

**Rezolvare:**

Fie  $Ph$ ,  $Pv$  (figura 5.18.) planul secant paralel cu  $Ox$  și  $abcs$ ,  $a'b'c's'$ , piramida oblică oarecare. Polygonul de secțiune se determină cu ajutorul proiecției pe planul lateral. Într-adevăr, planul  $Ph$ ,  $Pv$  fiind proiectant față de  $L$ , polygonul de secțiune se va proiecta pe urma  $Pl$  a planului, și anume cu vârfurile  $m''$ ,  $n''$  și  $r''$  respectiv la intersecțiile proiecțiilor  $a''s''$ ,  $b''s''$  și  $c''s''$  cu urma  $Pl$ . Cu ajutorul liniilor de ordine se găsesc apoi pe proiecțiile muchiilor corespunzătoare și proiecțiile  $m'$ ,  $n'$ ,  $r'$  și  $m$ ,  $n$ ,  $r$  și, cu ele, cele două poligoane-proiecție căutate.

Adevărata mărime a polygonului de secțiune se obține rabatând planul  $Ph$ ,  $Pv$  pe planul vertical de proiecție. Un vârf oarecare  $m$ ,  $m'$ ,  $m''$  al polygonului va descrie în timpul rotației în jurul urmei  $Pv$  un arc de cerc care se va proiecta în adevărată mărime pe planul  $L$  și, după perpendiculara dusă din  $m'$  la  $Pv$ , pe planul  $V$ . Urmând construcțiile grafice respective indicate în figură prin săgeți, se obține în  $m_1$ ,  $n_1$ ,  $r_1$  polygonul de secțiune în adevărată mărime.

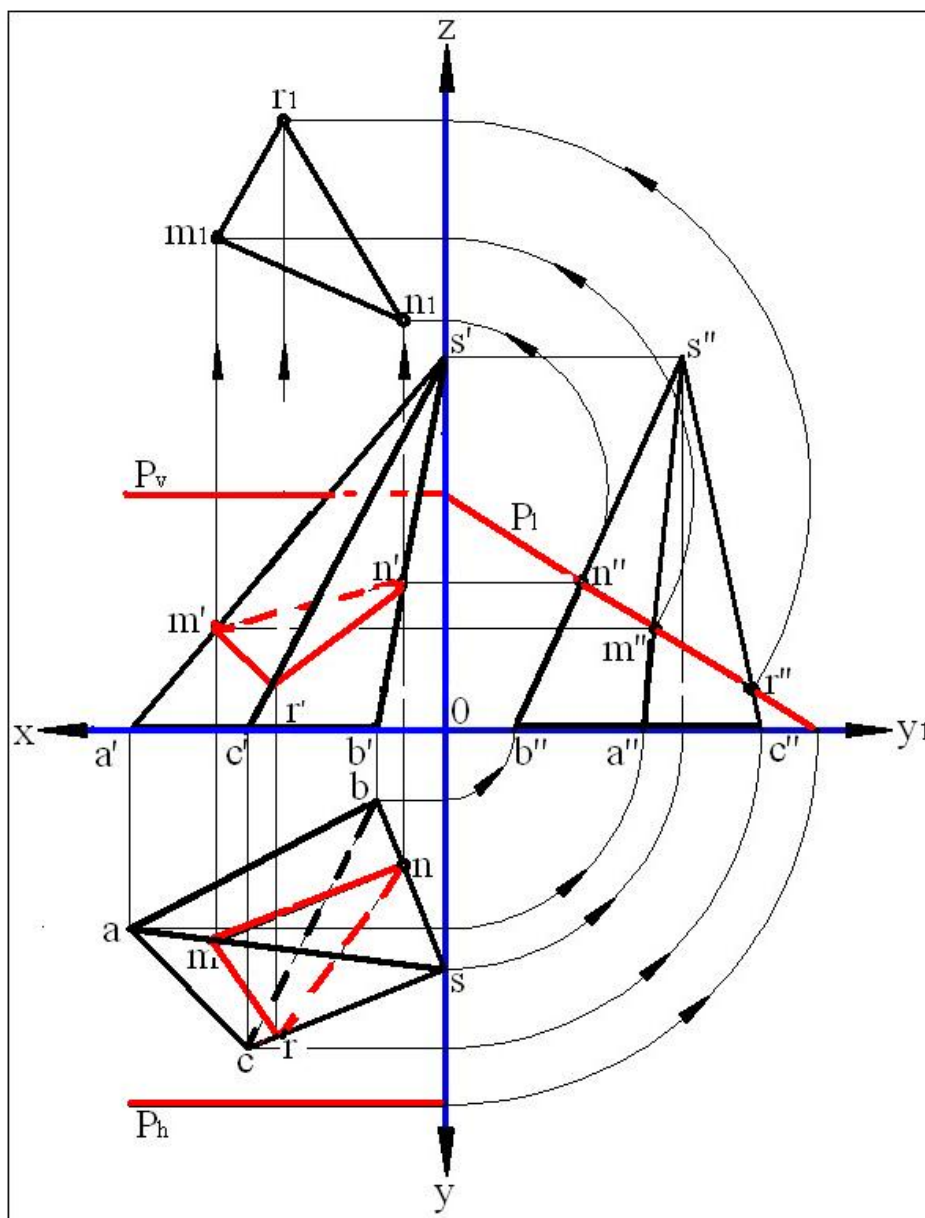


Fig. 5.18. Aplicația 3.



4) Să se determine poligonul după care un plan oarecare intersectează o piramidă dreaptă.

**Rezolvare:**

Fie  $abcs$ ,  $a'b'c's'$  (figura 5.19) piramida dreaptă cu baza în planul  $H$  și  $Ph$ ,  $Pv$  planul secant oarecare. Problema poate fi rezolvată, așa cum s-a arătat, fie căutând vârfurile poligonului de intersecție, adică determinând punctele în care muchiile piramidei intersectează planul  $Ph$ ,  $Pv$ , fie determinând laturile poligonului, adică intersectând fețele poliedrului cu planul  $Ph$ ,  $Pv$ . Uneori este mai convenabil să se schimbe unul din planele de proiecție, astfel încât planul secant să devină proiectant față de acesta, și atunci problema se reduce la aceea cunoscută a intersecției unui poliedru cu un plan proiectant.

Astfel, dacă se schimbă planul  $V$  așa încât să devină perpendicular pe planul  $Ph$ ,  $Pv$  (noua linie a pământului  $O_1x_1$  se ia perpendiculară, pe  $Ph$ ), piramida își schimbă proiecția verticală în  $a_1'b_1'c_1's'_1$ , iar planul  $P$  ajunge cu urma verticală în  $Pv_1$ . Față de noul sistem de proiecție, planul secant a devenit proiectant, deci poligonul de secțiune se proiectează pe planul  $V_1$ , în  $m_1'r_1'n_1'$  pe urma  $Pv_1$ . Pornind de la  $m_1'r_1'n_1'$  cu linii de ordine se obține întâi în  $mnr$  proiecția orizontală și de aici, în  $m'n'r'$ , proiecția verticală a poligonului.

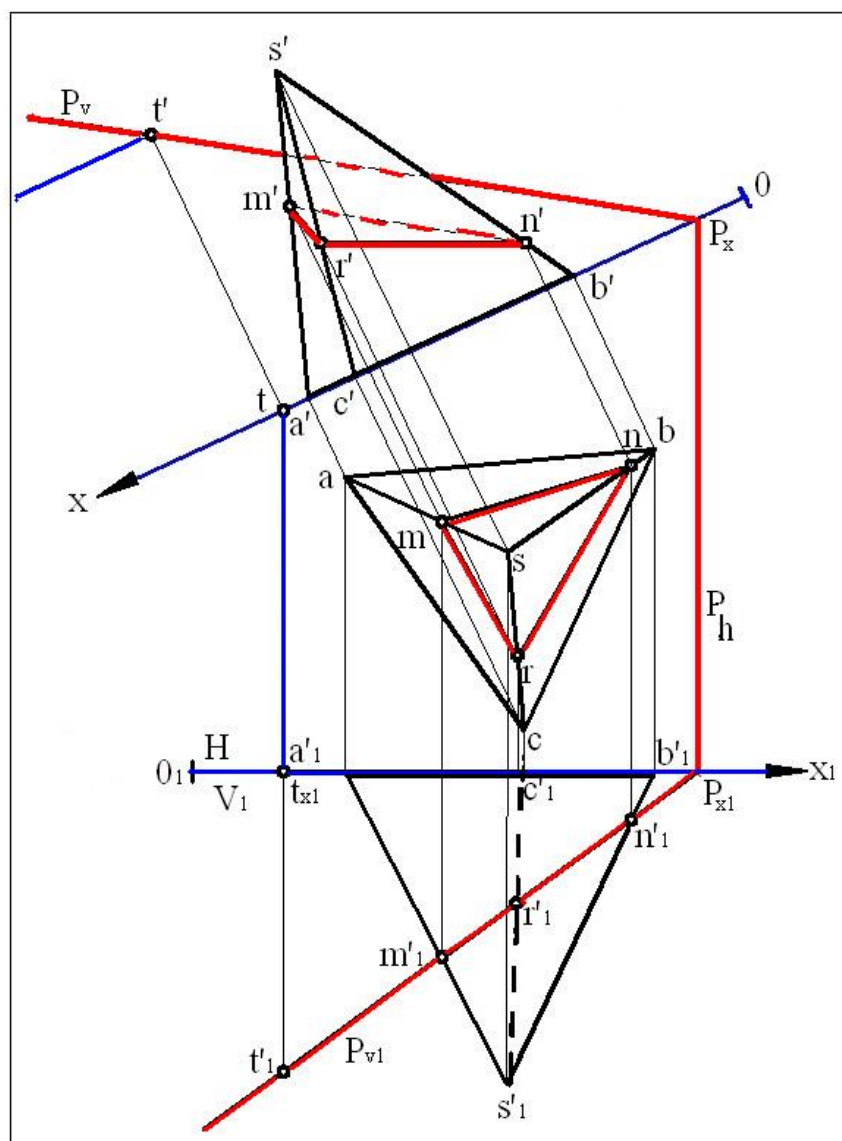


Fig. 5.19. Aplicația 4.

**5) Cunoscând lungimile muchiilor unei piramide, să se determine cele două proiecții ale acesteia.**

**Rezolvare:**

Fie  $AB$ ,  $BC$ ,  $CA$ ,  $SA$ ,  $SB$  și  $SC$  (figura 5.20) lungimile date pentru muchiile. Pentru rezolvarea problemei se presupune piramida așezată cu baza  $ABC$  în planul  $H$  și se construiește desfășurata ei pe planul bazei. Pentru aceasta se amplasează  $ABC$  într-o poziție oarecare în  $abc$  și apoi pe fiecare din laturile  $ab$ ,  $bc$  și  $ca$  se construiesc fețele laterale desfășurate respectiv în  $abs_1$ ,  $bcs_2$  și  $cas_3$ . Cele trei fețe laterale desfășurate pot fi considerate ca rezultând din rabaterea fețelor piramidei pe planul  $H$  respectiv în jurul muchiilor  $AB$ ,  $BC$  și  $CA$ . În acest caz proiecția  $s$  a vârfului se va găsi la intersecția perpendiculararelor duse din  $s_1$ ,  $s_2$  și  $s_3$  respectiv la  $ab$ ,  $bc$  și  $ca$ . Unind pe  $s$  astfel determinat cu  $a$ ,  $b$  și  $c$  se obțin și proiecțiile pe planul  $H$  ale celor trei muchii laterale.

Pentru a construi proiecția verticală a piramidei, se duc întâi liniile de ordine din  $a$ ,  $b$  și  $c$  și la intersecția cu  $Ox$ , se obțin  $a'$ ,  $b'$  și  $c'$  — proiecțiile vârfulor poligonului de bază. Proiecția  $s'$  a vârfului poliedrului se găsește pe linia de ordine ridicată din  $s$  la o cotă ce va trebui aflată. Pentru aceasta se duce prin muchia  $BS$  un plan vertical  $P$  cu urma  $Ph$  suprapusă peste  $bs$  și se rabate pe planul  $H$ . Triunghiul dreptunghic format de muchia  $Bs$ , proiecția ei  $bs$  și înălțimea  $Ss$  a tetraedruului, fiind cuprins în planul  $P$ , se rabate o dată cu acesta, în jurul catetei  $bs$  și poate fi construit în  $bs s_3$ , întrucât  $bs$  a rămas pe loc,  $bs_3$  este egală, cu lungimea muchiei  $BS$ , iar  $ss_3$  se știe că este perpendiculară pe  $bs$ .

Cu ajutorul înălțimii piramidei obținute în  $ss_3$  în adevărată mărime se construiește apoi și proiecția  $s'$  a vârfului piramidei (înălțimea piramidei reprezintă de fapt cota vârfului  $S$ ) care, unită cu  $a'$ ,  $b'$  și  $c'$ , determină proiecțiile verticale ale celor trei muchii laterale.

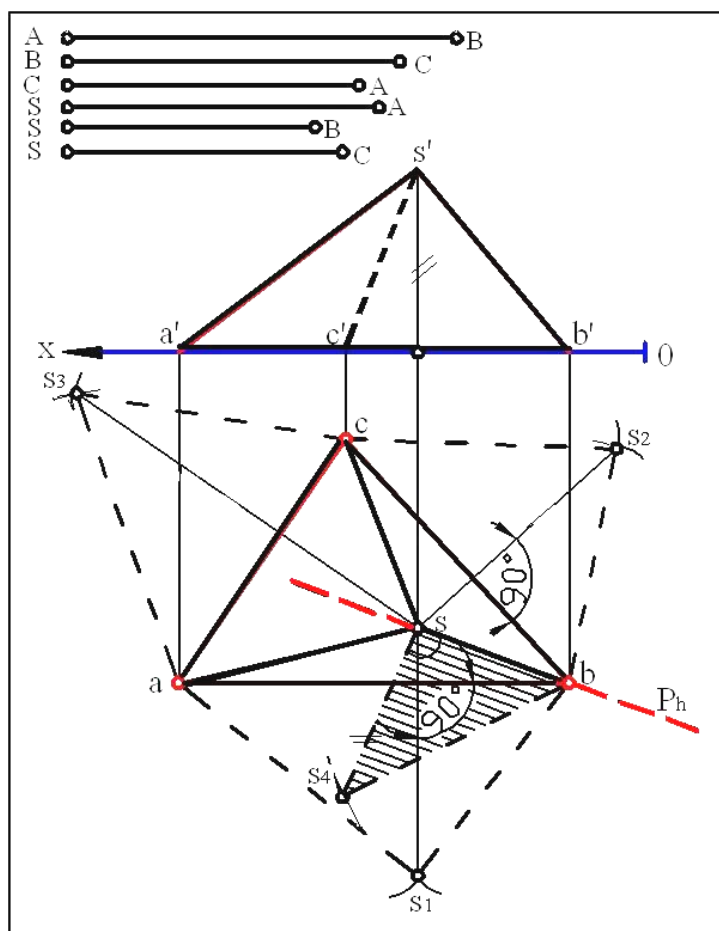


Fig. 5.20. Aplicația 5.



## 6. CORPURI DE ROTAȚIE

### 6.1. Generalități. Reguli de reprezentare.

Reprezentarea în epură, în triplă proiecție ortogonală a principalelor corpuri de rotație de secțiune dreptă, cilindrul, conul, trunchiul de con și sfera, se prezintă în figura 6.1.a.b.c.d.

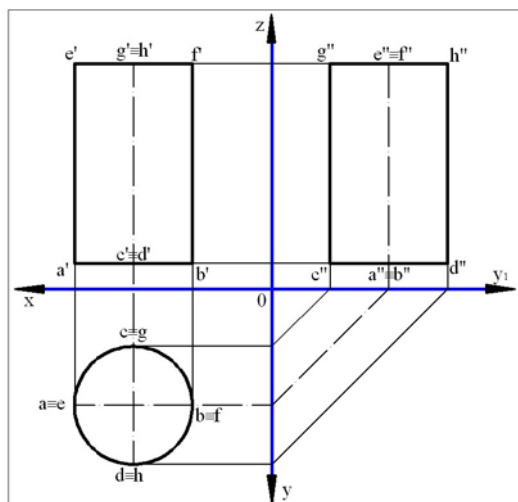


Fig.6.1.a. Cilindrul.

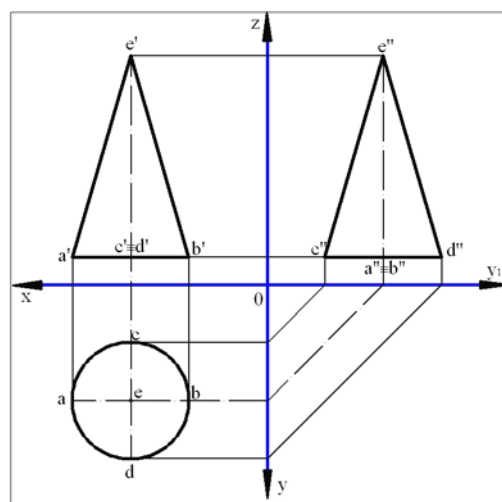


Fig.6.1.b. Conul.

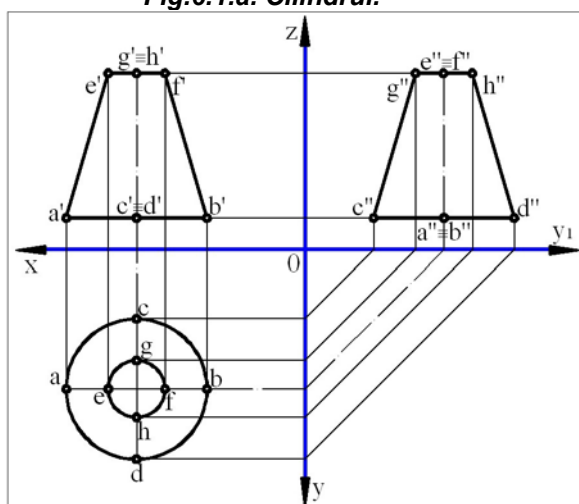


Fig.6.1.c. Trunchi de con.

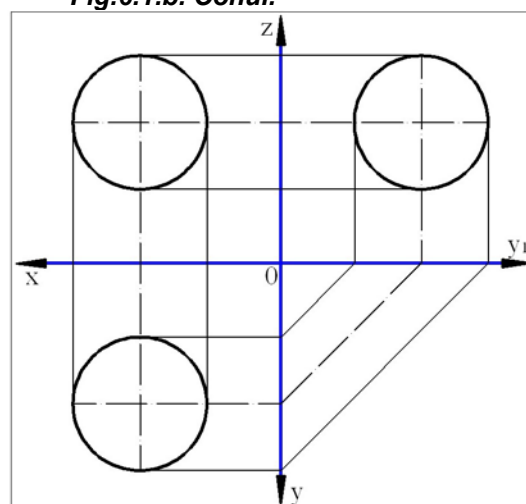


Fig.6.1.d. Sfera.

#### 6.1.2. Conul oblic

Pentru a reprezenta un con oblic în epură (figura 6.2.), se fixează în cele două proiecții punctul director  $s, s'$  prin care trec toate generatoarele și curba directoare  $abcd$ ,  $a'b'c'd'$ , care se ia chiar urma suprafeței pe planul  $H$ . Se construiesc apoi generatoarele de contur aparent care sunt diferite pentru cele două proiecții.

Astfel, cele din plan orizontal sunt cele două tangente  $sa$  și  $sb$  duse din  $s$  la curba  $abcd$ ; generatoarele de contur aparent vertical sunt  $s'c'$  și  $s'd'$ , care se determină cu ajutorul proiecțiilor  $c$  și  $d$ , punctele în care liniile de ordine sunt tangente la curba  $acbd$ .

Cu ajutorul generatoarelor de contur aparent se delimitează și porțiunile văzute și nevăzute din suprafață. În proiecția orizontală, arcul de curbă  $acb$ , precum și toate generatoarele care pornesc din puncte aparținând acestei porțiuni din curbă (de exemplu  $cs$ ,  $c's'$ ) vor fi nevăzute. În mod similar pentru proiecția verticală, porțiunea  $d'a'c'$  corespunzând arcului  $dac$ , precum și toate generatoarele care pornesc de pe ea (de exemplu  $as$ ,  $a's'$ ) vor fi nevăzute.

Reprezentând astfel conul, se obține o imagine intuitivă care permite în același timp determinarea imediată a oricărui punct de pe suprafață.

Dacă  $m'$  este proiecția verticală a unui punct oarecare, pentru ca acesta să se găsească pe suprafață, trebuie să aparțină unei generatoare a acesteia. Se duce întâi proiecția verticală  $s'g'$  a generatoarei trecând prin  $m'$  și se determină proiecția orizontală  $gs$  cu ajutorul lui  $gg'$  de pe curba directoare; apoi cu linia de ordine coborâtă din  $m'$  se găsește în  $m$ , la intersecția cu  $gs$ , proiecția orizontală a punctului căutat, întrucât proiecției verticale  $g's'$  îi corespund două proiecții orizontale  $gs$  și  $js$ , rezultă că și lui  $m'$  îi vor corespunde  $m$  pe  $gs$  și  $m_1$  pe  $js$ .

### 6.1.3. Cilindru oblic

Un cilindru oblic în epură se reprezintă urmând aceleași reguli (figura 6.3). Generatoarele cilindrului fiind paralele cu o direcție oarecare, pentru a găsi conturul aparent orizontal al suprafeței, se duc tangentele la curba  $acbd$ , paralele cu proiecția orizontală a direcției date.

Generatoarele de contur aparent vertical au drept urme orizontale punctele  $c, c'$  și  $d, d'$  determinate cu ajutorul liniilor de ordine tangente la urma  $acbd$  a suprafeței și sunt paralele cu direcția dată. Și în acest caz un punct  $mm'$  se va găsi pe suprafață dacă va aparține unei generatoare a suprafeței.

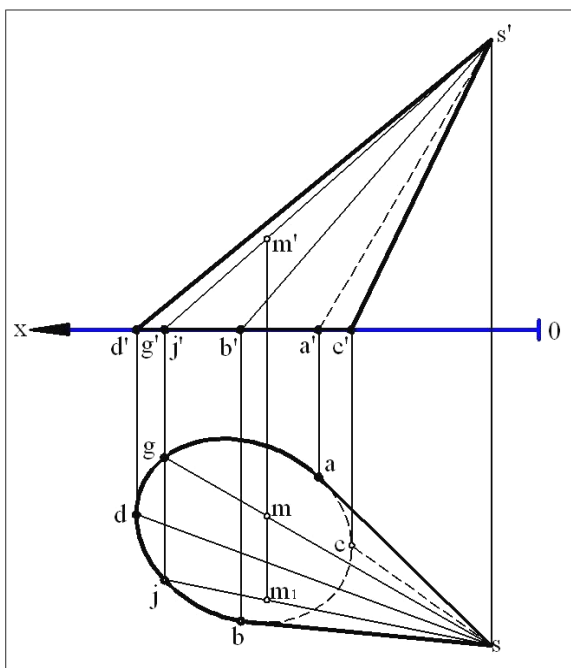


Fig.6.2. Con oblic.

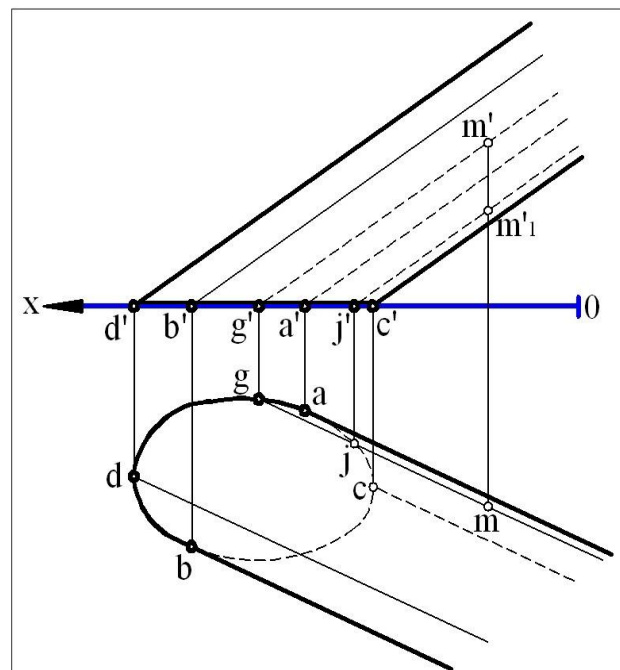


Fig.6.3. Cilindru oblic.

### 6.1.4. Sfera

Pentru a reprezenta o sferă de rază dată (figura 6.4.) cu centrul într-un punct oarecare  $g, g'$  se trasează contururile aparente ale suprafeței, care sunt două cercuri mari cu centrele în  $g$  respectiv  $g'$ . Cercul din planul  $H$  este proiecția secțiunii făcute prin centrul sferei cu un plan de nivel, iar cercul din planul  $V$  este proiecția secțiunii făcute prin centrul sferei cu un plan de front. Cele două cercuri de secțiune poartă respectiv numele de ecuator și meridian principal. Ele nu corespund în epură: ecuatorul se proiectează pe planul  $H$  după cercul de contur aparent orizontal, iar pe planul  $V$ , după segmentul  $a'b'$ ; meridianul principal se proiectează pe planul  $V$  după cercul de contur aparent vertical, iar pe planul  $H$  după segmentul  $ab$ .

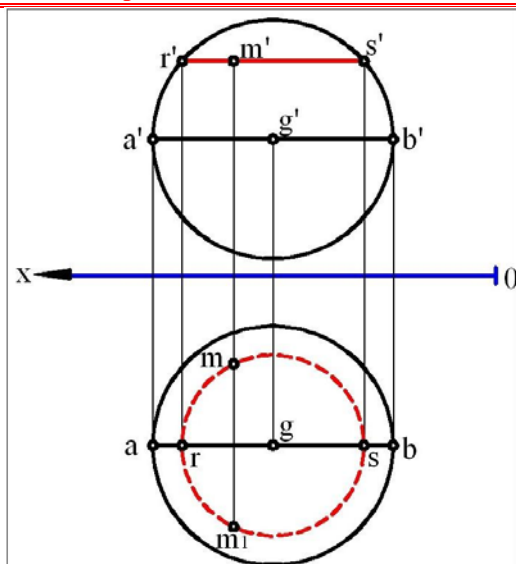


Fig.6.4. Punct  $M$  de pe sferă.

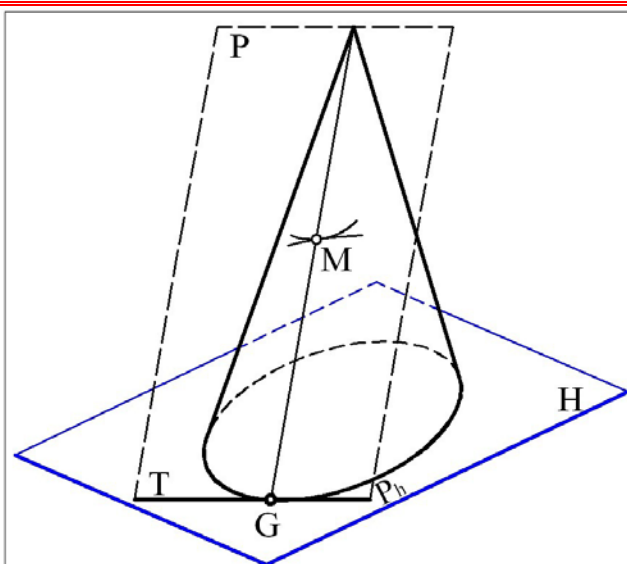


Fig.6.5. Plan tangent la con.

Pentru a reprezenta un punct oarecare de pe sferă, se situează punctul pe o curbă de pe sferă (de exemplu un cerc de nivel), care se va proiecta pe planul  $V$  după segmentul  $r's'$  paralel cu  $Ox$ , iar pe planul  $H$ , în adevărata mărime după cercul cu centrul în  $g$  și diametrul  $rs$  egal cu  $r's'$ . Dacă se ia un punct  $m, m'$  având proiecțiile pe proiecțiile de același nume ale cercului de nivel, se obține tocmai punctul căutat de pe suprafața sferei. Este de remarcat că unei proiecții verticale  $m'$  îi corespund două proiecții orizontale  $m$  și  $m_1$  care satisfac condiția impusă. Punctele  $m, m'$  și  $m_1, m'$  sunt pe aceeași dreaptă de capăt și deci se proiectează pe planul  $V$ , suprapuse în  $m'$  pe urma verticală a dreptei de capăt.

## 6.2. Plane tangente la suprafață

Planul tangent într-un punct  $M$  al unei suprafețe cilindro-conice (figura 6.5) este tangent la suprafață în orice punct al generatoarei duse prin punctul dat. El este determinat de generatoarea care trece prin punct și de tangenta la curba directoare în punctul în care această generatoare intersectează directoarea.

Dacă directoarea suprafeței este situată în planul  $H$  (figura 6.5.), tangenta  $T$  la aceasta va trece prin urma orizontală  $G$  a generatoarei și va constitui chiar urma orizontală  $Ph$  a planului tangent la suprafață de-a lungul generatoarei  $SG$ .

**a) Plan tangent la un con circular oblic cu baza în planul  $H$  și vârful în  $s, s'$**  (figura 6.6).

Se dă  $m, m'$  un punct oarecare de pe suprafața conului. Planul tangent la con în punctul  $m, m'$  va fi determinat de generatoarea  $sg, s'g'$  care trece prin  $m, m'$  și de tangenta  $t, t'$  dusă la cercul director al conului în punctul  $g, g'$  în care generatoarea  $sg, s'g'$  intersectează directoarea. Tangenta  $t, t'$  fiind situată în planul  $H$ , va constitui chiar urma orizontală  $Ph$  a planului tangent. Punctul  $Px$  în care urma  $Ph$  intersectează pe  $Ox$  este un punct al urmei verticale. Pentru a găsi un al doilea punct necesar pentru determinarea urmei  $Pv$  se caută urma verticală  $j, j'$  a generatoarei  $sg, s'g'$  care este și ea o dreaptă aparținând planului tangent. Unind pe  $Px$  cu  $j'$  se obține și urma  $Pv$  a planului tangent.

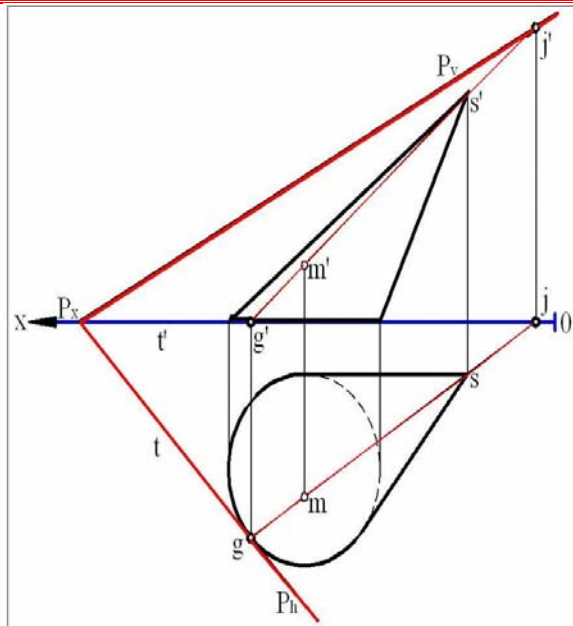


Fig.6.6. Plan tangent  $T$  la con.

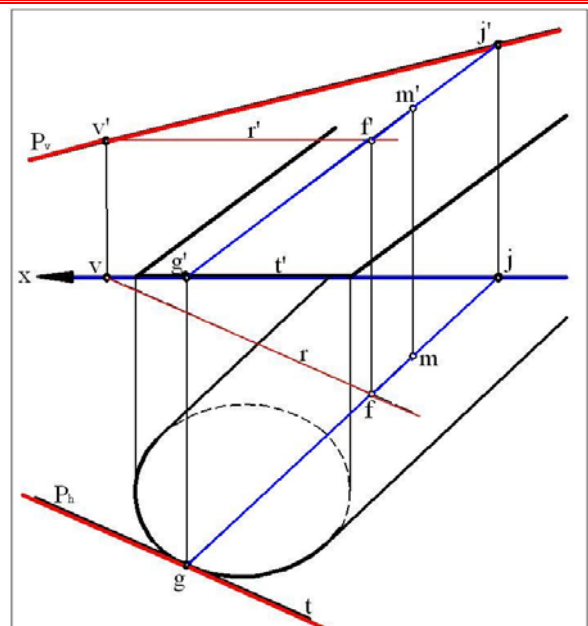


Fig.6.7. Plan tangent  $T$  la cilindru.

#### b) Plan tangent la un cilindru oarecare (figura 6.7).

Și în acest caz generatoarea  $gm$ ,  $g'm'$  și tangenta  $t, t'$  la directoare determină planul tangent. Deoarece  $Ph$  nu s-a întâlnit cu  $Ox$  în cadrul epurei, s-a utilizat pentru determinarea celui de-al doilea punct  $v, v'$  al urmei  $Pv$ , o orizontală  $r, r'$  aparținând planului tangent, dusă printr-un punct  $f, f'$  luat arbitrar pe generatoarea  $gm$ ,  $g'm'$ , ( $r$  se duce paralelă cu  $Ph$  și trecând prin  $f$ , iar  $r'$  paralelă cu  $Ox$  și trecând prin  $f'$ ).

#### c) Plan tangent într-un punct situat pe o sferă (figura 6.8).

Se ține seama că acesta trebuie să fie perpendicular pe raza sferei dusă prin punctul considerat. Astfel, fie sfera de centru  $c, c'$  și un punct oarecare  $m, m'$  situat pe sferă, cu proiecțiile determinate cu ajutorul cercului de nivel de diametru  $ab$ ,  $a'b'$ . Unind pe  $m$  cu  $c$  și pe  $m'$  cu  $c'$ , se obțin cele două proiecții ale razei cercului. Planul tangent în  $m, m'$  la sferă fiind perpendicular pe raza  $cm$ ,  $c'm'$ , rezultă că va avea urma  $Ph$  perpendiculară pe  $cm$ , iar urma  $Pv$  pe  $c'm'$ . Pentru a putea trasa cele două urme de direcții cunoscute este suficient să se cunoască un punct aparținând uneia din ele. Pentru determinarea acestuia se duce prin  $m, m'$ , spre exemplu, o orizontală  $s, s'$  a planului tangent ( $s$  perpendiculară pe  $cm$  și trecând prin  $m$ , iar  $s'$  paralelă la  $Ox$  și trecând prin  $m'$ ) și se determină urma ei verticală  $v, v'$ . Urma verticală  $Pv$  a planului tangent va trebui să treacă prin  $v'$  și să fie perpendiculară pe  $c'm'$ , iar urma orizontală  $Ph$  se va duce prin  $Px$  perpendiculară pe  $cm$ .

### 6.3. Secțiuni plane în suprafețe curbe

Un plan oarecare secționează o suprafață după o linie care se poate determina în epură urmând metodele stabilite la secțiunile plane în poliedre.

Dacă se consideră suprafața ca derivând din poliedrul corespunzător (spre exemplu conul ca derivând dintr-o piramidă, cilindru dintr-o prismă) căruia i s-au mărit indefinit numărul muchiilor, acestea din urmă devin generatoarele suprafeței și atunci punctele aparținând curbei de secțiune plană sunt punctele în care generatoarele intersectează planul secant dat.

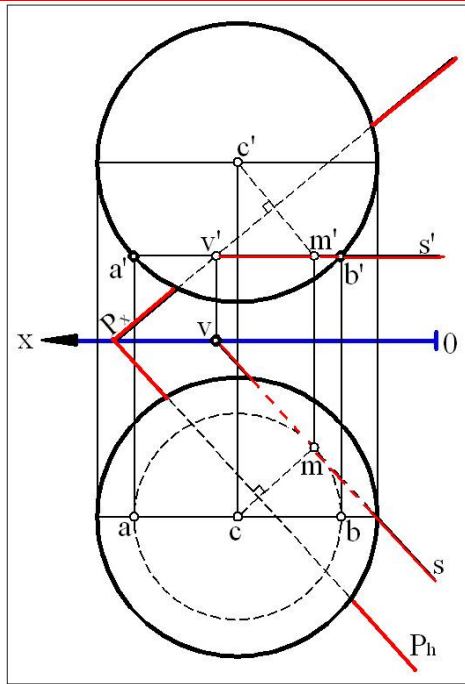


Fig.6.8. Plan tangent la sferă.

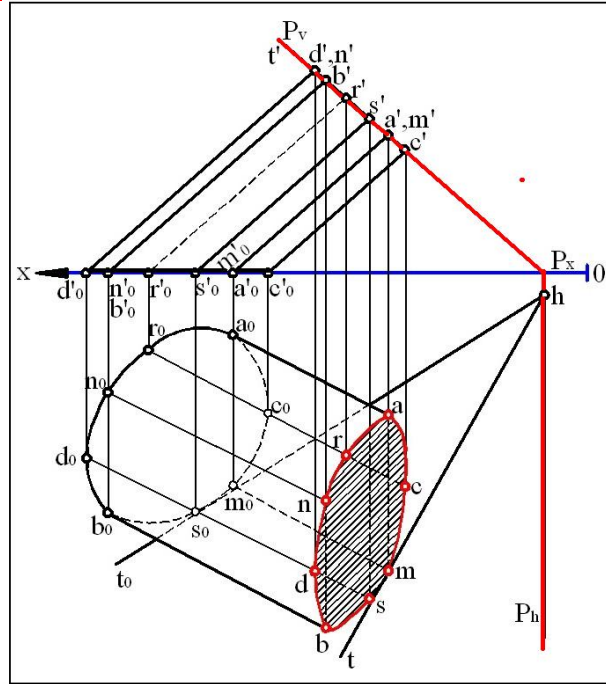


Fig.6.9. Cilindru secționat cu plan de capăt.

### 6.3.1. Secțiuni cu plane proiectante.

#### 1. Un cilindru oarecare secționat de un plan de capăt (figura 6.9).

Pentru determinarea curbei de secțiune se alege un număr oarecare de generatoare (cât mai numeroase pentru a putea trasa curba cu suficientă precizie) și se determină punctele în care aceste generatoare intersectează planul secant **Ph, Pv**.

S-au luat în considerare întâi generatoarele de contur aparent orizontal și vertical. Generatoarea **a<sub>0</sub>a**, **a<sub>0</sub>'a'** intersectează planul **Ph, Pv** în punctul **a, a'** (care se găsește în același timp pe **a<sub>0</sub>'a'** și pe urma **Pv**). Urmând același raționament, se obțin apoi pe generatoarele respective și punctele **b, b'**, **c, c'** și **d, d'**. Cele patru puncte determinate nu sunt însă suficiente pentru trasarea curbei și atunci se mai iau și alte generatoare, pe cât posibil astfel alese încât să se utilizeze cât mai mult liniile deja existente în epură.

Astfel, generatoarea care pornește din **m<sub>0</sub>, m<sub>0</sub>'** are proiecția verticală suprapusă peste **a<sub>0</sub>'a'**, după cum generatoarea care pornește din **s<sub>0</sub>, s<sub>0</sub>'** are proiecția orizontală suprapusă peste **d<sub>0</sub>d** etc. Se mai obțin astfel cu ajutorul generatoarelor care pornesc din punctele **m<sub>0</sub>, m<sub>0</sub>'**; **n<sub>0</sub>, n<sub>0</sub>'**; **r<sub>0</sub>, r<sub>0</sub>'** și **s<sub>0</sub>, s<sub>0</sub>'** încă patru puncte de pe curbă, respectiv **m**, **n**, **r** și **s**. Cunoscând acum opt puncte aparținând curbei și ținând seama și de faptul că în punctele **a** și **b** proiecția acesteia este tangentă respectiv la **a<sub>0</sub>a** și **b<sub>0</sub>b**, iar în punctele **c** și **d** tangentă la liniile de ordine corespunzătoare, rezultă că proiecția orizontală a curbei se poate trasa cu suficientă precizie.

**Pentru a duce tangenta într-un punct oarecare al curbei de secțiune** se ține seama că aceasta trebuie să fie în același timp în planul de secțiune cât și în planul tangent la suprafață în punctul considerat (curba de secțiune se găsește pe suprafață). Deci tangenta este chiar dreapta de intersecție a celor două plane.

Fie **s, s'** punctul în care trebuie construită tangenta. Cele două plane care o determină sunt **Ph, Pv** (planul curbei) și planul tangent la suprafață după generatoarea **ss<sub>0</sub> s's<sub>0</sub>'**; urmele lor orizontale sunt **Ph** respectiv **t<sub>0</sub>**. Proiecția orizontală **t** a tangentei căutate este determinată de punctul **s** și de punctul **h**, intersecția urmelor orizontale ale celor două plane.

**2. Un con oarecare intersectat de un plan proiectant.** Construcție absolut analogă.

**3. Un plan de capăt secționează o sferă de centru  $f$ ,  $f'$  (figura 6.10) după un cerc mic, care se proiectează pe planul  $V$  după segmentul  $a'b'$  iar pe planul  $H$  după o elipsă (cercul de secțiune este oblic față de planul  $H$ ).**

Pentru a găsi cele două axe ale **elipsei** necesare pentru trasare se observă că:

- **centrul elipsei** se găsește în punctul  $g, g'$  ( $g'$  este la mijlocul segmentului  $a'b'$ , iar  $g$  la intersecția liniei de ordine corespunzătoare cu  $mn$ );
- **axa mare a elipsei** se obține proiectând pe planul  $H$  diametrul orizontal al cercului de secțiune; grafic, se duce prin  $g$  o paralelă la  $Ph$  și pe aceasta se poartă apoi în  $cd$  simetric față de  $g$ , lungimea diametrului cercului, care se găsește în adevărată mărime în  $a'b'$ ;
- **axa mică a elipsei** este proiecția diametrului cel mai înclinat față de planul  $H$  al cercului de secțiune, deci diametrul frontal  $ab$ ,  $a'b'$  care se proiectează vertical în adevărată mărime.

Elipsa-proiecție va fi tangentă la cercul de contur aparent orizontal al sferei, în două puncte,  $r$  și  $s$ . Cercul de contur aparent orizontal reprezintă de fapt secțiunea făcută prin sferă cu planul de nivel care trece prin centrul ei (urma verticală  $m'n'$ ). Acest cerc are punctele  $r, r'$  și  $s, s'$  comune cu cercul de secțiune cuprins în planul  $P$ . Deci în proiecție orizontală atât  $r$  cât și  $s$  trebuie să fie pe ambele curbe.

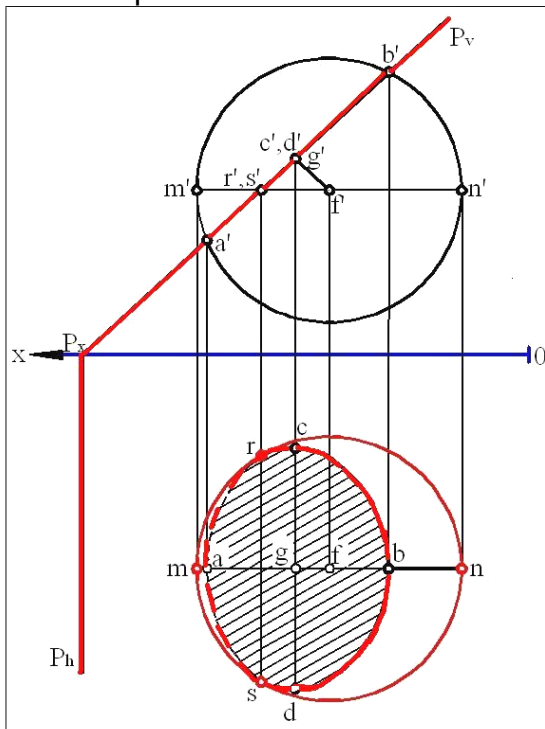


Fig.6.10. Sfera secționată cu plan de capăt.

Punctele  $r$  și  $s$  separă și porțiunea văzută de cea nevăzută a elipsei-proiecție.

În proiecția pe planul  $H$  se văd toate punctele de pe emisfera superioară (deasupra ecuatorului), deci porțiunea  $rcbds$ . Arcul  $sar$  este nevăzut deoarece se găsește sub ecuator.

### 6.3.2. Secțiuni cu plane oarecare

Pentru a obține curba după care un plan oarecare secționează o suprafață cilindro-conică, se caută punctele în care generatoarele suprafeței intersectează planul dat și se unesc apoi între ele printr-o curbă continuă. Pentru a putea trasa curba cu suficientă precizie este bine să se recurgă la un număr cât mai mare de generatoare astfel alese, încât punctele de intersecție rezultate să acopere toate zonele curbei. De un real folos pentru trasare sunt apoi și tangentele la curbă.



1. Un con oblic intersectat cu un plan oarecare  $P$  (figura 6.11).

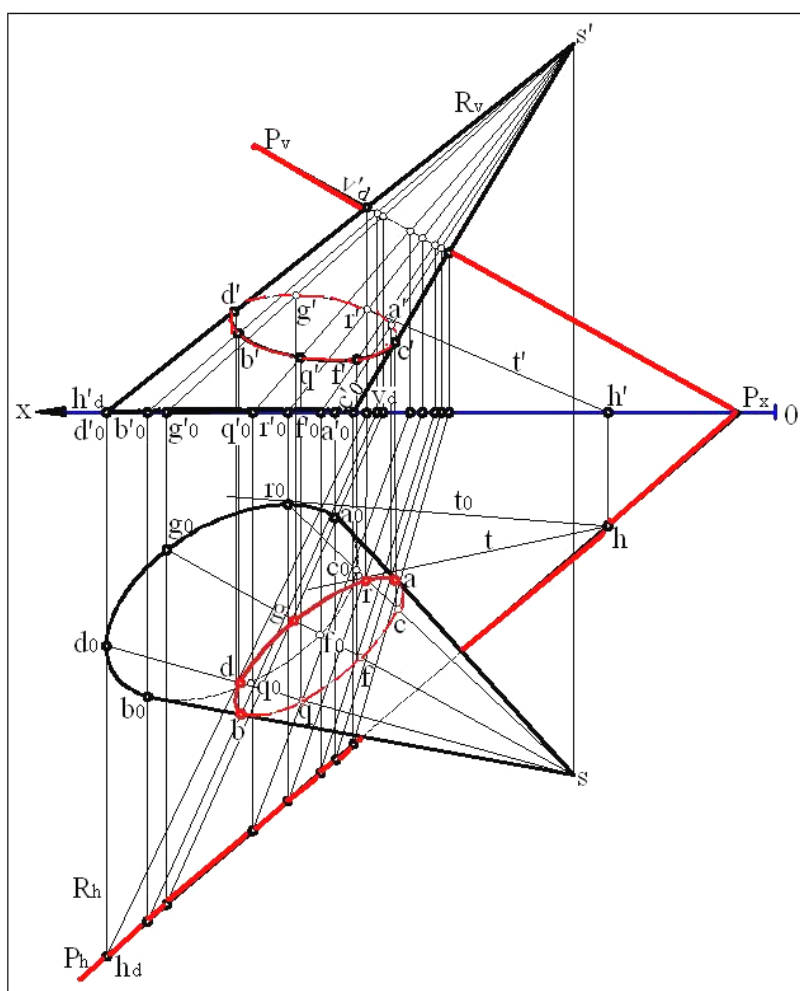


Fig.6.11. Con intersectat cu plan.

Între generatoarele care se aleg pentru determinarea punctelor aparținând curbei de intersecție trebuie să fie în primul rând cele de contur aparent, deoarece în proiecția respectivă ele sunt tangente la curbă în punctele de intersecție.

Pentru a obține punctul în care generatoarea de contur aparent vertical  $d_0s$ ,  $d_0's'$  intersectează planul  $P$  se duce prin această generatoare planul de capăt  $R$  și se intersectează cu planul  $PhP_v$ , obținându-se dreapta  $hd vd$ ,  $h'd v'd$ . Generatoarea  $d_0s$ ,  $d_0's'$  și dreapta  $hdVd$ ,  $h'dVd'$  au ca punct comun pe  $d$ ,  $d'$ , punctul de intersecție căutat.

Proiecția verticală a curbei de secțiune va trece prin  $d'$  și va fi tangentă la  $d_0's'$ .

În mod similar, generatoarele de contur aparent  $a_0s$ ,  $a_0's'$ ;  $b_0s$ ,  $b_0's'$ ;  $c_0s$ ,  $c_0's'$  conduc respectiv la punctele  $a$ ,  $a'$ ;  $b$ ,  $b'$ ;  $c$ ,  $c'$  și tangentele corespunzătoare. Pentru a putea trasa mai exact cele două curbe-proiecție s-au mai ales generatoarele  $g_0s$ ,  $g_0's'$ ;  $f_0s$ ,  $f_0's'$  etc.

Pentru a obține tangenta într-un punct oarecare  $r$ ,  $r'$  de pe curbă s-a intersectat planul secant  $Ph$ ,  $P_v$  cu planul tangent la suprafață în punctul considerat.

Tangenta  $t$ ,  $t'$  a fost determinată cu ajutorul punctului dat  $r$ ,  $r'$  și al urmei ei orizontale  $h$ ,  $h'$ , rezultată la intersecția lui  $Ph$  cu urma orizontală  $r_0h$  a planului tangent.

2. O sferă secționată cu un plan oarecare (figura 6.12).

Se obține un cerc care se proiectează pe planele  $H$  și  $V$  după două elipse. Cele două elipse-proiecție se pot construi fie prin puncte, fie determinând pentru fiecare elipsă axele respective.



**Construcția elipselor prin puncte, folosind metoda planelor auxiliare:**

Fie o sferă de rază  $mc, m'c'$  și centru  $c, c'$  (figura 6.12) și  $Ph, Pv$  planul de secțiune. Dacă se secționează atât sfera cât și planul dat cu un plan de nivel oarecare  $Rv$ , se obțin respectiv cercul  $s, s'$  și orizontala  $d, d'$  care se intersectează în punctele  $a, a'$  și  $b, b'$ , având proiecțiile respective pe cele două elipse care trebuie trasate. Repetând operația cu mai multe plane se obțin punctele necesare pentru trasarea cu suficientă precizie a celor două elipse.

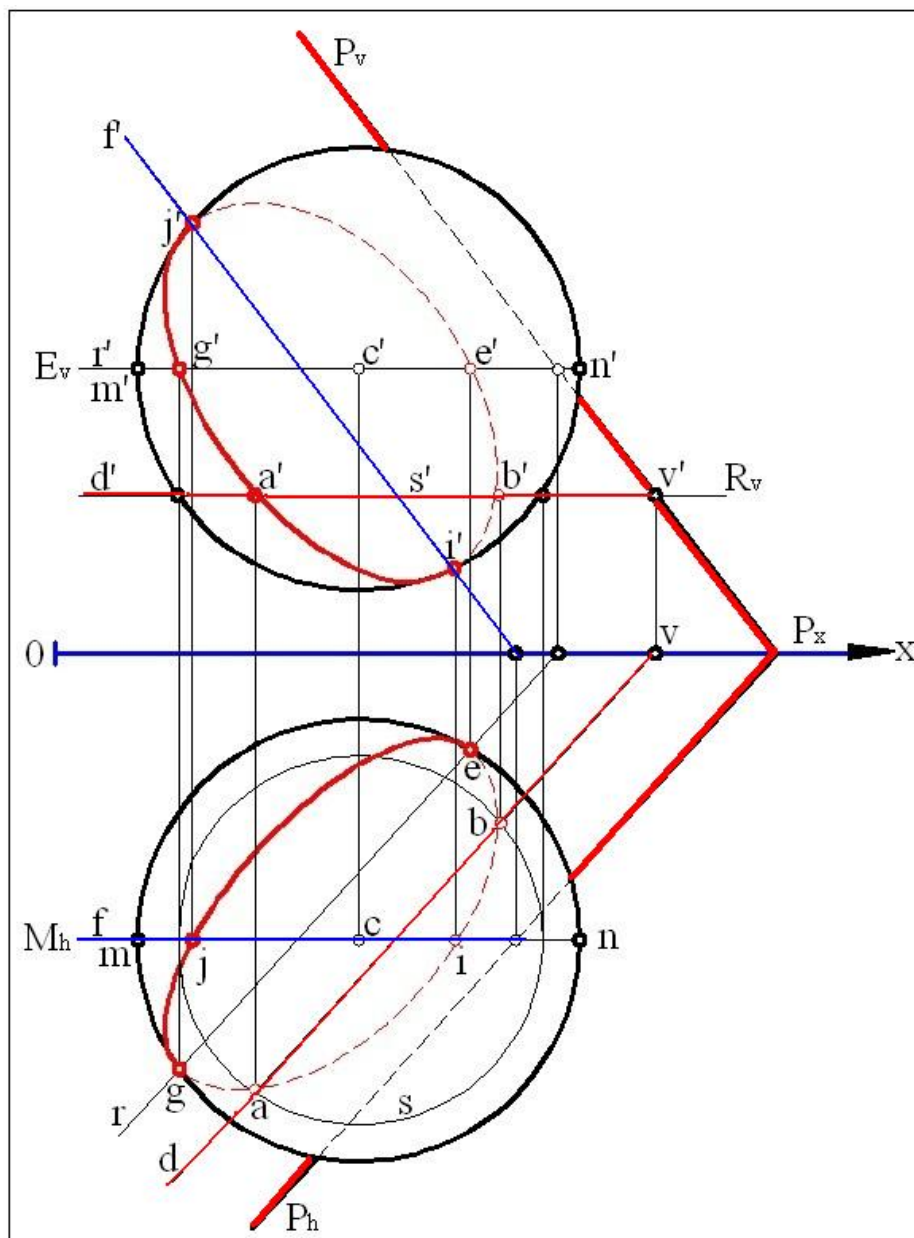


Fig.6.12.Sfera secționată cu un plan.

Este de observat că, dacă se utilizează ca plan de secțiune chiar planul ecuatorului  $Ev$ , se obțin punctele-proiecție orizontală  $e$  și  $g$  în care elipsa proiecție orizontală este tangentă interioară la cercul de contur aparent orizontal al sferei. În mod analog, planul meridianului principal  $Mh$  conduce la punctele-proiecție verticală  $j'$  și  $i'$  comune elipsei-proiecție verticală și cercului de contur aparent vertical al sferei. Punctele-proiecție  $g$  și  $e$ , respectiv  $j'$  și  $i'$  mai sunt utile la trasarea elipselor și pentru că separă zonele văzute de cele nevăzute ale acestora.

### 6.3.3. Secțiuni plane în conul de rotație

Secțiunile plane prin con dau naștere unei familii de curbe cunoscute sub numele de **conice**. Curba care se obține prin secțiune depinde de poziția planului secant față de generatoarele conului.

Astfel (figura 6.13), dacă planul secant **P** nu este paralel cu nici o generatoare a conului, el taie o singură pânză a acestuia după o **elipsă**, în cazul particular când planul (**Q**) este perpendicular pe axă, elipsa devine **un cerc**.

Dacă planul secant **R** este paralel cu o singură generatoare a conului, curba rezultată este o **parabolă**.

Dacă planul secant **T** este paralel cu două generatoare ale conului, el taie ambele pânze ale conului după o curbă cu două ramuri, **hiperbola**. În cazul particular când planul secant trece chiar prin axa conului, se obțin două drepte de secțiune (generatoare ale conului), adică o **hiperbolă degenerată**.

Cum se poate obține un cerc, o elipsă, o hiperbolă și o parabolă, secționând un con circular drept cu axa verticală, cu plane particulare în diverse poziții?

**a) Pentru a obține un cerc, conul circular drept cu vârful în  $s, s'$  se secționează cu un plan de nivel  $Q_v$  (figura 6.14).**

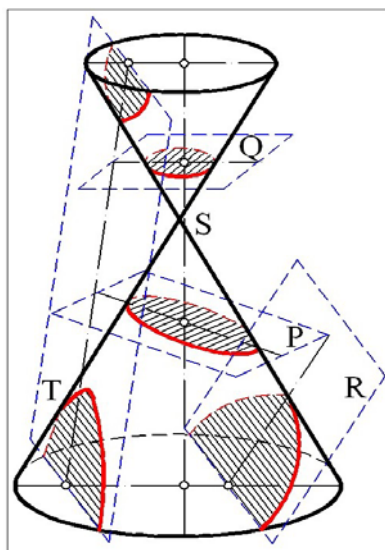


Fig.6.13. Conice.

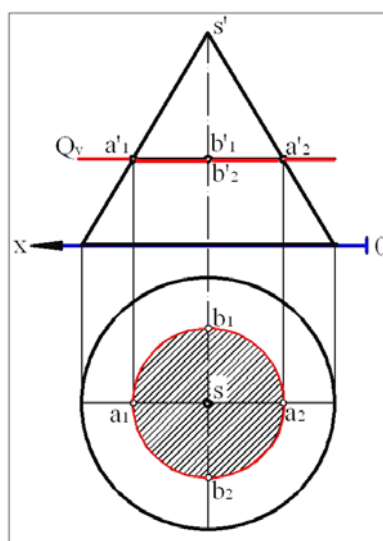


Fig.6.14. Secțiune tip cerc real.

Cercul de secțiune se proiectează în adevărată mărime pe planul **H**, deoarece este situat într-un plan paralel cu acesta, și după segmentul  $a_1'a_2'$  pe planul **V**. Acest segment reprezintă proiecția în adevărată mărime a diametrului frontal al cercului.

**b) Elipsa se obține secționând conul cu un plan de capăt  $Ph Pv$  (figura 6.15) care taie toate generatoarele suprafeței.**

Curba se proiectează pe planul **V** după segmentul  $a_1'a_2'$  și are drept axă mare segmentul de front ce se proiectează în adevărată mărime în  $a_1'a_2'$ . Axa mică este un segment de capăt ce se proiectează vertical în  $c'$  (mijlocul segmentului  $a_1'a_2'$ ), iar pe planul **H** în adevărată mărime după perpendiculara dusă la  $a_1a_2$  prin punctul **c**.

Pentru a găsi mărimea axei mici se duce prin  $c, c'$  un plan de nivel care va secționa conul după cercul  $e'f'$ ,  $ef$  în care axa mică a elipsei va fi coarda de capăt ce trece prin punctul  $c, c'$ . Rezultă că axa căutată se va proiecta orizontal în adevărată mărime, între punctele  $b_1$  și  $b_2$ , obținute la intersecția liniei de ordine corespunzătoare lui  $b_1'$  și  $b_2'$  cu cercul  $ef, e'f'$ .

Prin rabaterea planului secant  $Ph, Pv$  în jurul urmei  $Ph$  se poate obține pe planul  $H$ , în  $a_1b_1a_2b_2$  elipsa de secțiune în adevărată mărime.

c) Secționând conul cu un plan de capăt  $Th, Tv$  care taie ambele pânze ale suprafeței, se obține o hiperbolă cu una din ramuri între  $a_1'$  și  $e_1'$ , și cealaltă între  $a_2'$  și  $e_2'$  (figura 6.16) .

Cu ajutorul proiecțiilor verticale cunoscute și al liniilor de ordine respective, se obțin și proiecțiile orizontale corespunzătoare ale punctelor caracteristice ale curbei: în  $a_1$  și  $a_2$ , proiecțiile vârfurilor hiperbolei, și în  $e_1, f_1, e_2, f_2$ , urmele orizontale ale curbei. Orice puncte suplimentare necesare pentru trasarea curbei se pot obține cu ajutorul generatoarelor suprafeței.

Spre exemplu, proiecțiile  $m, m'$  ale unui punct curent de hiperbolă rezultă la intersecția generatoarei  $sj_2, s'j_2'$  cu planul secant  $Th, Tv$ .

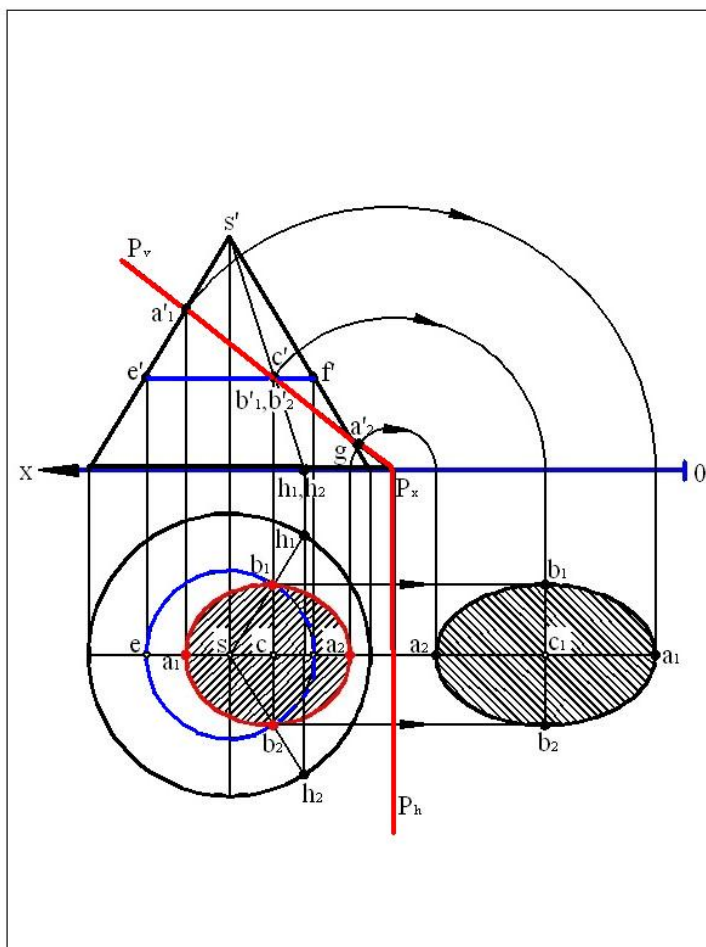


Fig.6.15. Secțiune tip elipsă.

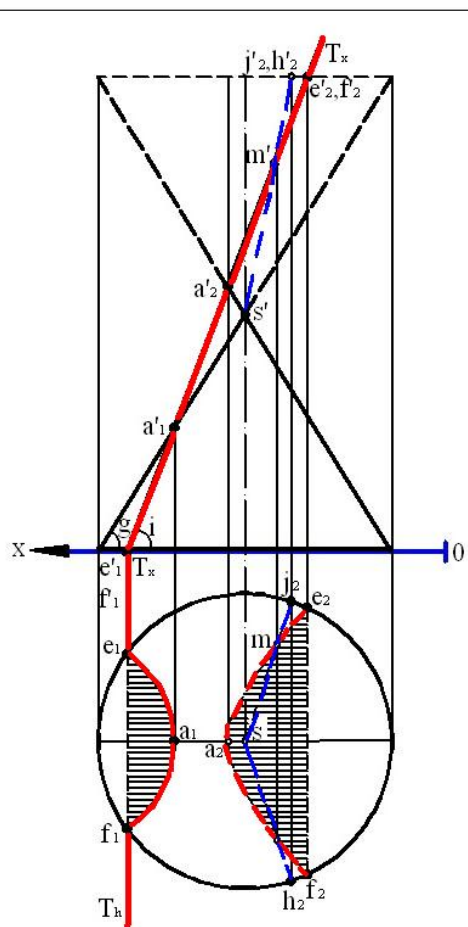


Fig.6.16. Secțiune tip hiperbolă.

d) Parabola se obține secționând un con având vârful în  $s, s'$  (figura 6.17) cu un plan de capăt  $Rh, Rv$  paralel cu una din generatoarele frontale ale suprafeței.

Curba se proiectează vertical pe urma  $Rv$ , din  $a'$  până în  $e'$ , în proiecția orizontală, punctele  $e$  și  $f$ , situate la intersecția urmei  $Rh$  cu cercul director, dau chiar urmele parabolei pe planul  $H$ . Vârful parabolei este în  $a, a'$ . Ducând o generatoare oarecare  $sh, s'h'$  a suprafeței se poate obține un punct curent  $m, m'$  de pe parabolă.

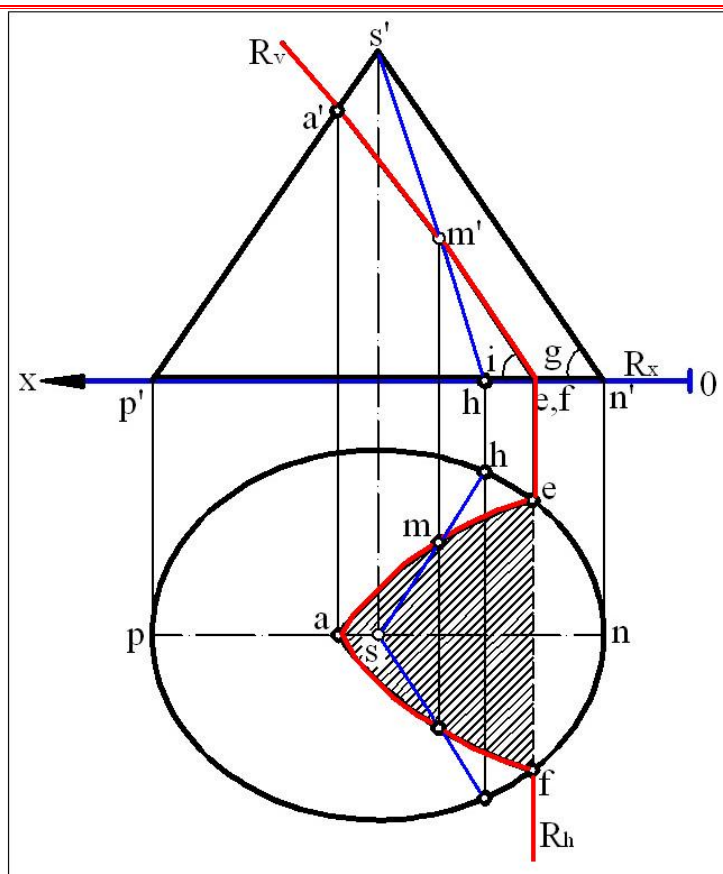


Fig.6.17. Secțiune tip parabolă.

Deoarece atât unghiul  $g$  al generatoarelor conului cu planul  $H$ , cât și unghiul  $i$  al planului secant cu planul  $H$ , apar proiectate în adevărată mărime pe planul  $V$ , se pot trage următoarele **concluzii**:

- dacă  $g$  este mai mare decât  $i$ , secțiunea rezultată este o elipsă;
- dacă  $g$  este egal cu  $i$ , se obține o parabolă, iar
- dacă  $g$  este mai mic decât  $i$ , rezultă o hiperbolă.

#### 6.4. Intersecții de drepte cu suprafețe curbe

Pentru determinarea punctelor în care o dreaptă oarecare intersectează o suprafață curbă se pot utiliza metodele indicate la capitolul „Intersecții de drepte cu poliedre”.

Se duce prin dreaptă un plan care va intersecta suprafața după o curbă; punctele căutate se găsesc la intersecția dreptei cu curba aflată. Pentru trasarea curbelor oarecare este necesară determinarea unui număr mare de puncte ale acestora, se caută ca planul ce se duce prin dreaptă să fie astfel ales, încât secțiunea care rezultă în suprafață să fie cât mai ușor de construit. În cazul suprafețelor cilindro-conice este avantajos, din acest punct de vedere, să se utilizeze secțiunile longitudinale, adică să se ducă prin dreapta dată, plane care să taie suprafața în lungul a două generatoare.

##### 6.4.1. Con oblic intersectat de o dreaptă oarecare (figura 6.18).

Printr-un punct oarecare  $a, a'$  de pe dreapta de intersecție  $d, d'$  și vârful  $s, s'$  al conului se duce o dreaptă  $t, t'$ . Cele două drepte concurente  $d, d'$  și  $t, t'$ , determină planul care trece prin  $d, d'$  și intersectează conul după două generatoare. Urma orizontală  $Ph$  a planului secant (obținută unind pe  $h$  cu  $h_1$ ) intersectează urma conului pe planul  $H$ , în două puncte  $m_o$  și  $n_o$  prin care se duc proiecțiile orizontale  $m_o s$  și  $n_o s$  ale celor două generatoare de secțiune longitudinală căutate.

Punctele în care dreapta dată intersectează conul se obțin în proiecție orizontală în  $m$  și  $n$ , la intersecția lui  $d$  cu  $m_0s$  respectiv  $n_0s$ . Proiecțiile verticale  $m'$  și  $n'$  se găsesc pe  $d'$  cu ajutorul liniilor de ordine corespunzătoare.

Partea nevăzută a dreptei se limitează la segmentul  $mn$ ,  $m'n'$ , întrucât ambele generatoare de secțiune sunt văzute atât în proiecția orizontală cât și în cea verticală.

#### 6.4.2. Intersecția unei drepte cu un cilindru oblic (figura 6.19).

Se aplică aceeași metodă, diferența constă în aceea că dreapta auxiliară  $t, t'$  care determină împreună cu dreapta dată  $d, d'$  planul de secțiune longitudinală, se duce paralelă cu generatoarele cilindrului.

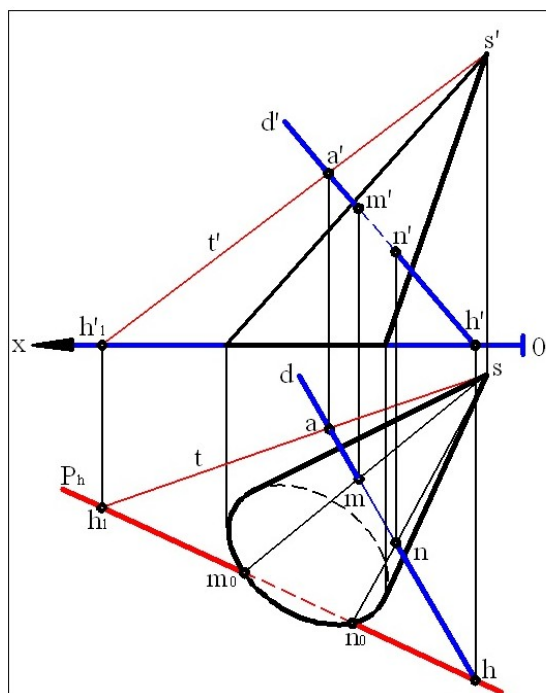


Fig.6.18 Conul stăpuns de dreapta D.

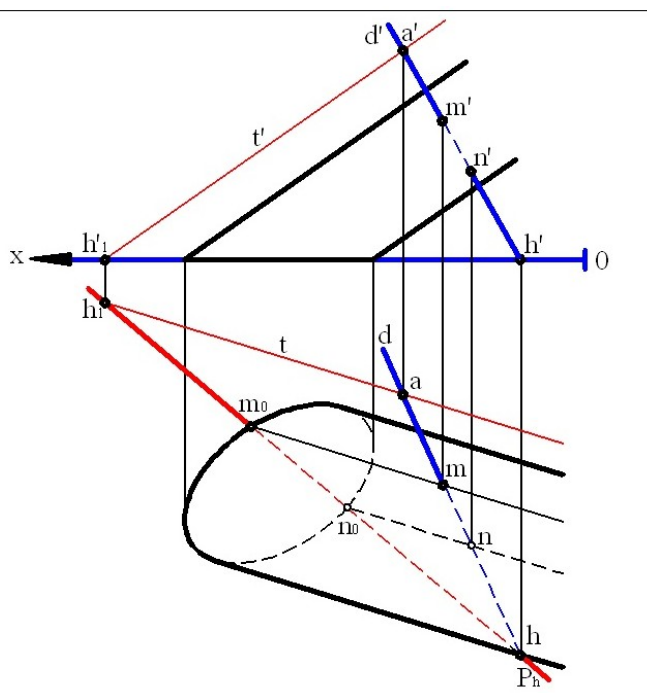


Fig. 6.19. Cilindrul străpuns de dreapta D.

#### 6.4.3. O dreaptă oarecare intersectează o sferă (figura 6.20).

Se poate utiliza ca plan auxiliar, un plan proiectant dus prin dreapta  $d, d'$  dată. Problema se reduce deci la aceea cunoscută a determinării proiecțiilor curbei de secțiune. Pentru a evita trasarea elipsei-proiecție se poate recurge la rabaterea planului de secțiune pe unul din planele de proiecție. Calea de urmat în acest caz, în epură este următoarea:

Fie  $P$  un plan vertical ce se duce prin dreapta dată  $d, d'$ . Acest plan secționează sfera după un cerc mic proiectat pe planul  $H$  după segmentul  $a_1a_2$  de pe urma  $Ph$ . Rabatând planul  $P$  în jurul urmei  $Ph$ , se obține pe planul  $H$  cercul de secțiune în adevărată mărime. Dreapta  $d, d'$  aparținând și ea planului  $P$ , se rabate o dată cu acesta în  $d$ , cu ajutorul a două puncte de pe ea ( $h, h'$  și  $r, r'$ ). Cercul și dreapta rabătute se intersectează în punctele căutate  $m$  și  $n$ . Ridicând planul în poziția inițială, se obțin, pornind de la  $m$  și  $n$ , cele două proiecții  $m, m'$  și  $n, n'$  ale punctelor căutate.

Pentru stabilirea porțiunilor văzute și nevăzute din dreaptă se studiază poziția pe sferă a punctelor  $m, m'$  și  $n, n'$  în cele două proiecții. Astfel, deoarece  $m, m'$  este pe emisfera superioară și  $n, n'$  pe cea inferioară,  $m a_1$  va apărea văzută, iar  $n a_2$  nevăzută. De asemenea, deoarece atât  $m, m'$  cât și  $n, n'$  sunt pe emisfera anterioară, numai porțiunea  $m'n'$  va apărea nevăzută în proiecția verticală.



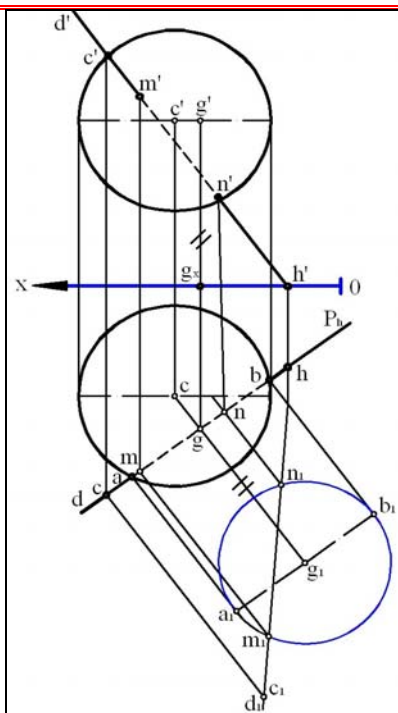


Fig.6.20. Sfera intersectată de dreapta  $dd'$ .

## 6.5. Desfășurarea suprafețelor curbe

Socotind suprafețele cilindrice și conice ca provenind din poliedre prismatice, respectiv piramidale, la care s-au înmulțit la infinit laturile poligoanelor directe, toate metodele utilizate pentru desfășurarea poliedrelor pot fi aplicate prin analogie și la desfășurarea suprafețelor cilindro-conice.

### 6.5.1. Desfășurata suprafeței laterale a unui con circular drept (figura 6.21, a).

Se împarte cercul director al acestuia într-un număr cât mai mare de arce egale, considerând că fiecare arc, cu generatoarele care pornesc din extremitățile lui, formează una din fețele laterale ale piramidei asimilate cu conul dat. Având în vedere că toate fețele laterale astfel construite sunt egale între ele, desfășurarea se face practic astfel:

Se construiește întâi (figura 6.21, b) un arc de cerc cu centrul într-un punct oarecare  $S$  și rază egală cu adevărata mărime a generatoarelor conului. Pe acest cerc se poartă apoi succesiv cele 12 lungimi ale arcelor măsurate pe cercul director al conului. Presupunând conul tăiat pentru desfășurare după generatoarea  $s$  7,  $s'$  7', notarea arcelor desfășurate se va face în ordinea 7,6,...,2,1,2,...,6,7. Sectorul de cerc  $S$  7 6...6 7  $S$  astfel obținut constituie desfășurata suprafeței laterale a conului.

### 6.5.2. Desfășurata trunchiului de con, se obține în mod analog cu ajutorul desfășuratei conului din care a fost tăiat trunchiul.

Fie un con circular drept (fig. 6.21, a) și  $Ph$ ,  $Pv$  planul de capăt secant care limitează împreună cu planul  $H$  trunchiul de con care trebuie desfășurat.

Se construiește întâi (figura 6.21, b) desfășurata conului așa cum s-a arătat mai sus. Se caută apoi adevărata mărime a porțiunilor din generatoarele conului aflate sub planul secant  $Ph$ ,  $Pv$ . Pentru aceasta, se rotește fiecare generatoare în parte în jurul axei conului până când ajunge paralelă cu planul  $V$ , adică se suprapune peste  $s$  7,  $s'$  7'. În această poziție generatoarele tăiate apar în adevărată mărime în proiecția verticală, în 7'VII', 7'VI', 7'V' etc. Segmentele astfel obținute se raportează apoi pe generatoarele respective de pe desfășurată.

Curba **VII-VI-V-...- I -...-V-VI-VII** ce se obține unind punctele aflate limitează desfășurata trunchiului de con la partea superioară, constituind de fapt desfășurata curbei de secțiune a conului cu planul **Ph**, **Pv**.

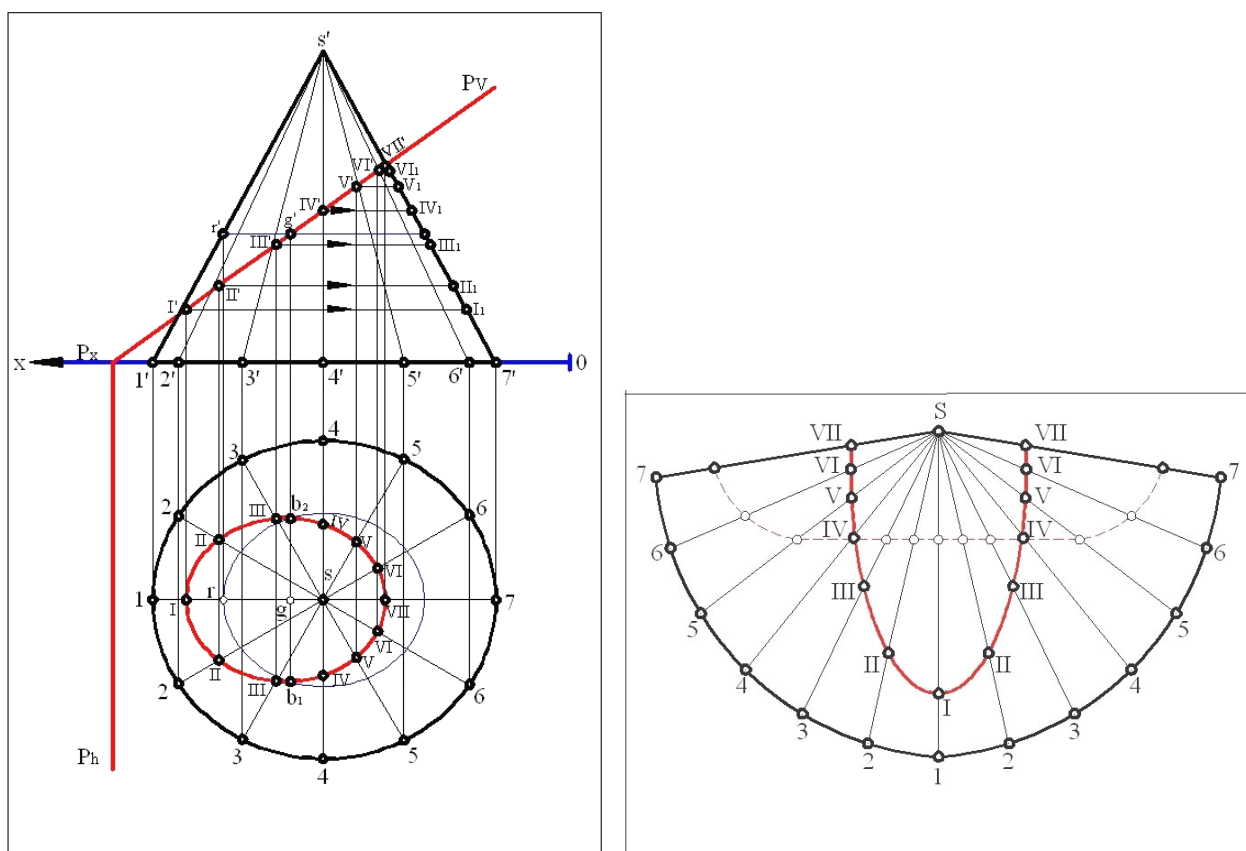


Fig.6.21. Conul și trunchiul lui desfășurat.

Trebuie remarcat că nu este indiferent pe unde se taie trunchiul de con pentru a fi desfășurat. Astfel, dacă se tăia conul, nu după generatoarea **s7**, **s' 7'**, așa cum s-a făcut pentru a obține desfășurata din figura 6.21,b, ci după **s1**, **s'1'**, curba de secțiune ar fi luat un alt aspect în desfășurare (în epură cu linii întrerupte).

Acest lucru prezintă importanță în practică întrucât dacă se pune, spre exemplu, problema construirii suprafeței dintr-o foaie de tablă, s-ar fi ales desfășurarea după generatoarea **s1**, **s'1'** (cu linii întrerupte în epură), deoarece permite tăierea desfășuratei dintr-o foaie dreptunghiulară de înălțime mai mică decât prima și deci realizarea unei economii de tablă.

### 6.5.3. Desfășurata suprafeței laterale a unui cilindru circular drept, (fig. 6.22, a, b)

Se împarte cercul director al suprafeței în arce egale (în număr de 8 în epură) și se raportează aceste lungimi pe o dreaptă oarecare **AA**. În punctele **A**, **B**, . . . astfel obținute se ridică apoi, perpendicular pe **AA**, generatoarele care apar proiectate în adevărată mărime pe planul **V**. Din construcția făcută rezultă că desfășurata suprafeței laterale a unui cilindru circular drept de rază **r** și înălțime **l** este un dreptunghi de bază **2π r** și înălțime **l**.

Dacă pe desfășurata astfel construită se duce diagonală **I-IX** a dreptunghiului, care face același unghi **i** cu toate generatoarele cilindrului, și se reconstituie apoi cilindrul cu ajutorul desfășuratei, dreapta **I-IX** apare pe suprafața laterală a cilindrului ca o curbă de forma **1,1'- 2,2'- ...- 9,9'**, care se numește **elice cilindrică**.



În epură, pentru a construi proiecția verticală a elicei (cea orizontală este chiar pe conturul cercului director), este suficient să se raporteze lungimile **B II, C III,...,H VIII** de pe desfășurată, pe proiecțiile verticale ale generatoarelor respective în **b'2', c'3',..., h'8'** și să se unească punctele obținute între ele, în ordinea numerică, printr-o curbă continuă.

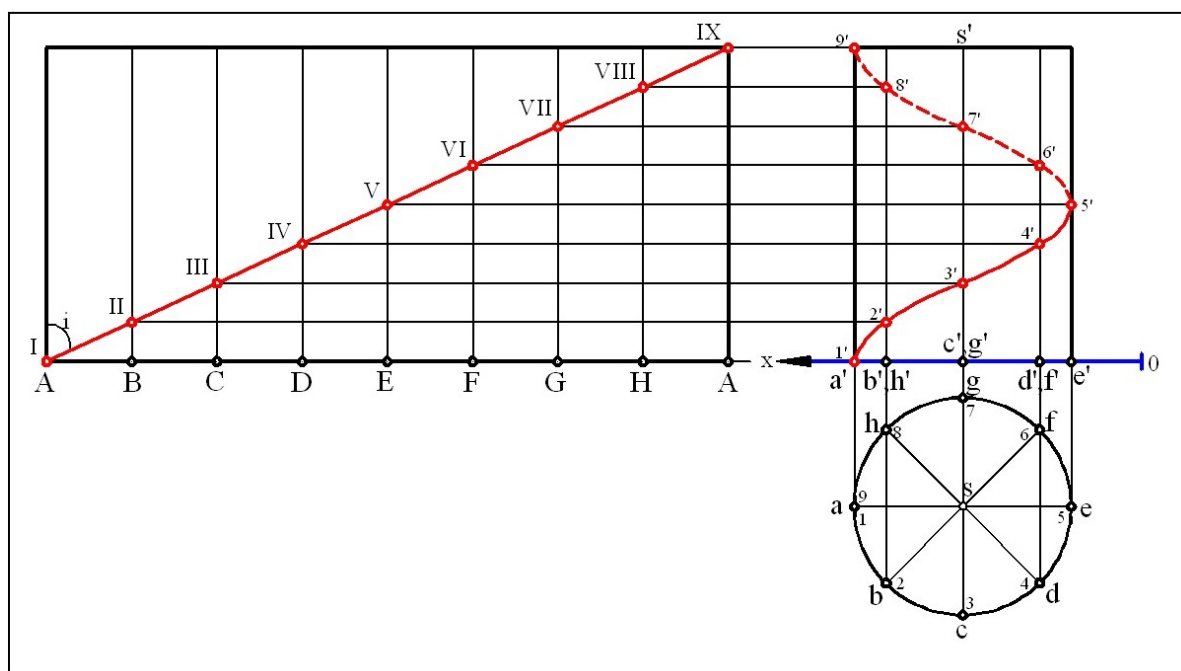


Fig.6.22.Desfășurata cilindrului.

## 6.6. Aplicații

**1) Să se reprezinte în epură un con circular drept cu baza așezată într-un plan paralel cu linia pământului.**

**Rezolvare:**

Fie **Ph, Pv, Pl** (figura 6.23) planul paralel cu **Ox** în care se găsește cercul director al conului și **c,c',c''** centrul acestui cerc. Întrucât înălțimea conului este perpendiculară pe planul **Ph,Pv**, implicit și proiecția ei laterală **s''c''** va fi perpendiculară pe urma **Pl** a planului bazei. Cercul director al conului se va proiecta pe planul **L** în **b<sub>1</sub>''b<sub>2</sub>''** pe urma **Pl** (**b<sub>1</sub>''b<sub>2</sub>''** reprezintă adevărata mărime a diametrului cercului). Unind pe **s''** cu **b<sub>1</sub>''** și **b<sub>2</sub>''**, se obțin cele două generatoare de contur aparent lateral ale conului.

Cu ajutorul proiecției conului pe planul **L**, se construiesc acum și proiecțiile pe planele **H** și **V**: se găsesc în **s** și **s'** proiecțiile vârfului conului, iar în **b<sub>1</sub>b<sub>2</sub>**, **b<sub>1</sub>'b<sub>2</sub>'** axele mici ale celor două elipse după care se proiectează pe planele **H** și **V** cercul director al conului. Axele mari ale elipselor, **a<sub>1</sub>a<sub>2</sub>** și **a<sub>1</sub>'a<sub>2</sub>'**, se duc prin **c** respectiv **c'**, perpendiculare pe axele mici și de lungimi egale cu diametrul cercului director. După ce s-au trasat cele două elipse-proiecție cu ajutorul axelor, se duc tangentele corespunzătoare din **s** respectiv **s'** și se obțin astfel proiecțiile cerute ale suprafeței.

**2) Să se determine punctele în care o dreaptă de nivel intersectează un cilindru circular oblic.**

**Rezolvare:**

Fie  $d, d'$  (figura 6.24) dreapta de nivel dată și cilindrul circular oblic de axă  $cc_1, c'c'_1$  cu cercul de bază de centru  $c, c'$  în planul  $H$ . Pentru a obține punctele în care dreapta  $d, d'$  intersectează cilindrul este avantajos să se utilizeze drept plan auxiliar, un plan de nivel  $P_v$  care trece prin dreaptă. Planul  $P_v$  va intersecta cilindrul după un cerc cu centrul în  $g-g'$  și de rază egală cu raza cercului director al cilindrului. Proiecțiile orizontale  $m$  și  $n$  ale punctelor de intersecție căutate se găsesc la intersecția lui  $d$  cu cercul de centru  $g$ . Cu ajutorul liniilor de ordine corespunzătoare se obțin apoi pe  $d'$ , proiecțiile verticale  $m'$  și  $n'$  ale celor două puncte.

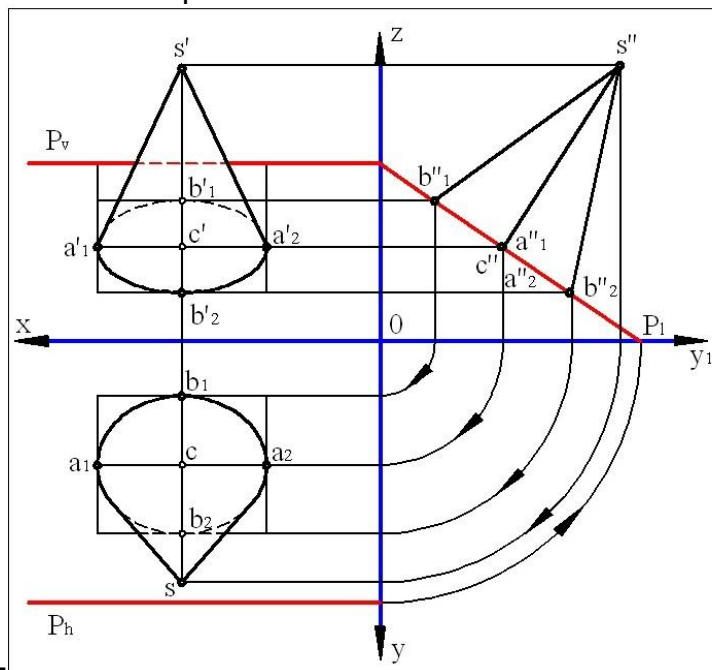


Fig.6.23. Aplicația 1.

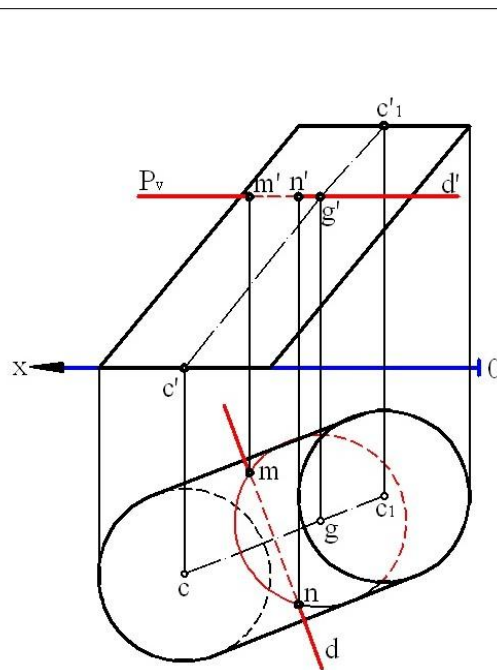


Fig.6.24. Aplicația 2.

3) Să se ducă un plan tangent la un con circular oblic, printr-un punct exterior suprafeței.

Rezolvare:

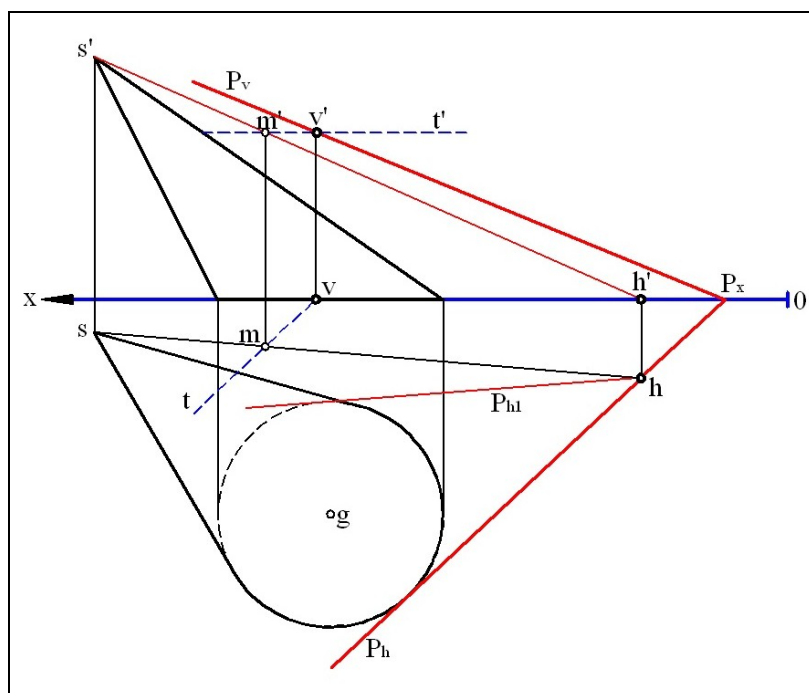


Fig.6.25. Aplicația 3.

Fie  $m, m'$  (figura 6.25) punctul dat și  $s, s'$  vârful conului circular oblic având cercul director cu centrul în  $g$ , situat în planul  $H$ . Planul tangent la con fiind tangent la suprafață în lungul unei generatoare, va conține dreapta  $sm, s'm'$  care unește cele două puncte. Urma orizontală  $Ph$  a planului va trebui să treacă atunci prin urma  $h, h'$  a dreptei  $sm, s'm'$  și să fie tangentă la cercul director al conului.

Pentru determinarea urmei  $Pv$  este necesar un singur punct, întrucât  $Px$  se găsește la intersecția lui  $Ph$  cu  $Ox$ . Acest punct se obține ducând, prin punctul  $m, m'$ , o orizontală  $t, t'$  a planului tangent și căutând urma verticală  $v, v'$  a acesteia. Unind pe  $v'$  cu  $Px$ , se obține urma căutată  $Pv$ .

Problema are două soluții, întrucât dintr-un punct exterior se pot duce două plane tangente la un con. În epură, din punctul  $h$  se poate duce, pe lângă tangenta  $Ph$ , o a doua tangentă  $Ph_1$  la cercul director, urma orizontală a celui de-al doilea plan tangent la con.

**4) Să se desfășoare suprafața laterală a unui cot cilindric format din două burlane perpendiculare, racordate între ele cu un al treilea, așezat la  $45^\circ$  față de primele două. Cele trei burlane sunt de același diametru și au axele coplanare.**

**Rezolvare:**

Așezând cotul cu generatoarele paralele cu planul  $V$ , ansamblul se va proiecta ca în figura 6.26, a. Curbele de intersecție ale celor trei cilindri sunt două elipse egale, care se proiectează vertical după segmentele  $a'g'$  și  $a_1'g_1'$ .

Pentru a putea construi desfășuratele s-au dus întâi pe cei trei cilindri generatoarele prin punctele care împart cercul director al suprafețelor în 12 arce egale (în epură diviziunea s-a făcut pe cercul de urmă orizontală a cilindrului 1).

Pentru a desfășura trunchiul de cilindru (1), pe o dreapta oarecare  $I-I$  (figura 6.26, b) s-au raportat lungimile arcelor egale între ele: 1-2, 2-3, 3-4, etc. Din punctele  $I, II, III$  etc., astfel obținute, s-au purtat pe perpendicularele duse la dreapta  $I-I$ , lungimile generatoarelor suprafeței, măsurate pe proiecțiile verticale respective, unde apar în adevărată mărime în  $1'a' = IA, 2'b' = IIB$ , etc. Unind extremitățile  $A, B, C$ , etc, cu o linie continuă, s-a obținut curba care limitează desfășurata la partea inferioară.

Pentru a putea desfășura trunchiul de cilindru (2) se duce întâi un plan de capăt  $Ph, Pv$  perpendicular pe generatoarele cilindrului ( $Pv$  perpendicular pe  $j'k'$ ). Cercul obținut prin secționarea cu  $Ph, Pv$  se desfășoară apoi pe dreapta  $G_0G_0$  împreună cu arcele în care a fost împărțit (este același cu cercul director al cilindrului 1). Pe perpendicularele duse prin  $G_0, F_0, E_0$  etc, se raportează, deasupra și dedesubtul lui  $G_0G_0$ , lungimile generatoarelor suprafeței care apar în adevărată mărime pe planul  $V$ :  $G_0G = g_0'g', F_0F = f_0'f'$  etc. Unind punctele  $G, F, E, ..., E, F, G$  astfel aflate, se obțin cele două curbe care mărginesc desfășurata.

Desfășurata trunchiului de cilindru (3) este identică cu aceea construită pentru (1).

Se atrage atenția asupra faptului că cilindrul (1) a fost desfășurat presupunând că este tăiat după generatoarea  $1A$ , în timp ce pentru cilindrul (2) tăietura s-a făcut după generatoarea opusă  $GG$ . S-a procedat astfel intenționat, pentru ca să rezulte pe desfășurate că cele două curbe de intersecție desfășurate ( $ABC... CBA$  și  $GFE... EFG$ ) sunt paralele între ele. Acest lucru este important în practică, întrucât se vede că cele trei burlane pot fi tăiate dintr-o singură bucată de tablă dreptunghiulară, având lungimea  $2\pi r$  și înălțimea  $(t+s+t)$ , deci se poate realiza astfel și în acest caz o economie de material.

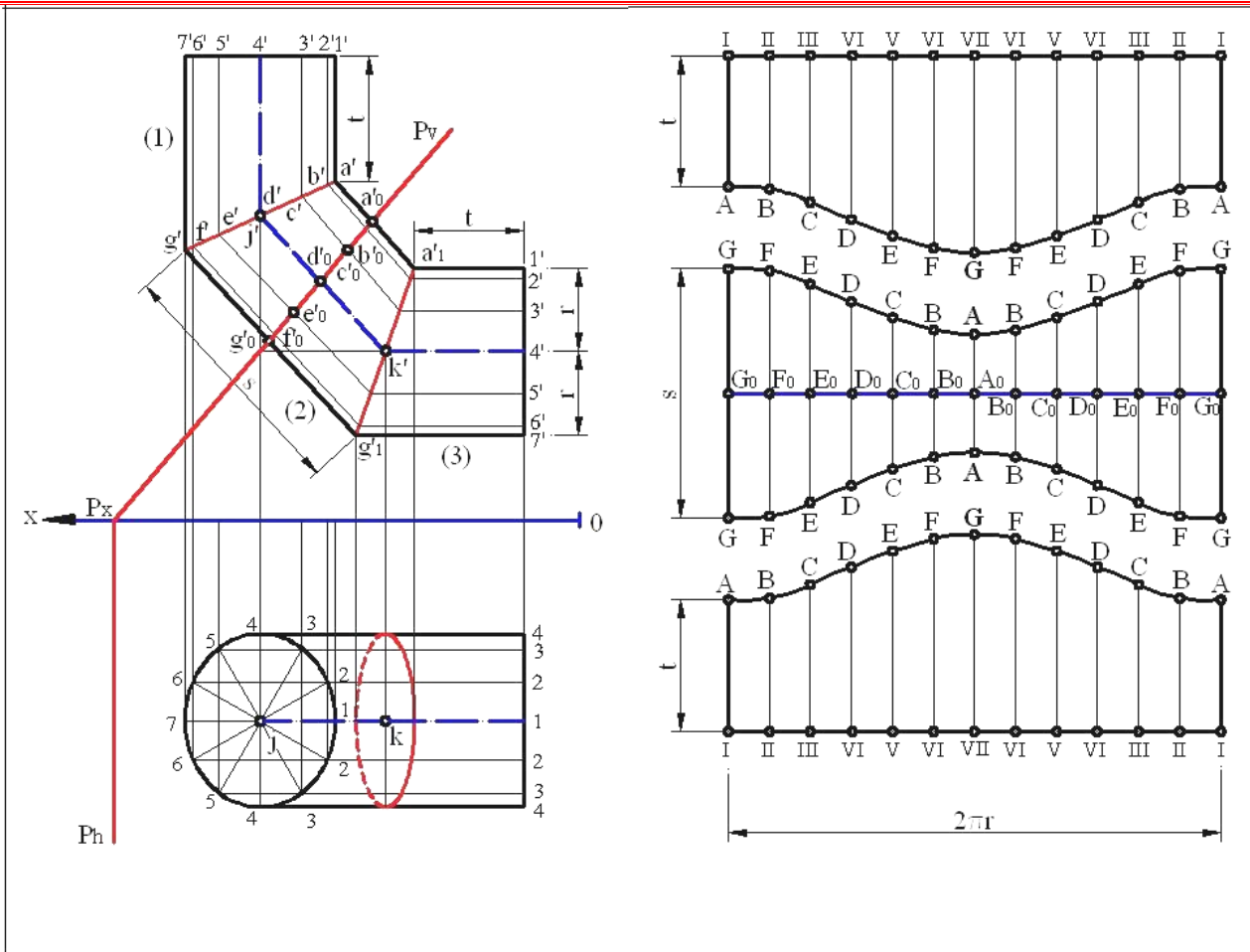


Fig. 6.26.a.b. Aplicația 4.

## 7. INTERSECȚII DE CORPURI

### 7.1. Clasificări. Metoda planelor auxiliare.

Intersecțiile de corpuri se pot clasifica în două categorii: pătrunderi și smulgeri.

Când unul din corpuri (figura 7.1) pătrunde complet în celălalt (conul pătrunde în cilindru), toate generatoarele primei suprafețe intersectează pe cea de-a doua: intersecția astfel obținută se numește **pătrundere** și este caracterizată printr-o curbă cu două ramuri, una de intrare și cealaltă de ieșire.

Dacă oricare dintre corpuri pătrunde parțial în celălalt (figura 7.2), fiecare suprafață va rămâne cu un număr oarecare de generatoare care nu intersectează cealaltă suprafață: intersecția astfel obținută se numește **smulgere** sau **rupere** și are specific o curbă cu o singură ramură.

Când curba de intrare (figura 7.3) și cea de ieșire au un punct comun, prin care se poate duce un plan tangent în același timp la ambele corpuri, se obține un caz intermediar de intersecție, între pătrundere și smulgere.

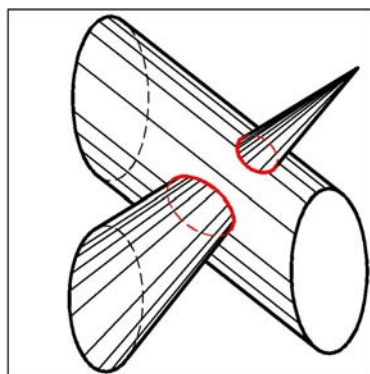


Fig. 7.1. Pătrundere

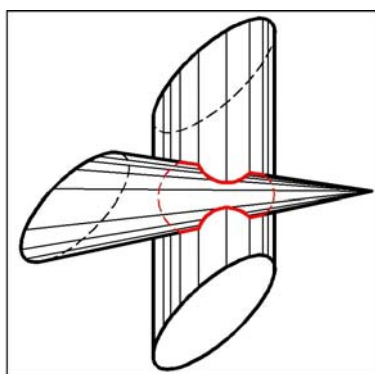


Fig. 7.2. Smulgere

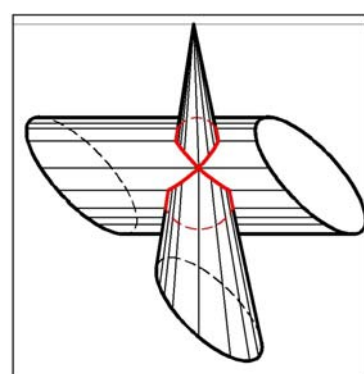


Fig. 7.3. Cu plan tangent.

Pentru determinarea liniei după care se intersectează cele două suprafețe se recurge la niște suprafețe auxiliare, cu care se intersectează corpurile date.

Fie  $C_1$  și  $C_2$  (figura 7.4) curbele după care o suprafață auxiliară oarecare  $P$  secționează cele două suprafețe care se intersectează. Punctele  $M$  și  $N$  comune celor două curbe  $C_1$  și  $C_2$ , vor fi puncte de pe curba de intersecție căutată, pentru că se găsesc pe cele două suprafețe care se intersectează. Repetând operația și cu alte plane auxiliare, se obține un număr suficient de puncte pentru a putea trasa curba de intersecție căutată.

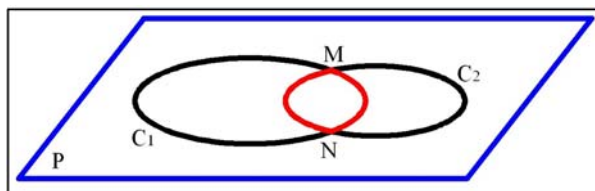


Fig. 7.4. Curba de intersecție MN.

Pentru simplificarea construcțiilor grafice în epură, suprafețele auxiliare trebuie astfel alese, încât liniile de intersecție care rezultă să fie cât mai simplu de trasat, dacă se poate, drepte sau cercuri paralele cu unul din planele de proiecție. În general, se utilizează planul ca suprafață auxiliară.

Pentru intersecțiile de suprafețe riglate, planele auxiliare se pot lua astfel, încât să taie ambele suprafețe după generatoare; se evită deci complet trasările de curbe care conduc de cele mai multe ori la construcții grafice laborioase.

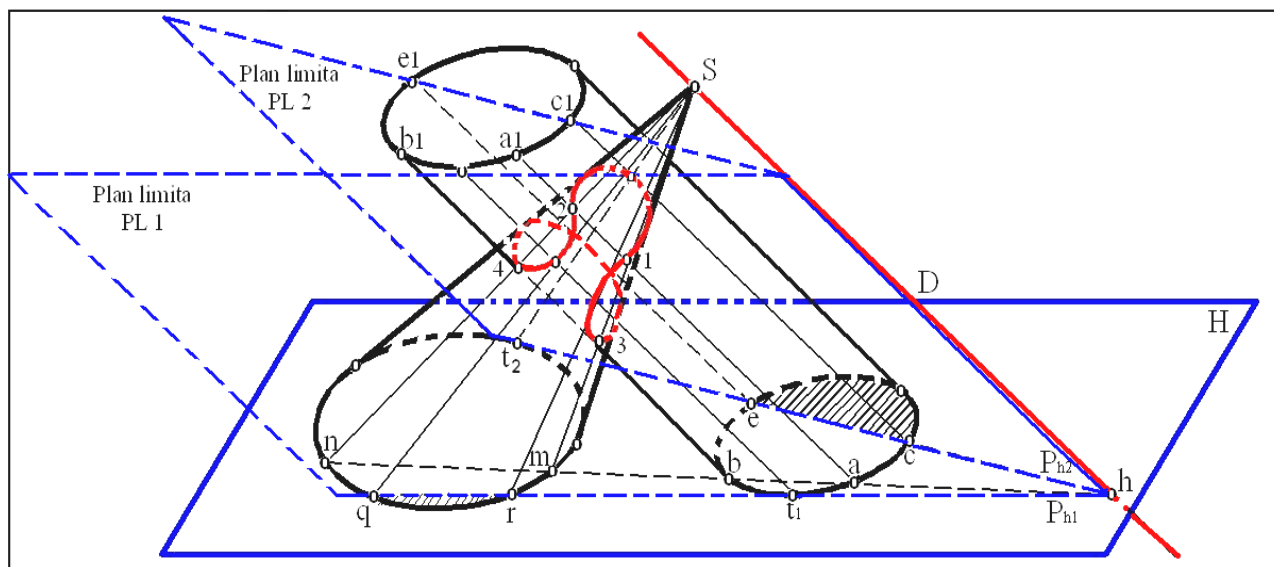


Fig. 7.5. Plane limită la con și cilindru.

Astfel, pentru a determina curba după care se intersectează un con oblic cu un cilindru oblic oarecare (figura 7.5), planele auxiliare se vor duce astfel, încât să secționeze ambele suprafețe în lungul lor, deci să le intersecteze după câte două generatoare. Pentru aceasta, fiecare plan auxiliar va trebui să treacă prin vârful conului și să fie paralel cu generatoarele cilindrului, deci să treacă printr-o dreaptă  $D$  dusă prin vârful conului paralel cu generatoarele cilindrului. Rezultă că, în epură, urmele orizontale ale planelor auxiliare vor trebui să treacă prin urma orizontală  $h$  a dreptei  $D$ .

Fie  $P$  un asemenea plan auxiliar; urma  $Ph$  dusă prin  $h$  intersectează cercurile directoare ale celor două suprafețe în punctele  $a$  și  $b$ , respectiv  $m$  și  $n$ . Generatoarele corespunzătoare,  $aa_1$  și  $bb_1$  respectiv  $ms$  și  $ns$ , reprezintă liniile după care planul auxiliar  $P$  intersectează cele două suprafețe. Ele se intersectează două câte două în punctele  $1$ ,  $2$ ,  $3$  și  $4$  care se găsesc pe curba de intersecție căutată. Cu ajutorul unui al doilea plan auxiliar trecând tot prin  $D$  se vor obține în mod analog, alte patru puncte ale curbei și așa mai departe, până când se găsesc suficiente puncte pentru a putea trasa curba.

Este evident că nu orice plan  $P$  care trece prin dreapta  $D$  secționează conul și cilindrul, deci nu orice plan este util pentru determinarea intersecției. Astfel, urmărind figura 7.5, se constată că planele utile pentru intersecție trebuie luate între planul de urmă  $Ph_1$  și cel de urmă  $Ph_2$ , primul tangent după generatoarea  $t_1$  la cilindru, cel de-al doilea tangent după generatoarea  $t_2$  la con. Într-adevăr, orice plan a cărui urmă orizontală este în afara lui  $Ph_1$  - în zona hașurată a bazei conului - va tăia numai conul, după cum orice plan cu urma orizontală în afara lui  $Ph_2$  - în zona hașurată a bazei cilindrului - va tăia numai cilindrul. Planele ale căror urme orizontale nu taie nici urma orizontală a conului, nici a cilindrului, nu intersectează nici una din suprafețe.

### Cele două plane în poziții extreme $PL1$ și $PL2$ se numesc plane limită.

Din studierea urmelor suprafețelor și a planelor limită se mai pot trage concluzii și în privința stabilirii naturii intersecției. Astfel, în exemplul din figura 7.5 se vede că atât conul cât și cilindrul au generatoare care pornesc din zonele hașurate care nu intersectează cealaltă suprafață, proprietate care caracterizează **smulgerea**. Pentru a fi în prezența unei **pătrunderi**, urmele suprafețelor trebuie să fie față de cele ale planelor limită, fie în poziția din figura 7.6.a, când conul pătrunde în cilindru, fie în aceea din figura 7.6.b, când cilindrul pătrunde în con. Caracteristica pătrunderii apare în ambele cazuri: una din suprafețe (cea fără zone hașurate) are toate generatoarele intersectate de cealaltă.



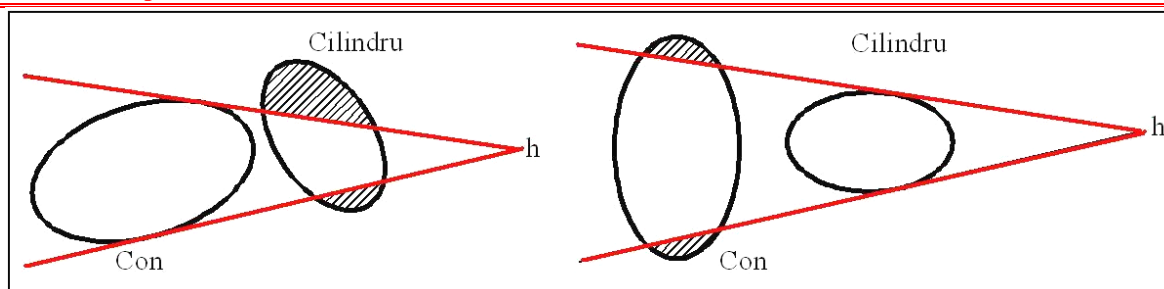


Fig. 7.6.a.b. Pătrunderi în cilindru respectiv în con.

**Concluzie:** dacă fiecare plan limită secționează câte una din suprafețe, este vorba de o smulgere; dacă ambele plane limită secționează aceeași suprafață, este vorba de o pătrundere.

## 7.2. Intersecții de poliedre

Două poliedre se intersectează după unul sau două poligoane (smulgere respectiv pătrundere) ale căror vârfuri rezultă la intersecția muchiilor unuia din poliedre cu fețele celuilalt și invers, și ale căror laturi sunt segmentele de dreaptă după care se intersectează fețele celor două corpuri.

Deoarece pentru determinarea poligonului de intersecție este suficient să se cunoască vârfurile lui, metoda planelor auxiliare arătată mai sus se va aplica și la intersecția poliedrelor. În acest caz este suficient să se ducă planele de secțiune longitudinală doar prin muchiile celor două poliedre.

În cele ce urmează se va arăta, pe un exemplu concret, ordinea operațiilor grafice în epură.

Fie prisma  $abc\ a_1b_1c_1$ ,  $a'b'c'\ a_1'b_1'c_1'$  (figura 7.7) care se intersectează cu piramida  $mnr$ ,  $m'n'r's'$ , ambele cu baze triunghiuri așezate în planul  $H$ .

Prin vârful  $s, s'$  al piramidei se duce dreapta  $sh, s'h'$  paralelă cu muchiile prisme. Toate planele auxiliare care trec prin  $sh, s'h'$  vor tăia cele două suprafețe după generatoare. Determinarea vârfurilor poligonului de intersecție se face întâi în proiecția orizontală.

Se duc prin  $h$  urmele celor două plane limită,  $hn$  respectiv  $ha$ ; rezultă zona inutilă (hașurată în epură)  $dbe$  în prismă și  $urv$  în piramidă; suntem deci în prezența unei smulgeri; muchia  $BB_1$  a prisme nu întâlnește piramida, iar muchia  $RS$  a piramidei nu întâlnește prisma.

Pentru a avea duse plane auxiliare prin toate muchiile aflate în zona utilă, se mai duc înafara celor două plane limită, planul de urmă  $hm$  prin muchia  $sm, s'm'$  și planul de urmă  $hc$  prin muchia  $cc_1, c'c_1'$ .

Cele patru plane auxiliare determină cele opt vârfuri ale poligonului de intersecție. Într-adevăr, în proiecția orizontală, planul  $hn$  intersectează prisma după generatoarele din  $d$  și  $e$  (paralele cu muchiile prisme) și piramida după muchia  $sn$ .

La intersecția lor se obțin punctele 3 respectiv 6 în care muchia  $sn$  a piramidei intersectează prisma. În mod analog, cu ajutorul planului  $hm$  se obțin generatoarele din  $f$  și  $g$  care se intersectează cu muchia  $ms$  în punctele 2 respectiv 7. Însfârșit, cu  $hc$  se obțin  $qs$  și  $ts$  care se intersectează cu  $cc_1$  în 8 respectiv în 5, iar cu  $ha$  se obțin  $us$  și  $vs$  care dau cu  $aa_1$  pe 1 respectiv 4.



Ordinea în care trebuie unite punctele astfel aflate pentru a obține proiecția orizontală a poligonului de intersecție nu poate fi stabilită decât rareori prin simpla observare a celor două suprafețe. De aceea este indicat a se folosi așa-numita **metodă a mobilului**, care stabilește o anumită ordine în succesiunea operațiilor.

Conform acestei metode, planele auxiliare utilizate sunt privite ca diversele poziții ocupate de un același plan mobil care se rotește în jurul dreptei **sh, s'h'**. Fiecărei poziții a acestui plan îi corespunde o generatoare pe prismă și una pe piramidă, iar la intersecția lor, un punct de pe poligonul de intersecție.

Când planul se rotește într-un anumit sens, urmele orizontale ale celor două generatoare se mișcă pe urmele celor două poliedre în același sens, iar punctul de intersecție al generatoarelor descriu în spațiu poligonul de intersecție în sensul în care trebuie unite între ele punctele obținute.

În epura 7.7, succesiunea operațiilor este indicată prin săgeți pe cele două urme ale suprafețelor (în epură reproduse separat în acest scop), iar rezultatele obținute sunt trecute într-un tabel (**Tabelul 7.1.**) în care se înscriu: pe primul rând, urmele generatoarelor de pe baza prisme; pe al doilea, urmele generatoarelor corespunzătoare de pe baza piramidei, iar pe al treilea, punctele de intersecție respective de pe poligonul din spațiu.

Deplasarea planului mobil se face pornind de la o poziție oarecare, spre exemplu, **a** de pe prismă, **u** de pe piramidă, și se face într-un anumit sens, cel indicat de săgeți. Poziției inițiale a planului îi corespund deci generatoarele care pornesc din **a** de pe prismă și din **u** de pe piramidă; ele se întâlnesc în punctul notat cu **1** în tabel, corespunzător unui vârf al poligonului de intersecție.

Mișcând planul mobil în sensul arătat de săgeți, se ajunge la generatoarele **f** pe prismă, **m** pe piramidă și punctul de intersecție **2**, iar în poziția următoare, în **d**, **n** și punctul **3**. Ajuns în poziția limită, planul mobil se întoarce înapoi; pe prismă de la generatoarea din **d** se ajunge la cea din **a**, iar pe piramidă de la cea din **n** se trece la cea din **v**, la intersecția lor se obține punctul **4**. Ajuns din nou într-o poziție limită, planul mobil se întoarce; pe prismă se ajunge de la **a** la **c**, iar pe piramidă de la **v** la **t**, în tabelă se înscrie punctul corespunzător **5**. Urmând în continuare drumul arătat de săgeți, se obțin succesiv: **e-n-6**, **g-m-7**, **c-q-8** și, în sfârșit, prin **a-u-1** se ajunge de unde s-a plecat.

Unind acum proiecțiile vârfurilor poligonului de intersecție din epură în ordinea arătată de numerele din tabel, se obțin și proiecțiile orizontale ale laturilor poligonului.

Proiecțiile verticale ale vârfurilor poligonului de intersecție rezultă la intersecția liniilor de ordine duse din proiecțiile orizontale ale acestora, cu proiecțiile verticale ale muchiilor corespunzătoare. Laturile poligonului se obțin unind vârfurile în aceeași ordine cu a numerelor din tabel.

**Pentru a stabili laturile văzute și nevăzute ale poligonului în fiecare din cele două proiecții se caută vizibilitatea în proiecția respectivă a fețelor care au dat naștere prin intersecția lor la latura corespunzătoare a poligonului.** Se știe că un segment poate fi văzut numai dacă provine din intersecția a două fețe văzute. Cercetarea vizibilității se poate face direct în tabela întocmită pentru mișcarea planului mobil. Din tabelă se deduce că latura **1-2**, spre exemplu, rezultă din intersecția feței **af** a prisme, cu fața **um** a piramidei. În ce privește proiecția orizontală, întrucât **a-f** este văzută și **u-m** este văzută, rezultă că latura **1-2** este vizibilă.

Un raționament similar conduce la stabilirea vizibilității poligonului de intersecție în proiecția verticală. Se poate utiliza același tabel pe care se marchează porțiunile nevăzute în proiecția verticală cu liniuțe de culoare diferită sau un semn oarecare (**v**) diferit, de primul. Rezultă că numai latura **1'-8'** a poligonului este văzută.

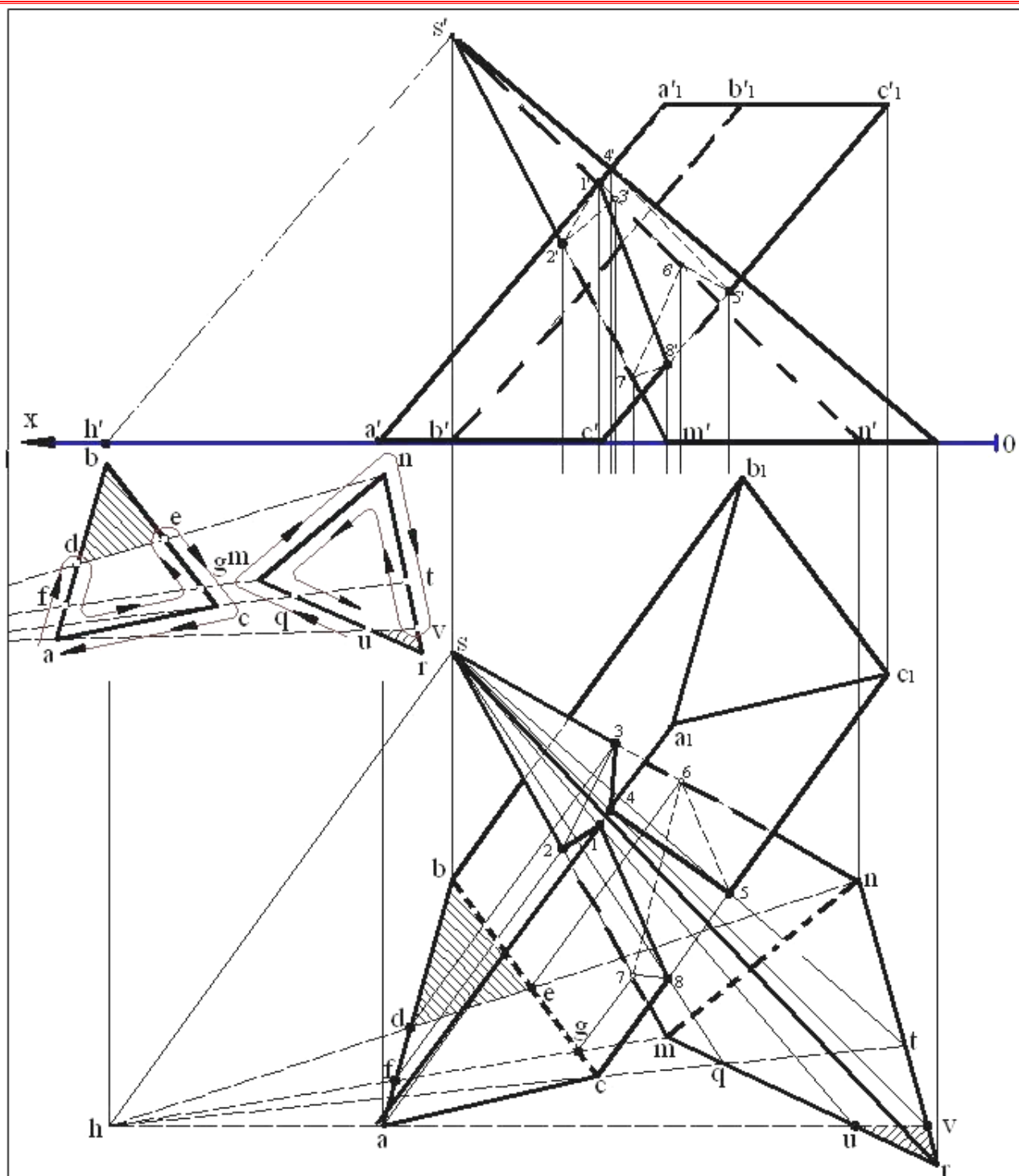


Fig.7.7.

Tabelul 7.1.:

a	f	d	a	c	e	g	c	a
u	m	n	v	t	n	m	q	u
1	2	3	4	5	6	7	8	1

[H]-
   
 [V]v

Dacă se notează de la început în tabel, spre exemplu cu liniuțe, fetele nevăzute ale prisme (**c-e-g-c**) și ale piramidei (**m-n** și **n-m**) în proiecția orizontală, rezultă prin combinarea lor laturile nevăzute ale poligonului de intersecție (**2-3**, **5-6**, **6-7** și **7-8**).

**Vizibilitatea muchiilor** celor două poliedre se cercetează, în funcție de vizibilitatea vârfurilor poligonului de intersecție. Astfel, în proiecția orizontală, muchia **aa<sub>1</sub>** a prisme este văzută din **a** până în **1** și din **4** până în **a<sub>1</sub>**, deoarece atât vârful **1** cât și **4** sunt văzute. Muchia **sn** a piramidei este văzută din **s** până în **3** - punct vizibil - și nevăzută din **6** până în dreptul muchiei **cc<sub>1</sub>**, deoarece vârful **6** este invizibil.

Cercetând astfel pe rând toate muchiile în cele două proiecții, se completează epura cu toate liniile trasate conform convențiilor stabilite.

Pentru determinarea poligoanelor de intersecție a două piramide sau a două prisme se procedează în mod analog cu singura diferență că:

- în cazul intersecției a două piramide (figura 7.8) planele auxiliare se vor duce prin dreapta **s<sub>1</sub>s<sub>2</sub> s'<sub>1</sub>s'<sub>2</sub>** care unește vârfurile celor două poliedre;
- în cazul intersecției a două prisme (figura 7.9), planele auxiliare vor trebui să fie paralele cu generatoarele ambelor prisme.

Pentru aceasta, printr-un punct exterior **m, m'** se duce o dreaptă **mh<sub>1</sub> m'h'<sub>1</sub>** paralelă cu generatoarele uneia din prisme, și alta **mh<sub>2</sub> m'h'<sub>2</sub>**, paralelă cu generatoarele celeilalte. Cele două drepte concurente în **m, m'** vor determina planul cu care vor trebui să fie paralele toate planele auxiliare pentru ca să intersecteze ambele poliedre după generatoare.

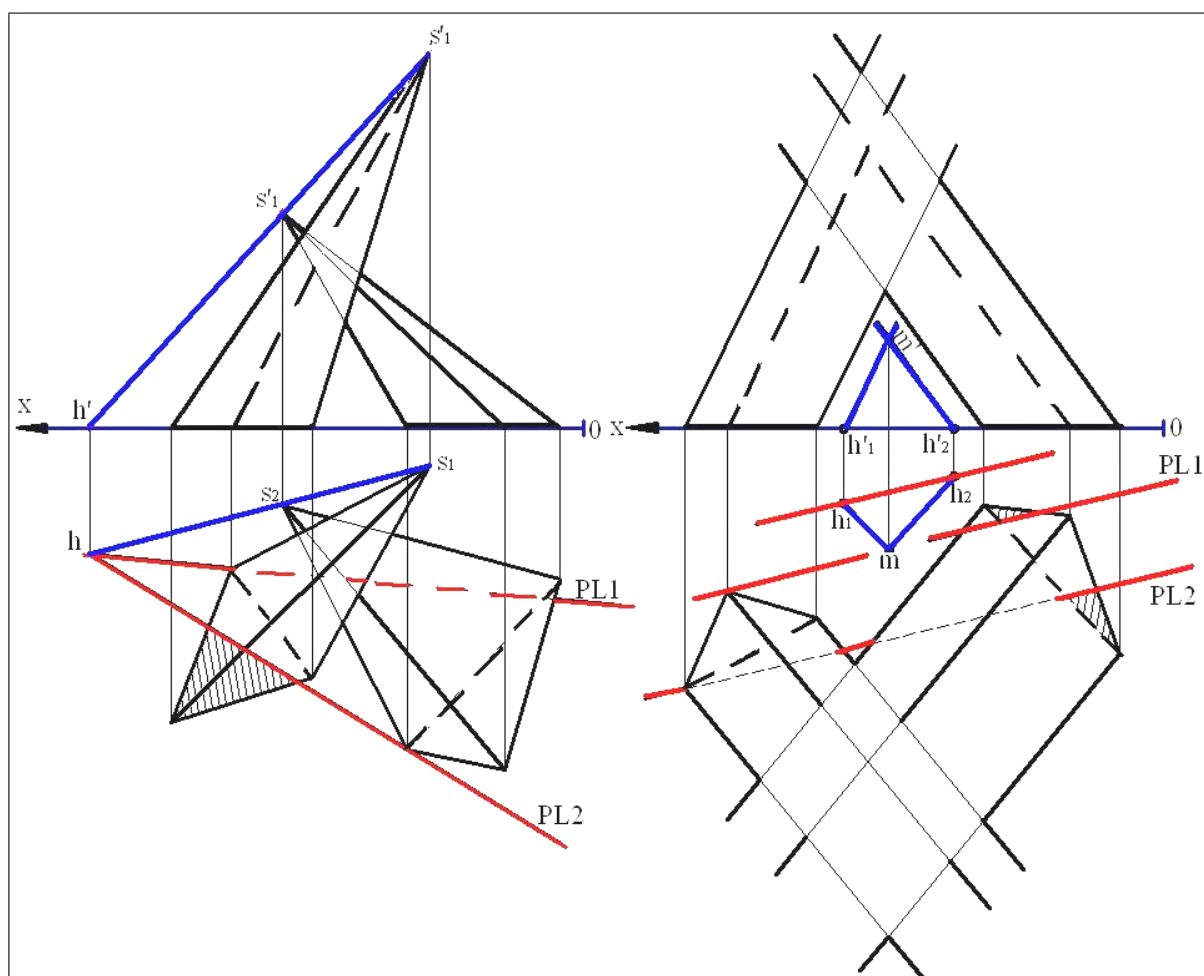


Fig. 7.8. Plane limită la două piramide.

Fig. 7.9. Plane limită la două prisme.

### 7.3. Intersecții de suprafețe cilindro-conice

În continuare se va arăta modul cum se aplică metoda planelor auxiliare la determinarea curbei de intersecție a două suprafețe cilindrice.

Fie două suprafețe cilindrice, având curbele directoare  $K_1$  și  $K_2$  situate în planul  $H$  (figura 7.10). Pentru a putea duce planele auxiliare care să secționeze ambele suprafețe după generatoare se duc întâi (vezi și figura 7.9), printr-un punct oarecare  $m$ ,  $m'$ , o dreaptă  $mh_1$ ,  $m'h_1'$  paralelă cu generatoarele cilindrului  $K_1$  și una  $mh_2$ ,  $m'h_2'$  paralelă, cu generatoarele cilindrului  $K_2$ .

Cele două drepte concurente determină planul de urmă orizontală  $Ph$  (obținută unind pe  $h_1$  cu  $h_2$ ), paralel cu generatoarele ambelor suprafețe. Planele auxiliare vor trebui duse paralele cu planul  $P$ ; deci urmele lor orizontale vor fi paralele cu  $Ph$ .

Cele două plane limită de urme  $Ph_1$  și  $Ph_2$  arată că cilindrul  $k_2$  pătrunde complet în cilindrul  $k_1$  ( $Ph_1$  și  $Ph_2$  intersectează numai curba  $K_1$ ). Rezultă deci o curbă de intersecție cu două ramuri: una de intrare și cealaltă de ieșire.

Pentru determinarea intersecției în proiecție orizontală se duc întâi după metoda cunoscută, urmele planelor auxiliare  $Ph_a \dots Ph_l$  paralele cu  $Ph$ , în zona cuprinsă între  $Ph_1$  și  $Ph_2$ . Apoi cu ajutorul punctelor în care acestea intersectează directoarele  $k_1$  și  $k_2$ , notate în epură cu litera corespunzătoare planului secant (de exemplu, lui  $Ph_e$  îi corespund  $e_1$  și  $e_3$  pe  $k_1$  și  $e_2$  cu  $e_4$  pe  $k_2$ ), se trasează generatoarele de secțiune din intersecțiile cărora rezultă punctele de pe curba căutată.

Între planele auxiliare cu care se secționează cele două suprafețe este bine să se ducă mai ales cele care trec prin generatoarele remarcabile ale acestora (generatoarele de contur aparent orizontal și vertical, cele determinate de planele limită), întrucât ele conduc la puncte în care curba este tangentă la aceste generatoare.

Astfel, planul  $Ph_c$  dus prin generatoarea de contur aparent orizontal  $c_3$  a cilindrului  $k_1$  conduce la punctele **23** și **34** în care curba de intrare este tangentă la generatoarea  $c_3$ ; planul limită  $Ph_2$  conduce la punctele **9** și **29** în care curbele de ieșire respectiv de intrare sunt tangente la generatoarele din  $l_1$  respectiv  $l_3$ .

În tabelul 7.2. sunt trecute, numerotate în ordinea în care trebuie unite, punctele de pe curba de intrare (**2**) și curba de ieșire (**1**) ce corespund pe coloana respectivă urmelor generatoarelor la intersecția cărora se găsesc.

Tabelul a fost alcătuit conform metodei mobilului. În timp ce planul mobil  $Ph$  s-a deplasat prin translație, succesiv, din poziția  $Ph_a$  în poziția  $Ph_l$  și înapoi, urmele generatoarelor de secțiune corespunzătoare s-au deplasat pe directoarea  $k_1$  de la  $a_1$  până la  $l_1$  și înapoi pentru curba de ieșire și de la  $a_3$  până la  $l_3$  și înapoi pentru cea de intrare, în timp ce urmele de pe directoarea  $k_2$  executau un tur complet al acesteia:  $a_2$ ,  $b_2, c_2, \dots, c_4, b_4, a_2$ .

Tabel 7.2.

	$a_1$	$b_1$	$c_1$	$d_1$	$e_1$	$f_1$	$i_1$	$j_1$	$l_1$	$j_1$	$i_1$	$g_1$	$e_1$	$c_1$	$b_1$	$a_1$
(1)	$a_2$	$b_2$	$c_2$	$d_2$	$e_2$	$f_2$	$i_2$	$j_2$	$l_2$	$j_4$	$i_4$	$g_4$	$e_4$	$c_4$	$b_4$	$a_2$
	<b>1</b>	<b>2</b>	<b>3</b>	<b>4</b>	<b>5</b>	<b>6</b>	<b>7</b>	<b>8</b>	<b>9</b>	<b>10</b>	<b>11</b>	<b>12</b>	<b>13</b>	<b>14</b>	<b>15</b>	<b>1</b>
	$a_3$	$b_3$	$c_3$	$d_3$	$e_3$	$f_3$	$i_3$	$j_3$	$l_3$	$j_3$	$i_3$	$g_3$	$e_3$	$c_3$	$b_3$	$a_3$
(2)	$a_2$	$b_2$	$c_2$	$d_2$	$e_2$	$f_2$	$i_2$	$j_2$	$l_2$	$j_4$	$i_4$	$g_4$	$e_4$	$c_4$	$b_4$	$a_2$
	<b>21</b>	<b>22</b>	<b>23</b>	<b>24</b>	<b>25</b>	<b>26</b>	<b>27</b>	<b>28</b>	<b>29</b>	<b>30</b>	<b>31</b>	<b>32</b>	<b>33</b>	<b>34</b>	<b>35</b>	<b>21</b>

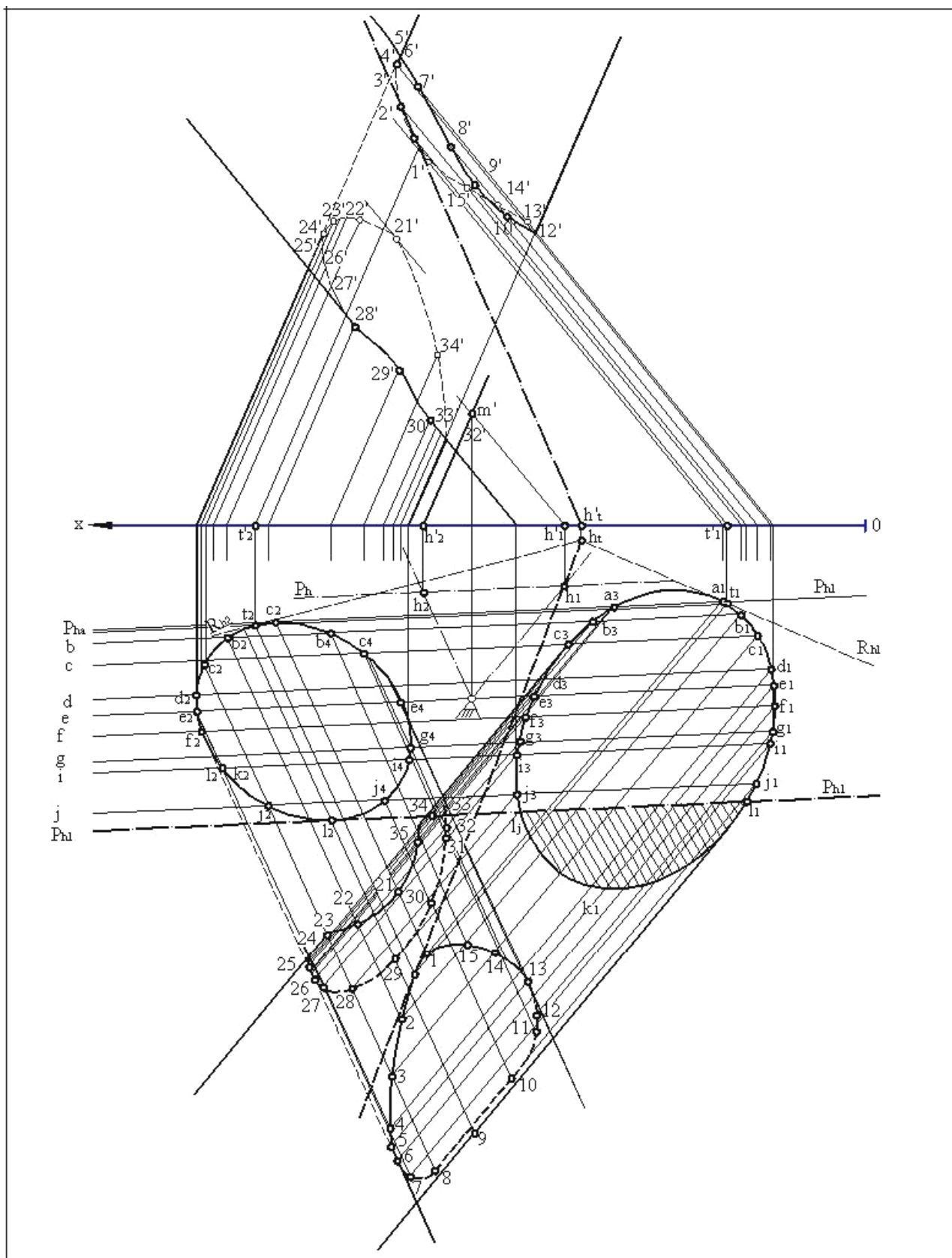


Fig.7.10. Intersecția a doi cilindri.



După ce s-au determinat proiecțiile orizontale ale punctelor aparținând curbelor de intersecție, se obțin și proiecțiile verticale ale acestora intersectând liniile de ordine cu proiecțiile verticale ale generatoarelor duse prin punctele respective.

Pentru trasarea porțiunilor văzute și nevăzute ale curbelor în cele două proiecții se ține seama că acestea se pot schimba din văzute în nevăzute și invers, numai în punctele de pe generatoarele de contur aparent. Astfel, pentru a spune despre curba de intrare că este văzută în porțiunea cuprinsă între punctele **23** și **34** de pe generatoarea de contur aparent orizontal din **c<sub>3</sub>** este suficient să se arate, spre exemplu, că punctul **21** (un punct oarecare între **23** și **34**) este văzut deoarece se găsește la intersecția generatoarelor din **a<sub>2</sub>** și **a<sub>3</sub>** ambele văzute.

**Tangenta într-un punct** oarecare **t, t'** al curbei de intersecție este definită ca dreapta după care se intersectează planele tangente la cele două suprafețe după generatoarele care trec prin punctul considerat. Prin punctul **t, t'** trec generatoarele **tt<sub>1</sub>, t't<sub>1</sub>'** și **tt<sub>2</sub>, t't<sub>2</sub>'**. Planele tangente la cele două suprafețe cilindrice după aceste generatoare vor avea ca urme orizontale **Rh<sub>1</sub>** și **Rh<sub>2</sub>**, respectiv tangenta **t<sub>1</sub>h<sub>t</sub>** în punctul **t<sub>1</sub>** la directoarea **k<sub>1</sub>** și tangenta **t<sub>2</sub>h<sub>t</sub>** în punctul **t<sub>2</sub>** la directoarea **k<sub>2</sub>**. Cele două urme **Rh<sub>1</sub>** și **Rh<sub>2</sub>** se întâlnesc în punctul **h<sub>t</sub> h<sub>t</sub>'**, care determină împreună cu **t, t'** tangenta căutată **th<sub>t</sub>, t'h<sub>t</sub>'**.

#### **7.4. Intersecții de poliedre cu suprafețe curbe**

O suprafață curbă se intersectează cu un poliedru după o linie curbă, care are ca puncte remarcabile punctele în care muchiile poliedrului intersectează suprafața. Pe porțiunea între două asemenea puncte succesive, curba este plană, deoarece reprezintă intersecția suprafeței cu o față a poliedrului.

Metoda planelor auxiliare utilizată pentru intersecțiile de poliedre și de suprafețe curbe se poate aplica cu folos și în acest caz.

Fie o prismă hexagonală dreaptă de bază **abcdef, a'b'c'd'e'f'** (figura 7.11) care se intersectează cu un con circular drept cu vârful în **s, s'** și având aceeași axă **t, t'** cu prisma (cazul unui creion hexagonal ascuțit cu o ascuțitoare mecanică). Întrucât prisma este verticală, proiecția orizontală a curbei de intersecție se va găsi chiar pe poligonul de bază **abcdef**. Pentru a afla proiecția verticală a curbei se utilizează plane auxiliare verticale care trec chiar prin axa **t, t'** a celor două corpuri.

Astfel, pentru a obține punctele în care muchiile prisme intersectează conul (s-a luat ca exemplu muchia din **f, f'**), se duce planul vertical de urmă orizontală **sn** prin muchia respectivă, plan care intersectează conul după generatoarea **sn, s'n'**. La intersecția muchiei din **f, f'** cu generatoarea **sn, s'n'** se obține punctul căutat **3, 3'** de pe curbă.

În mod similar se găsește punctul **1, 1'** și ținând seama de simetria față de axă a fețelor prisme și generatoarelor conului, punctele **6, 6'** și **8, 8'**.

Arcele care unesc între ele punctele aflate pe muchii sunt arce de hiperbolă, deoarece reprezintă intersecția unui con circular drept cu plane paralele cu axa. Pentru a afla vârful uneia din ramuri, de exemplu, **2, 2'**, se procedează ca mai sus: se duce planul auxiliar vertical cu urma **sm** trecând prin **g**, luat la jumătatea lui **af**; la intersecția generatoarelor **sm, s'm'**, cu **g<sub>2</sub>, g'<sub>2</sub>** se găsește punctul căutat **2, 2'** și, ținând seama de simetrie, **4, 4'** și **7, 7'**. Un punct curent **5, 5'** de pe curba se găsește cu ajutorul planului auxiliar corespunzător, de urmă orizontală **sr**, la intersecția generatoarei **sr, s'r'** a conului cu generatoarea din **i, i'** a prisme.

Este de observat că punctul **4, 4'** nu se poate obține direct deoarece cele două generatoare care îl determină, **sp, s'p'** și cea din **h, h'**, sunt suprapuse în cele două proiecții. Printr-o rotație în jurul axei **t, t'**, se pot aduce însă ambele generatoare în poziție frontală și determina punctul de intersecție în **4, 4'**, readus apoi în **4, 4'** printr-o rotație inversă.

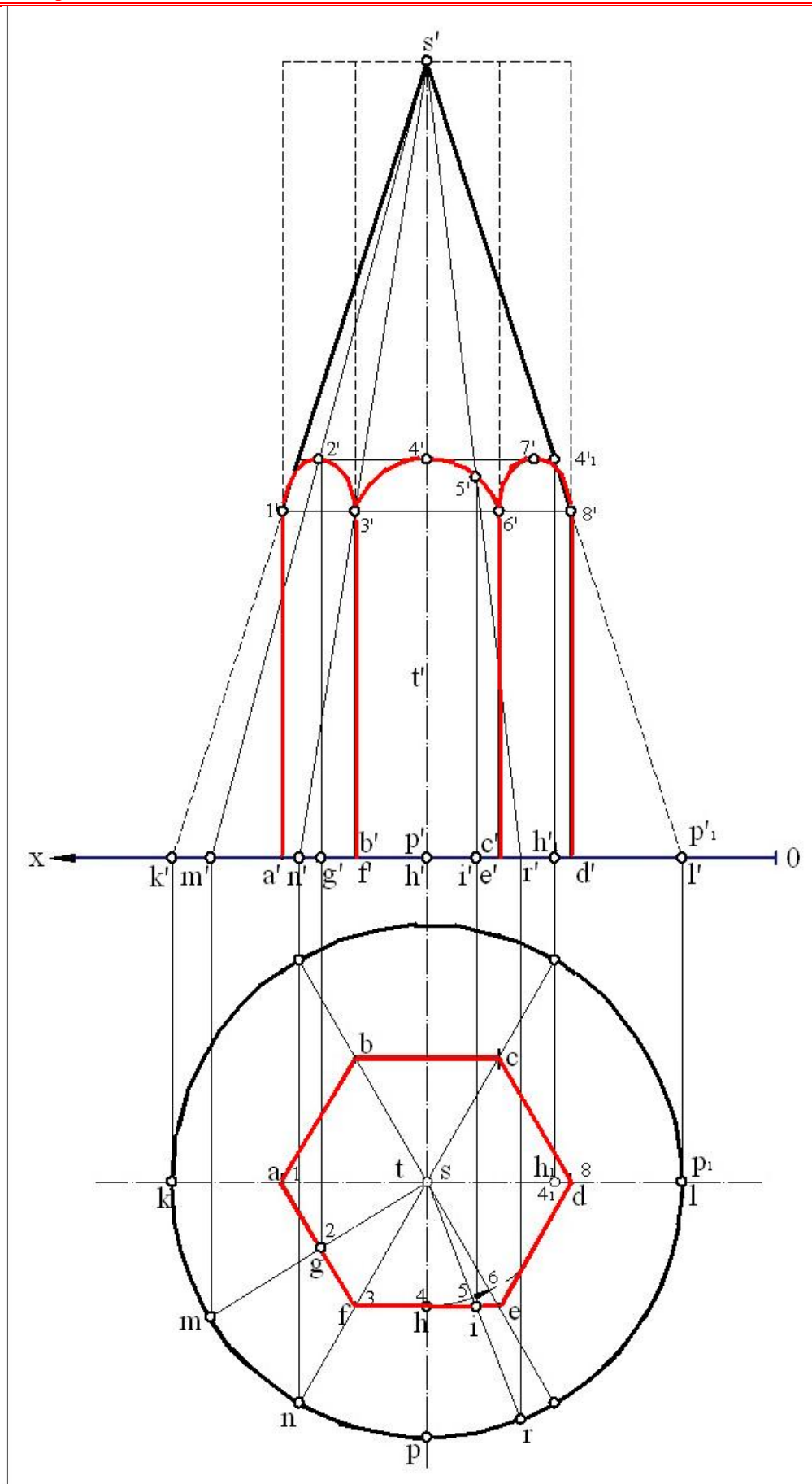


Fig.7.11. Intersecție con și prismă.



## 7.5. Aplicații

1) Să se determine curba după care se intersectează două bolți cilindrice circulare cu axe coplanare-ortogonale și cercurile directe de raze diferite (luneta cilindrică dreaptă).

**Rezolvare:**

Cele două bolți se așează cu axe paralele cu  $Ox$  și respectiv  $Oy$  (figura 7.12). Pentru determinarea curbei de intersecție se utilizează plane auxiliare de nivel  $Rva$ ,  $Rvb$ ,  $Rvc$ ,  $Rvd$ , care intersectează ambele bolți după generatoare.

Poziția generatoarelor pe cele două suprafețe se obține utilizând și proiecția pe planul lateral, așa cum se arată în epură. La intersecția generatoarelor din același plan secant se obțin punctele aparținând curbei de secțiune:  $a, a', a'', b_1, b_1', b_1'', b_2, b_2', b_2'',$  etc.

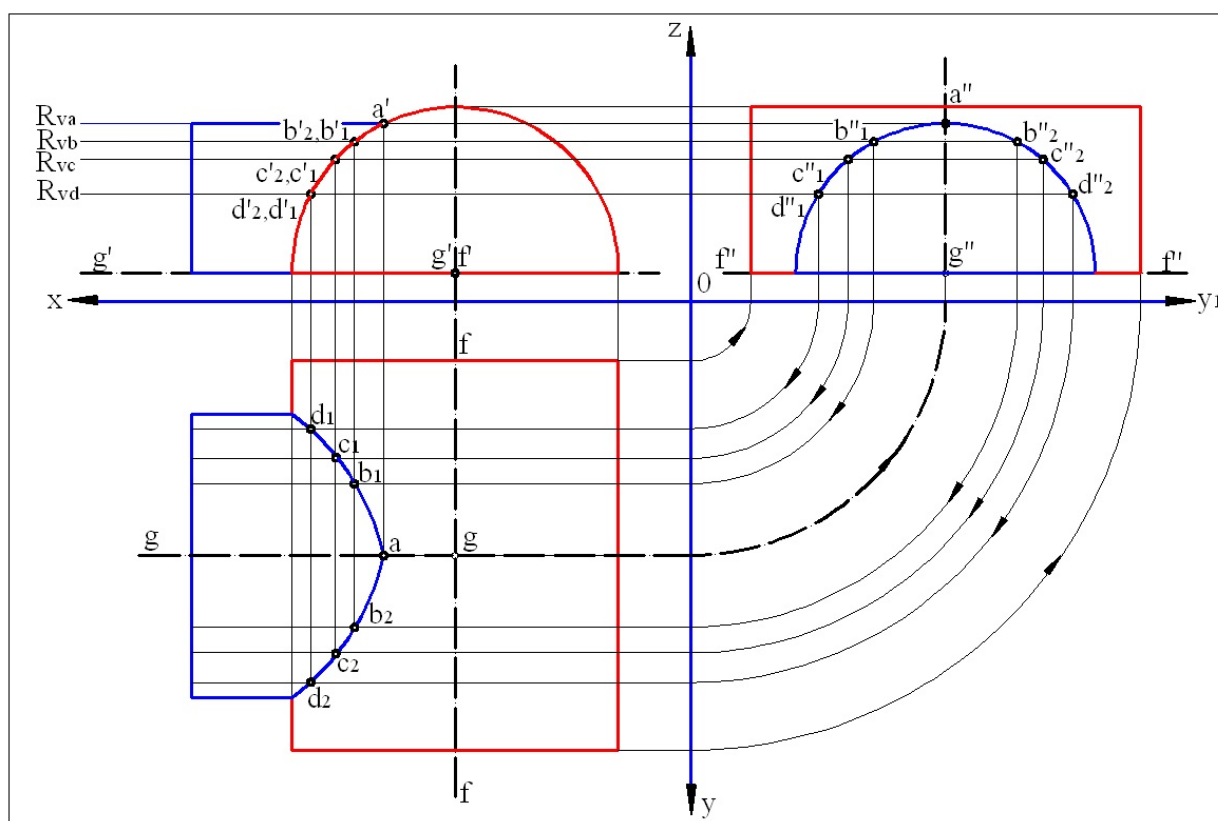


Fig. 7.12. Aplicația 1.

2) Să se determine curba după care se intersectează o boltă cilindrică circulară cu una tronconică circulară, având axe coplanare și ortogonale (luneta conică dreaptă - conul pătrunde în cilindru).

**Rezolvare:**

Bolta tronconică se așează cu axa paralelă cu  $Ox$ , iar cea cilindrică cu axa paralelă cu  $Oy$  (figura 7.13).

Se pot utiliza avantajos fie plane auxiliare de capăt trecând prin  $s, s'$ , fie plane de profil. Dacă se secționează ambele suprafețe cu un plan de capăt, de urmă  $Rv$ , se obține în con generatoarea  $sm_0, s'm_0', s''m_0''$  și în cilindru generatoarea  $m_1m_2, m_1'm_2', m_1''m_2''$ , iar la intersecția lor punctul  $m, m', m''$  aparținând curbei căutate.

## Geometrie descriptivă

Dacă se utilizează planul de profil  $P_h$ ,  $P_v$ , acesta va secționa conul după cercul de profil de rază  $gr$ ,  $g'r'$ ,  $g''r''$  și cilindrul după generatoarea  $m_1m_2$ ,  $m'_1m'_2$ ,  $m''_1m''_2$ ; la intersecția lor se va obține același punct  $m$ ,  $m'$ ,  $m''$  de pe curba de intersecție. Procedând în mod analog se pot găsi și alte puncte necesare pentru trasarea curbei.

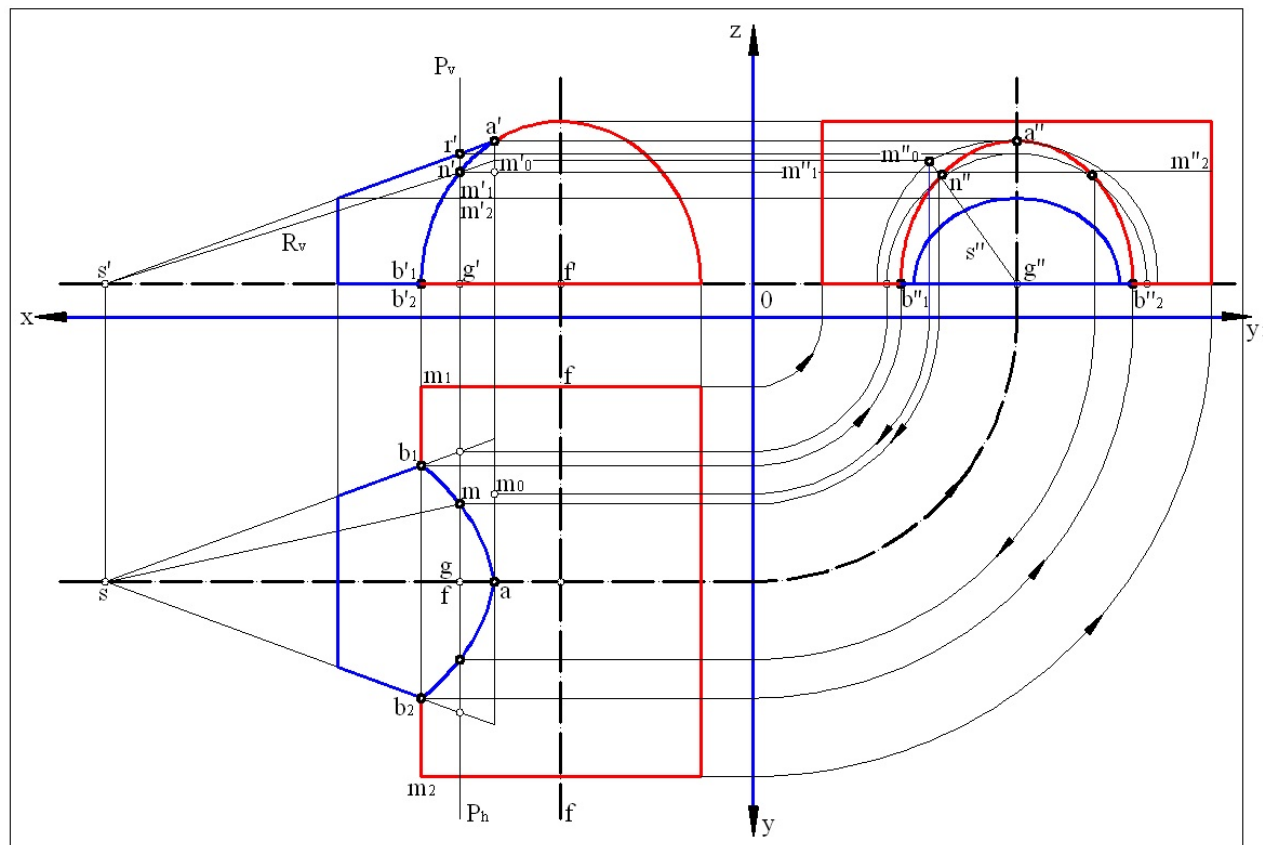


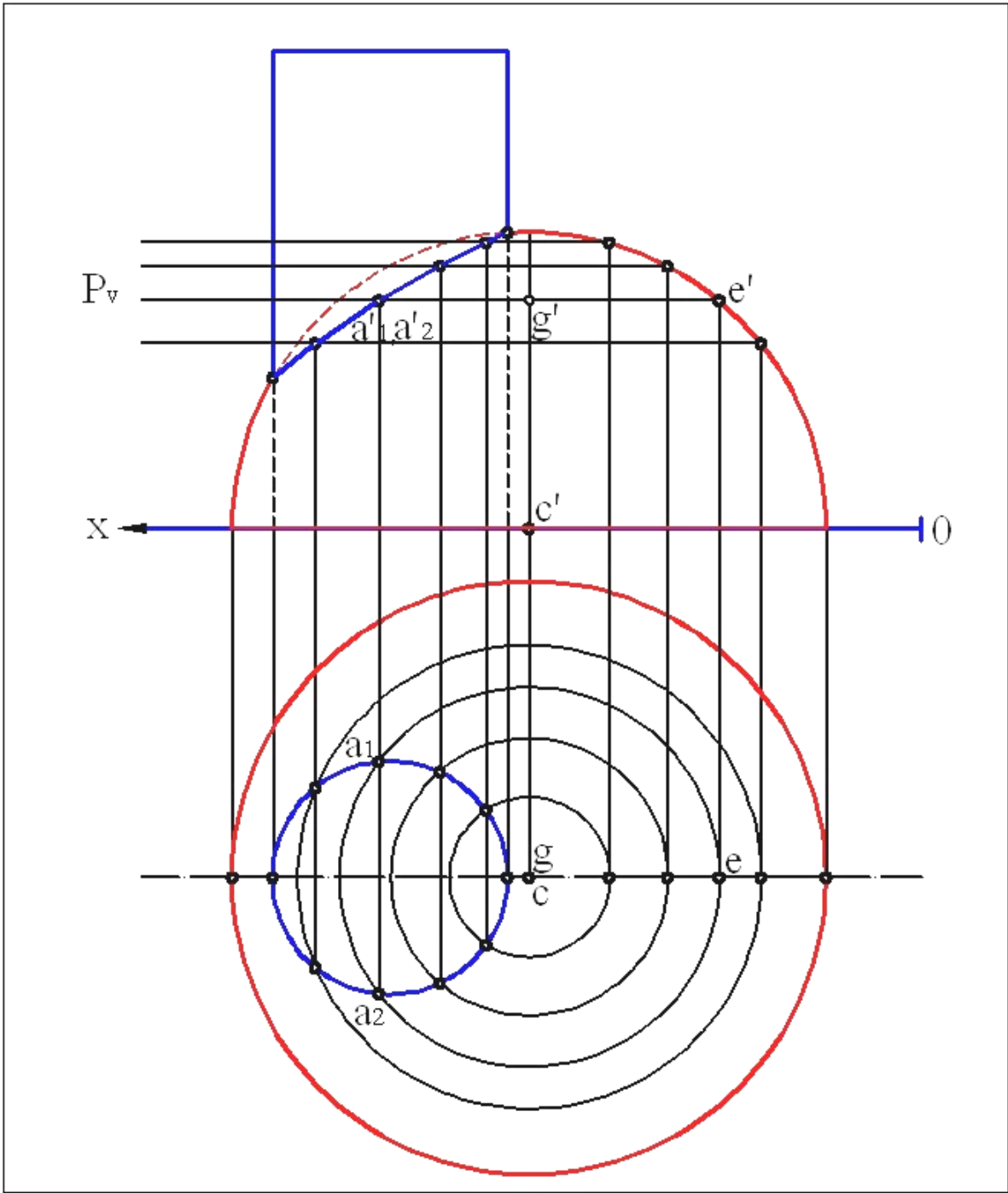
Fig.7.13. Aplicația 2.

**3) Să se determine curba de intersecție a unei cupole sferice cu un turn cilindric vertical a cărui axă nu trece prin centrul sferei (figura 7.14.).**

**Rezolvare:**

Curba de intersecție a celor două suprafețe se proiectează pe planul  $H$  chiar pe urma orizontală a cilindrului.

Pentru determinarea proiecției verticale a acesteia, se pleacă de la proiecțiile orizontale ale punctelor aparținând curbei și se determină proiecțiile lor verticale punând condiția, ca acestea să se găsească pe sferă. Rezultă a secționa cele două suprafețe cu plane de nivel (de exemplu  $P_v$ ) și a determina punctele de intersecție ( $a_1$ ,  $a_1'$  și  $a_2$ ,  $a_2'$ ) ale cercurilor de secțiune prin sferă și cilindru.



**Fig.7.14. Aplicația 3.**

## 8. SUPRAFEȚE RIGLATE

### 8.1. Suprafețele riglate de rotație

Din această categorie de suprafețe fac parte: conul, cilindrul și hiperboloidul de rotație cu o pânză. Se numește hiperboloid de rotație, cu o pânză (figura 8.1) suprafața generată de o dreaptă care se rotește în jurul unei axe necoplanare cu ea. Aceeași suprafață poate lua naștere fi prin rotația unei hiperbole în jurul axei ei netransverse.

Hiperboloidul de rotație are o largă utilizare în tehnica construcțiilor. Se construiesc în această formă: suprafețe de beton armat pentru turnuri de răcire, schelete de susținere metalice pentru rezervoare de înălțime, turnuri pentru radio și televiziune, etc.

Pentru a reprezenta un hiperboloid de rotație în cele două proiecții este suficient să se reprezinte generatoarea și axa în jurul căreia acesta se rotește.

Fie  $c, c'$  axa de rotație care s-a luat verticală și  $d, d'$  generatoarea (figura 8.2).

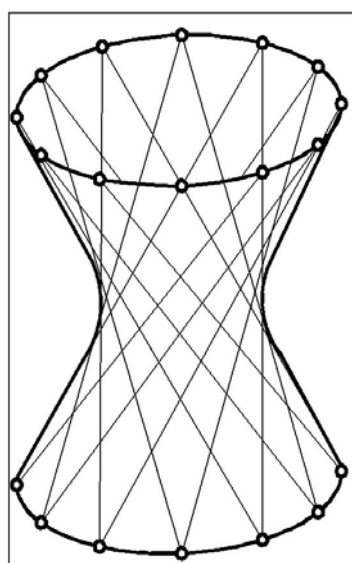


Fig. 8.1.

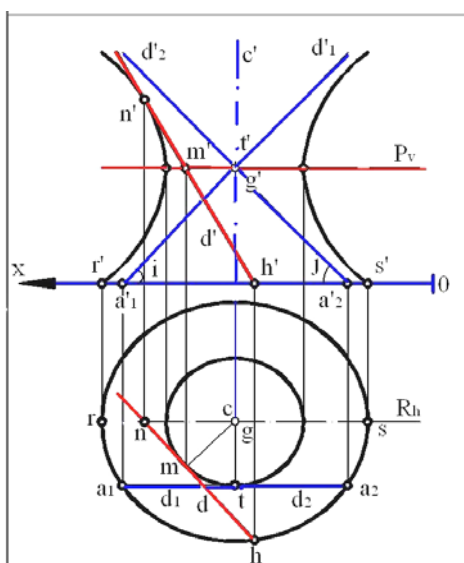


Fig. 8.2.

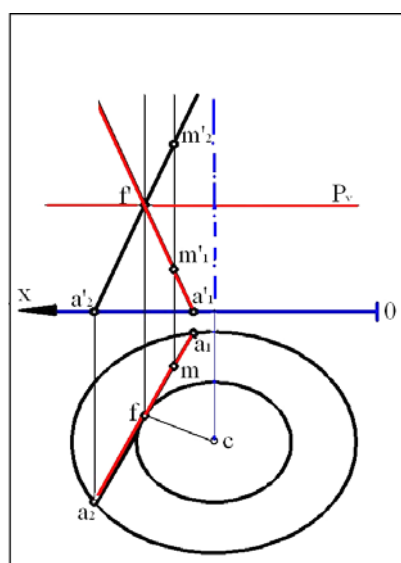


Fig. 8.3.

Dacă dreapta  $d, d'$  se rotește în jurul axei  $c, c'$ , toate punctele ei vor descrie cercuri care se vor proiecta concentrice și în adevărată mărime pe planul  $H$ .

Urmărind epura, se pot deduce următoarele **concluzii**:

- Cercul de rază minimă, numit și colier, va fi descris de punctul  $m, m'$  în care perpendiculara comună între generatoare și axă întâlnește generatoarea; colierul determină planul de nivel  $P_v$  care este un plan de simetrie al suprafeței.
- Proiecția orizontală a colierului constituie *conturul aparent orizontal* al suprafeței.
- Proiecția orizontală a generatoarei va fi în orice poziție a acesteia, tangentă la proiecția orizontală a colierului.
- Urma orizontală  $h, h'$  a generatoarei va descrie în timpul rotației *cercul de urmă orizontală* al suprafeței.
- *Conturul aparent vertical* al suprafeței este proiecția verticală a meridianului principal, adică a curbei ce se obține secționând suprafața cu un plan de front  $R_h$  care trece prin axa  $c, c'$ . Un punct curent de pe hiperbola de contur aparent vertical  $n, n'$  de exemplu, se obține intersectând generatoarea  $d, d'$  cu planul principal  $R_h$ .
- Generatoarea în poziție de front  $d_1, d_1'$  - se numește *generatoare principală*. Dacă se duce o dreaptă  $d_2, d_2'$  simetrică cu  $d_1, d_1'$  față de planul de profil care trece prin axa  $c, c'$  se obține o a doua dreaptă care va genera prin rotația ei aceeași suprafață.

Se observă că punctele dreptei  $d_2, d_2'$  descriu în timpul rotației în jurul axei  $c, c'$  aceleași cercuri ca simetricele lor de pe  $d_1, d_1'$ . Rezultă deci că aceeași suprafață poate fi generată de două sisteme de generatoare care au aceeași înclinare față de planul  $H$  ( $i=j$ ).

Cele două generatoare principale au proiecțiile verticale  $d_1'$  și  $d_2'$  simetrice față de  $c'$  și se intersectează în punctul  $g'$  proiecția verticală a centrului suprafeței. Cele două proiecții  $d_1'$  și  $d_2'$  sunt *asimptotele hiperbolei de contur aparent vertical*.

**Un punct oarecare de pe suprafața hiperboloidului se obține punând condiția ca acesta să se găsească pe o generatoare a suprafeței.**

Fie hiperboloidul de rotație de axa  $c, c'$  (figura 8.3) dat prin cercul-colier situat în planul de simetrie  $P_v$  și cercul de urmă orizontală al suprafeței.

Dacă se alege proiecția orizontală  $m$  a punctului căutat, se duce proiecția orizontală  $a_1 f$  a uneia din generatoarele care trec prin punct, tangentă în  $f$  la proiecția orizontală a colierului.

Cu ajutorul urmei orizontale  $a_1, a_1'$  și al punctului  $f, f'$  de pe colier se duce și proiecția verticală a generatoarei în  $a_1' f'$ . La intersecția liniei de ordine duse prin  $m$ , cu  $a_1' f'$  se obține proiecția verticală  $m'$  a punctului căutat.

Este de observat că prin  $m$  se mai poate duce și generatoarea  $a_2 f$ ,  $a_2' f'$ , perechea lui  $a_1 f$ ,  $a_1' f'$ , care conduce la o a doua proiecție verticală  $m_2'$  corespunzătoare lui  $m$ . Există deci două puncte de pe suprafață,  $m, m_1'$  și  $m, m_2'$  care, găsindu-se pe aceeași verticală, se proiectează orizontal în  $m$ .

## 8.2. Suprafețe riglate cu plan director

Se numesc suprafețe riglate cu plan director, suprafețele generate de o dreaptă care se deplasează sprijinindu-se pe două linii oarecare și rămâne continuu paralelă cu un plan dat oarecare.

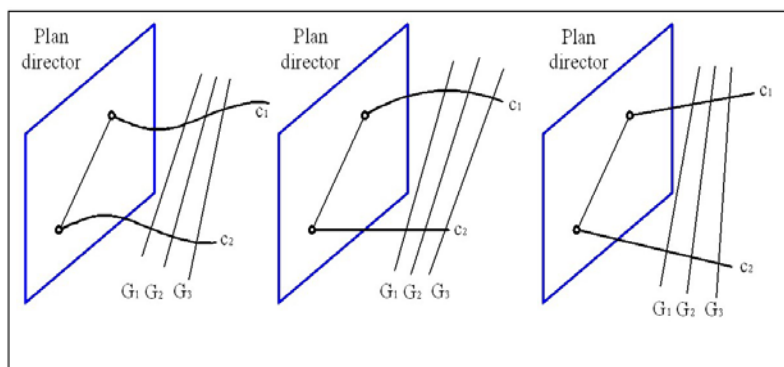


Fig.8.4.a.b.c. Cilindroid, conoid, paraboloid.

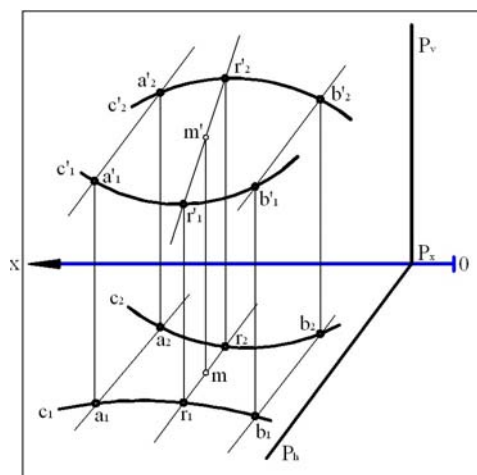


Fig.8.5. Cilindroid de plan  $P$ .

Dacă cele două linii directoare sunt două curbe oarecare (figura 8.4,a) suprafața se numește **cilindroid**, dacă sunt o curbă și o dreaptă (figura 8.4,b) **conoid**, iar dacă sunt două drepte necoplanare (figura 8.4,c) **paraboloid hiperbolic**.

O proprietate comună a celor trei suprafețe reiese din însăși definiția lor: dacă se secționează suprafața cu plane paralele cu planul director, se obțin drepte care sunt generatoarele suprafeței.

### 8.2.1. Cilindroidul

Pentru a reprezenta un cilindroid este suficient să se arate în cele două proiecții: poziția planului director, cele două curbe directoare și modul cum se duc generatoarele.

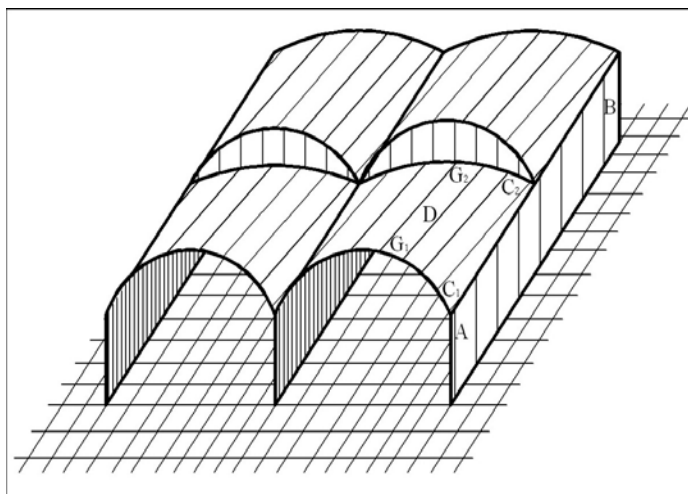


Fig. 8.6. Cilindroizi, hale industriale.

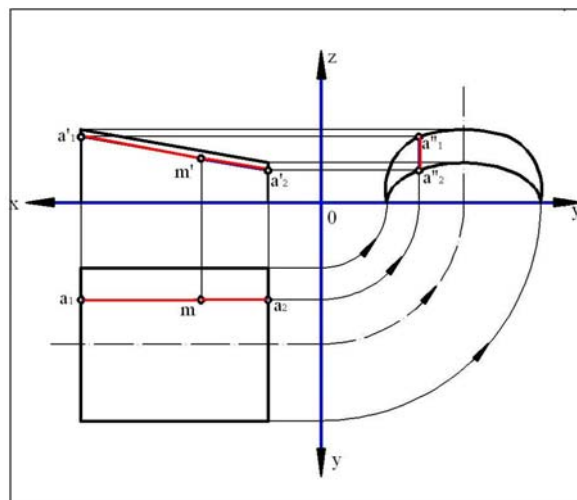


Fig. 8.7. Punct pe suprafața cilindroidului.

Astfel, în figura 8.5, planul vertical **Ph, Pv** s-a luat drept plan director al suprafeței, iar **c<sub>1</sub>, c<sub>1</sub>'** și **c<sub>2</sub>, c<sub>2</sub>'** sunt cele două curbe directoare.

Pentru a duce o generatoare oarecare a suprafeței, se duce o dreaptă paralelă cu **Ph, Pv** de exemplu **a<sub>1</sub>a<sub>2</sub>, a<sub>1</sub>'a<sub>2</sub>'**, care se sprijină pe cele două curbe directoare.

Pentru a obține un punct oarecare **m, m'** pe suprafață se ia arbitrar proiecția orizontală **m** și se determină apoi cea verticală **m'** punând condiția ca punctul să se găsească pe o generatoare (**r<sub>1</sub>r<sub>2</sub>, r<sub>1</sub>'r<sub>2</sub>'**) a suprafeței.

Cilindrozii își găsesc o largă aplicație la suprafețele subțiri de beton armat utilizate ca acoperișuri pentru halele de suprafață mare. În figura 8.6 este schițată o asemenea construcție. Cilindrozii de acoperire sunt generați de niște drepte de tipul **D** care se deplasează cu un capăt pe directoarea **C<sub>1</sub>** și cu celălalt capăt pe **C<sub>2</sub>**, rămânând continuu paralele cu planul peretelui longitudinal **AB**. Între curbele **C<sub>1</sub>** și **C<sub>2</sub>**, sunt amenajate luminătoarele care permit iluminarea naturală a halei.

În figura 8.7 s-a luat ca plan director al suprafeței chiar planul **V**. Pentru a obține un punct **m, m'** de pe suprafață și deci o generatoare **a<sub>1</sub>a<sub>2</sub>, a<sub>1</sub>'a<sub>2</sub>'** a acestuia este necesară și proiecția pe planul **L**.

### 8.2.2. Conoidul

Conoidul se reprezintă ca și cilindroidul, cu diferența că una din cele două directoare se va lua dreaptă. Dacă directoarea dreaptă este perpendiculară pe planul director, conoidul se numește drept. Și în acest caz, un punct oarecare se găsește pe suprafață dacă proiecțiile lui se găsesc pe proiecțiile de același nume ale unei generatoare a suprafeței.

Scara elicoidală este un conoid drept (figura 8.8) cu planul director orizontal (suprafața planșeului), directoarea dreaptă verticală (axa scării), și directoarea curbă, o elice cilindrică având ca axă, directoarea dreaptă a suprafeței. Treptele scării sunt generatoarele suprafeței.

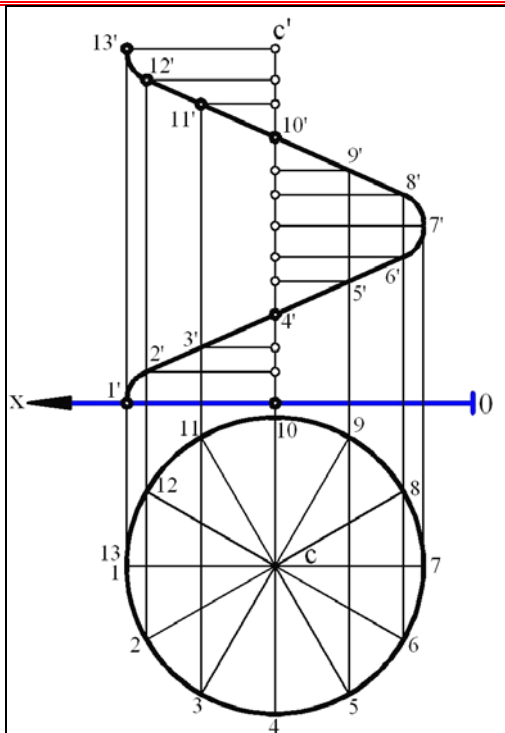


Fig.8.8. Conoid, scară elicoidală.

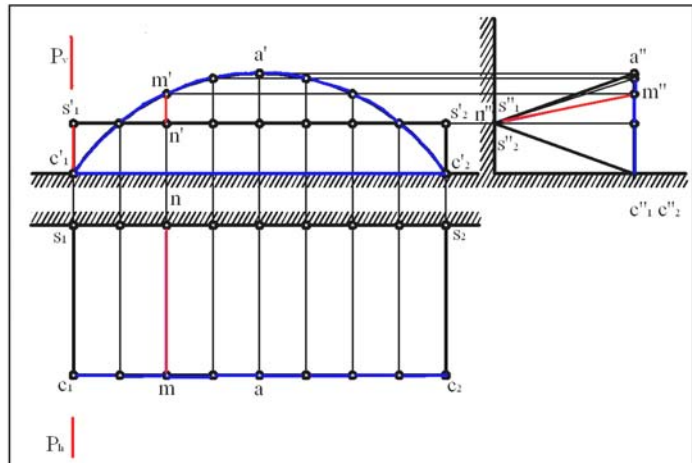


Fig.8.9. Conoid, copertină.

În figura 8.9 este reprezentată în cele trei proiecții copertina în formă de conoid a intrării unei clădiri. Cele trei elemente directoare ale suprafeței sunt: planul de profil ***Ph, Pv***, curba frontală ***c<sub>1</sub>ac<sub>2</sub>, c<sub>1</sub>'a'c<sub>2</sub>'*** și fronto-orizontala ***s<sub>1</sub>s<sub>2</sub>, s<sub>1</sub>'s<sub>2</sub>'***. Generatoarele suprafeței sunt segmente de profil de tipul ***mn, m'n', m''n''***.

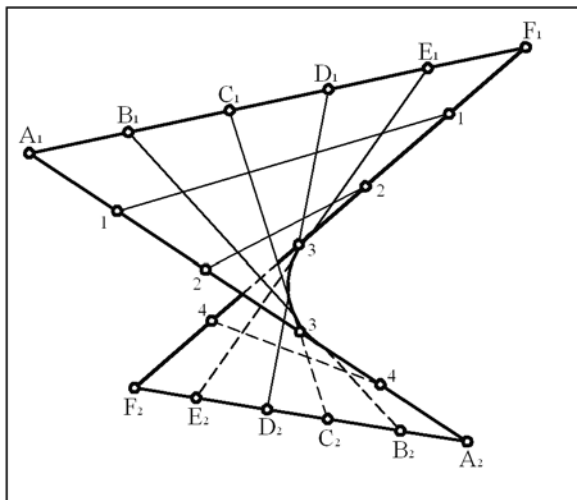


Fig.8.10. Parabolid hiperbolic.

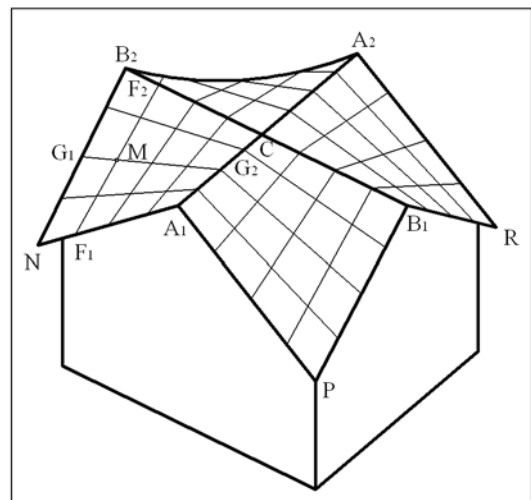


Fig. 8.11. Paraboloizi, acoperiș.

### 8.2.3. Parabolidul hiperbolic

Suprafața se obține prin deplasarea unei drepte ce se sprijină pe două drepte necoplanare astfel încât generatoarea să rămână tot timpul paralelă cu un plan dat.

Dacă cele două drepte directoare sunt paralele între ele, suprafața generată este un plan. Înclinând diferit directoarele, planul se deformează și devine un paraboloid, de aici și denumirea de *plan strâmb* care se mai dă acestei suprafețe.

Paraboloidul hiperbolic are, ca și hiperboloidul de rotație studiat anterior, două sisteme de generatoare.



În figura 8.10. dacă se iau două segmente oarecare  $A_1F_1$  și  $A_2F_2$  în spațiu, cu punctele  $A_1$  și  $A_2$  la un nivel și  $F_1$  și  $F_2$  la alt nivel și se împart, spre exemplu în cinci părți egale, se obțin punctele  $A_1$  și  $A_2$ ,  $B_1$  și  $B_2$ ,  $C_1$  și  $C_2$  etc., care vor fi două câte două la niveluri diferite.

Dacă se unesc între ele punctele de același nivel de pe cele două segmente ( $A_1$  cu  $A_2$ ,  $B_1$  cu  $B_2$ ), se obțin drepte paralele cu planul director  $H$  (generatoarele paraboloidului).

Dacă se împart și segmentele  $A_1A_2$  respectiv  $F_1F_2$  în cinci părți egale și se unesc între ele  $1$  cu  $1$ ,  $2$  cu  $2$  etc., se obțin drepte care se sprijină pe primele și constituie generatoarele celui de-al doilea sistem.

În epură, paraboloidul se reprezintă ca și cilindroidul prin proiecțiile celor două directoare  $C_1$  și  $C_2$  - de data aceasta două drepte, urmele  $Ph, Pv$  ale planului director și generatoarea într-o poziție oarecare.

Ca și la cilindroid, pentru a obține un punct oarecare de pe suprafață este suficient să se pună condiția ca acesta să se găsească pe o generatoare oarecare a suprafeței.

Paraboloidul hiperbolic are o largă utilizare în tehnica construcțiilor. Se aplică la construcția acoperișurilor, zidurilor de sprijin, racordarea fețelor plane de pante diferite etc.

În figura 8.11 este schițată o clădire cu *acoperișul* format din patru paraboloidi având drept directoare coamele  $A_1A_2$ ,  $B_1B_2$  și streșinile  $NA_1$ ,  $PA_1$ ,  $PB_1$ ,  $RB_1$  etc.; generatoarele sunt respectiv paralele cu fețele pereților exteriori ai clădirii.

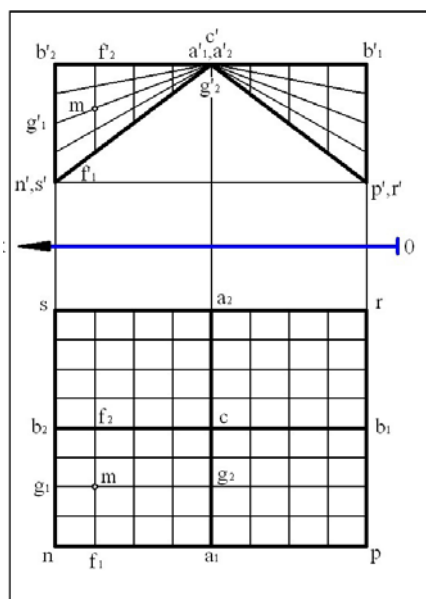


Fig.8.12. Paraboloid, acoperiș.

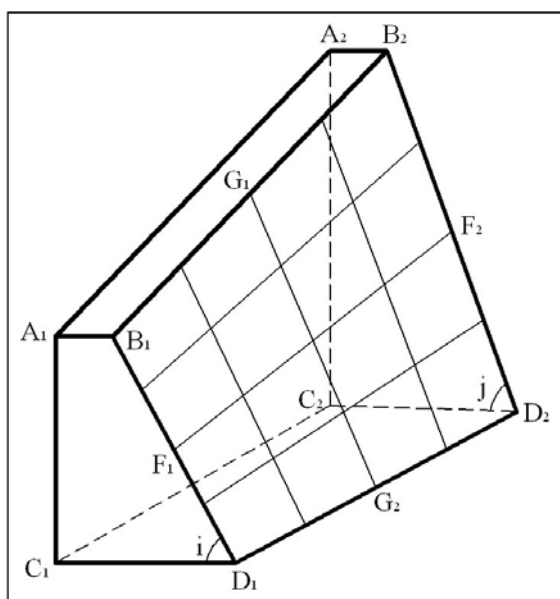


Fig.8.13. Paraboloid, zid de sprijin.

În epura 8.12. este reprezentat acoperișul în cele două proiecții. Un punct oarecare  $m, m'$  de pe suprafața acoperișului se obține în epură utilizând fie generatoarea  $g_1g_2$ ,  $g_1'g_2'$ , paralelă cu planul peretelui  $NP$ , fie generatoarea  $f_1f_2$ ,  $f_1'f_2'$  paralelă cu planul peretelui  $NS$  al clădirii.

Zidul de sprijin din figura 8.13. cu înălțimea variabilă ( $A_2C_2 > A_1C_1$ ) și dimensiunile de bază impuse ( $C_1D_1 = C_2D_2$ ) are fața văzută ( $B_1D_1D_2B_2$ ) în formă de paraboloid hiperbolic. Acesta poate fi generat fie de dreptele de tip  $G_1G_2$ , care se deplasează paralel cu planul feței  $A_1B_1D_1C_1$  și se reazemă pe directoarele  $B_1B_2$  și  $D_1D_2$  fie de cele de tip  $F_1F_2$ , care se deplasează paralel cu planul feței  $A_1C_1C_2A_2$  și se sprijină pe directoarele  $B_1D_1$  și  $B_2D_2$ . În figură se mai vede că paraboloidul  $B_1D_1D_2B_2$  face de fapt racordarea între dreptele  $B_1D_1$  și  $B_2D_2$  având pante diferite ( $tg i$  respectiv  $tg j$ ).

## 9. REPREZENTĂRI AXONOMETRICE

### 9.1. Generalități. Clasificare

Reprezentarea în dublă proiecție ortogonală prezintă avantajul că elementele care alcătuiesc obiectul, situate într-o anumită poziție față de planele de proiecție, sunt proiectate pe acestea în adevărată mărime și deci pot fi măsurate. Fețele obiectului paralele cu unul din planele de proiecție se proiectează ortogonal pe celălalt plan de proiecție după segmente de dreaptă. Obiectul apare deci în proiecție cu unele din fețe în adevărată mărime, iar cu altele, reduse la segmente de dreaptă.

Citirea epurei obiectului astfel reprezentat se face cu greutate de un observator fără o practică îndelungată în acest domeniu, deoarece pentru intuirea unui obiect sub aspectul lui de volum nu este suficientă numai simpla observare a proiecțiilor acestuia pe cele două plane de proiecție, ci mai este necesară și combinarea în imaginație a acestor proiecții în vederea realizării volumului.

Astfel, dacă se reprezintă în dublă proiecție ortogonală, un paralelipiped dreptunghic (figura 9.1) așezat cu două fețe paralele cu planele de proiecție, proiecțiile ortogonale ale acestuia se reduc la două dreptunghiuri. Privind cele două proiecții, impresia de volum sub forma de paralelipiped nu se realizează decât numai după ce observatorul a reușit să combine între ele în imaginație fețele poliedrului, după regulile care au servit la realizarea proiecțiilor lui.

Acest dezavantaj poate fi înlăturat prin proiectarea obiectului pe un singur plan, astfel încât numărul de fețe vizibile ale acestuia în proiecție să fie cât mai mare și nici una din fețele lui să nu apară, dacă este posibil, cu proiecția redusă la un simplu segment de dreaptă. Reprezentarea plană astfel obținută devine intuitivă, apropiată de cea vizuală și deci ușor de interpretat chiar de un observator fără experiență.

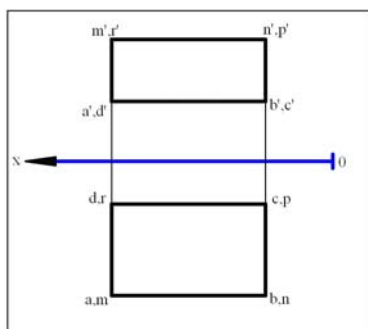


Fig.9.1. Dubla proiecție.

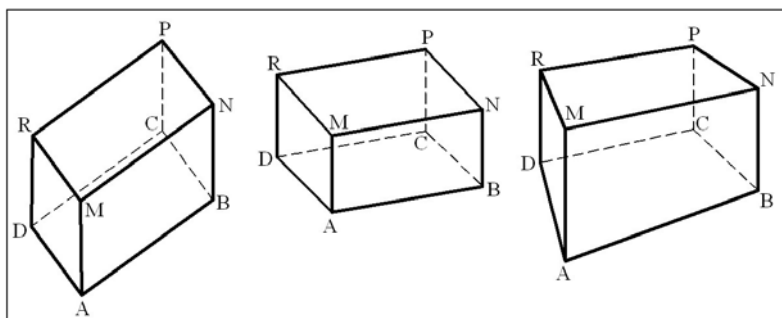


Fig.9.2. Ax. oblică. Fig.9.3. Ax. ortogonală. Fig.9.4. Perspectiva.

Realizarea unei asemenea imagini se poate obține:

- proiectând cilindric, oblic (figura 9.2) sau ortogonal (figura 9.3) și punând condiția ca nici una din fețele obiectului să nu fie paralelă cu direcția de proiectare (axonometrie paralelă);
- proiectând conic (figura 9.4) și punând condiția ca nici una din fețele acestuia să nu treacă prin centrul de proiecție (axonometrie centrală sau perspectivă).

**Procedeul metodei axonometrice** este următorul:

- se presupune obiectul care trebuie reprezentat, raportat la cele trei axe ce definesc sistemul de referință al triedrului dreptunghic din dubla proiecție ortogonală (figura 9.5);
- se proiectează cilindric sau conic pe planul de proiecție ales, cele trei axe rectangulare ale triedrului, precum și segmentele unitate (egale între ele) cu care se măsoară lungimile situate pe drepte paralele cu cele trei axe;

## Geometrie descriptivă

- imaginea obiectului se construiește direct pe planul de proiecție ales, raportând punctele caracteristice ale acestuia la axele proiectate; aceste puncte se obțin cu ajutorul coordonatelor corespunzătoare raportate la axele și unitățile proiectate respective (de unde și denumirea de metodă axonometrică).

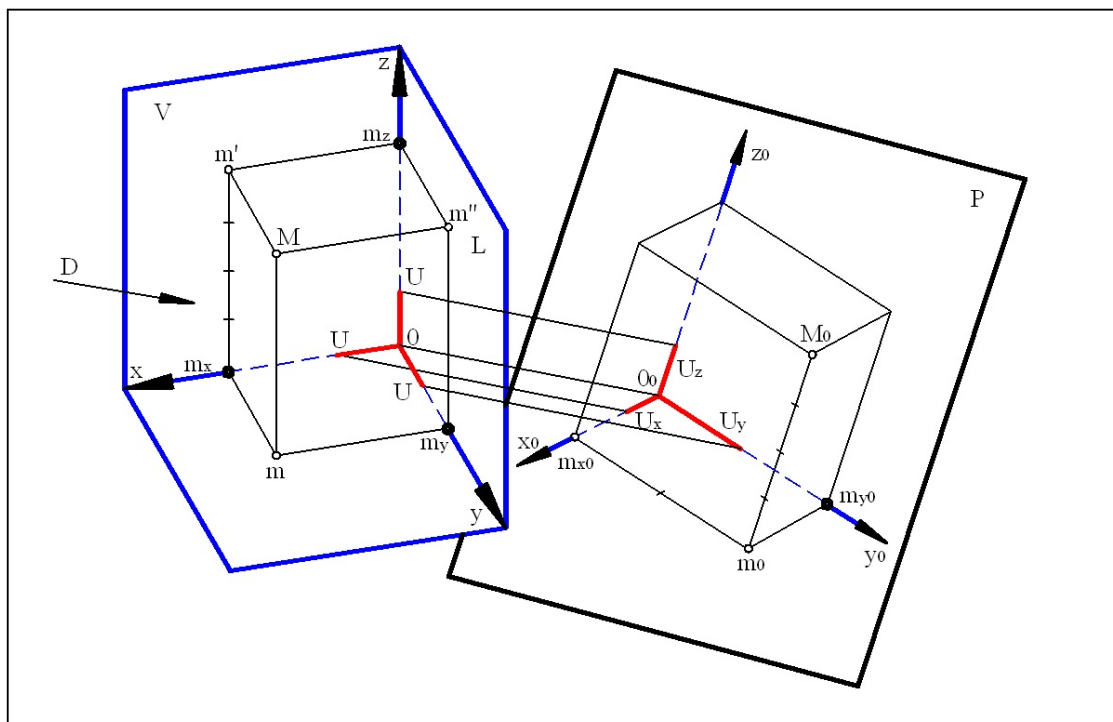


Fig.9.5.Sistemul axonometric oblic.

Se dă în figura 9.5, sistemul de referință alcătuit din planele  $H$ ,  $V$  și  $L$  cu axele  $Ox$ ,  $Oy$  și  $Oz$ ,  $D$  direcția de proiecție,  $P$  planul de proiecție și un paralelipiped dreptunghic așezat cu trei din muchiile lui pe cele trei axe, având dimensiunile **3**, **2** și **4** unități; se mai ia punctul  $M$ , vârful opus originii sistemului de referință.

Pentru a construi proiecția acestui paralelipiped pe planul  $P$  după direcția  $D$  sunt necesare numai proiecțiile celor trei axe de coordonate și proiecțiile segmentelor unitate de pe fiecare axă.

Se dau  $O_0x_0$ ,  $O_0y_0$  și  $O_0z_0$  proiecțiile pe planul  $P$  după direcția  $D$  a celor trei axe  $Ox$ ,  $Oy$  și  $Oz$ , iar  $u_x$ ,  $u_y$  și  $u_z$  proiecțiile unităților. Acestea din urmă apar în proiecție inegale, datorită atât înclinării direcției de proiecție cât și pozițiilor diferite ale axelor față de planul de proiecție. Vârful  $M$  de coordonate **(3, 2, 4)** va avea ca proiecție pe planul  $P$  un punct  $M_0$ , care se poate obține direct ținând seama de noile unități  $u_x$ ,  $u_y$  și  $u_z$ .

Se măsoară pe axa  $O_0x_0$ , de la origine în sensul pozitiv, trei unități  $u_x$  corespunzătoare abscisei punctului și se obține  $m_{x0}$ . Pe o paralelă la axa  $O_0y_0$  (dusă prin  $m_{x0}$ ) se așează două unități  $u_y$ , ordonata punctului, și se determină punctul  $m_0$  (proiecția după direcția  $D$  pe planul  $P$  a punctului  $m$  din planul  $xOy$ ). Pe o paralelă la axa  $O_0z_0$  dusă prin  $m_0$  ( $Mm$  este paralelă cu  $Oz$ ) măsurând patru unități  $u_z$  cota punctului, se determină  $M_0$  (proiecția pe planul  $P$  a punctului  $M$ ). În mod analog se determină apoi proiecțiile după direcția  $D$  a tuturor vârfurilor paralelipedului.

Proiecția paralelipipedului obținută pe planul  $P$  prezintă două **avantaje**:

- trei din fețele acestuia apar vizibile, deci o imagine suficient de intuitivă;
- apare posibilitatea de a măsura direct pe desen, cu unitățile proiectate corespunzătoare axelor, dimensiunile liniare ce caracterizează obiectul (lungimea, lățimea, înălțimea).

Imaginile plane ale corpurilor din spațiu obținute prin folosirea celor trei axe de coordonate proiectate pe un plan și a unităților corespunzătoare se numesc imagini axonometrice sau proiecții axonometrice, iar metoda care se bazează pe procedeele descrise, metodă axonometrică.

Planul de proiecție  $P$  se numește *tablou axonometric*. Proiecțiile  $O_0x_0$ ,  $O_0y_0$  și  $O_0z_0$  pe planul  $P$ , ale axelor de coordonate  $Ox$ ,  $Oy$  și  $Oz$ , se numesc axe *image* sau axe *axonometrice*, iar  $u_x$ ,  $u_y$  și  $u_z$  se numesc *unități image* sau *unități axonometrice*.

Este de remarcat că imaginea  $M_0$  a punctului  $M$  din spațiu luată singură față de sistemul  $x_0, y_0, z_0$  (figura 9.6.a) nu este suficientă pentru determinarea coordonatelor acestuia, pentru că nu există posibilitatea de a-l raporta la cele trei axe image  $O_0x_0$ ,  $O_0y_0$  și  $O_0z_0$ . Dacă, însă, alături de proiecția  $M_0$ , se mai figurează pe tabloul axonometric, spre exemplu, și imaginea axonometrică  $m_0$  a proiecției orizontale  $m$  a punctului (figura 9.6.b), poziția acestuia devine bine determinată, întrucât raportând pe  $m_0$  la cele două axe image  $O_0x_0$  și  $O_0y_0$  se obțin în  $O_0m_{x_0}$  și  $O_0m_{y_0}$  abscisa respectiv depărtarea punctului, în timp ce segmentul  $M_0m_0$  măsoară chiar cota acestuia.

În funcție de sistemul de proiecție folosit pentru obținerea axelor image, se deosebesc *trei tipuri de proiecții axonometrice*:

- **axonometria oblică**, care folosește proiecția după o direcție  $D$ , oblică față de tabloul axonometric  $P$  (figura 9.5);
- **axonometria ortogonală**, în care direcția de proiecție  $D$  este perpendiculară pe tabloul axonometric  $P$ ;
- **axonometria conică sau centrală**, care utilizează proiecția conică.

Indiferent de felul proiecției, ținând seama și de poziția pe care o poate avea tabloul axonometric față de axele de coordonate  $Ox$ ,  $Oy$  și  $Oz$  se disting trei aspecte:

Dacă tabloul este paralel cu una din cele trei axe, și anume cu  $Oz$ , rezultă că el este un plan vertical, de unde denumirea de *axonometrie verticală*.

Dacă tabloul este paralel cu două din axe, spre exemplu cu axele  $Ox$  și  $Oz$ , atunci față de sistemul de referință tabloul apare ca un plan frontal și axonometria se numește *frontală*. Dacă tabloul este paralel cu axele  $Ox$  și  $Oy$ , deci paralel cu planul  $xOy$  de referință, axonometria se numește *orizontală*; În cazul tabloului paralel cu axele  $Oy$  și  $Oz$ , se obține *axonometria laterală sau de profil*, asemănătoare cu cea frontală.

Dacă tabloul este înclinat față de cele trei axe, axonometria este *oarecare*.

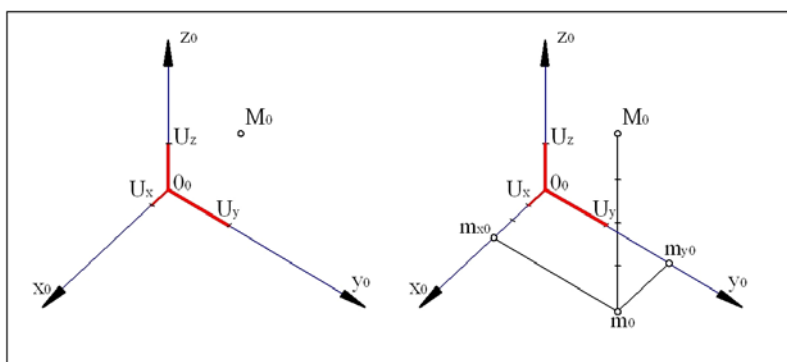


Fig.9.6.a.b. Punctul  $M$  nedefinit (a) și determinat prin  $m_0$  (b).

Unitățile scărilor de pe axele paralele cu tabloul axonometric apar proiectate oblic sau ortogonal pe acesta în adevărată mărime, iar cele de pe axele oblice sau perpendiculare față de tablou se proiectează deformate în funcție de felul proiecției și de înclinările axelor.

**Proiecțiile axonometrice oblice și cele ortogonale se clasifică, dacă se ține seama**

de mărimile unităților imagine  $u_x$ ,  $u_y$  și  $u_z$  în:

- **izometrice**, când unitățile imagine apar egale pe cele trei axe imagine;
- **dimetrice**, dacă două din unitățile imagine sunt egale și diferite de a treia;
- **anizometrice** sau **trimetrice**, când cele trei unități imagine sunt diferite ca mărime.

Pentru construirea imaginii axonometrice a unui obiect oarecare trebuie cunoscute: dispoziția și dimensiunile elementelor care compun obiectul; poziția lui față de un sistem de referință determinat de trei axe rectangulare; sistemul de axe imagine și unitățile respective obținute prin proiecția oblică sau ortogonală a sistemului de referință în care s-a fixat obiectul.

Primele două condiții se realizează prin reprezentarea atât a obiectului cât și a sistemului de referință în dubla proiecție ortogonală.

Alegerea axelor imagine și determinarea unităților depind de felul proiecției și de pozițiile celor trei axe față de tabloul axonometric. Cum în general, tabloul se ia înclinat față de  $OX$ ,  $OY$  și  $OZ$ , acesta este intersectat de cele trei axe, respectiv în punctele  $A$ ,  $B$  și  $C$  (figura 9.7). Dreptele care unesc două câte două aceste puncte sunt de fapt urmele fețelor triedrului determinat de cele trei axe de coordonate și formează un triunghi ce se numește *triunghi urmă sau triunghi axonometric*.

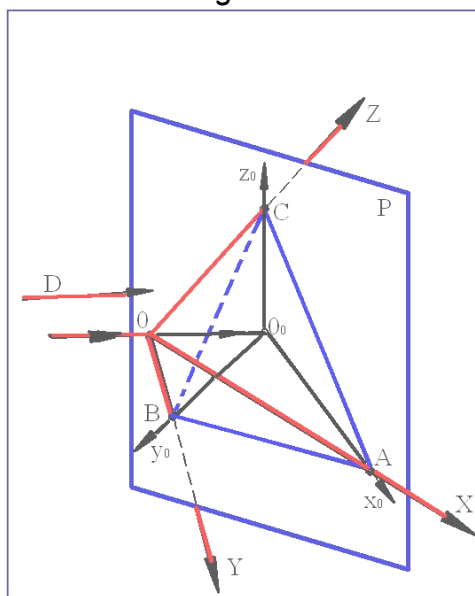


Fig.9.7. Sistem axonometric ortogonal.

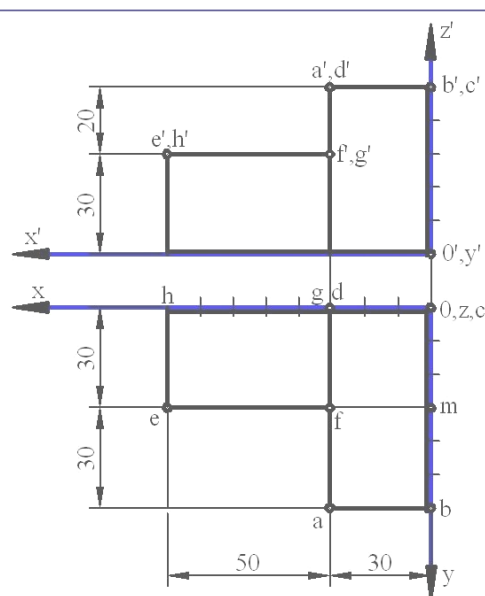


Fig.9.8. Clădire în epură.

Unind vârfurile  $A$ ,  $B$  și  $C$  ale acestui triunghi cu  $O_0$ , proiecția pe planul  $P$  după direcția  $D$  aleasă, a originii celor trei axe, se obțin în  $O_0A$ ,  $O_0B$  și  $O_0C$  respectiv cele trei axe imagine  $O_0x_0$ ,  $O_0y_0$  și  $O_0z_0$ . Axele imagine pot forma între ele unghiuri variind de la  $0^\circ$  la  $180^\circ$ , întrucât prin proiecția cilindrică, unghiurile apar deformate între aceste limite.

Cum în reprezentările axonometrice interesează mai ales aspectul de volum al obiectului și nu imaginea lui corespunzătoare unei anumite direcții de proiecție fixată față de obiect, se alege de la început un sistem de axe imagine după dorință, acest lucru fiind posibil deoarece oricărui sistem ales în planul  $P$  îi corespunde la orice direcție oblică de proiectare  $D$  un sistem de trei axe rectangulare în spațiu. În practică acest sistem imagine, luat oricum, se așează astfel încât axa imagine  $O_0z_0$  după care se măsoară înălțimile să fie verticală (paralelă cu marginea laterală a hârtiei), celelalte două axe imagine  $O_0x_0$  și  $O_0y_0$  făcând unghiuri cu  $O_0z_0$  cuprinse între  $0^\circ$  și  $180^\circ$  la alegere.

În ce privește succesiunea construcțiilor grafice care trebuie executate în vederea obținerii unei proiecții axonometrice, se recomandă următorul procedeu:

Se dă o clădire oarecare, în dublă proiecție ortogonală (figura 9.8). Dacă se urmărește

## Geometrie descriptivă

obținerea unei imagini în care să se vadă zidurile verticale proiectate după **he**, **ef**, **fa** și **ab**, se fixează clădirea într-un triedru dreptunghic astfel ca zidul **hc** să corespundă planului **xOz**, iar originea să coincidă cu **c** (în proiecție orizontală).

Se iau **O<sub>0</sub>x<sub>0</sub>**, **O<sub>0</sub>y<sub>0</sub>** și **O<sub>0</sub>z<sub>0</sub>** axele imagine și **u<sub>x</sub>**, **u<sub>y</sub>** și **u<sub>z</sub>** unitățile imagine respective (figura 9.9.a), luate arbitrar și corespunzând proiecției la o direcție de proiecție oblică oarecare pe un tablou axonometric al sistemului de referință fixat față de clădire.

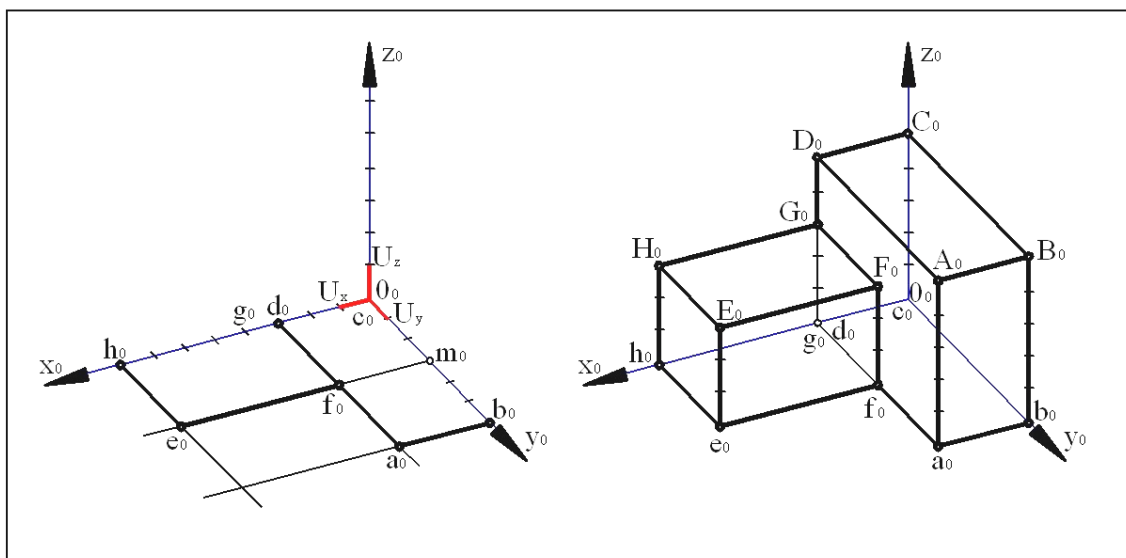


Fig.9.9. Construcția axonometriei.

Știind că, pentru a fi determinat, orice punct din spațiu trebuie să fie însoțit și de proiecția lui ortogonală pe planul **xOy**, este bine ca pentru obținerea imaginii clădirii în reprezentarea axonometrică să se reprezinte pe planul axonometric întâi „planul clădirii” (proiecția ortogonală a clădirii pe planul **xOy**), urmând ca după aceea în funcție de „planul” reprezentat și de cotele diverselor puncte măsurate pe paralelele la axa imagine **O<sub>0</sub>z<sub>0</sub>** să rezulte și proiecțiile axonometrice ale punctelor corespunzătoare din spațiu.

Se raportează deci în dubla proiecție ortogonală (vezi figura 9.8) toate punctele planului față de cele două axe **Ox**, **O'x'** și **Oy**, **O'y'** și se obțin pe axa **Ox** punctele **h**, **g**, **d** și **c**, iar pe **Oy** punctele **c**, **m** și **b**. Aceste puncte se pot situa pe axele imagine **O<sub>0</sub>x<sub>0</sub>**, **O<sub>0</sub>y<sub>0</sub>** folosind unitățile imagine respective **u<sub>x</sub>** și **u<sub>y</sub>** (figura 9.9.a). Paralelele duse prin **d<sub>0</sub>**, **g<sub>0</sub>** și **h<sub>0</sub>** la axa imagine **O<sub>0</sub>y<sub>0</sub>** și cele duse prin **m<sub>0</sub>** și **b<sub>0</sub>** la axa imagine **O<sub>0</sub>x<sub>0</sub>** determină două rețele de drepte pe baza cărora se desenează „planul clădirii” proiectat axonometric.

Ducând în planul axonometric (figura 9.9.b) din punctele **a<sub>0</sub>**, **b<sub>0</sub>**, **c<sub>0</sub>** și **d<sub>0</sub>** paralele la axa imagine **O<sub>0</sub>z<sub>0</sub>** și măsurând pe acestea câte cinci unități uz corespunzătoare cotei de cinci unități **u**, se obțin punctele **A<sub>0</sub>**, **B<sub>0</sub>**, **C<sub>0</sub>** și **D<sub>0</sub>**; analog, se obțin punctele **E<sub>0</sub>**, **F<sub>0</sub>**, **G<sub>0</sub>** și **H<sub>0</sub>**. Unind punctele din spațiu astfel obținute în ordinea punctelor din planul **x<sub>0</sub>O<sub>0</sub>y<sub>0</sub>**, rezultă imaginea axonometrică a clădirii cu fețele orizontale **A<sub>0</sub>B<sub>0</sub>C<sub>0</sub>D<sub>0</sub>** și **E<sub>0</sub>F<sub>0</sub>G<sub>0</sub>H<sub>0</sub>** văzute.

### O problemă importantă în axonometrie este și aceea a vizibilității.

Proiectând obiectul ce trebuie reprezentat și sistemul de axe **OXYZ** după direcția **D** pe planul **P**, imaginea obiectului poate avea două aspecte, după cum observatorul care privește „de-a lungul” direcției **D** este situat de o parte sau de cealaltă a tabloului axonometric (figura 9.10). Aceasta presupune însă o anumită orientare a triedrului dreptunghic determinat de cele trei axe.



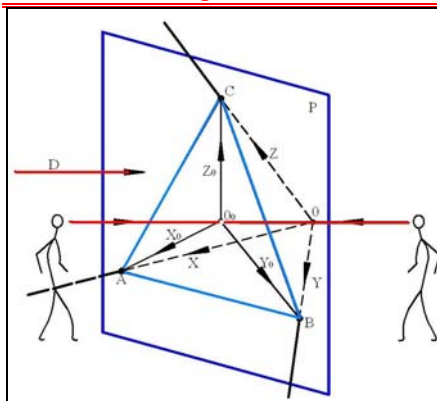


Fig.9.10. Vizibilitatea.

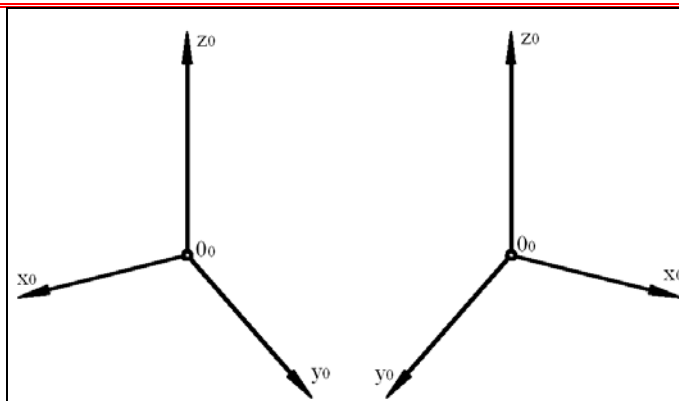


Fig.9.11.a.b. Poziția axelor.

Se consideră că cele trei axe  $OX$ ,  $OY$  și  $OZ$  au sensurile pozitive de la origine către urmele lor respective  $A$ ,  $B$  și  $C$  pe tabloul axonometric, iar triedrul determinat de axele pozitive corespunde diedrului întâi din dubla proiecție ortogonală.

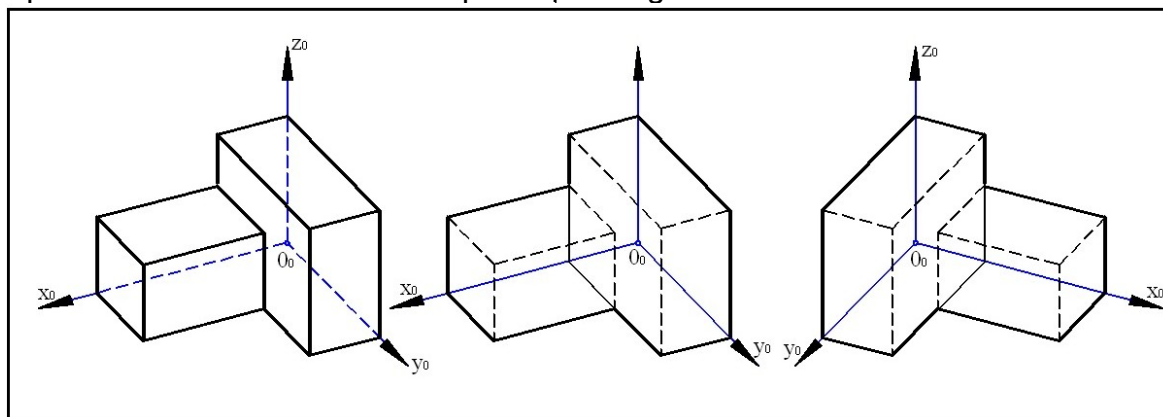


Fig.9.12.a.b.c. Vederi diferite.

Observatorul fiind situat în acest triedru (figura 9.10 și figura 9.11.a), va privi obiectul de sus, din față și din dreapta lui, deoarece observatorul se găsește deasupra planului orizontal, în fața planului vertical și la dreapta planului lateral de referință. Luând în tabloul axonometric axa imagine  $O_0z_0$  verticală și de sens pozitiv în sus, atunci axa imagine  $O_0x_0$  de sens pozitiv se va găsi la stânga axei imagine  $O_0y_0$ .

Privind obiectul de-a lungul direcției  $D$  din partea opusă (figura 9.10 și figura 9.11.b), deci din afara triedrului pozitiv, se va obține o imagine a obiectului, de jos, din spate și din stânga obiectului. Considerând și de data aceasta axa imagine  $O_0z_0$  verticală cu sensul pozitiv în sus, axa imagine  $O_0x_0$  de sens pozitiv se va găsi la dreapta axei  $O_0y_0$ .

În primul caz originea triedrului dreptunghic din spațiu este în spatele tabloului, iar în cazul al doilea, în fața lui.

Imaginea din figura 9.12.a corespunde, unei vederi de sus, din față și din dreapta clădirii. Pentru a obține imaginea din sensul opus aceleiași direcții de privire (de jos, din spate și din stânga clădirii), se întoarce întâi tabloul astfel ca sensul pozitiv al axei imagine  $O_0x_0$  să fie de la stânga spre dreapta observatorului (figura 9.12.c), așa cum privește de fapt observatorul această axă în spațiu (figura 9.10) și apoi se întăresc muchiile corespunzătoare celor care apar invizibile în cazul întâi, și invers, se desenează cu linii întrerupte muchiile care au fost vizibile.

Dacă se trasează în figura 9.12.a, fără a se schimba poziția axelor, muchiile vizibile ca invizibile și invers (fig. 9.12.b), se obține imaginea clădirii văzută într-o oglindă situată în spatele ei și paralelă cu tabloul, deci o imagine inversată.



## 9.2. Axonometria oblică

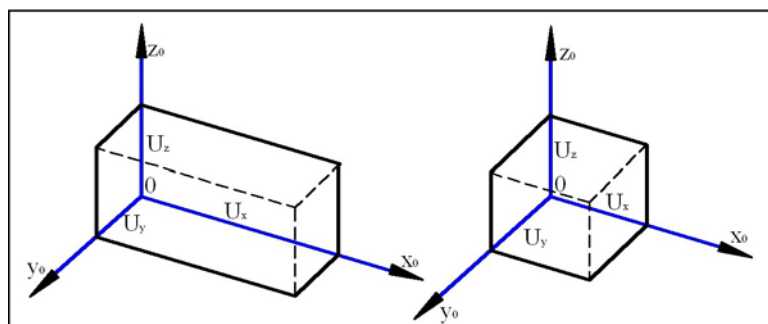


Fig.9.13.a.b. Cubul în sisteme diferite.

În axonometria oblică, întotdeauna se pot lua într-un plan  $P$  considerat ca tablou axonometric, trei axe imagine concurente într-un punct și pe acestea, din punctul lor de intersecție, niște segmente unitate luate arbitrar ca mărime. Acest lucru este posibil deoarece sistemul de axe imagine cu unitățile respective poate fi considerat ca fiind proiecția oblică după o anumită direcție  $D$  pe planul  $P$ , a unui sistem rectangular de trei axe din spațiu și a unităților sale.

Există deci libertatea de a alege în axonometria oblică trei axe imagine cu unitățile imagine diferite, după voie.

Această libertate trebuie însă restrânsă, întrucât, așa cum se vede în figura 9.13.a, reprezentând un cub într-un sistem imagine având diferențe mari între mărimile unităților sale, imaginea cubului nu este naturală, nu redă aspectul unui cub deși, o asemenea reprezentare este teoretic posibilă. Imaginea cubului va fi mai naturală dacă pe același sistem de axe imagine se vor folosi unități imagine diferite, dar de mărimi apropiate între ele, ca în figura 9.13.b.

### 9.2.1. Axonometria oblică oarecare

Axonometria oblică, în care sistemul de axe imagine se obține prin proiecția oblică a sistemului de trei axe rectangulare  $OXYZ$  după o direcție  $D$  oarecare pe un plan  $P$ , este cea mai generală. Având o imagine axonometrică obținută cu ajutorul unui anumit sistem de axe imagine, se poate trece la o altă imagine mai convenabilă din punctul de vedere al aspectului pe care-l prezintă.

În figura 9.14 s-a reluat, pentru exemplificare, clădirea dată în dublă proiecție ortogonală în figura 9.8, reprezentată în două sisteme de axe imagine diferite.

### 9.2.2. Axonometria oblică frontală

În axonometria oblică frontală, sistemul de axe imagine se obține proiectând oblic sistemul de trei axe rectangulare  $OXYZ$ , pe un plan de front sau chiar pe planul vertical  $XOZ$  al acestui sistem de referință (fig. 9.15.a.b).

Rezultă că axele imagine  $O_0x_0$  și  $O_0z_0$  (proiecțiile după direcția  $D$  pe tabloul  $P$  a axelor  $OX$  și  $OZ$ , paralele cu tabloul) fac între ele un unghi de  $90^\circ$ , în timp ce axa imagine  $O_0y_0$  apare după o direcție oarecare, care depinde de direcția de proiectare oblică aleasă. Axa  $O_0y_0$  se obține unind punctul  $B$ , urma axei  $OY$  pe planul  $P$ , cu  $O_0$ , proiecția oblică pe tabloul axonometric a originii sistemului de axe din spațiu. Se recomandă ca direcția de proiectare oblică să se ia astfel ca axa  $O_0y_0$  să rezulte după biseectoarea unghiului de  $90^\circ$  făcut de axele  $O_0x_0$  și  $O_0z_0$ .

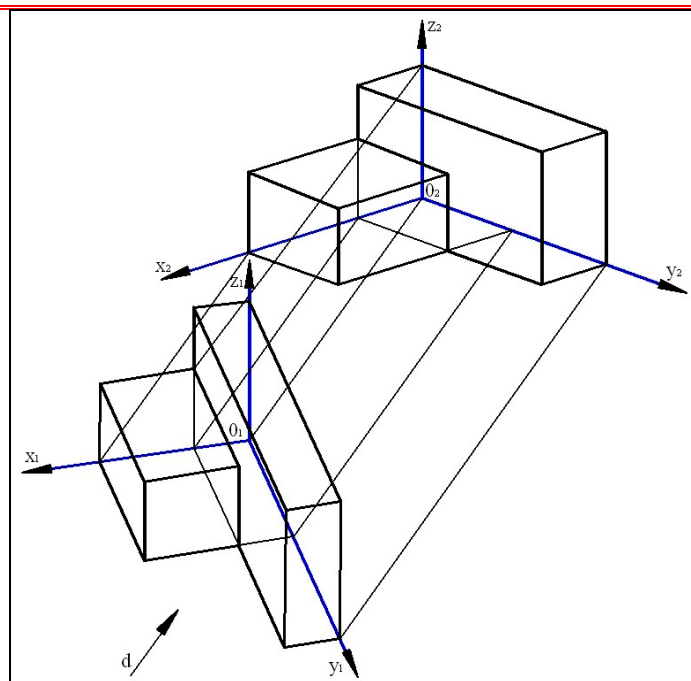


Fig.9.14. Schimbarea sistemului.

Întrucât pe cele două axe imagine  $O_0x_0$  și  $O_0z_0$  unitățile imagine apar egale cu cele din spațiu, și numai cea de pe axa imagine  $O_0y_0$  poate fi luată arbitrar, standardul recomandă ca pe  $O_0y_0$  să se folosească o unitate imagine, fie egală cu cele de pe  $O_0x_0$  și  $O_0z_0$  și atunci se obține o axonometrie izometrică (figura 9.16.a), fie redusă pe jumătate și în acest caz se ajunge la o reprezentare a obiectului în axonometria dimetrică (figura 9.16.b).

În figura 9.17 se arată cum se reprezintă clădirea din figura 9.8, conform procedurii recomandată, în cele două sisteme standardizate (scara după  $Oy$ , 1:1 și 1:2) ale axonometriei frontale. Se vede că imaginea obținută în al doilea caz (figura 9.17.b) este mai naturală.

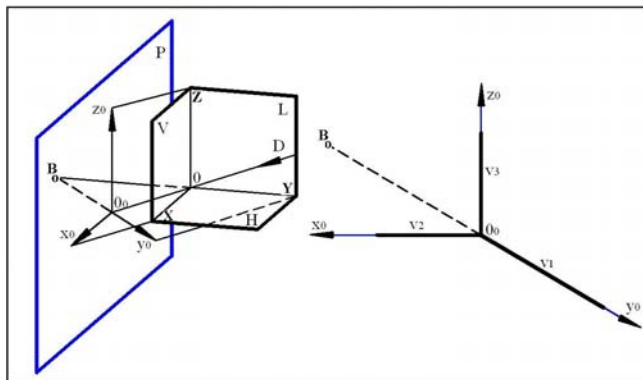


Fig.9.15. Ax.oblică frontală.

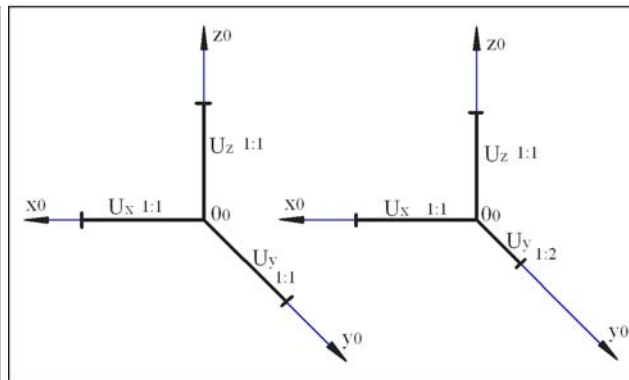


Fig.9.16. Ax.oblică frontală izometrică și dimetrică.

### 9.2.3. Axonometria oblică orizontală

În axonometria oblică orizontală, proiecția oblică a sistemului  $OXYZ$  din spațiu se face pe un plan de nivel sau chiar pe planul  $XOY$  al acestui sistem de referință (figura 9.18.a.b). De data aceasta axele imagine  $O_0x_0$  și  $O_0y_0$  (proiecțiile după direcția  $D$  pe planul  $P$  a axelor  $OX$  și  $OY$ , paralele cu  $P$ ) fac între ele un unghi de  $90^\circ$ , în timp ce axa imagine  $O_0z_0$ , care depinde de direcția de proiectare oblică aleasă, se obține unind punctul  $C$ , urma axei  $OZ$  pe planul  $P$ , cu  $O_0$ , proiecția oblică pe tabloul axonometric a originii sistemului de axe din spațiu.

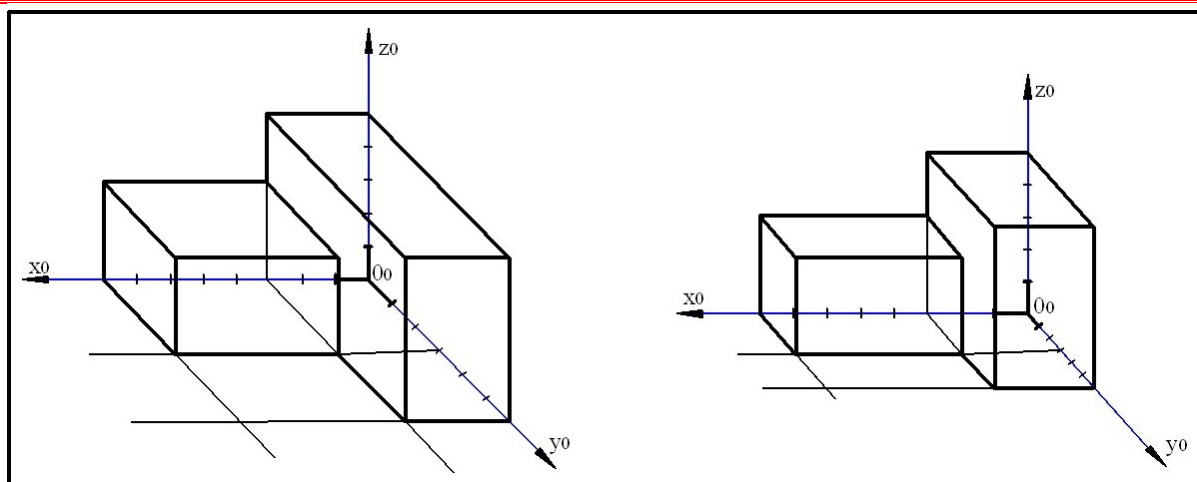


Fig.9.17. Clădirea în ax. oblică frontală izometrică și dimetrică.

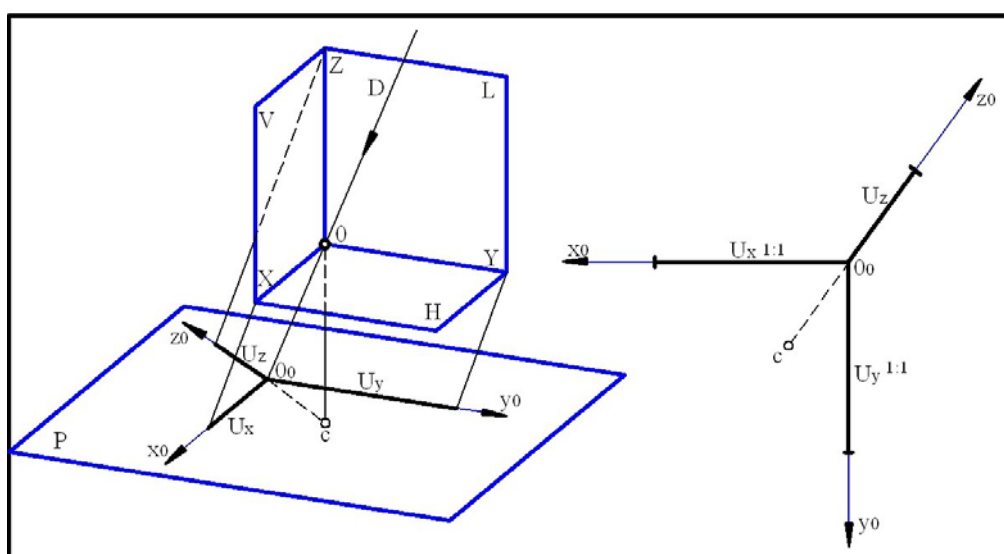


Fig.9.18. Ax. oblică orizontală

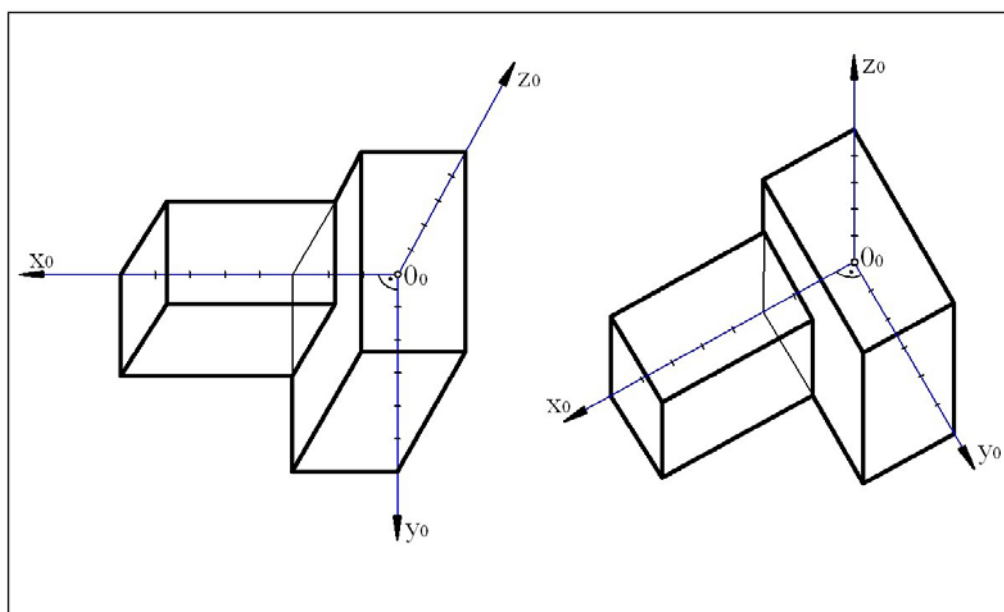
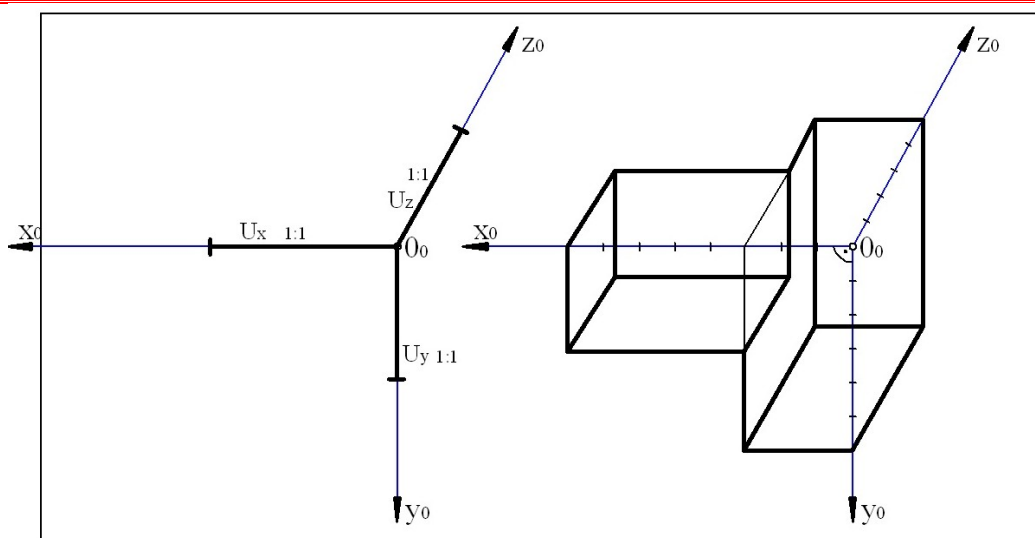


Fig.9.19.a.b. Poziția axelor în ax. oblică orizontală



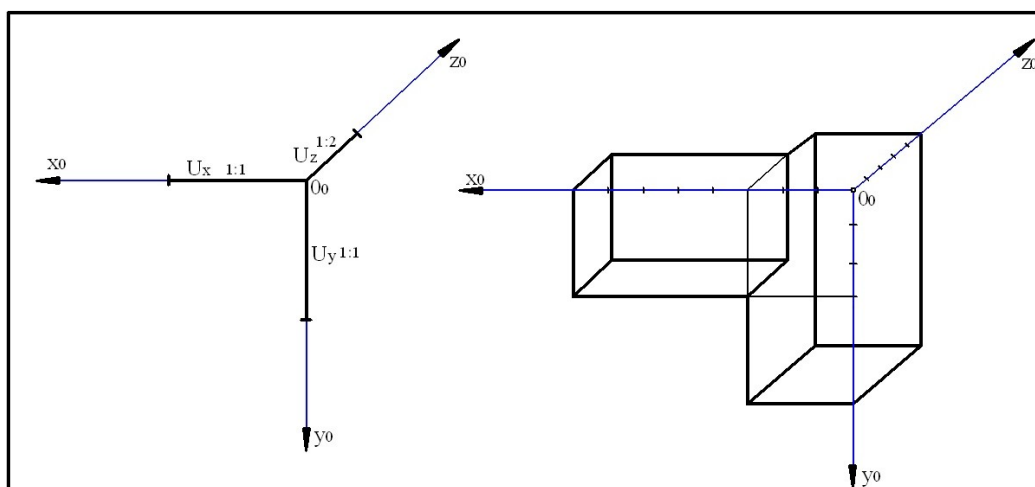
**Fig.9.20. Clădirea în ax. oblică orizontală izometrică.**

Pentru a reprezenta clădirea din figura 9.8, în axonometria oblică orizontală, se procedează astfel: se așează întâi „planul clădirii” în adevărată mărime ca în figura 9.19.a; apoi folosind o direcție oarecare pentru axa imagine  $O_0z_0$  (oblică față de  $O_0x_0$ ) și pe ea unitatea scării de măsură arbitrară, se determină imaginea volumului. Pentru construirea imaginii se folosește calea utilizată și în cazurile anterioare.

Imaginea axonometrică oblică orizontală se poate obține și cu axa imagine  $O_0z_0$  verticală, numai că de data aceasta „planul clădirii”, în adevărată mărime, trebuie luat cu laturile lui înclinate la un unghi oarecare față de marginea hârtiei (figura 9.19.b).

Prin analogie cu axonometria frontală, și în axonometria oblică orizontală construcțiile grafice se simplifică dacă axa imagine  $O_0z_0$  se ia după bisectoarea unghiului de  $90^\circ$  făcut de axele imaginare  $O_0x_0$  și  $O_0y_0$ .

Utilizând unități imagine egale cu unitatea din spațiu, obținem o axonometrie izometrică (figura 9.20.a.b); utilizând unități pe axa  $O_0z_0$  reduse pe jumătate față de cele de pe  $O_0x_0$  și  $O_0y_0$  obținem o axonometrie dimetrică (figura 9.21).



**Fig.9.21. Clădirea în ax. oblică orizontală dimetrică.**

## 9.3. Axonometria ortogonală

### 9.3.1. Generalități

Spre deosebire de axonometria oblică, unde într-un sistem de axe imagine dat se pot lua unități imagine după voie, în axonometria ortogonală unitățile imagine trebuie determinate. Aceasta se datorează faptului că în axonometria ortogonală, întrucât direcția de proiecție este perpendiculară pe tabloul axonometric, imaginile axonometrice ale obiectelor apar deformate numai datorită înclinării față de tabloul axonometric, a elementelor geometrice ce le compun.

Se știe că proiecția unui segment **AB** (figura 9.22) este

$$ab = AB \cos \alpha = AB \cdot \cos \alpha$$

În consecință, unitățile imagine, care sunt proiecțiile unității **U** luate pe cele trei axe **OX**, **OY** și **OZ**, depind de unghiurile  $\alpha$ ,  $\beta$  și  $\delta$  pe care le fac respectiv cele trei axe din spațiu cu tabloul axonometric (figura 9.23) și au valorile:

$$u_x = U \cos \alpha, \quad u_y = U \cos \beta \quad \text{și} \quad u_z = U \cos \delta$$

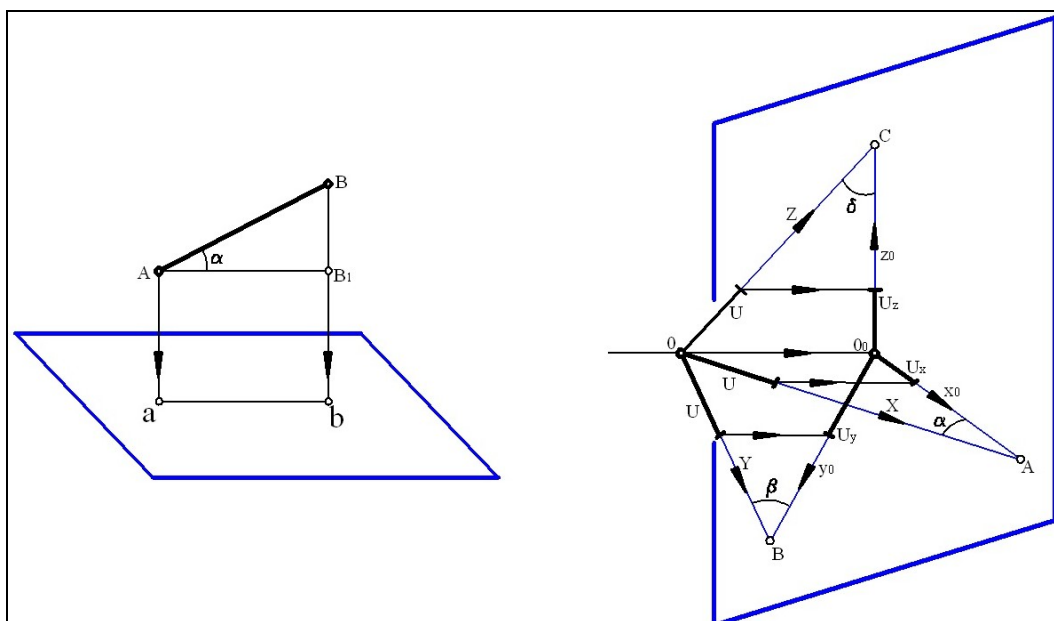


Fig.9.22. Proiecția segmentului AB.

Fig.9.23. Proiecția axelor.

În axonometria ortogonală  $\cos \alpha$ ,  $\cos \beta$ ,  $\cos \delta$  se numesc **coeficienți de reducere**, deoarece ei au totdeauna valoarea mai mică decât unitatea și deci proiecțiile ortogonale ale unității **U** așezate pe cele trei axe sunt întotdeauna mai mici sau cel mult egale cu unitatea din spațiu.

De aici rezultă că unitățile imagine sunt proporționale cu coeficienții de reducere corespunzători axelor.

În axonometria ortogonală, coeficienții de reducere nu pot fi luați arbitrar, între ei există relația de legătură

$$\cos^2 \alpha + \cos^2 \beta + \cos^2 \delta = 2 ;$$

deci dacă doi dintre coeficienți se iau arbitrar, al treilea rezultă.

Practic unitățile imagine se pot determina grafic pe baza unor proprietăți geometrice ale triedrului dreptunghic din spațiu și a triunghiului urmă **ABC**.

### 9.3.2. Axonometria izometrică, dimetrică și anizometrică

Așa cum s-a mai arătat, dacă se ține seama de unghiurile pe care cele trei axe rectangulare **OX**, **OY** și **OZ** le pot face cu tabloul axonometric, axonometria ortogonală poate fi izometrică, dimetrică sau anizometrică.

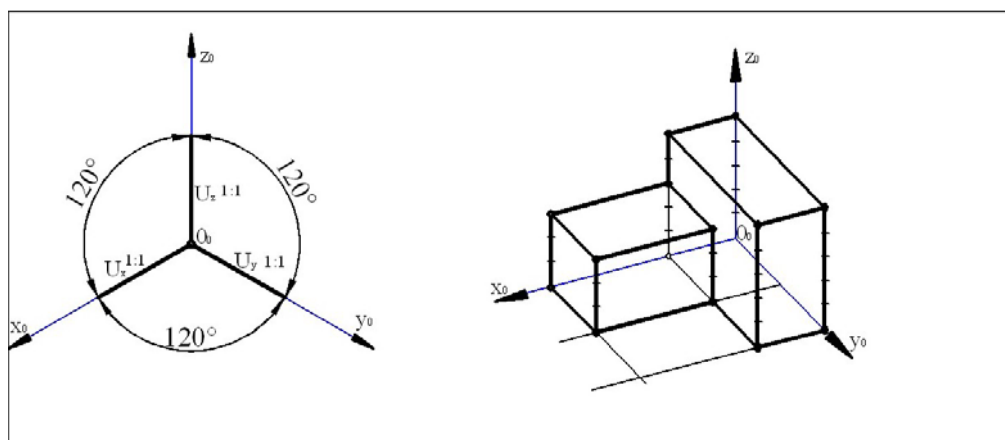


Fig. 9.24. Poziția axelor în ax. ortogonală izometrică.

a) **Axonometria este izometrică, dacă cele trei axe OX, OY și OZ fac unghiuri egale cu tabloul axonometric.** În acest caz, axele imagine  $O_0x_0$ ,  $O_0y_0$  și  $O_0z_0$  fac între ele unghiuri de  $120^\circ$ , iar triunghiul urmă este echilateral (figura 9.24.a). Rezultă că și cele trei unități imagine sunt egale între ele, adică:  $ux = uy = uz$ .

Mărimea unităților imagine este dată de relația dintre coeficienții de reducere astfel: deoarece  $\cos \alpha = \cos \beta = \cos \delta$ , rezultă

$$3 \cos^2 \alpha = 2 \text{ sau } \cos \alpha = \sqrt{2/3} = \sim 0,82, \text{ deci } ux = uy = uz = \sim 0,82 U.$$

Practic, unitățile imagine se iau în adevărată mărime, obținându-se o imagine axonometrică mai mare dar omotetică cu cea construită pe baza unităților imagine reale.

În figura 9.24.b este reprezentată în axonometria izometrică clădirea din figura 9.8.

b) **Axonometria este dimetrică, dacă două din axele triedrului OXYZ au aceeași înclinare, iar a treia diferită.** În acest caz triunghiul axonometric este isoscel.

Rezultă, deci, aceeași scară pentru cele două axe care sunt simetrice față de a treia, pe care scara este diferită. Normele recomandă să se ia unghiurile între axe ca în figura 9.25.a, având unitățile imagine egale cu unitatea, pe axele imagine  $O_0x_0$  și  $O_0z_0$  și pe jumătate pe cea de-a treia axă  $O_0y_0$ .

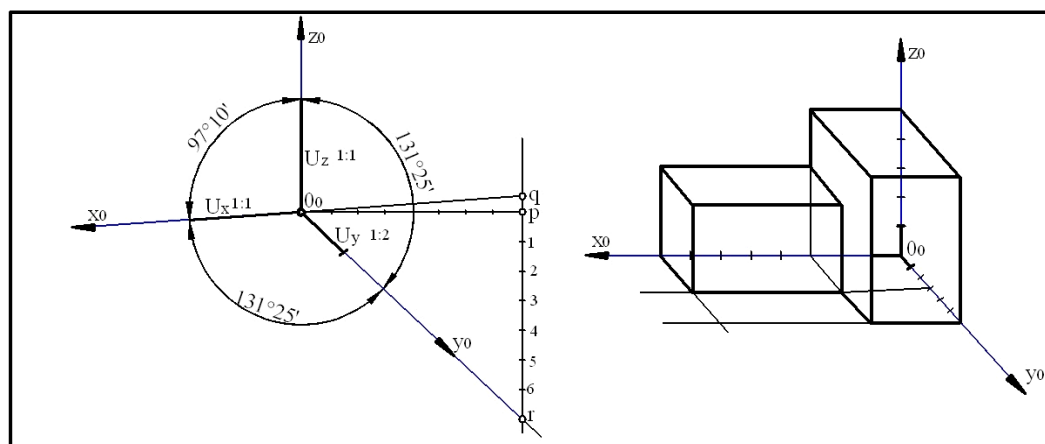


Fig. 9.25. Poziția axelor în ax. ortogonală dimetrică.

Practic, în acest caz, pentru construirea axelor imagine se procedează astfel: Se ia axa imagine  $O_0z_0$  verticală (fig. 9.25, a). Pe o perpendiculară la această axă dusă prin  $O_0$  se iau opt unități la dreapta lui  $O_0$ , și se obține un punct  $p$ . Pe o paralelă la axa  $O_0z_0$  dusă prin  $p$  luând o unitate de la acest punct în sus și șapte unități în jos, se obțin punctele  $q$  și  $r$ . Unind pe  $q$  și  $r$  cu  $O_0$  se obțin axele  $O_0x_0$  respectiv  $O_0y_0$ . În figura 9.25.b, este reprezentată în axonometria ortogonală dimetrică **1:1, 1:2, 1:1**, clădirea din figura 9.8.

**c) Axonometria este anizometrică, dacă axele triedrului  $OXYZ$  au înclinări diferite.** Axele imagine  $O_0x_0$ ,  $O_0y_0$  și  $O_0z_0$  fac unghiuri inegale, iar triunghiul urmă este oarecare. Rezultă că scările sunt diferite.

## 9.4. Aplicații

În reprezentările care urmează fiecare imagine a obiectului se va însoți de sistemul de axe imagine și de scările corespunzătoare axelor utilizate pentru construirea imaginilor.

### 1. Reprezentarea unei clădiri în axonometria oblică izometrică

Se dă o clădire în dublă proiecție ortogonală (figura 9.26.a). Pentru ca fețele verticale **ab**, **rskl**, **ijef**, **tm**, **fg**, **bkec** să fie văzute, se alege sistemul de axe imagine  $xOy$  cu  $Ox$  suprapus pe latura **pr** și  $Oy$  pe **hg** (corpul de clădire să se găsească în triedrul I).

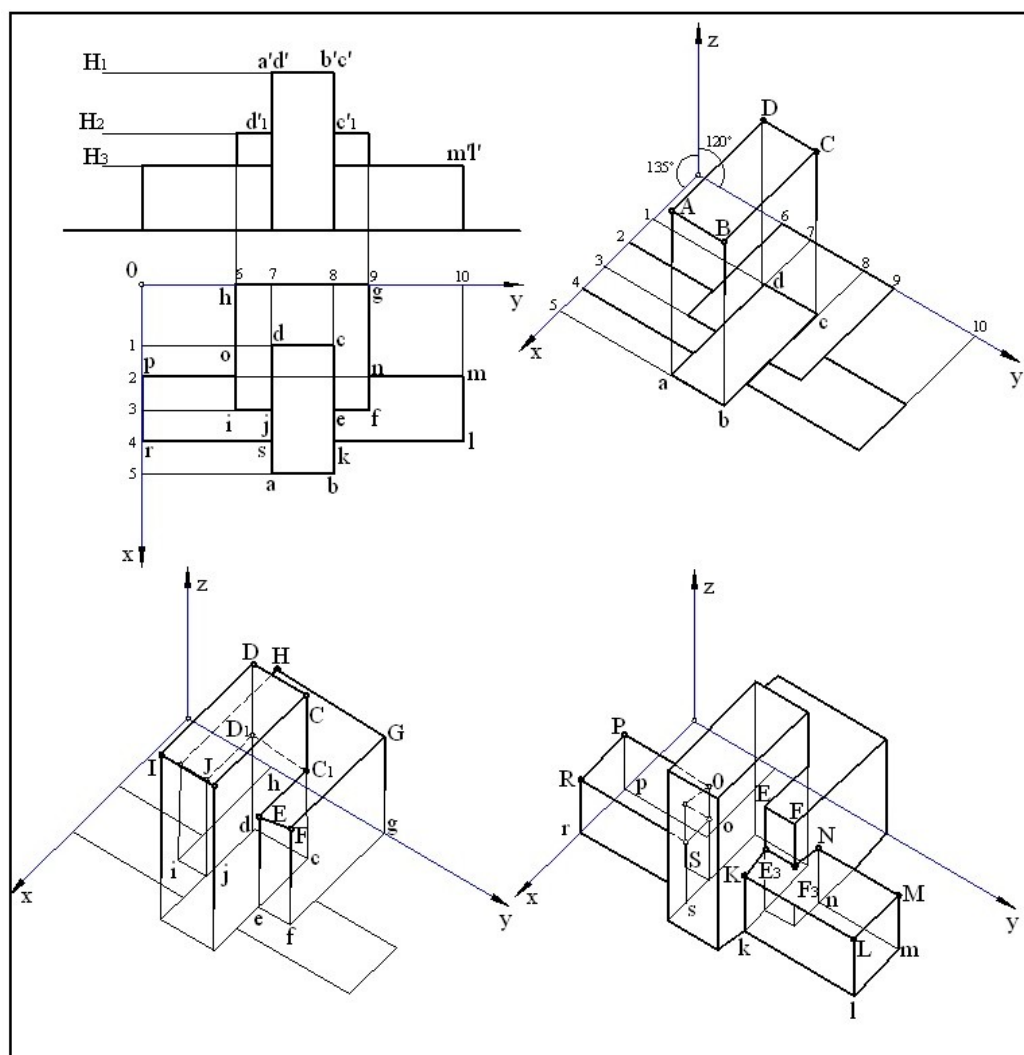


Fig. 9.26. Aplicația 1.



Un sistem de axe imagine utilizat foarte des în practică este cel în care axele imagine fac unghiuri de  $105^\circ$ ,  $120^\circ$  respectiv  $135^\circ$ , deoarece, în cazul fixării axei **Oz** în poziție verticală, celelalte două direcții ale axelor imagine **Ox** respectiv **Oy** pot fi trasate cu echerile la  $30^\circ$  și  $45^\circ$ . În figura 9.26 s-a luat un astfel de sistem de axe imagine.

Deoarece reprezentarea se face în axonometria oblică unitățile pot fi luate în adevărata mărime. Imaginea axonometrică se poate obține respectând procedeul amintit.

Ducând prin toate punctele planului drepte paralele la **Oy** respectiv **Ox** se obțin pe axa **Ox** punctele **1-5** și pe **Oy** punctele **6-10** (figura 9.26.a). Aceste puncte se transpun pe axele imagine **Ox** respectiv **Oy** (figura 9.26, b) și prin paralele la **Oy** și **Ox** se obțin cele două rețele de drepte paralele în axonometrie cu unghiul de  $90^\circ$  deformat, pe baza cărora se desenează „planul” în reprezentarea axonometrică.

Pentru ridicarea în spațiu, se începe cu volumul cel mai înalt. Din punctele **a, b, c și d** se trasează verticale până la înălțimea dată de nivelul **H<sub>1</sub>** și se obțin punctele **A, B, C și D**, care unite dau fața superioară a corpului de clădire central, văzută în totalitate.

Se coboară din punctele **A, B și C** verticalele văzute, după care se trece la ridicarea volumului limitat de nivelul **H<sub>2</sub>**.

Prin ridicarea punctelor **e, f, g, h, i, j, d și c** la cota dată de nivelul **H<sub>2</sub>** se obține linia poligonală **EFGHIJD<sub>1</sub>C<sub>1</sub>**, din care se vede numai **C<sub>1</sub>EFGH** și o porțiune mică din **H<sub>1</sub>**. Se trasează apoi verticalele din **E, F și G** văzute (figura 9.26.c).

Se ridică și punctele **k, l, m, n, f, e și o, p, r, s, j și i** la nivelul dat de **H<sub>3</sub>**, obținându-se partea superioară a celor două corpuri laterale. Deoarece fața superioară **KLMNF<sub>3</sub>E<sub>3</sub>** se vede în întregime, se trasează cu linie întărită și se coboară verticalele văzute din punctele **K, L și M**.

Pentru cel de-al doilea corp lateral se vede numai verticala din punctul **R**.

## 2. Reprezentarea unei scări cu două rampe în axonometrie ortogonală izometrică

Se dă în figura 9.27.a la scara 1:100, planul și elevația unei scări, iar în figura 9.27.b, sistemul de axe imagine **O<sub>0</sub>x<sub>0</sub>y<sub>0</sub>z<sub>0</sub>** în axonometria ortogonală izometrică, corespunzător sistemului **Oxyz, O'x'y'z'** față de care s-a fixat scara. Unitățile imagine s-au luat mărite pentru a se obține o imagine axonometrică mărită.

Pentru construirea imaginii axonometrice se recomandă calea următoare:

- Se reprezintă întâi „planul” cu ajutorul rețelilor de drepte paralele la cele două axe imagine **Ox** și **Oy** și se obțin, în reprezentarea axonometrică, proiecțiile podestelor după **a<sub>0</sub>e<sub>0</sub>h<sub>0</sub>d<sub>0</sub>** și **f<sub>0</sub>b<sub>0</sub>c<sub>0</sub>g<sub>0</sub>** și a rampelor fără trepte după **e<sub>0</sub>f<sub>0</sub>j<sub>0</sub>i<sub>0</sub>** și **m<sub>0</sub>n<sub>0</sub>g<sub>0</sub>h<sub>0</sub>** (figura 9.27.b).
- Se ridică și se coboară podestele, cu grosimea respectivă, la nivelurile corespunzătoare cotelor din elevație, după care apoi se reprezintă și rampele cu grosimea respectivă.
- Se reprezintă apoi elementele de detaliu (treptele scărilor) folosindu-se diviziunile date de punctele **i<sub>0</sub>, 1, 2, ..., 8, j<sub>0</sub>** și **m<sub>0</sub>, 9, 10, ..., n<sub>0</sub>** pe segmentele de dreaptă **i<sub>0</sub>j<sub>0</sub>** respectiv **m<sub>0</sub>n<sub>0</sub>** (figura 9.27.c).

Verticalele duse prin punctele **i<sub>0</sub>, 1, 2, ..., 8, j<sub>0</sub>** la intersecție cu dreptele **i<sub>5</sub>8<sub>1</sub>** și **i<sub>0</sub>j<sub>2</sub>** dau puncte ce determină secțiunea în trepte. În mod analog se obține apoi și secțiunea în treptele rampei a doua, folosind punctele de pe dreptele **9, n<sub>5</sub>** și **m<sub>0</sub>n<sub>1</sub>** date de verticalele duse prin **m<sub>0</sub>, 9, 10, ..., n<sub>0</sub>**.

Dreptele **e<sub>5</sub>8<sub>2</sub>** și **h<sub>0</sub>g<sub>1</sub>** vor delimita muchiile treptelor de partea cealaltă.

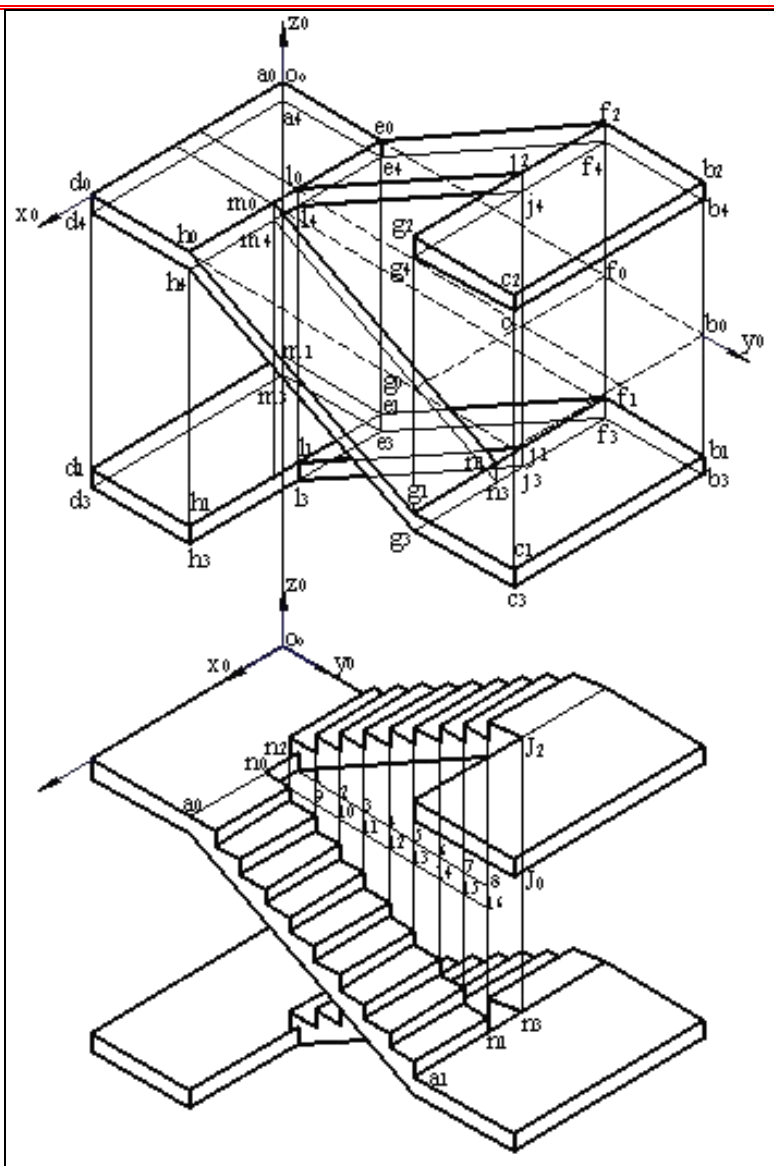
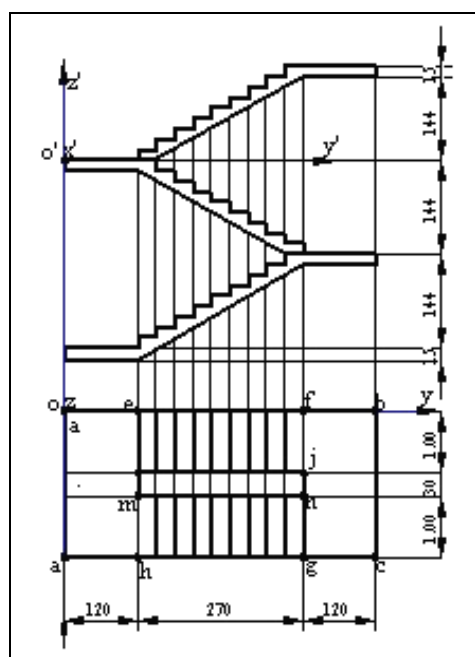


Fig.9.27.a.b. Aplicația 2.

### 3. Reprezentarea unei clădiri în axonometrie ortogonală dimetrică

Pentru a se obține imaginea unei clădiri, cât mai apropiată de cea naturală, este indicată reprezentarea în axonometria ortogonală.

Se dă în figura 9.28.a, o clădire reprezentată în dublă proiecție ortogonală. Se alege sistemul de axe  $Oxyz$ ,  $O'x'y'z'$  astfel ca observatorul situat în triedrul pozitiv să vadă fețele verticale  $ad$  și  $ab$ .

Se va folosi sistemul de axe imagine din axonometria ortogonală dimetrică standardizată. S-a luat axa imagine  $O_o y_o$  cu un unghi mai mic față de  $O_o z_o$  decât cel pe care-l face  $O_o x_o$  cu aceeași axă pentru ca fațada  $ad$  să fie văzută mai mult.

Se reprezintă întâi „planul” clădirii, după care se ridică fața orizontală superioară a corpului  $abcd$  după  $A_o B_o C_o D_o$ , văzută în întregime. Se trece apoi la ridicarea punctelor  $e$ ,  $f$ ,  $g$ ,  $h$  și  $b$  respectiv în  $E_o$ ,  $F_o$ ,  $G_o$ ,  $H_o$  și  $B_1$  și se obține fața orizontală superioară a celui de-al doilea corp, ce nu mai apare văzută în întregime. Coborând punctele  $i_o$ ,  $j_o$ ,  $a_o$  și  $d_o$  respectiv în  $I_o$ ,  $J_o$ ,  $A_1$  și  $D_1$  se obțin elementele părții inferioare a bazinului.

## Geometrie descriptivă

Pentru trasarea umbrelor s-a luat direcția  $R_o$ ,  $r_o$  a razelor de lumină. Verticala  $A_1A_o$  poartă umbra reală după linia frântă  $A_1K_1K_2K_3A_{he}$ , de unde conturul umbrei purtate se continuă cu  $A_{he}K_4U_1$  purtată de  $A_oB_o$  (segmentul  $A_{he}K_4$  a fost determinat unind pe  $A_{he}$  cu  $T$  urma dreptei  $A_oB_o$  pe fața verticală  $e_o h_o$ ).

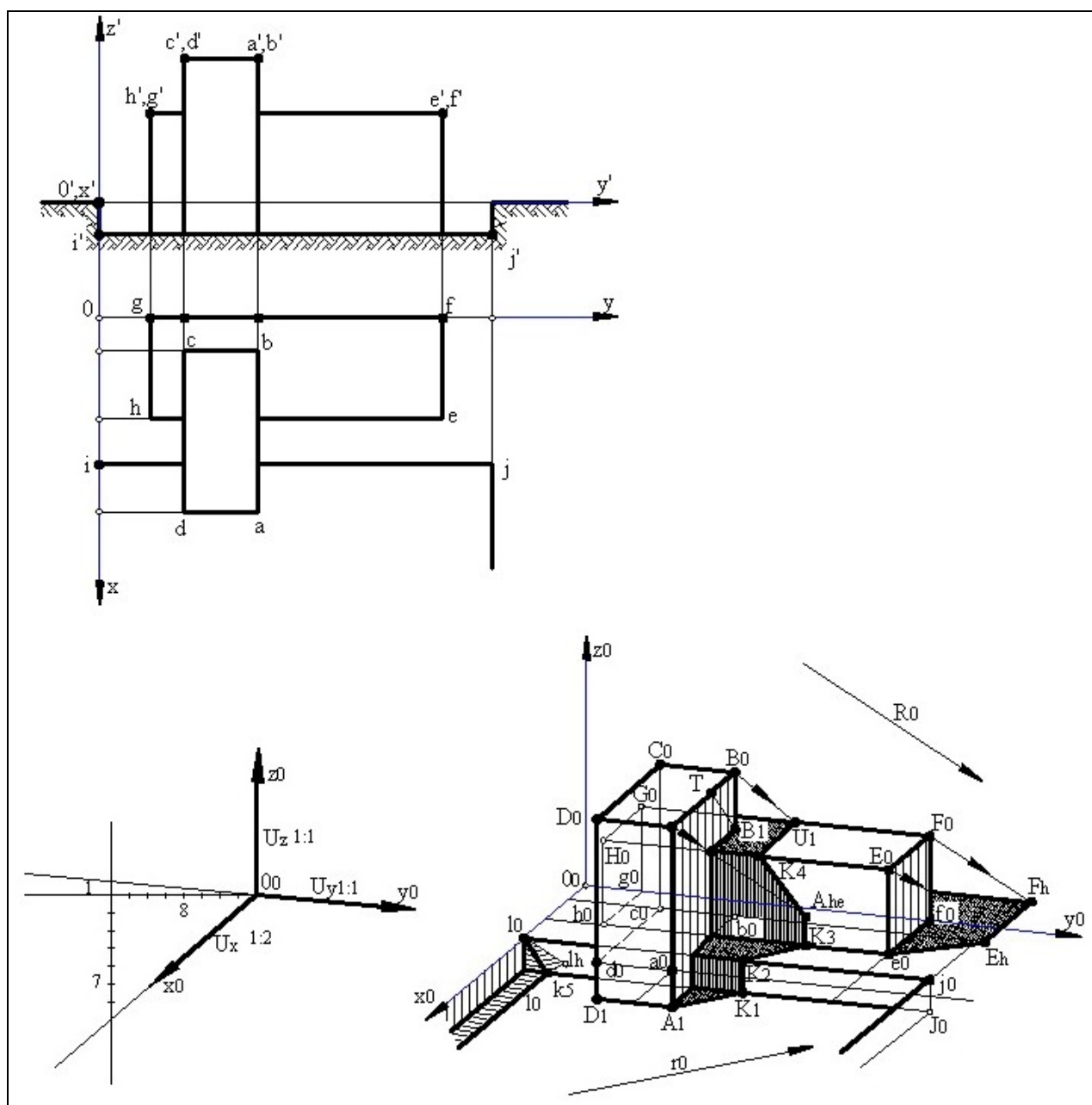


Fig.9.28. Aplicația 3.

Se obțin apoi umbrele punctelor  $E_o$  și  $F_o$  pe planul  $xOy$ , respectiv după  $E_h$  și  $F_h$  din unirea cărora rezultă conturul de umbră  $e_oE_hF_h$  continuat cu paralela dusă prin  $F_h$  la  $F_oG_o$ . Linia frântă alcătuită din  $i_0k_5$  și paralela dusă prin  $k_5$  la axa  $O_o x_o$  reprezintă conturul umbrei purtate pe bazin.

## 10. ACOPERIȘURI

### 10.1. Generalități

Acoperișul este elementul constructiv care limitează o clădire la partea superioară și are rolul de a apăra clădirea împotriva influenței factorilor atmosferici.

Acoperișul este alcătuit dintr-un schelet de rezistență numit șarpantă, care susține elementul izolator - învelitoarea. Pentru ca apele provenite din ploi sau topirea zăpezilor să nu stagneze pe învelitori și să poată fi evacuate prin jgheaburi și burlane, acoperișurile se fac fie din plane înclinate numite ape sau versanți, fie în forma unor suprafețe curbe oarecare. Înclinarea versanților unui acoperiș depinde în primul rând de materialul din care este alcătuită învelitoarea. Astfel, un material mai poros cum este țigla necesită o pantă mult mai mare pentru o bună scurgere a apelor decât tabla. Fiind o parte componentă a clădirii, acoperișul trebuie să îndeplinească și anumite condiții estetice.

Încă de la prima fază a proiectării unui anumit program de arhitectură, trebuie să se țină seama de conturul planului, care dă forma exterioară a acoperișului; aceasta, cu atât mai mult, cu cât forma, culoarea și învelitoarea acoperișului trebuie să corespundă specificului arhitecturii locale. *Determinarea muchiilor de intersecție ale fețelor acoperișului constituie o problemă care se poate rezolva cu ajutorul proiecției cotate.*

Pentru exemplificare, se consideră cazul acoperișului cu planele înclinate de aceeași pantă, recomandat atât din punct de vedere estetic cât și constructiv; pentru acest caz, determinarea în planul cotate a muchiilor rezultate din intersecțiile planelor se face cu ușurință. Dreapta de intersecție a două plane de aceeași pantă față de planul orizontal se proiectează ortogonal pe planul  $H$  după bisectoarea unghiului format de urmele orizontale ale celor două plane. Într-adevăr, pentru a afla dreapta de intersecție a două plane este suficient să se unească punctele de intersecție a două perechi de horizontale de aceeași cotă din ambele plane. În figura 10.1, făcând această operație pentru două plane  $P$  și  $Q$  de aceeași pantă (scările de pantă au intervale egale), se obține în planul cotate romb  $acbd$ , format prin întretăierea celor două perechi de horizontale de aceeași cotă, în care dreapta  $ab$  este diagonală, deci bisectoarea unghiului  $cad$ .

Înainte de a trece la studierea procedurii care conduce la determinarea muchiilor de intersecție a versanților acoperișului, se arată care sunt cazurile care se pot prezenta.

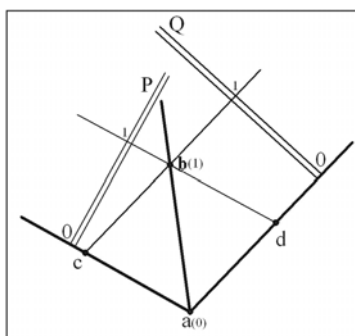


Fig. 10.1. Dreapta AB de intersecție.

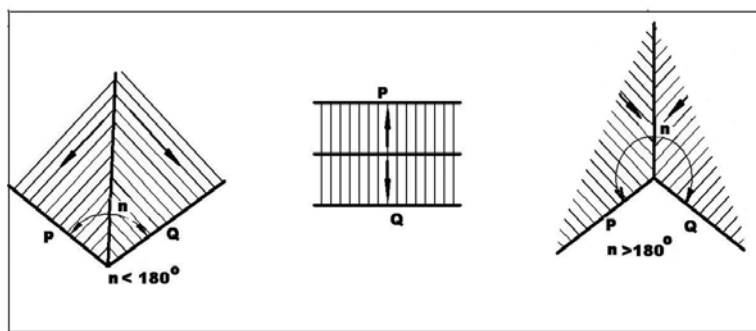


Fig. 10.2.a.b.c. Creastă, coamă, dolie.

Muchiile acoperișului se împart în trei categorii în funcție de mărimea unghiului format de urmele  $P$  și  $Q$  ale celor două plane pe planul de nivel superior al cornișei, astfel:

- Dacă  $P$  și  $Q$  formează un unghi mai mic decât  $180^\circ$ , dreapta lor de intersecție denumită **creastă**, va fi ieșindă față de acoperiș, dând posibilitatea apelor de ploaie să se depărteze de ea spre jgheaburi (figura 10.2.a).

- În cazul când urmele celor două plane concurente sunt paralele, dreapta de intersecție va fi o paralelă la urmele planelor, deci va avea poziția orizontală. Muchia va căpăta denumirea de **coamă** (figura 10.2.b). Prin **coamă oblică** se înțelege muchia limitată de două vârfuri ale acoperișului.

- Când unghiul format de **P** și **Q** este mai mare decât  $180^\circ$ , muchia de intersecție a apelor este intrândă iar apele de ploaie se vor strânge de-a lungul ei. Muchia se numește în acest caz **dolie** (figura 10.2.c).

Pentru trasarea elementelor acoperișului (creste, coame și dolii) când se dau conturul acestuia și pantele versanților se va indica, un procedeu care se poate aplica în orice condiții de acoperire (pante egale sau diferite, denivelări, mansarde etc).

## 10.2. Urmărirea elementelor acoperișului

Acoperișul poate fi considerat ca un poliedru compus dintr-un număr de plane înclinate, corespunzătoare laturilor poligonului de bază (conturul cornișei), grupate cel puțin câte trei în jurul unui vârf al acoperișului.

Există însă și posibilitatea ca printr-un vârf al acoperișului să treacă mai mult decât trei plane. Astfel, dacă laturile planului unei clădiri sunt toate tangente la același cerc, acoperișul nu poate avea în plan decât un singur vârf. Acest vârf corespunde în proiecție centrului cercului, pentru că, la planele de aceeași pantă muchiile de intersecție se proiectează ortogonal după bisectoarele unghiurilor formate de urmele versanților, și pentru că bisectoarea interioară a unghiului format de două tangente la un cerc trece prin centrul cercului. Cum poligoanele regulate admit cercuri înscrise, rezultă că toți versanții acoperișului au un punct comun, vârful acoperișului. În cele ce urmează se vor analiza acoperișurile cu poligoane de bază neregulate, acestea fiind cel mai des întâlnite în practică.

### 10.2.1. Acoperiș cu versanți de pante egale

Se cere de acoperit o clădire având în plan forma din **figura 10.3.a**.

**Pentru a urmări cu ușurință grupările de plane se notează versanții acoperișurilor cu litere, muchiile cu cifre arabe, iar vârfurile cu cifre romane.**

Se duc întâi toate bisectoarele interioare ale unghiurilor poligonului de bază al acoperișului. Urmărirea se face plecând de la o muchie. Fie **1** creasta care separă apele **a** și **b**. Pentru a determina vârful prin care trece, se prelungește această muchie până intersectează într-un punct real prima bisectoare din apropierea ei, care nu poate fi decât dreapta de intersecție a uneia din apele **a** sau **b** cu un al treilea plan. În exemplul luat această primă bisectoare este dată de intersecția versantului **a** cu **j**.

Deci, bisectoarea **1** întâlnește întâi bisectoarea **2** (figura 10.3.a) a unghiului format de laturile **a**, **j**. Cum dreapta **1** aparține fețelor **a** și **b** iar dreapta **2** fețelor **a** și **j**, rezultă că vârful **I**, punctul de intersecție al dreptelor **1** și **2**, aparține fețelor **a**, **b** și **j**. Din cei trei versanți **a**, **b** și **j** a mai rămas de intersectat fața **j** cu fața **b**, rezultând a treia muchie **3**, de data aceasta o coamă, a vârfului **I**. Deoarece muchia **3** nu închide acoperișul, adică nu întâlnește jgheabul, ea trebuie să fie limitată de un alt vârf al acoperișului ce se obține urmărind același raționament.

Muchia **3** (intersecția versanților **b** și **j**) întâlnind întâi muchia **4**, determină în acest punct vârful **II** care grupează apele **b**, **j** și **c**. A treia muchie ce trece prin acest vârf este deci intersecția apei **c** cu **j**. Vârful unghiului **c**, **j** obținându-se prin prelungirile laturilor **c** și **j**, bisectoarea acestui unghi este reală numai pe o anumită porțiune, și anume segmentul limitat de vârful **II** până la intersecția lui cu prima bisectoare dinspre vârful unghiului, rezultând vârful **III** din intersecțiile muchiilor **5** și **6**.

Dolia **6** aduce versantul **i** ce urmează a fi intersectat cu versantul **c**. Din intersecția acestor versanți rezultă a treia muchie a vârfului **III**, coama **7**. Se observă că vârful **IV** se obține la intersecția coamei **7** cu dolia **8**, care aduce versantul **d**. Vârful **IV** grupează planele **c**, **d** și **i**. A treia muchie **9** a acestui vârf corespunde bisectoarei unghiului format de laturile **i** și **d**, al cărui vârf este dat de prelungirile acestor laturi. Coama oblică **9** apare deci reală de la vârful **IV** până la vârful **V**, obținut prin intersecția muchiei **9** cu creasta **10**.

Urmărind grupările de versanți rezultă în ordine vârfurile **VI**, **VII** și **VIII**, creasta **17** închizând acoperișul.

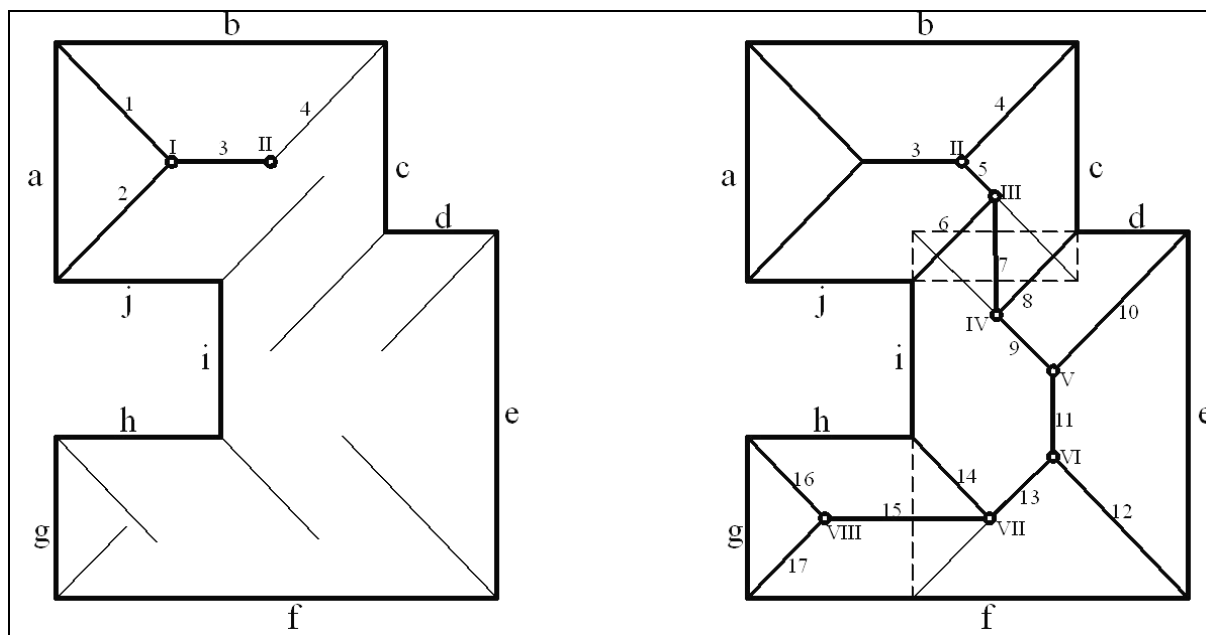


Fig.10.3. Acoperiș cu pante egale.

### Observație:

Se poate întâmpla ca, dintr-un vârf al acoperișului, să intervină două sensuri de urmărire. Acest lucru depinde de forma planului clădirii. La acoperișul din figura 10.4 se observă că indiferent din ce parte a clădirii se face urmărirea, intervine o bifurcare, după cum rezultă din schemele figurii, în acest caz nu se schimbă nimic din procedeul indicat.

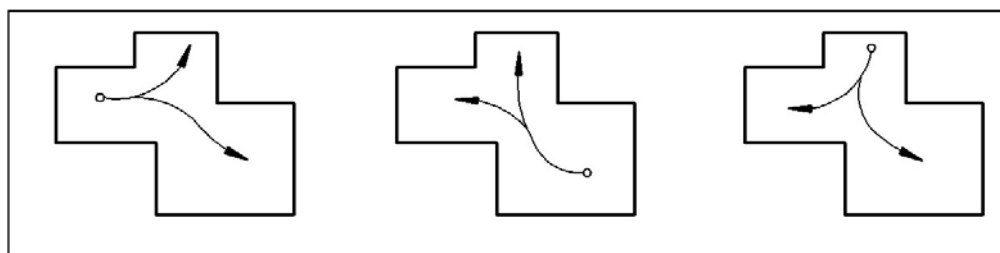
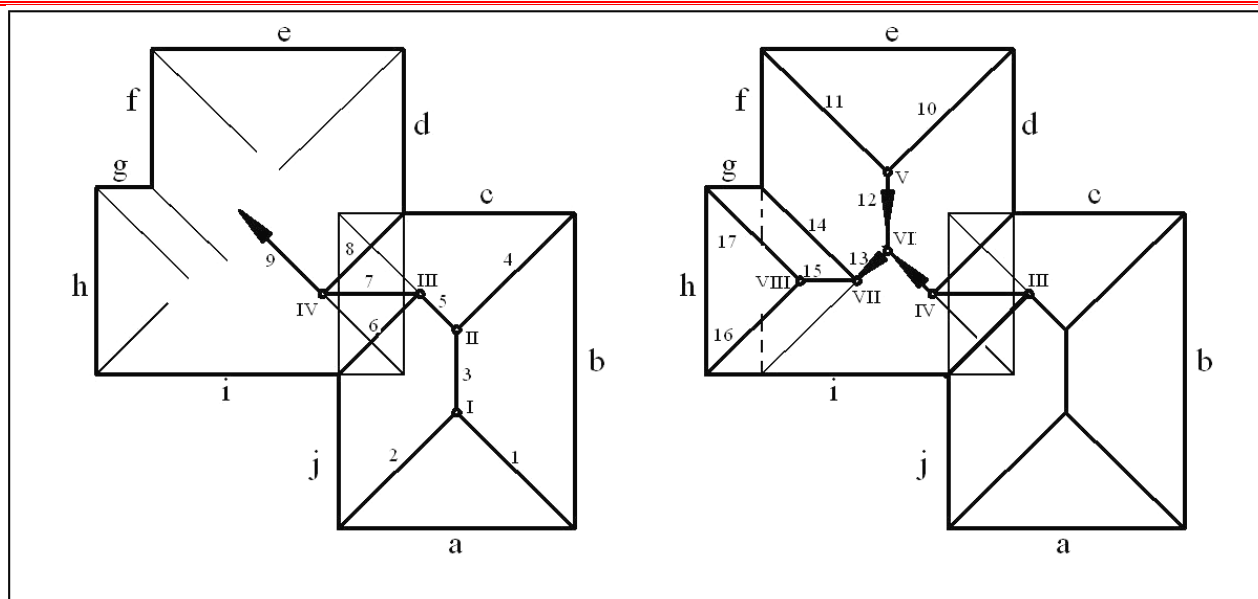


Fig. 10.4. Traseu de urmărire cu bifurcare.

În cazul când acoperișul nu prezintă bifurcare, prima muchie pe care o va întâlni muchia urmărită pentru a determina un nou vârf al acoperișului, rezultă din desen, și va fi una din bisectoarele unghiurilor poligonului de acoperit, în cazul bifurcării acoperișului, punctul de bifurcare se obține ușor dacă elementele acoperișului sunt urmărite din două părți ale conturului de naștere al acoperișului.





**Fig.10.5. Acoperiș cu pante egale la clădiri alăturate.**

Într-adevăr, la acoperișul din **figura 10.5**, urmărind grupările de versanți cu începere de la muchia **1**, intersecția versanților **a** și **b**, și ajungând la muchia **9** rezultată din intersecția versanților **d** și **i** nu a intervenit nici o bifurcare. Vârful următor pe muchia **9** va fi un punct de bifurcare și va rezulta din intersecția muchiei urmărite cu o coamă, deci nu cu una din muchiile trasate ca bisectoare ale unghiurilor poligonului de acoperit.

Pentru obținerea vârfului de bifurcare se vor urmări elementele acoperișului plecând din două părți ale poligonului de acoperit.

În exemplul luat, figura 10.5, se vor urmări elementele acoperișului și de la muchia **10** rezultată din intersecția versanților **d** și **e**. Prelungind muchia **10**, aceasta întâlnește prima dată muchia **11** în vârful **V**, în jurul căruia sunt grupați versanții **d**, **e** și **f**.

Din intersecția versanților **f** și **d** se obține coama orizontală **12**, care întâlnește coama oblică **9** în punctul de bifurcare **VI**. Cum muchia **9** este intersecția versanților **i** și **d**, iar muchia **12** a versanților **f** și **d** rezultă că a treia muchie a vârfului **VI** este intersecția versanților **i** și **g**, dând muchia **13**. Muchia **13** se intersectează cu muchia **14** în vârful **VII** ce grupează versanții **i**, **f** și **g**.

Din intersecția versanților **g** și **i** se obține coama orizontală **15** care întâlnește în același vârf **VIII** crestele **16** și **17**, acoperișul închizându-se.

### 10.2.2. Acoperișuri cu versanți de pante diferite

Se cere de acoperit planul din **figura 10.6** cu versanții **a**, **b**, **c** și **d**, care fac unghiuri de  $30^\circ$  cu planul orizontal și **e**, **f**, **g** și **h**, care fac unghiuri de  $45^\circ$  cu planul orizontal.

Pentru a determina proiecțiile orizontale ale muchiilor acoperișului ce pornesc din vârfurile poligonului de bază, se secționează cu un plan de nivel de cotă **z** versanții acoperișului.

Pentru determinarea pozițiilor în plan a orizontalelor de secțiune sunt necesare distanțele orizontale **A-30°** și **A-45°** corespunzând cotei **z** și pantelor celor doi versanți. Acestea se obțin cu ajutorul triunghiurilor de pantă din figură, care s-au construit cu una din catete având valoarea cotei **z**, iar ipotenuza reprezentând linia de cea mai mare pantă a versanților, cu înclinarea față de planul orizontal de  $30^\circ$  respectiv  $45^\circ$ .



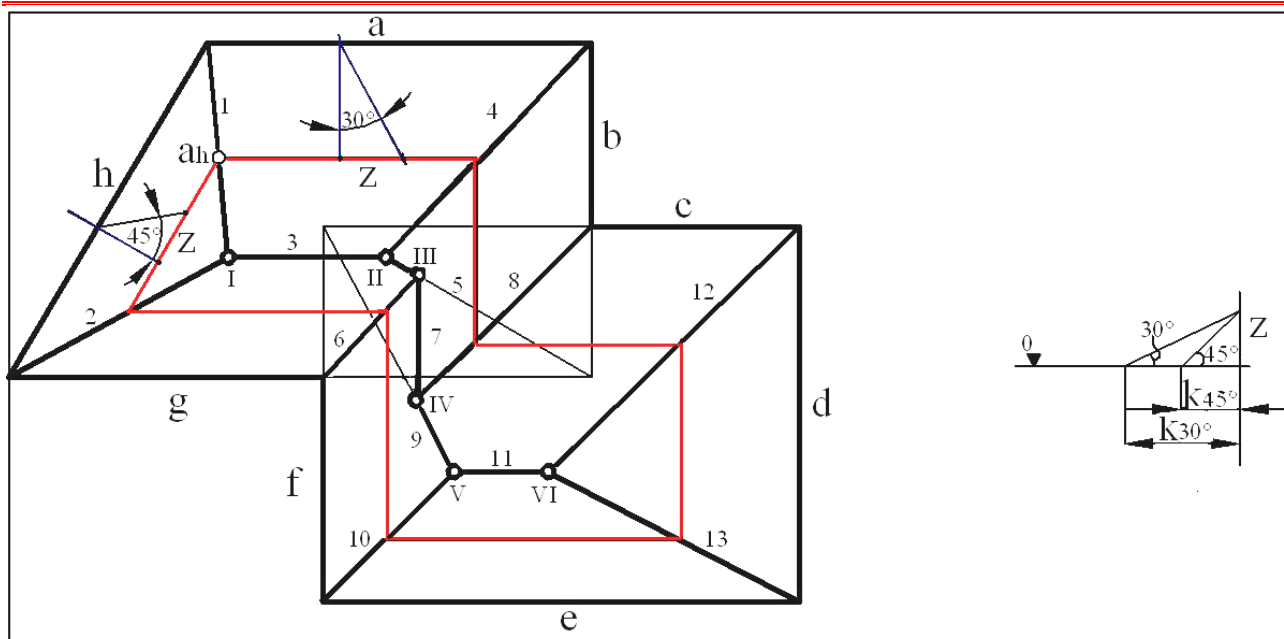


Fig. 10.6. Acoperiș cu pante diferite.

Orizontala versantului **a** intersectează orizontala versantului **h** de aceeași cotă **z** într-un punct **ah**. Punctul **ah**, unit cu vârful unghiului format de laturile **a** și **h**, dă muchia de intersecție a acestor doi versanți care, se vede că nu se mai proiectează după bisectoarea unghiului **ah**.

Procedând în mod similar, se determină toate crestele și doliile acoperișului, după care urmărirea elementelor acoperișului se face ca în cazurile precedente.

### 10.2.3. Acoperișuri denivelate cu versanții cu pante egale

Fie acoperișurile din **figura 10.7.a.b** cu contururile orizontale respectiv: **abcd** în planul **H1**, **mnop** în **H2** și **rst** în **H3**, denivelările planelor de naștere a fiecăruia din ele arătate pe elevația alăturată planului.

Pentru rezolvarea problemei se pornește de la un acoperiș fără denivelări derivând din acoperișurile date. Acesta se obține luând ca plan de naștere comun pentru toate acoperișurile componente, planul de naștere al acoperișului cu *cota cea mai mică* **H1** și prelungind acoperișurile superioare până la planul comun pentru determinarea urmelor acestora.

Astfel, dacă se prelungesc versanții **r**, **s** și **t** ai acoperișului cu planul de naștere **H3** până la planul **H1**, se obțin urmele lor respective **i**, **j** și **k**. Urmele versanților **r** și **t** rezultă prin rabaterile punctelor **y** și **δ** pe latura **c** în **C<sub>y</sub>** și **C<sub>δ</sub>**, **y** și **δ** fiind punctele de intersecție ale jgheaburilor **r** și **t** cu versantul **c**. Urmele **e** și **h** pe planul **H1** ale versanților **m** și **p** se află cu ajutorul punctelor **d<sub>α</sub>** și **a<sub>β</sub>**.

Baza comună este **i, j, k, c, d, e, f, g, h, a, b** și **c**, căreia îi corespunde acoperișul din figura 10.7.a, construit prin urmărirea grupărilor de plane.

Rezultă că:

- doliile **10** și **15** sunt reale până la nivelul **H3**, de asemenea și crestele **20** și **21**;
- doliile **4** și **12** sunt reale până la planul **H2** respectiv în **α** și **β**, și crestele **1**, **2** și **8**.

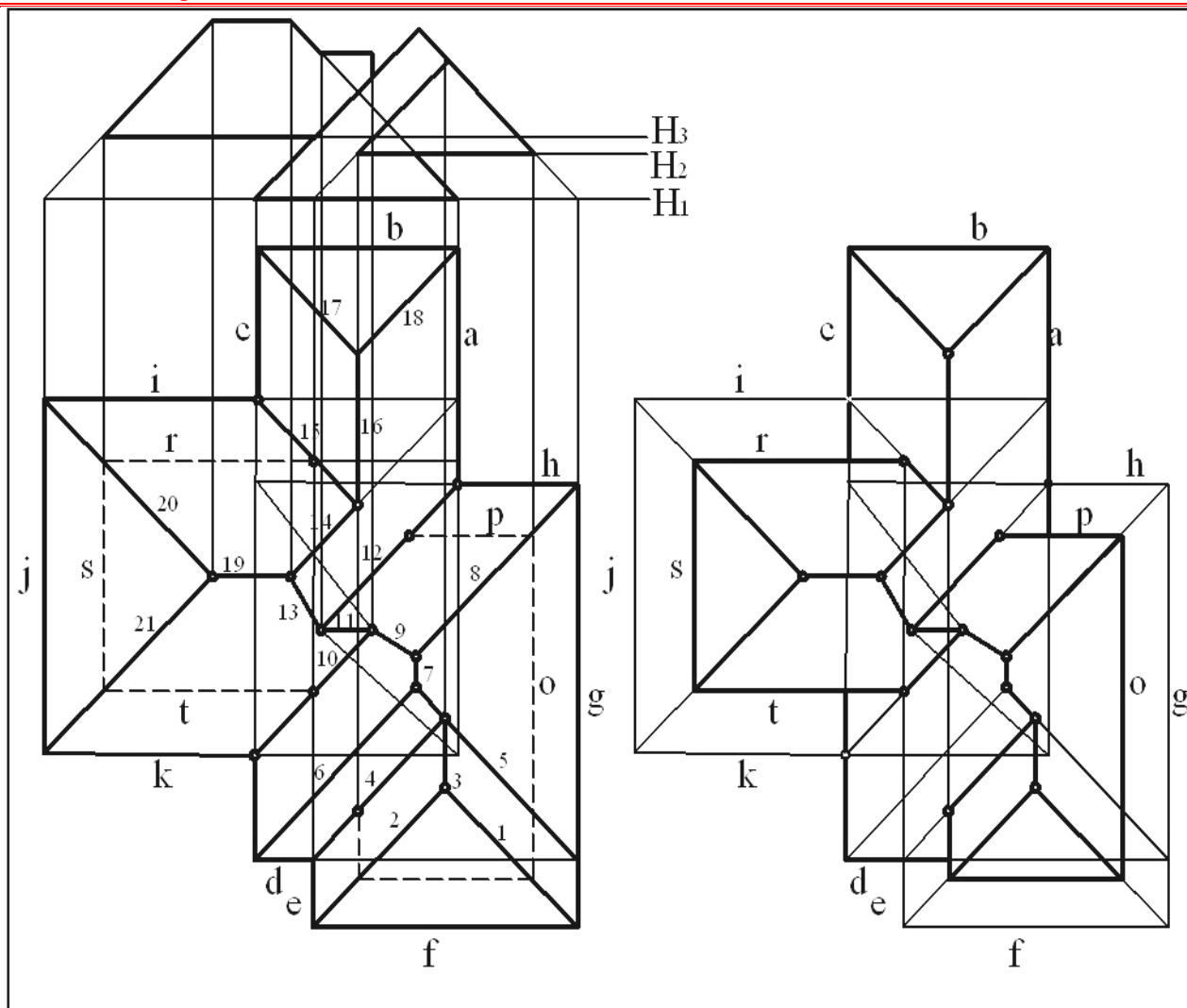


Fig.10.7.a.b. Acoperișuri denivelate:

## 11. PERSPECTIVA GEOMETRICĂ

### 11.1. Generalități

Perspectiva stabilește regulile și metodele cu ajutorul cărora se pot reprezenta obiectele din spațiu pe un plan, printr-o singură imagine, așa cum se văd.

Pentru ca această reprezentare plană să corespundă imaginii pe care o realizează ochiul omenesc când privește același obiect sau ansamblu trebuie respectate, pe de o parte, relațiile de poziție și relațiile metrice ce caracterizează obiectele din punct de vedere geometric, iar pe de altă parte, să se țină seama de legile vederii, strâns legate de constituția ochiului.

În perspectivă se utilizează următoarele **notații**:

- **centrul de proiecție**, care corespunde, centrului optic, se numește centru de vedere și se notează cu **V**;
- **tabloul plan**, în care imaginea apare dreaptă, se numește tablou de perspectivă și se notează cu **T**;
- **axa optică**, care trebuie să fie îndreptată spre centrul geometric al obiectului, perpendiculară pe tabloul de perspectivă, are denumirea de rază principală de privire, **r**.

#### 11.1.1. Condițiile unei bune perspective

Se știe că ochiul omenesc nu înregistrează decât imaginile corpurilor cuprinse într-o porțiune de spațiu limitată de un con eliptic cu vârful în centrul optic al ochiului.

Acest con vizual se caracterizează prin două unghiuri: unul făcut de cele două generatoare din planul axial orizontal de vedere al ochilor, numit *unghi de vedere orizontal*, și celălalt făcut de cele două generatoare ce aparțin planului axial perpendicular pe cel orizontal, numit *unghi vizual vertical*.

Știind că un obiect poate fi văzut dintr-o singură privire numai când observatorul privește către el, adică axa optică este îndreptată către centrul geometric al obiectului, rezultă că proiecția conică a unui obiect pe un plan poate fi aproximată cu imaginea sa vizuală, numai dacă pe lângă executarea riguroasă a imaginii plane sunt respectate și cele *trei condiții ce rezultă din proprietățile fiziologice ale ochiului omenesc*:

- direcția principală de privire să treacă prin centrul geometric al obiectului; este deci o direcție determinată de centrul de vedere V și centrul geometric G al obiectului;
- tabloul de perspectivă să fie totdeauna perpendicular pe direcția principală de privire;
- unghiul orizontal de vedere să fie cuprins între 30° și 45°, iar cel vertical în jurul lui 28°; aceste valori corespund formării imaginii naturale.

Numai când obiectul are lungimea foarte mare în raport cu înălțimea, se folosește unghiul orizontal de **45°**.

Practic, *conul de vedere eliptic* poate fi înlocuit, cu o *piramida* de vedere dreaptă care are ca bază, în tabloul de perspectivă un dreptunghi **ABCE** cu laturile:  $\frac{2}{3} D$  și  $\frac{1}{2} D$ ; **D** fiind distanța de la centrul de vedere la tablou, (fig.11.1).

Imaginea perspectivă a unui obiect apare deformată dacă depășește conturul acestui dreptunghi limită.

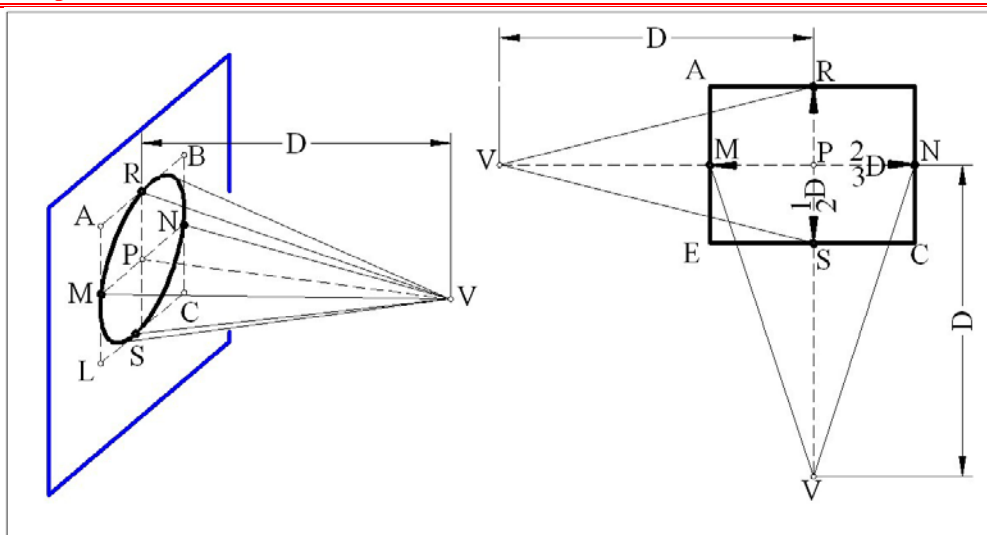


Fig.11.1. Conul de vedere eliptic și piramida de înălțime  $D$

### 11.1.2. Clasificarea perspectivelor după direcția principală de privire

Pentru a construi corect imaginea perspectivă plană a unui obiect din spațiu trebuie ca centrul de vedere, obiectul și tabloul de perspectivă să fie raportate la un **sistem de referință**.

În perspectivă, acest sistem de referință este format din două plane: unul ce se consideră orizontal, iar celălalt vertical, deci perpendicular pe primul, ca în dubla proiecție ortogonală.

În funcție de poziția pe care o are raza principală de privire, deci și poziția tabloului de perspectivă, față de planul orizontal de referință pe care se consideră așezate obiectele, se deosebesc trei cazuri de perspectivă:

- **perspectiva descendentă**, în care observatorul se află mult deasupra obiectului și deci raza principală de privire este înclinată față de planul orizontal și coboară spre obiect; în acest caz tabloul este înclinat iar verticalele apar în perspectivă concurente într-un punct  **$f_z$**  sub imaginea clădirii;

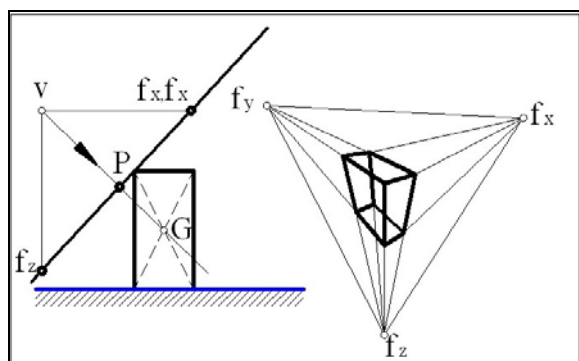


Fig. 11.2. Perspectiva descendentă

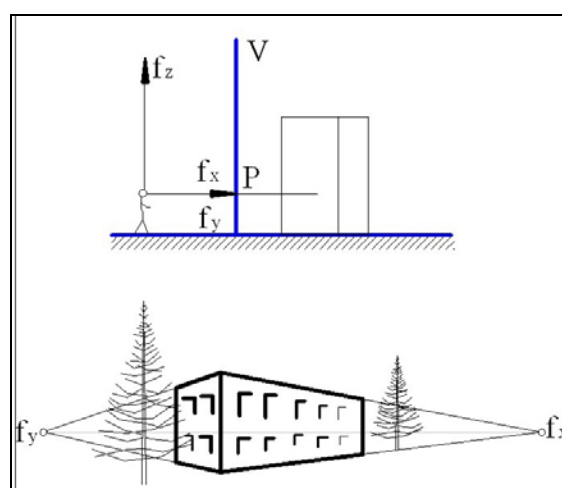


Fig. 11.3. Perspectiva orizontală

- **perspectiva orizontală**, în care raza principală de privire este orizontală, iar tabloul de perspectivă se ia vertical; perspectivele dreptelor verticale apar tot verticale, deci paralele între ele;

- **perspectiva ascendentă**, în care centrul de vedere se află mult sub planul orizontal inferior al obiectului, deci raza principală de privire este înclinată față de planul orizontal și urcă spre obiect; tabloul de perspectivă se ia înclinat față de  $H$ , iar verticalele în perspectivă apar concurente într-un punct  $f_z$  situat deasupra imaginii obiectului. (Se va analiza în continuare doar perspectiva orizontală, fiind cea mai des utilizată în practică).

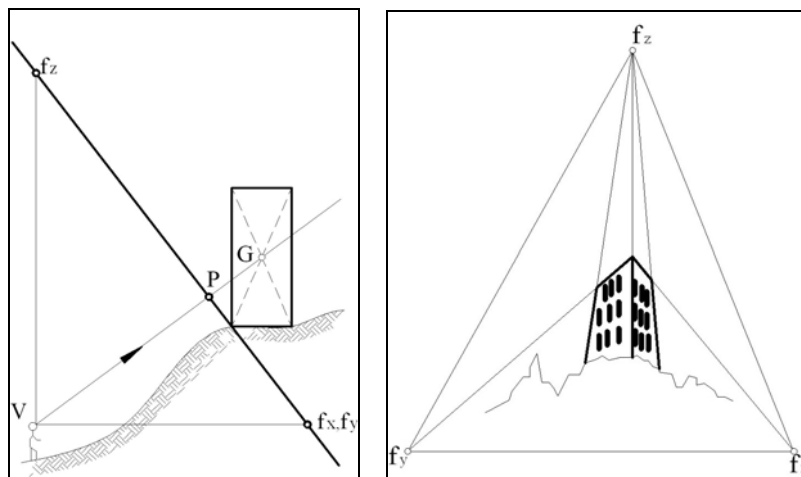


Fig. 11.4. Perspectiva ascendentă.

### 11.1.3. Elementele sistemului perspectiv de reprezentare

Din analiza fenomenului fizic al percepției vizuale rezultă că elementele de bază ale sistemului perspectiv sunt: centrul de vedere, obiectul și tabloul de perspectivă, precum și sistemul de referință față de care se fixează aceste elemente pentru a se obține construcții grafice riguroase. Sistemul de referință utilizat este cel al dublei proiecții ortogonale, alcătuit din două plane: plan orizontal de proiecție sau geometral și planul vertical de proiecție.

Să presupunem că tabloul perspectiv coincide cu planul vertical de proiecție.

Intersecția tabloului de perspectivă cu geometrului se numește *baza tabloului sau linia pământului* și se notează cu  $x-x$  (figura 11.5); ea determină poziția tabloului în sistemul de referință. Centrul de vedere este determinat prin proiecțiile lui ortogonale  $v$  și  $v'$  pe geometral, respectiv pe planul vertical de proiecție.

Perpendiculara pe tabloul de perspectivă dusă prin centrul de vedere este *raza principală de privire*; aceasta intersectează tabloul de perspectivă în punctul  $P$ , numit punct principal. Distanța  $PPx$  este egală cu cota  $Vv$  a centrului de vedere. Distanța  $VP$  se numește *distanță principală*; ea corespunde distanței de la centrul de vedere la tabloul de perspectivă și apare în adevărată mărime în geometral după segmentul  $vp_x$ .

Planul care trece prin centrul de vedere  $V$  și este paralel cu geometralul se numește *planul orizontului*. În acest plan se găsesc: raza principală de privire și laturile unghiului vizual orizontal. Dreapta de intersecție a planului orizontal cu tabloul de perspectivă ia denumirea de *linia orizontului* și se notează cu  $h-h$ . Ea este paralelă cu  $x-x$  la o distanță de aceasta egală cu cota centrului de vedere.

Planul care trece prin centrul de vedere și este perpendicular atât pe geometral cât și pe tabloul de perspectivă se numește *plan vertical principal*, în el se găsesc atât raza principală de privire cât și laturile unghiului vizual vertical.

Planul care trece prin centrul de vedere și este paralel cu tabloul de perspectivă se numește *planul neutru*.

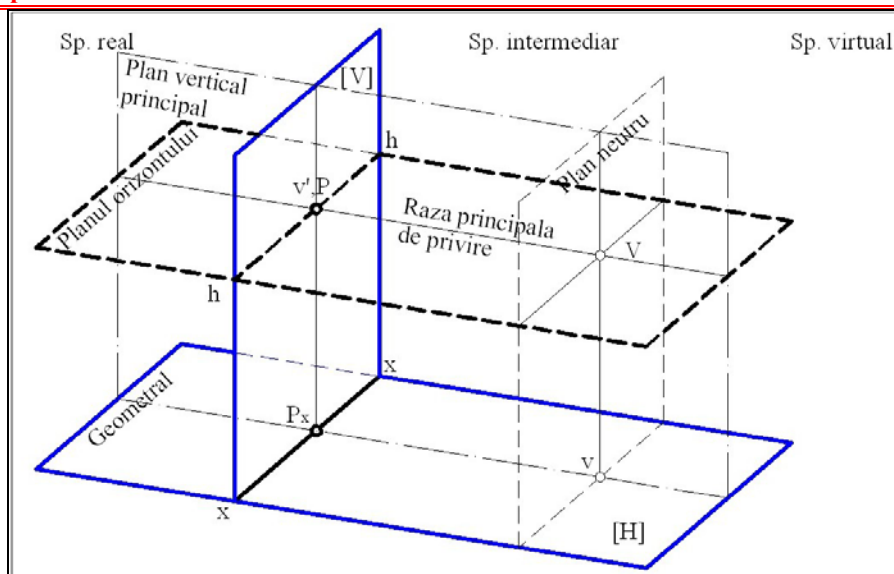


Fig. 11.5. Elementele sistemului de perspectivă.

Spațiul este împărțit de tabloul de perspectivă și de planul neutru în trei părți:

- partea din spatele tabloului este *spațiul real*;
- partea cuprinsă între tabloul de perspectivă și planul neutru este *spațiul intermediar*;
- partea opusă spațiului intermediar față de planul neutru și care ar corespunde porțiunii din spatele observatorului este *spațiul virtual*.

Pentru a construi perspectiva unui obiect nu este suficient ca obiectul respectiv să fie perfect definit geometric (dimensiuni și relații de poziție ce rezultă din reprezentarea lui în dubla proiecție ortogonală), ci trebuie să fie precizate în epură atât poziția tabloului cât și cea a centrului de vedere față de obiect.

Știind că perspectiva orizontală este o proiecție conică pe un tablou vertical și că totul se reduce la intersecția unui fascicul de drepte concurente cu tabloul de perspectivă, este clar că orice problemă de perspectivă poate fi rezolvată prin procedeele cunoscute ale geometriei descriptive, direct pe epura respectivă.

Sunt cunoscute în această privință, încă din epoca Renașterii, metodele lui Leonardo da Vinci și Brunelleschi. În prima se folosește ca tablou de perspectivă chiar planul vertical de proiecție, în cea de-a doua, un plan vertical oarecare, de cele mai multe ori un plan de profil.

Pentru exemplificare, se arată cum se construiește perspectiva unui punct cu ajutorul metodei Leonardo da Vinci.

#### 11.1.4. Metoda lui Leonardo da Vinci

Se dă un punct  $a, a'$  și centrul de vedere  $v, v'$  (figura 11.6.). Tabloul este identic cu planul vertical de proiecție deci baza  $x-x$  a tabloului coincide cu  $o-x$ .

Perspectiva punctului  $A$  se obține intersectând raza vizuală  $VA$  cu tabloul, deci se determină urma verticală a razei vizuale.

Rezolvare: Se prelungește proiecția orizontală a razei vizuale  $va$  până întâlnește baza  $x-x$  a tabloului în punctul  $a_x^0$ . Perpendiculara  $a_x^0$  pe  $x-x$  intersectează proiecția verticală  $v'a'$  a razei vizuale, în punctul  $A_0$ , perspectiva punctului  $A$  din spațiu.

În perspectivă, ca și în axonometrie, se alege ca imagine secundară, necesară pentru determinarea obiectului, imaginea perspectivă a proiecției orizontale a punctului. Perspectiva proiecției orizontale fiind urma pe tablou a razei vizuale  $va, v'a_x$ , ea se obține în punctul  $a_0$  la intersecția cu  $v'a_x$ , a perpendicularei pe  $x-x$  dusă prin  $a_x^0$ .

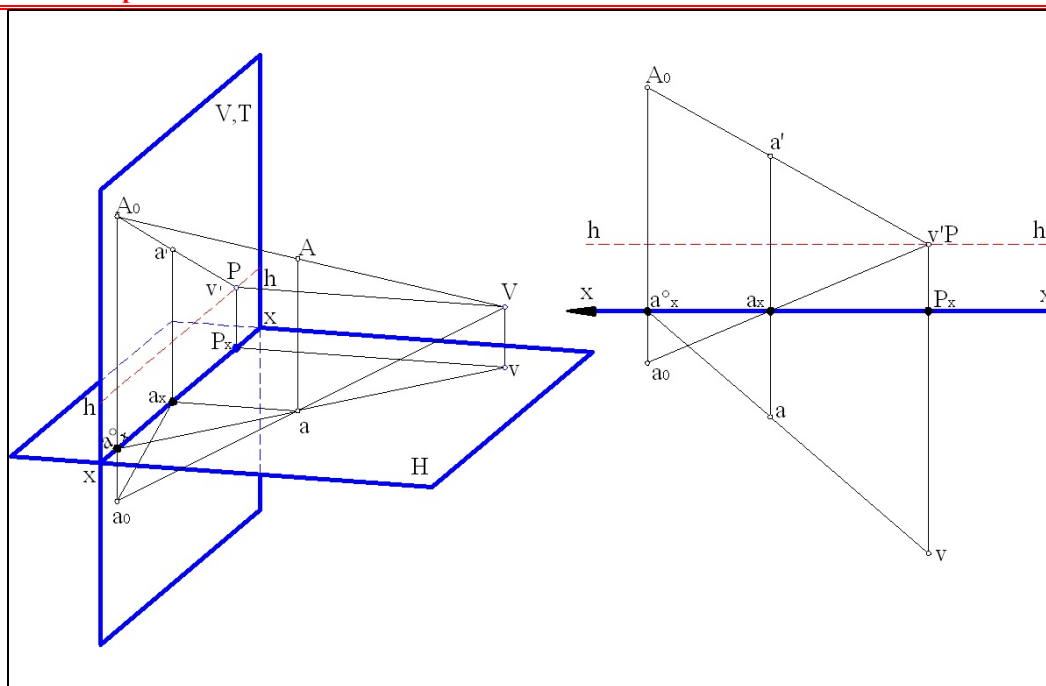


Fig. 11.6. Perspectiva punctului A.

În acest fel perspectiva unui punct se definește geometric ca intersecția razei vizuale cu tabloul de perspectivă.

În perspectiva geometrică modernă se utilizează ca tablou de perspectivă un plan vertical oarecare, diferit de planul vertical de proiecție, iar pentru realizarea perspectivei, metode grafice specifice perspectivei geometrice care conduc la construcții grafice simple și rapide.

#### 11.1.5. Pregătirea geometralului

Construcția unei perspective trebuie să fie precedată de o serie de construcții grafice în geometral, și anume: fixarea centrului de vedere  $v$  și a poziției tabloului (baza  $x-x$ ) față de obiectul dat în dubla proiecție ortogonală, astfel ca imaginea să fie cât mai naturală.

În exemplul ce urmează se va arăta practic în ce constă pregătirea geo-metralului pentru a pune în perspectivă o clădire.

Fie, în figura 11.7, o clădire reprezentată în dubla proiecție ortogonală, cu fețele verticale din **af** și **gb** paralele cu planul vertical de proiecție.

Operațiile ce trebuie executate în geometral, pentru a asigura o imagine perspectivă cât mai apropiată de cea naturală sunt:

1) Se consideră „planul” clădirii încadrat în dreptunghiul **abcd** și se determină întâi zona de vizibilitate.

Prin zona de vizibilitate se înțelege totalitatea punctelor din geometral din care, privind spre obiect, se văd aceleași laturi ale „planului” clădirii, respectiv fețe verticale. Pentru a vedea, spre exemplu, fețele verticale **af** și **gb**, observatorul trebuie să se situeze numai în fața drepte **ab** obținută prin prelungirea, segmentelor **af** și **gb**. De asemenea, observatorul va vedea fața laterală **ad** dacă el este situat la stânga drepte **ad** obținută prin prelungirea segmentului **ad**.

Rezultă că din orice punct  $v$  luat în interiorul unghiului drept **man**, clădirea va apărea în perspectivă cu fețele verticale **af**, **gb** și **ad** vizibile. De cele mai multe ori, alegerea centrului de vedere  $v$  poate fi condiționată și de alți factori. În cazul de față, dacă se



## Geometrie descriptivă

dorește ca pe fața verticală **ih** corpul de clădire **daf**, să apară suprapus în perspectivă numai pe porțiunea **ik**, atunci centrul **v** trebuie luat pe raza vizuală **fk**, dar numai în zona de vizibilitate.

2) Se alege apoi punctul **v** pe raza vizuală **fk** sau în zona de vizibilitate, ținând seama de câmpurile vizuale, în general de câmpul vizual orizontal, întrucât cel vertical se ia în considerare numai când clădirea prezintă înălțimi mari față de lungimea ei.

Practic, pentru fixarea centrului **v**, astfel încât să fie respectată condiția legată de unghiul vizual **dvb** în care trebuie înscris „planul” clădirii, se utilizează un calc pe care este trasat unghiul vizual ales, cuprins între  $30^\circ$  și  $45^\circ$ . Se suprapune calcul peste „planul” clădirii cu grija ca laturile unghiului să treacă prin **d** respectiv **b**, iar vârful lui să fie pe raza vizuală **fk**, după care, prin înțeparea calcului cu un ac în dreptul vârfului unghiului, se obține centrul de vedere **v**.

3) Se unește centrul de vedere **v**, cu punctul **G**, centrul geometric al planului clădirii și se obține raza principală de privire **vG**.

Aceasta corespunde axului optic, ce asigură orientarea privirii către obiect și condiționează poziția tabloului de perspectivă.

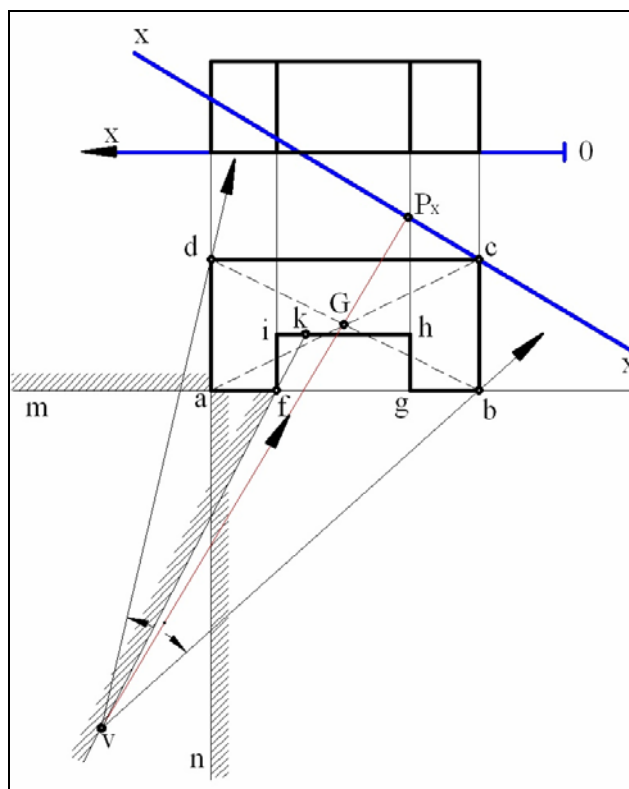


Fig. 11.7. Pregătirea geometralului

4) Se trasează linia **x-x** (baza tabloului care determină poziția lui), perpendiculară pe raza principală de privire **vG**, mai departe sau mai aproape de **v**, după cum se urmărește ca imaginea perspectivă să apară mai mare sau mai mică decât dimensiunea reală a clădirii la scara respectivă. În mod obișnuit tabloul se ia astfel ca el să conțină, fie cea mai depărtată muchie verticală de **v**, și atunci clădirea se găsește în spațiul intermediar iar imaginea perspectivă va fi mai mare, fie prin muchia verticală cea mai apropiată, și atunci clădirea se va găsi în spațiul real și deci imaginea perspectivă va apărea mai mică.

## 11.2. Perspectiva punctului

Problema reprezentării perspectivei punctului a fost expusă în cadrul metodei lui Leonardo da Vinci. Mai trebuie specificat doar pozițiile pe care le poate avea punctul în cele trei părți ale spațiului determinate de tabloul de perspectivă și de planul neutru. Întrucât aceste poziții sunt strâns legate de pozițiile pe care le au proiecțiile horizontale respective, în perspectivă este suficient să se urmărească perspectiva proiecției horizontale a punctului.

Fie, în figura 11.8, planul  $H$  geometralul și  $T$  tabloul de perspectivă, ambele văzute din profil pentru a ușura înțelegerea problemei.

Fie punctul  $A, a$  din spațiul real; perspectiva lui  $a$  se va găsi la intersecția razei vizuale  $Va$  cu  $T$ , în punctul  $a_0$  situat totdeauna între baza  $x-x$  a tabloului și linia orizontului. Deci, orice punct din tabloul de perspectivă (figura 11.9), cu imaginea perspectivă a proiecției horizontale situată între linia de pământ  $x-x$  și linia orizontului  $h-h$ , corespunde unui punct din spațiul real; este cazul punctului  $A_0a_0$  corespunzător punctului  $A, a$  din spațiu.

Pentru un alt punct  $B, b$  situat în tabloul de perspectivă, atât proiecția orizontală  $b$  cât și perspectiva ei  $b_0$  coincid într-un punct pe linia de pământ (figurile 11.8. și 11.9.).

Dacă un punct  $C, c$  se găsește în spațiul intermediar, proiecția orizontală  $c$  cade între baza tabloului și baza planului neutru. Perspectiva lui  $c$  este punctul  $c_0$  situat totdeauna sub baza  $x-x$  a tabloului, deoarece raza vizuală  $Vc$  intersectează tabloul numai sub  $x-x$ .

Punctul  $E, e$  din planul neutru va avea perspectiva atât a punctului din spațiu cât și a proiecției horizontale la infinit, întrucât razele vizuale aparțin planului neutru, paralel cu tabloul de perspectivă.

Punctul  $G, g$  din spațiul virtual apare în perspectivă cu  $g_0$  deasupra liniei orizontului, iar  $G_0$  situat sub  $g_0$ , când  $G$  se găsește deasupra geometralului. Se observă că segmentul vertical  $Gg$  apare răsturnat în perspectivă, centrul de vedere  $V, v$  găsindu-se între obiect și tablou.

Dacă punctul este la infinit, perspectiva lui apare în tablou la distanță finită, cu proiecția orizontală pe linia orizontului. Dacă presupunem că punctul  $A, a$  se depărtează către infinit, la limită, raza vizuală  $Va$  va fi conținută în planul orizontului și va intersecta tabloul într-un punct pe linia orizontului ce se notează cu  $f$ .

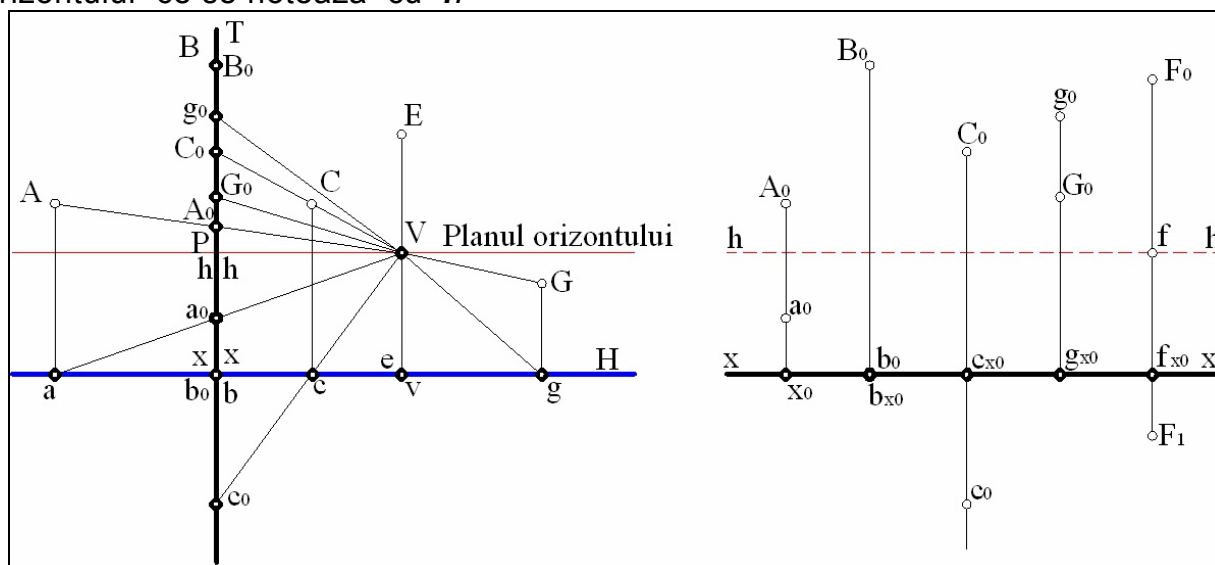


Fig. 11.8. Perspectiva punctelor-tablou; Fig. 11.9. Perspectiva punctelor-epura.

### 11.3. Perspectiva dreptelor

Se știe că proiecția conică pe un plan oarecare a unei drepte din spațiu este tot o dreaptă. Deci pentru a se obține proiecția conică a dreptei este suficient să se construiască proiecțiile conice a două puncte de pe ea. În perspectivă se utilizează în mod curent două puncte particulare ale dreptei:

Unul din puncte se ia intersecția dreptei cu tabloul de perspectivă punct ce poartă denumirea de urmare, deoarece perspectiva urmei este ea însăși. În figura 11.10, urma dreptei  $D$  este punctul  $U$ .

Al doilea punct se ia punctul de la infinit al dreptei. Acest punct corespunde poziției pe care o poate avea un punct  $A$  când se deplasează nelimitat pe dreaptă. În acest caz, unghiul razei vizuale  $VA$  cu  $D$  se micșorează și la limită devine zero. Rezultă că raza vizuală a punctului de la infinit de pe dreapta  $D$  trece prin  $V$  și este paralelă cu  $D$ . Din intersecția acestei raze vizuale cu tabloul rezultă un punct  $F$ . Punctul  $F$  se numește punctul de fugă al dreptei.

Dreapta  $FU$  este perspectiva dreptei  $D$ .

Punctul de fugă este foarte important în perspectivă deoarece dacă se iau două drepte  $D_1$  și  $D_2$  paralele cu  $D$ , aceste drepte au același punct comun cu  $D$  la infinit, iar perspectiva acestui punct fiind punctul  $F$ , rezultă că perspectivele celor trei drepte paralele  $D$ ,  $D_1$  și  $D_2$  apar concurente în  $F$ . Deci orice dreaptă  $D_1$  sau  $D_2$  paralelă cu  $D$  va avea ca perspectivă o dreaptă ce rezultă din unirea punctului  $U_1$  sau  $U_2$  (urmele dreptelor respective) cu punctul de fugă  $F$ .

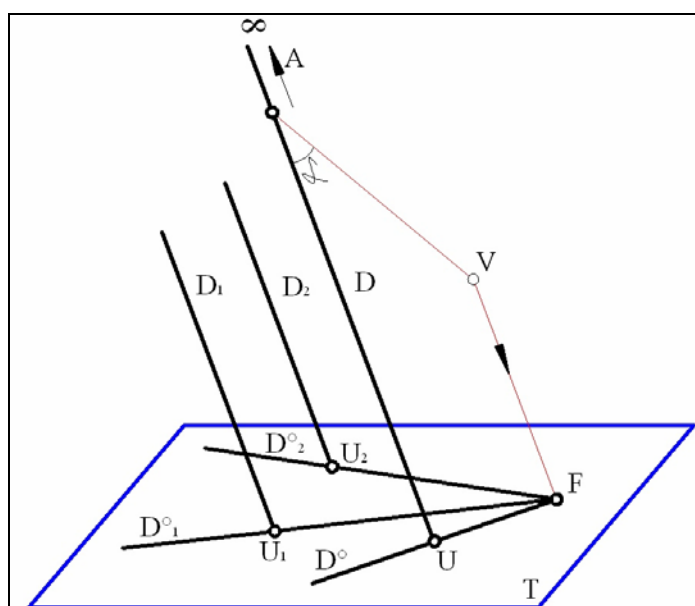


Fig. 11.10. Perspectiva dreptelor

*În concluzie: perspectivele dreptelor paralele din spațiu apar concurente, într-un punct numit **punct de fugă** care se obține proiectând conic, din centrul  $V$ , punctul de la infinit comun dreptelor paralele.*

În schița și în epura de perspectivă din figura 11.11, unde s-a considerat planul vertical de proiecție ca tablou de perspectivă, s-a obținut perspectiva unei drepte oarecare  $D$ .

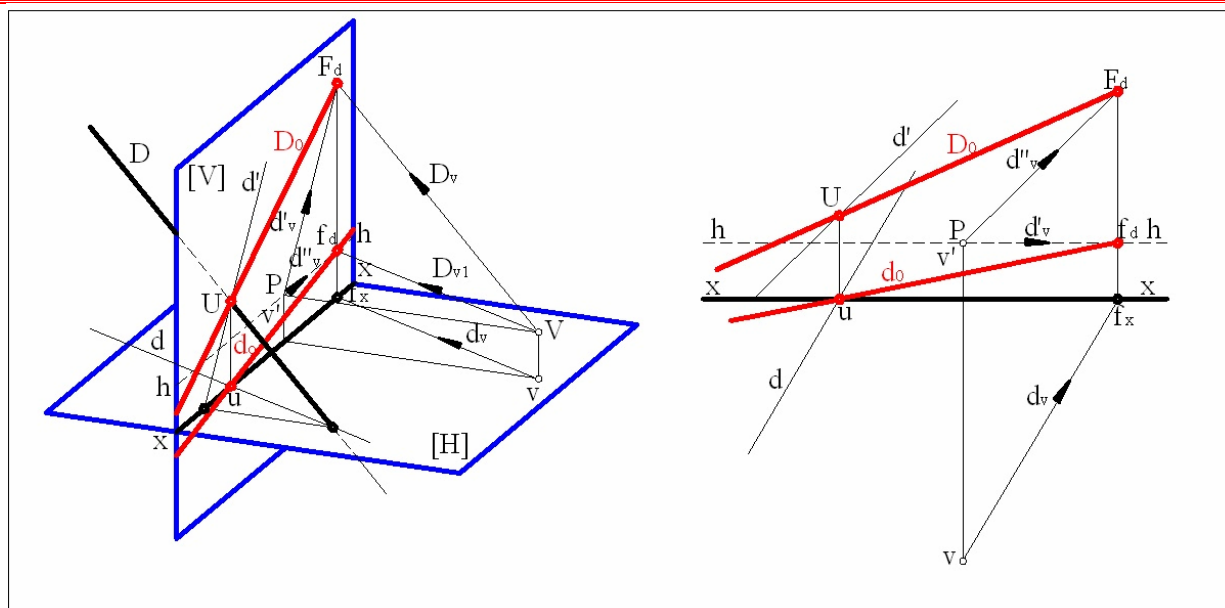


Fig. 11.11. Perspectiva dreptei oarecare  $D$ .

Trebuie subliniat că la dreaptă, pentru a se putea citi poziția ei în epura de perspectivă, nu este suficientă numai imaginea perspectivă a dreptei  $D$  din spațiu, ci este necesară și perspectiva proiecției ei orizontale  $d$ .

Pentru perspectiva dreptei din spațiu s-au folosit urma ei  $U$  pe tablou (determinată ca în dubla proiecție ortogonală cu ajutorul urmei  $u$  a proiecției orizontale  $d$  a dreptei) și punctul de fugă  $F_d$  (punctul de intersecție cu tabloul de perspectivă al razei vizuale  $d_v, d'_v$ , dusă prin centrul de vedere  $v, v'$ ,  $P$ , paralelă la  $d, d'$ ).

Dreapta  $D_0$  care unește pe  $F_d$  cu  $U$  este perspectiva dreptei din spațiu.

Pentru perspectiva proiecției orizontale  $d$  a dreptei se procedează la fel ca pentru dreapta din spațiu; se determină urma  $u$  și punctul de fugă  $f_d$ . Punctul de fugă  $f_d$  rezultă pe linia orizontului din intersecția cu tabloul de perspectivă a razei vizuale  $d_v, d'_v$  duse prin  $v, P$  paralelă la  $d, x-x$ .

Dreapta  $d_0$  care unește pe  $f_d$  cu  $u$  este perspectiva proiecției orizontale  $d$  a dreptei  $D$  din spațiu.

### 11.3.1. Perspectiva dreptei de nivel

Perspectiva dreptei de nivel se obține cu ajutorul urmei dreptei pe tablou și al punctului de fugă (figura 11.12). Dreapta de nivel fiind paralelă cu geometrului, proiecția ei orizontală  $d$  va fi paralelă cu dreapta  $D$  din spațiu și deci vor avea același punct de fugă  $f_d$ . Punctul  $f_d$  rezultă din intersecția cu tabloul, a razei vizuale  $d_v, d'_v$  a punctului de la infinit al orizontalei. Raza vizuală  $d_v, d'_v$  fiind o orizontală (este paralelă cu  $d, d'$ ) și trecând prin centrul de vedere  $v, P$ , aparține planului orizontului și va intersecta tabloul numai pe linia orizontului.

De aici se desprinde o concluzie foarte importantă:

toate orizontalele au punctul de fugă pe linia orizontului.

Odată punctul de fugă construit, se trece la determinarea celor două urme pe tablou,  $u$  și  $U$ , corespunzătoare proiecției orizontale  $d$  și a dreptei  $D$  din spațiu.

Dreapta  $f_d U$  este perspectiva dreptei din spațiu, iar  $f_d u$  perspectivă proiecției ei orizontale.

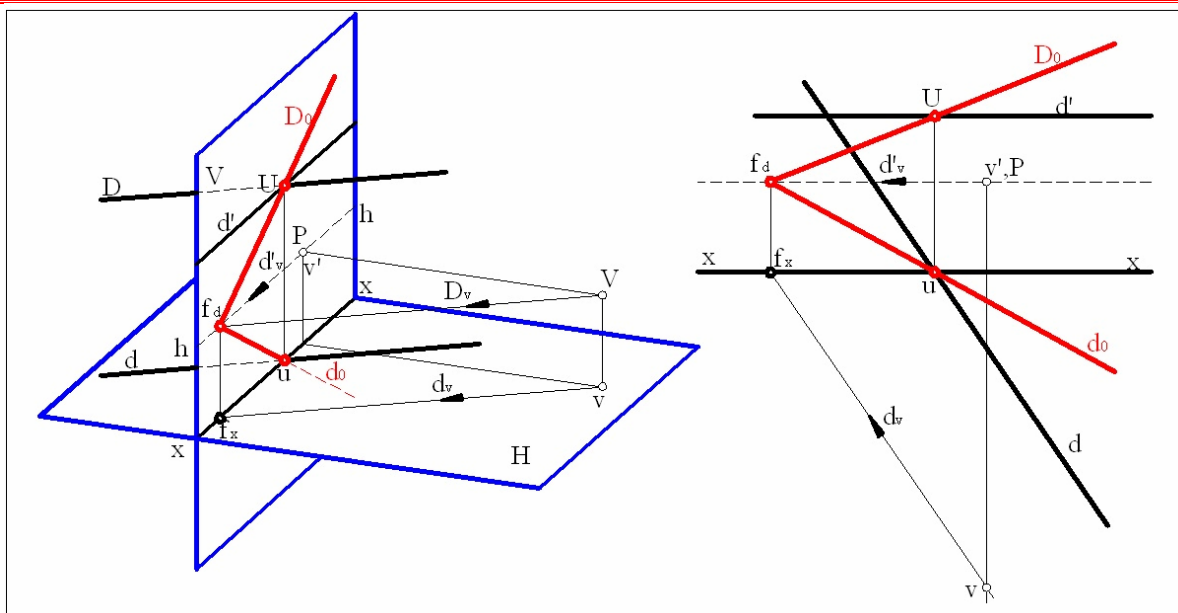


Fig. 11.12. Perspectiva dreptei orizontale  $D$ .

### 11.3.2. Perspectiva dreptei principale

Prin *dreaptă principală* se înțelege dreapta perpendiculară pe tabloul de perspectivă, deci o orizontală într-un caz particular față de tablou. Când tabloul de perspectivă coincide cu planul vertical de proiecție, dreapta principală nu este altceva decât dreapta de capăt din dubla proiecție ortogonală.

Punctul de fugă al acestei drepte este chiar punctul principal  $P$ , deoarece raza vizuală a punctului de la infinit al dreptei coincide cu raza principală de privire (figura 11.13). Cum dreapta principală se proiectează ortogonal pe tablou după un punct, acesta va fi și urma dreptei pe tablou. Deci dacă se unește  $P$  cu  $U$ , identic cu  $d'$  redus la un punct, se obține perspectiva dreptei principale  $D$  din spațiu;  $Pu$  va fi perspectiva proiecției orizontale a dreptei.

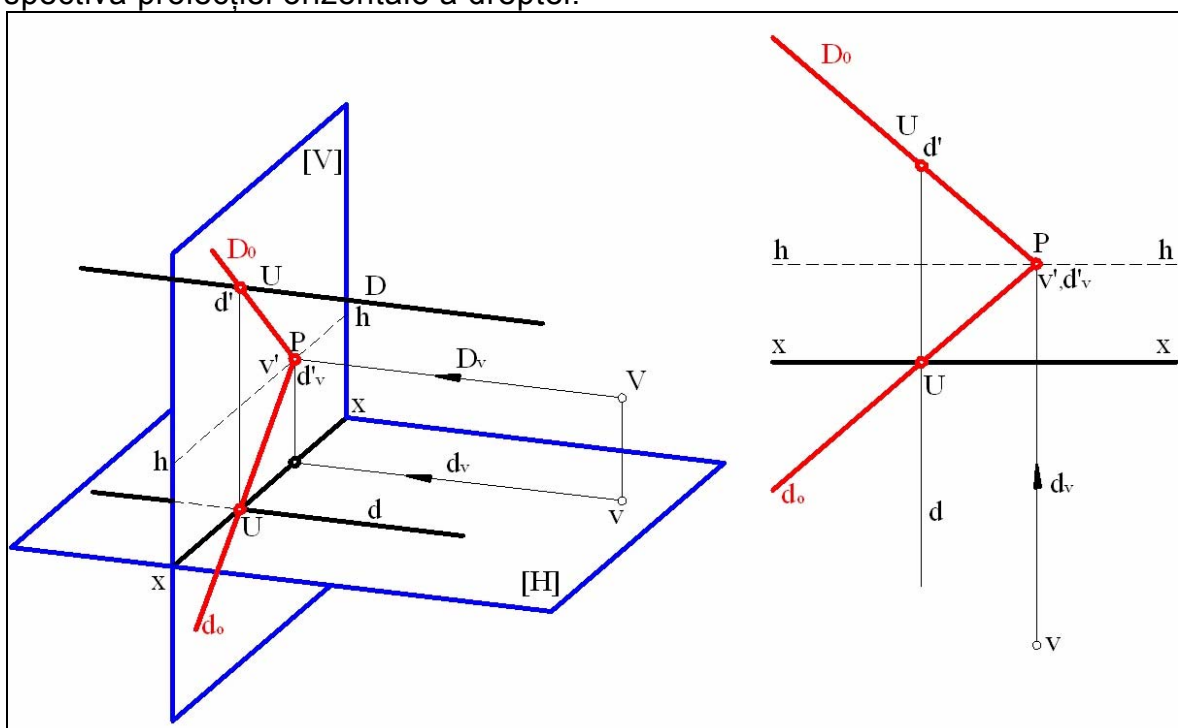
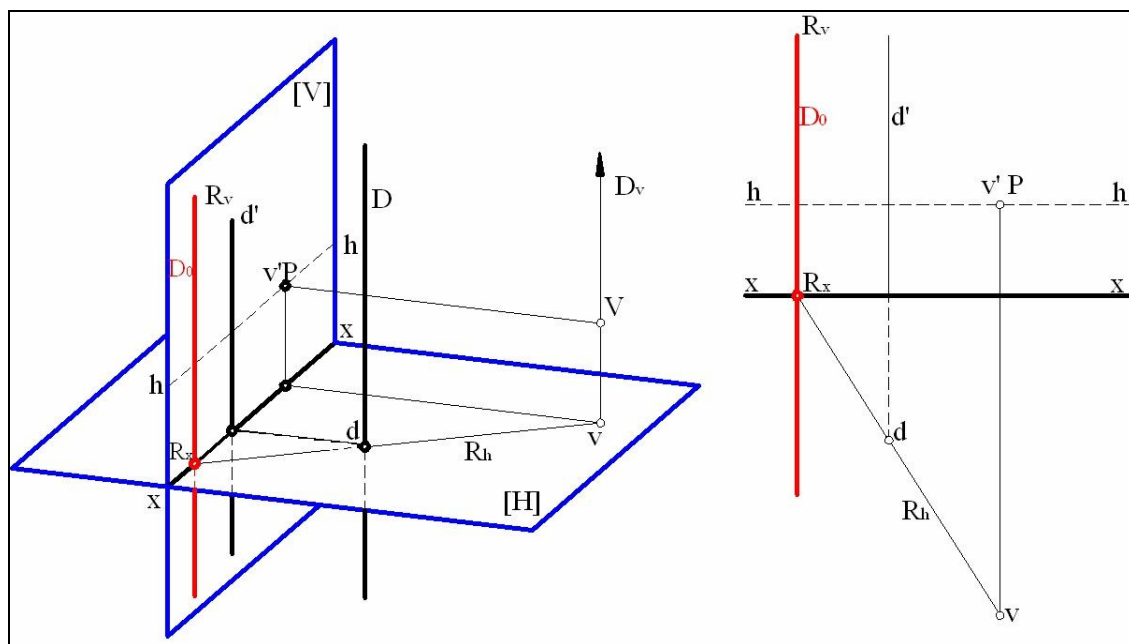


Fig. 11.13. Perspectiva dreptei principale.

### 11.3.3. *Perspectiva dreptei verticale*

Pentru dreapta verticală nu se poate folosi nici urma ei pe tablou și nici punctul de fugă, deoarece aceste puncte sunt aruncate la infinit, dreapta fiind paralelă cu tabloul (figura 11.14). Rezultă că perspectiva unei verticale este tot o verticală determinată de intersecția planului proiectant vertical al dreptei (definit de centrul de vedere  $V$  și de verticala respectivă din spațiu) cu tabloul. Acest plan proiectant are ca urmă orizontală dreapta  $R_h$  ce unește pe  $v$  cu  $d$  și care, prelungită, întâlnește linia de pământ  $R_x$ , pe unde va trece urma verticală  $R_v$  a planului.

Urma verticală  $R_v$  nu este altceva decât perspectiva  $D_0$  a verticalei  $D$  din spațiu.



**Fig. 11.14. Perspectiva dreptei verticale.**

#### 11.4. Perspectiva planului și a figurilor plane

#### 11.4.1. Perspectiva planului

În proiecția conică, un plan se definește prin proiecția conică a elementelor care îl determină: trei puncte, două drepte concurente etc.

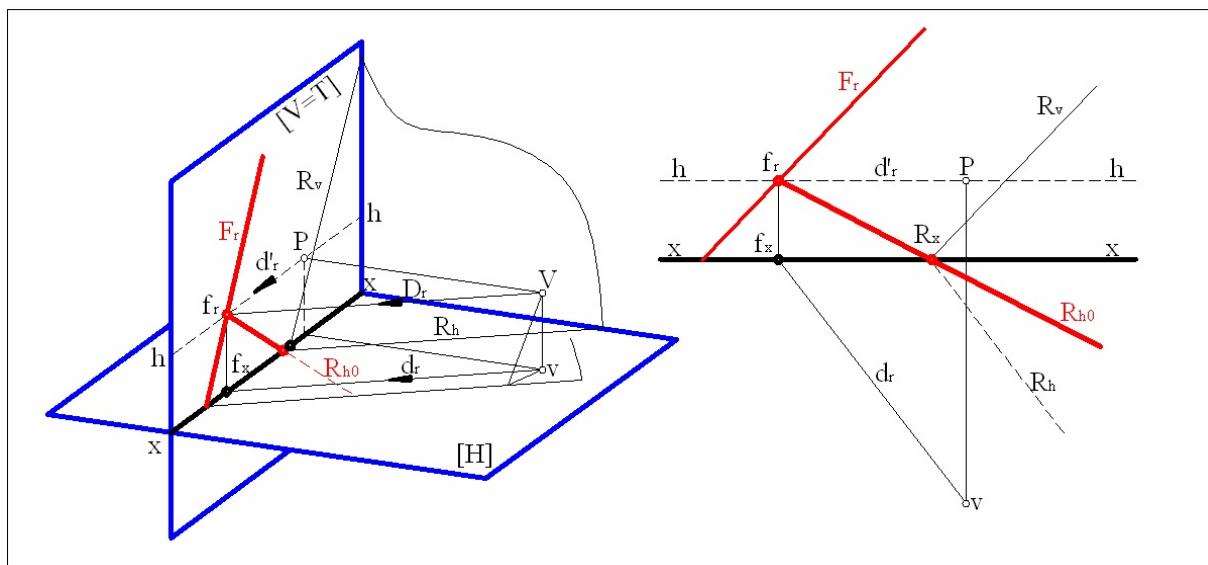
În perspectivă, planul  $R$  (figura 11.15) se reprezintă în general prin perspectiva urmei orizontale  $R_h$  și prin perspectiva dreptei sale de la infinit (dreapta de la infinit este dreapta comună planelor din spațiu paralele între ele). Perspectiva urmei orizontale  $R_h$  a planului se obține (figura 11.15, a), unind pe  $f_r$  (punctul de fugă al urmei  $R_h$ ) cu  $R_x$  (urma dreptei  $R_h$  pe tablou).

Perspectiva dreptei de la infinit a planului  $R$  rezultă din intersecția cu tabloul, a planului care conține centrul de vedere  $V$  și este paralel cu planul respectiv. Această dreaptă, se notează cu  $F_r$  (indicele corespunde notației planului) și se numește *dreapta de fugă* a planului. Dreapta de fugă și perspectiva urmei orizontale a planului au un punct comun în  $f_r$  pe linia orizontului, pe unde trec perspectivele tuturor dreptelor de nivel ale planului.

Orice dreaptă a planului apare în perspectivă cu punctul ei de fugă pe dreapta de fugă a planului și cu perspectiva urmei orizontale pe perspectiva urmei orizontale a planului.



În epură (figura 11.15, b) se construiește  $f_r$  cu ajutorul razei vizuale  $d_r, d'_r$ , paralelă cu  $R_h$  și apoi, unind pe  $f_r$  cu  $R_x$ , se obține  $R_{ho}$  - perspectiva urmei orizontale. Paralela la  $R_v$  dusă prin  $f_r$  constituie dreapta de fugă  $F_r$  a planului.



**Fig.11.15. Perspectiva planului R.**

Trecând la *planele particulare* se stabilesc următoarele proprietăți particulare în perspectivă:

*Planele de nivel* au ca dreaptă de fugă linia orizontului și deci dreptele de nivel aparținând diferitelor plane de nivel au punctele de fugă pe linia orizontului.

*Planele verticale* paralele între ele au ca dreaptă de fugă o dreaptă verticală (perpendiculară pe  $\mathbf{x}-\mathbf{x}$ ), deoarece urmele verticale ale planelor verticale sunt perpendiculare pe  $\mathbf{x}-\mathbf{x}$ . Orice dreaptă dintr-un plan vertical va avea punctul de fugă  $\mathbf{F}$  al dreptei din spațiu pe aceeași verticală cu  $\mathbf{f}$ , punctul de fugă al proiecției orizontale, deoarece ambele puncte de fugă trebuie să se găsească pe dreapta de fugă a planului vertical.

#### 11.4.2. *Perspectiva figurilor plane din geometral*

Imaginea perspectivă a unei figuri poligonale plane din spațiu se obține fie prin unirea perspectivelor vârfurilor poligonului, fie prin perspectivele laturilor lui.

Se recomandă, în cazul al doilea, să se folosească, ori de câte ori este posibil, punctele de fugă ale diferitelor laturi ale figurii, deoarece perspectivele dreptelor paralele se determină mai simplu și mai precis. Punctele de fugă ale laturilor figurii trebuie să se găsească pe dreapta de fugă a planului (condiția ca figura din spațiu să fie plană).

Dacă se consideră figura poligonală în geometral, toate laturile figurii vor avea punctele de fugă pe linia orizontului.

Fie un pătrat de nivel **abce** (figura 11.16, a) situat în geometral.

Pentru ca pătratul să apară văzut dintr-o parte, centrul de vedere se ia în zona determinată, de exemplu, de prelungirea laturilor **ab** și **bc** și cu **v** mai apropiat de prelungirea laturii **bc**, pentru ca latura **ab** să fie văzută mai mult.



## Geometrie descriptivă

Se ia apoi arbitrar baza  $x-x$  a tabloului, așa cum s-a stabilit, perpendiculară pe raza principală de privire  $vG$ .

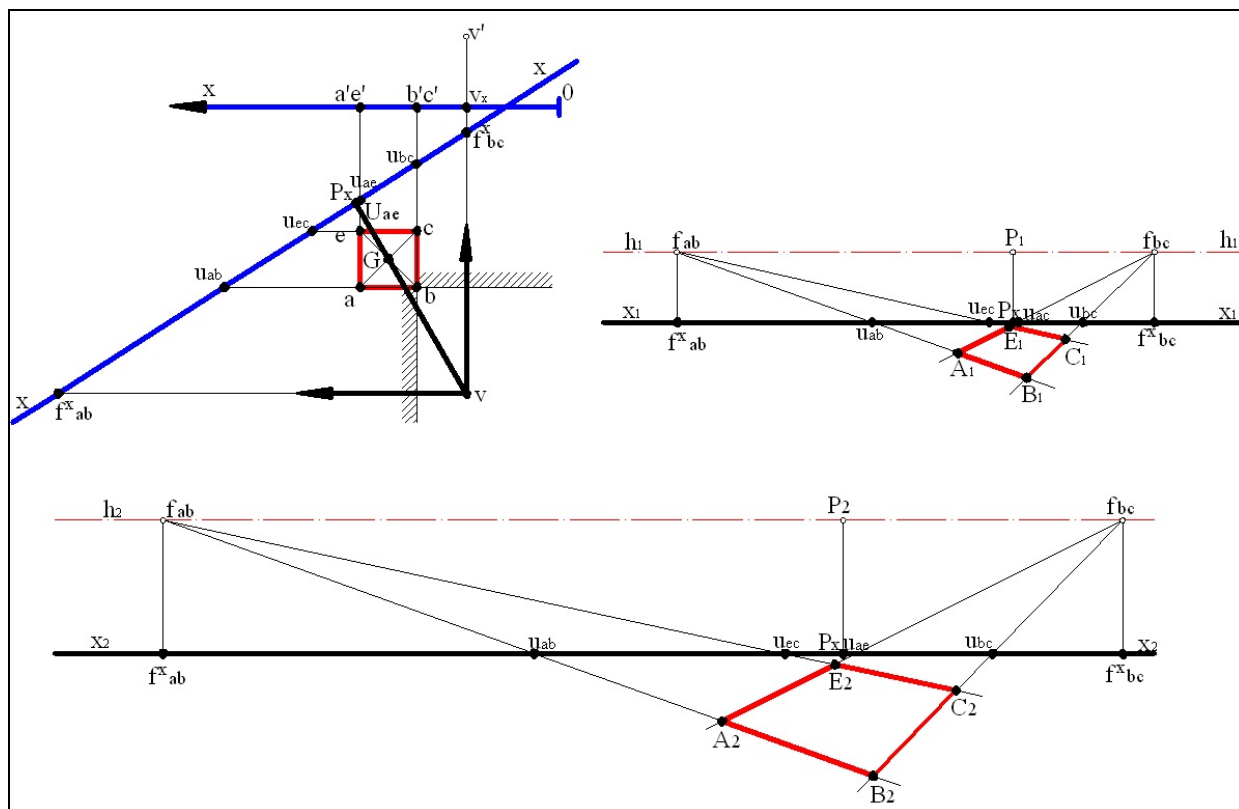


Fig. 11.16.a,b,c. Perspectiva unui pătrat ABCE.

Pentru a pune pătratul **abce**, **a'b'c'e'** în perspectivă prin laturile lui, se procedează astfel:

Se determină, întâi punctele de fugă  $f^x_{ab}$  și  $f^x_{bc}$  ale perechilor de laturi paralele și urmele  $U_{ab}$ ,  $U_{ce}$ ,  $U_{ae}$  și  $U_{bc}$  ale laturilor pătratului pe baza  $x-x$ .

Deoarece tabloul apare în epură cu  $x-x$  înclinată față de linia de pământ  $Ox$ , acesta poate fi luat separat de geometral cu  $x_1-x_1$  paralelă la marginea de jos a hârtiei (figura 11.16, b). Trecerea din geometral al urmelor dreptelor, precum și a punctelor de fugă respective de pe  $x-x$  în geometral, pe  $x_1-x_1$ , se face folosind ca punct de reper, punctul  $P_x$  pe  $x-x$ , respectiv  $P_x$  pe  $x_1-x_1$ .

Linia orizontului în tablou se ia față de  $x_1-x_1$  la o distanță egală cu  $v_x v'$  (cota centrului de vedere).

Folosind în tablou perspectivele dreptelor corespunzătoare laturilor pătratului, se determină prin intersecția lor vârfurile imaginii perspective a pătratului precum și laturile lui.

Această metodă de pregătire a geometralului separat de tablou prezintă avantajul că se pot obține imagini perspective mărite de câte ori dorim (figura 11.16, b, c).

Deci, pentru a obține o imagine perspectivă a pătratului mărită de două ori va trebui ca distanțele ce se iau din geometral de pe  $x-x$  să fie transpuse pe  $x_2-x_2$  mărite de două ori în tabloul de perspectivă separat de geometral, iar linia orizontului  $h_2-h_2$  se va trasa la o distanță de  $x_2-x_2$  de două ori cota centrului de vedere, deci distanța  $v_x v'$  dublată (figura 11.16, c).

### 11.5. Perspectiva elementelor din spațiu

Perspectiva elementelor din spațiu se construiește folosind perspectivele punctelor caracteristice ale acestora. Majoritatea procedeele utilizate au la bază un principiu comun, și anume: *punctul poate fi definit geometric ca intersecția a două drepte, deci perspectiva unui punct dat se poate obține din intersecția perspectivelor a două drepte ce trec prin el.* Unele din aceste procedee folosesc construirea directă a perspectivelor punctelor din spațiu ce determină clădirea, fiind indicate mai ales pentru punerea în perspectivă a volumelor simple, altele pornesc întâi cu construirea în perspectivă a „planului” clădirii, urmând apoi ca prin construcții directe în tablou să rezulte și ridicarea volumului în spațiu; acestea din urmă se recomandă pentru perspectivele clădirilor complexe sau ansambluri de clădiri. Toate se bazează pe perspectiva dreptei, fie în cazul general, fie în cazurile particulare. Se vor analiza procedeele cel mai frecvent utilizate pentru construirea volumelor simple.

#### 11.5.1. Perspectiva directă a punctelor din spațiu

Pentru simplificarea construcțiilor grafice necesare punerii în perspectivă a unui punct din spațiu cu ajutorul a două drepte este indicat a se utiliza dreptele particulare: de nivel, principală și verticală. Perspectiva punctului rezultă din intersecția perspectivelor celor două drepte duse prin punct.

În funcție de alegerea celor două drepte particulare care să determine punctul din spațiu, se deosebesc următoarele procedee:

##### a. Procedeele ce utilizează pentru definirea punctului o verticală și o dreaptă principală.

Pentru a construi perspectiva verticalei  $d, d'$  (figura 11.17) dusă prin punctul  $a, a'$  se folosește punctul  $R_x$ , rezultat din intersecția urmei orizontale  $R_h$  (dreapta ce trece prin punctele  $v$  și  $a$ ) a planului vertical vizual al dreptei, cu  $x-x$ , baza tabloului (figura 11.17, a). Perpendiculara din  $R_x$  pe  $x_1-x_1$  reprezintă perspectiva verticalei  $d, d'$  în tabloul separat (figura 11.17, b).

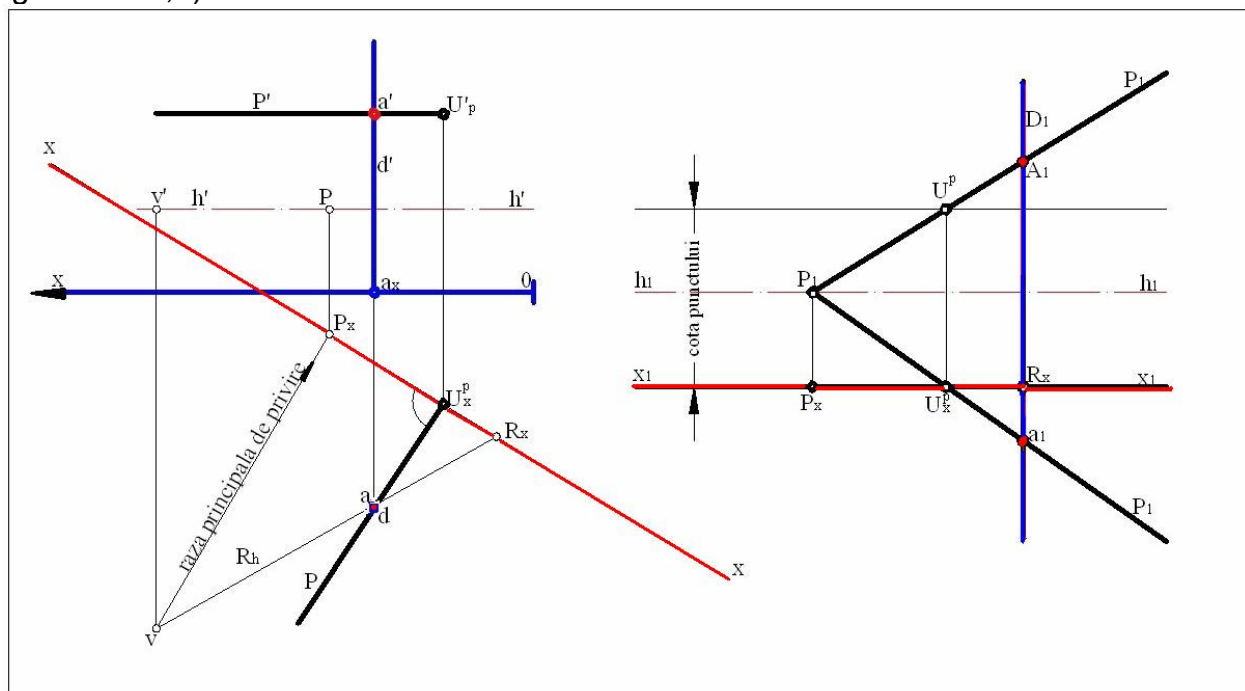


Fig.11.17.a,b. Procedeele vP.

Trecând la perspectiva dreptei principale  $p, p'$ , se construiește  $u_x^p$  (urma proiecției orizontale  $p$  a dreptei principale pe  $x-x$ ), care apoi se transpune în tabloul separat atât în punctul  $u_x^p$  pe  $x_1-x_1$  pentru proiecția orizontală, cât și în punctul  $U^p$  pe aceeași linie de ordine cu  $u_x^p$  pentru dreapta din spațiu.

Dreptele  $P_1U^p$  și  $P_1u_x^p$ , perspectiva dreptei principale din spațiu, respectiv a proiecției ei orizontale, intersectează dreapta  $D_1$  (perspectiva verticalei) în punctul  $A_1, a_1$ , perspectiva punctului.

Pentru simplificarea vorbirii, să denumește acest procedeu, procedeu vP ( $v$  este centrul de vedere utilizat pentru perspectiva verticalelor, iar  $P$  punctul de fugă al dreptelor de capăt).

**b. Procedeu ce folosește pentru determinarea punctului o verticală și o orizontală oarecare** (figura 11.18, a,b).

Perspectiva verticalei în tabloul separat se obține ca în cazul precedent, ducând prin  $R_x$  dreapta  $D_1$  perpendiculară pe  $x_1-x_1$  (figura 11.18, b). Unind în tabloul separat punctele  $U^n$  și  $u_x^n$  cu  $f^n$  (punctul de fugă al orizontalei  $n, n'$ ), se obțin dreptele:  $N_1$ , perspectiva orizontalei duse prin  $A$  și  $n_1$ , perspectiva proiecției ei orizontale duse prin  $a_1$ .

Din intersecția dreptelor  $N_1$  și  $n_1$  cu dreapta  $D_1$ , rezultă punctele  $A_1$  și  $a_1$ , care reprezintă perspectiva punctului  $a, a'$  din spațiu.

Prescurtat, se denumește procedeu vF ( $v$  este centrul de vedere, iar  $F$ , punctul de fugă al orizontalelor).

**Observație:** Segmentul  $A_1a_1$  este perspectiva segmentului vertical  $Aa$  din spațiu.

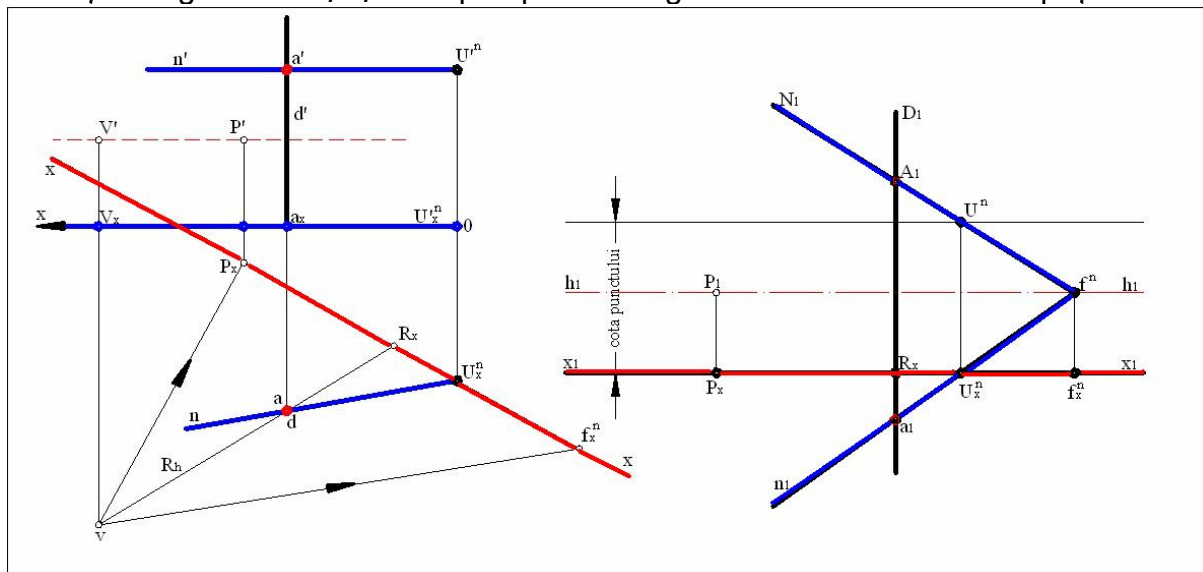


Fig.11.18.a,b. Procedeu vF.

**c. Procedeu ce folosește pentru determinarea punctului o dreaptă principală și o dreaptă orizontală oarecare** (figura 11.19, a, b).

Perspectiva unui punct  $a, a'$  (figura 11.19, a) pe tabloul de bază  $x-x$  se obține din intersecția perspectivelor celor două drepte,  $p, p'$  principală și  $n, n'$  orizontală, duse prin punct. Punctul  $A_1$  (perspectiva punctului  $A$  din spațiu) rezultă din intersecția dreptelor  $P_1U^p$  și  $f^nU^n$  (perspectivele dreptei principale  $p, p'$  respectiv a dreptei de nivel  $n, n'$  din spațiu duse prin  $a, a'$ ), iar punctul  $a_1$ , din intersecția perspectivelor proiecțiilor orizontale ale

## Geometrie descriptivă

dreptelor respective. Punctele  $A_1$  și  $a_1$  trebuie să se găsească pe aceeași verticală, segmentul  $A_1 a_1$  fiind perspectiva segmentului vertical  $Aa$  din spațiu.

*Prescurtat, se numește acest procedeu Pf.*

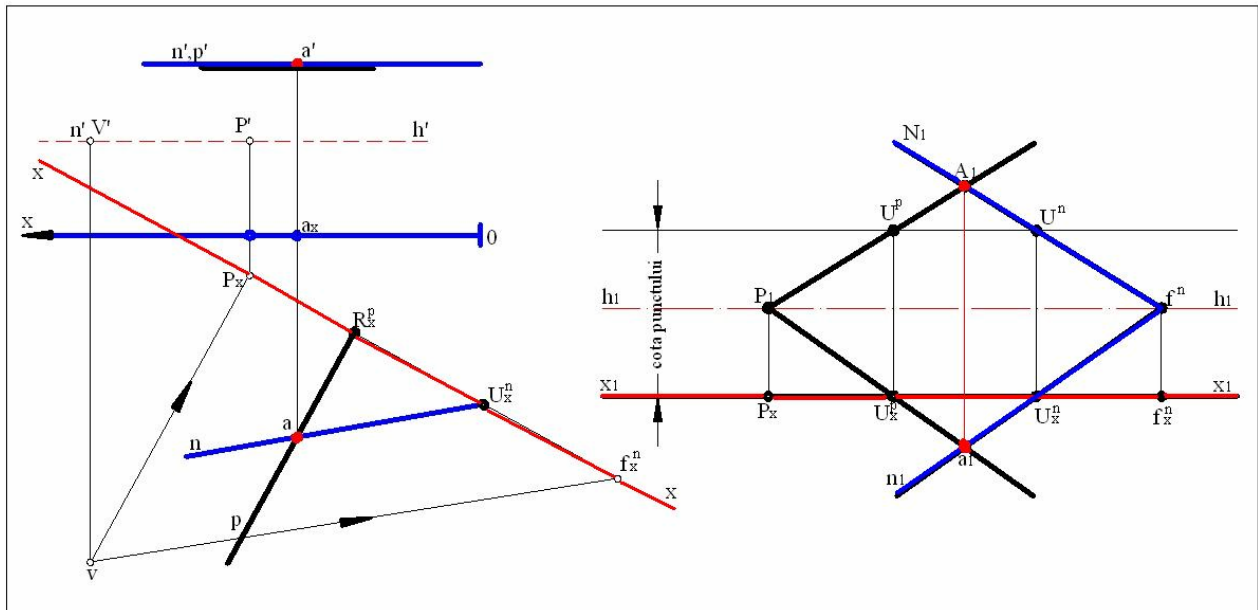


Fig.11.19.a,b. Procedeu Pf.

d. **Procedeu ce folosește pentru determinarea punctului doua drepte de nivel de direcții ce fac între ele un unghi de  $n^\circ$ .**

Se folosesc două horizontale care fac între ele un unghi de  $90^\circ$ , de aceea *procedeu poartă denumirea de  $ff^{90^\circ}$* . Procedeu  $ff^{90^\circ}$  deși ar fi cel mai indicat pentru punerea în perspectivă a clădirilor, deoarece acestea prezintă muchii horizontale perpendiculare între ele, nu poate fi utilizat întotdeauna deoarece rezultă o distanță foarte mare între punctele de fuga  $f_x$  și  $f_x^{90^\circ}$  corespunzătoare orizontalelor ce definesc punctele din spațiu, de unde și posibilitatea ca unul din punctele de fugă să nu intre în cadrul de lucru.

e. **Procedeu  $fM$ .**

Acest procedeu corespunde cazului în care *punctul din spațiu este definit prin două drepte orizontale dintre care direcția uneia este determinată de poziția celeilalte*, și anume: dacă prima orizontală poate fi luată la alegere, a doua orizontală se ia la fel înclinată față de prima și față de tablou.

*Punctul de fugă  $M_1$  se numește punct de măsură*, pentru că el este punctul de fugă al dreptelor de nivel ce transpun segmentele de pe baza  $x-x$  a tabloului, egal pe dreapta orizontală  $d$  și invers, dând posibilitatea să măsurăm segmentele orizontale date în perspectivă prin aducerea lor de pe suportul orizontal  $d_1$  pe baza  $x_1-x_1$  a tabloului cu ajutorul punctului de măsură respectiv.

f. **Procedeu PD.**

Este un caz particular al procedurii  $fM$ , și anume când orizontală  $d, d'$  devine perpendiculară pe tablou, deci o dreapta principală, iar dreapta  $m_a m_a'$  devine o dreaptă la  $45^\circ$  atât față de dreapta principală cât și de tablou. Punctul de fugă al dreptei la  $45^\circ$  se notează cu  $D^+$  sau  $D^-$ , după cum dreapta respectivă face un unghi de  $45^\circ$  pozitiv sau negativ cu  $x-x$  măsurat în sens trigonometric și se numește *punct de distanță*.

## 11.5.2. Perspectiva cu ajutorul elementelor din planul orizontal

Dacă se ține seama că perspectiva oricărui element geometric din spațiu trebuie legată de perspectiva proiecției lui pe planul orizontal, deoarece numai în acest caz poate fi determinată poziția elementului respectiv față de sistemul de referință, rezultă că și perspectiva unei clădiri trebuie să fie însoțită de perspectiva „planului” clădirii, adică de perspectiva proiecției lui pe planul orizontal. Din această cauză, de multe ori în practică, se obișnuiește ca perspectiva unei clădiri să fie executată pe baza perspectivei „planului” clădirii; deci, întâi se construiesc perspectivele tuturor elementelor clădirii din planul orizontal de proiecție și apoi, prin utilizarea diferitelor construcții grafice în tabloul de perspectivă, se determină și perspectiva verticală a clădirii.

Această metodă este cu atât mai indicată cu cât „planul” clădirii este mai complex sau când este cazul punerii în perspectivă a unor ansambluri mari de clădiri.

Pentru punerea în perspectivă a elementelor din geometral poate fi utilizat oricare din procedeele analizate, cu deosebirea că punctele din planul orizontal de proiecție se definesc numai cu ajutorul dreptelor orizontale de cotă nulă, fie în poziții oarecare, fie perpendiculare față de baza tabloului. Este de remarcat faptul că urmele acestor drepte se găsesc numai pe baza  $x-x$  a tabloului, iar punctele de fugă respective, numai pe linia orizontului  $h-h$ .

Una dintre căile cele mai simple pentru punerea în perspectivă orizontală a unui volum complex, și în special pentru ansambluri, este aceea cu ajutorul unui carioaj, determinat de rețele de drepte de direcții perpendiculare între ele.

Una din rețele se consideră alcătuită din drepte paralele cu baza  $x-x$  a tabloului, iar cea de-a doua, cu drepte perpendiculare pe baza  $x-x$  a tabloului. Apoi aceste rețele se pun în perspectivă (fig.11.20).

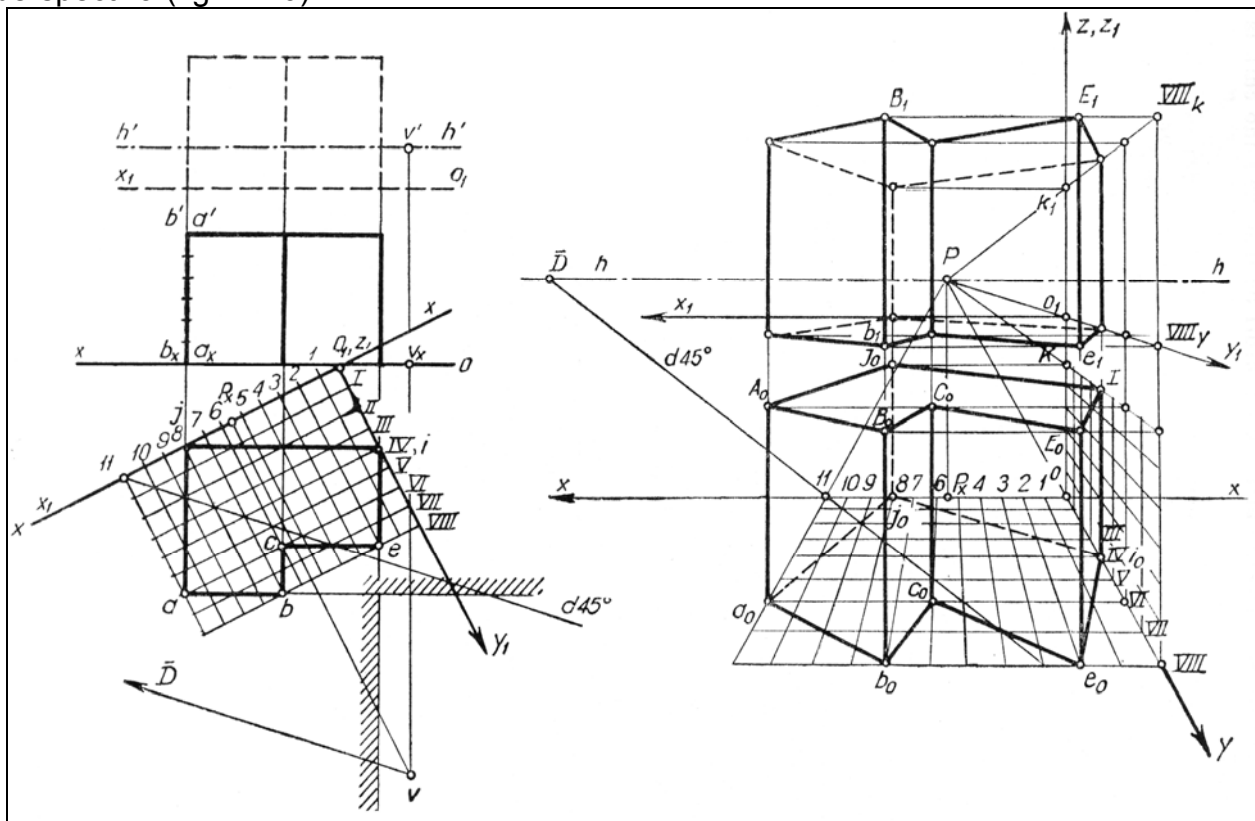


Fig. 11.20. Perspectiva cu ajutorul rețelei

## 11.6. Aplicații:

## 1. Perspectiva punct cu punct, a unui corp de clădire prin procedeul vf

Fie în figura 11.21 o clădire cu două corpuri reprezentată în dublă proiecție ortogonală. Indiferent de procedeul care se va folosi pentru construirea imaginii perspective este necesar, mai întâi, să se fixeze elementele de bază ale sistemului perspectiv. Pentru aceasta:

Se determină zona de vizibilitate prin prelungirea laturilor **ab** și **eh** astfel ca să apară văzute în perspectivă fețele **ab**, **ef**, **eh** și **ad** ale clădirii. Pentru ca imaginea perspectivă a corpului **abcd** să se suprapună pe fațada **ef** a corpului **efgh** până în dreptul verticalei punctului **m**, punctul de vedere **v** se ia pe dreapta ce unește punctele **m** și **b**.

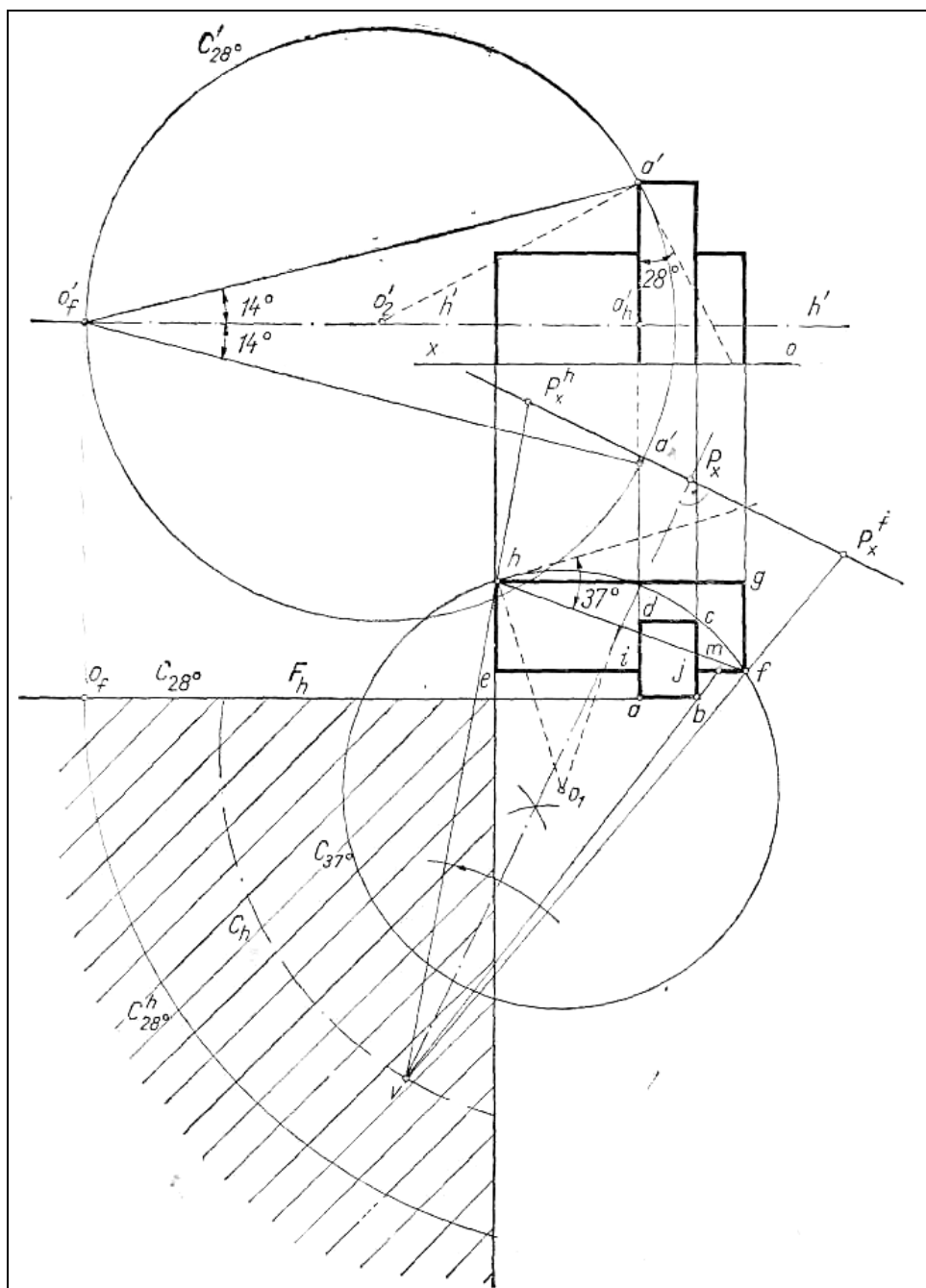


Fig.11.21. Alegerea punctului de vedere



Pentru fixarea punctului  $v$  trebuie să se țină seama de ambele unghiuri vizuale deoarece clădirea conține și un corp înalt.

Unghiul vizual orizontal de  $37^\circ$  se asigură dacă  $v$  se ia pe arcul de cerc capabil de unghi de  $37^\circ$  -  $hc_{37}f$  - ce trece prin punctele  $h$  și  $f$ .

Pentru a asigura unghiul vizual vertical, se construiește în planul frontal  $F_h ab$  ce trece prin verticala punctului  $a$  și care apare în adevărata mărime în proiecție verticală, arcul de cerc capabil de unghi de  $28^\circ$  ce apare în proiecție verticală în adevărata mărime după arcul  $a'c'_{28}a'_1$  dus prin  $a'$  și  $a'_1$  ( $a'_1$  simetricul lui  $a'$  față de  $h'-h''$ ).

Din intersecția acestui arc de cerc cu  $h'-h''$  rezultă punctul  $o'_f$  ce se coboară în proiecție orizontală pe  $Fh$  în  $o_f$ . Prin luarea punctului  $v$  pe arcul de cerc  $c^h_{28o}$  cu centrul în  $a$  și raza  $ao_f$  se asigură ca volumul să fie înscris în unghiul vizual vertical.

Dar, punctul  $v$  nu poate fi luat pe cele două arce de cerc,  $c_{37o}$  sau  $c^h_{28o}$ , decât în punctul lor de intersecție. Cum aceste două arce de cerc nu se intersectează în zona de vizibilitate, se trasează cu aproximație curba intermediară  $ch$ , la egală distanță de arcele de cerc  $c_{37o}$  și  $c^h_{28o}$ , și din intersecția ei cu dreapta  $am$  rezultă poziția proiecției orizontale  $v$  a punctului de vedere.

Se unește  $v$  cu  $h$  și  $f$ , punctele extreme spre stânga, respectiv spre dreapta observatorului ale ansamblului, obținându-se *unghiul vizual optim*.

Se trasează apoi bisectoarea unghiului vizual optim –  $hvf$  - ca rază principală de privire.

Se determină baza  $x-x$  a tabloului, perpendiculară pe bisectoarea unghiului  $hvf$ , astfel ca razele extreme  $vh$  și  $vf$  să o intersecteze în punctele  $P^h_x$  respectiv  $P^f_x$  la o distanță egală cu lățimea imaginii perspective care trebuie obținută.

Toate aceste operații sunt necesare în alegerea elementelor sistemului perspectiv pentru ca imaginea perspectivă construită să fie cât mai naturală.

În ceea ce privește construirea imaginii perspective se poate aplica orice procedeu din cele expuse  $vP$ ,  $vf$ ,  $Pf$ ,  $fM$  sau  $PD$ .

În figura 11.22, s-a utilizat *metoda vf*, prin construirea directă a perspectivelor punctelor din spațiu ce determină clădirea.

Elementele sistemului perspectiv luate în figura 11.22 sunt aceleași cu cele obținute în figura 11.21.

Se construiește mai întâi perspectiva corpului de clădire  $abcdABCD$ , un paralelipiped dreptunghic (figura 11.22,b), considerând că prin fiecare punct trec drepte verticale și orizontale de direcție  $ad$ .

Punctul de fugă al orizontalelor se obține cu ajutorul lui  $f_x$  determinat din intersecția paralelei la dreapta  $ad$  dusă prin  $v$  cu baza  $x-x$  a tabloului.

Se transpune  $f_x$  în tabloul de perspectivă luat separat, prin păstrarea distanței  $P_xf_x$  (figura 11.22,b), după care se ridică pe linia orizontului  $h-h$  în  $f$ .

Pentru a construi perspectivele punctelor  $A$  și  $B$  se folosesc orizontala  $AD$  și verticalele punctelor.



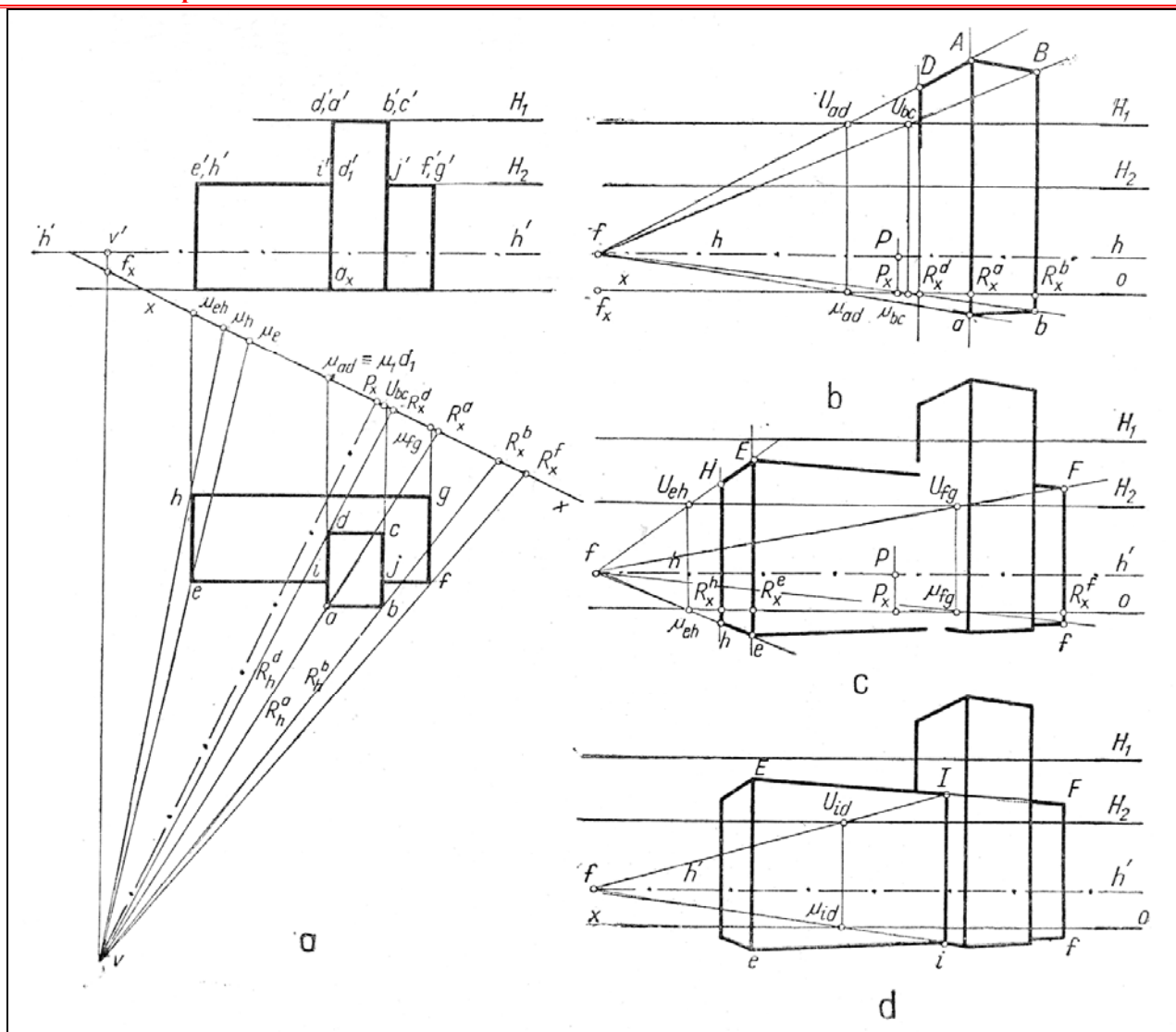


Fig.11.22. Etape de construcție a perspectivei clădirii

Perspectiva orizontalei **AD** se obține astfel:

Dreapta **ad**, proiecția orizontală a dreptei **AD** din spațiu, are ca urmă pe tablou punctul **u<sub>ad</sub>** ce se transpune în tabloul luat separat atât pe **x-x** în **u<sub>ad</sub>** (urma proiecției orizontale **ad**) cât și la nivelul **H<sub>1</sub>** în punctul **U<sub>ad</sub>** (urma dreptei **AD** în spațiu).

Dreptele **fU<sub>ad</sub>** și **fu<sub>ad</sub>** sunt perspectivele dreptelor **AD** din spațiu, respectiv a proiecției orizontale **ad**.

Perspectivele dreptelor verticale din **a** și **d** se obțin cu ajutorul planelor vizuale verticale ce au urmele orizontale **R<sup>a</sup><sub>h</sub>** și **R<sup>d</sup><sub>h</sub>** (obținute prin unirea lui **v** cu **a** respectiv **d**). Urmele orizontale **R<sup>a</sup><sub>h</sub>** și **R<sup>d</sup><sub>h</sub>** intersectează baza **x-x** a tabloului în punctele **R<sup>a</sup><sub>x</sub>** respectiv **R<sup>d</sup><sub>x</sub>** ce se transpun în tabloul luat separat față de **P<sub>x</sub>** păstrând distanțele **P<sub>x</sub>R<sup>a</sup><sub>x</sub>** și **P<sub>x</sub>R<sup>d</sup><sub>x</sub>**.

Verticalele duse prin **R<sup>a</sup><sub>x</sub>** și **R<sup>d</sup><sub>x</sub>** (perspectivele verticalelor din **A**, respectiv **D**) intersectează dreptele **fU<sub>ad</sub>** și **fu<sub>ad</sub>** în punctele **A** și **D**, respectiv **a** și **d** (perspectivele punctelor). **Aa** este perspectiva segmentului vertical **Aa** din spațiu.

În mod analog, se obține și perspectiva segmentului **Bb** din spațiu. Se construiește perspectiva orizontalei **BC**, **bc** unind punctul de fugă **f** cu **U<sub>bc</sub>** respectiv **u<sub>bc</sub>** (urmele orizontalei). Unind pe **v** cu **b** se obține **R<sup>b</sup><sub>h</sub>** ce intersectează baza **x-x** în **R<sup>b</sup><sub>x</sub>** ce se transpune în tabloul luat separat. Verticala din **R<sup>b</sup><sub>x</sub>** (perspectiva verticalei punctului **B**, **b**)

## Geometrie descriptivă

intersectează dreptele  $fU_{bc}$  și  $fu_{bc}$  (perspectiva orizontalei ce trece prin  $B, b$ ) în punctele  $B, b$ , rezultând perspectiva verticalei limitată de  $B$  și  $b$ .

Se întăresc perspectivele muchiilor  $AB, ab$  și  $AD$  care se văd precum și muchiile verticale  $Aa$  și  $Bb$  (figura 11.22, b).

Se trece la perspectiva celui de al doilea corp  $efghEFGH$  (figura 11.22, c) folosind perspectivele  $fU_{eh}$ ,  $fu_{eh}$  și  $fU_{fg}$ ,  $fu_{fg}$  ale orizontalelor  $EH, eh$  respectiv  $FG, fg$  obținute prin unirea punctului de fugă  $f$  cu urmele  $U_{eh}$ ,  $u_{eh}$  respectiv  $U_{fg}$ ,  $u_{fg}$  ale acestor drepte și verticalele duse prin  $R_x^h$ ,  $R_x^e$  și  $R_x^f$  ce reprezintă perspectivele verticalelor duse prin  $H, E$  respectiv  $F$ . Prin unirea punctelor determinate se obține imaginea perspectivă  $hef, HEF$  (fețele văzute ale celui de-al doilea corp).

Direct în perspectivă, se poate obține îmbinarea celor două corpuri cu ajutorul punctului  $I, i$  rezultat din intersecția dreptei  $EF, ef$  cu dreapta  $fU_{id}$ ,  $fu_{id}$  (perspectiva orizontalei ce trece prin punctul  $I, i$  paralelă cu  $ad$ ).

### Aplicația 2:

Să se construiască perspectiva unui paralelipiped prin mai multe metode.

Rezolvare: **Metodele  $vf, f^0, vP, Pf$  și  $PD$**  sunt folosite în figurile 11.23. – 11.28.

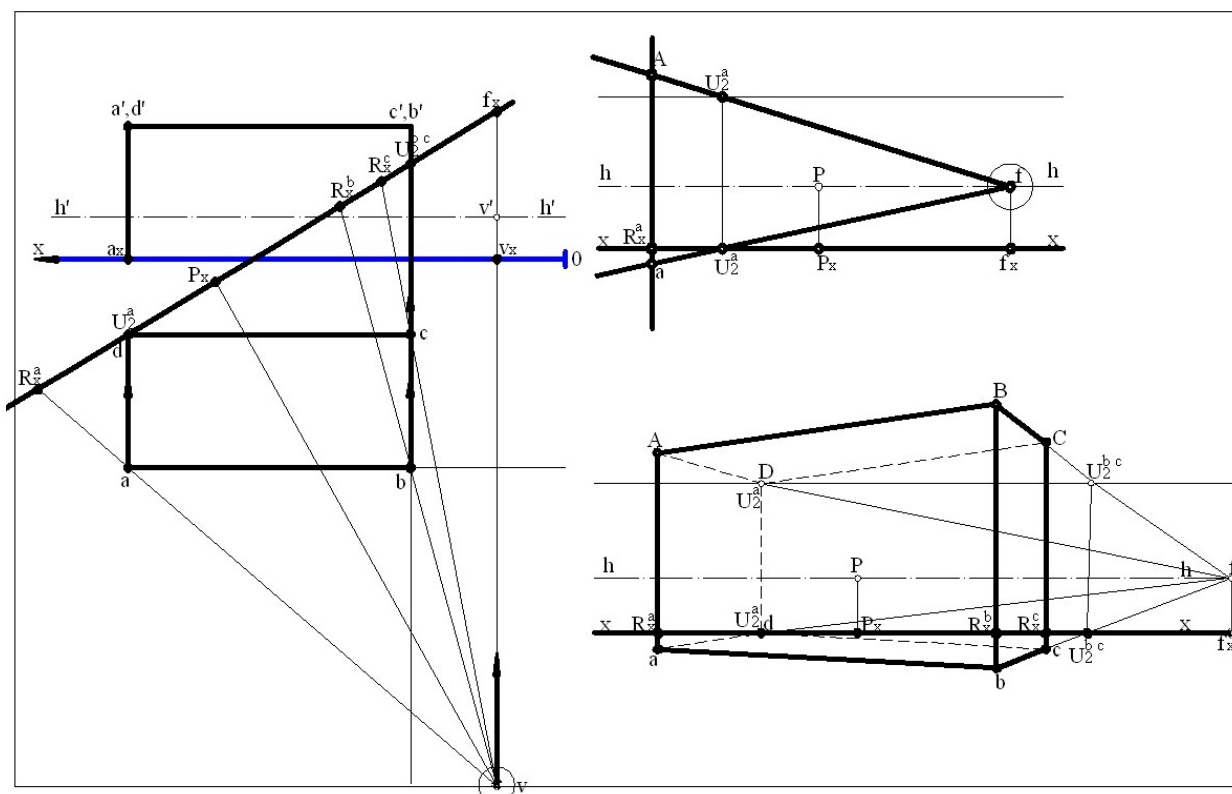
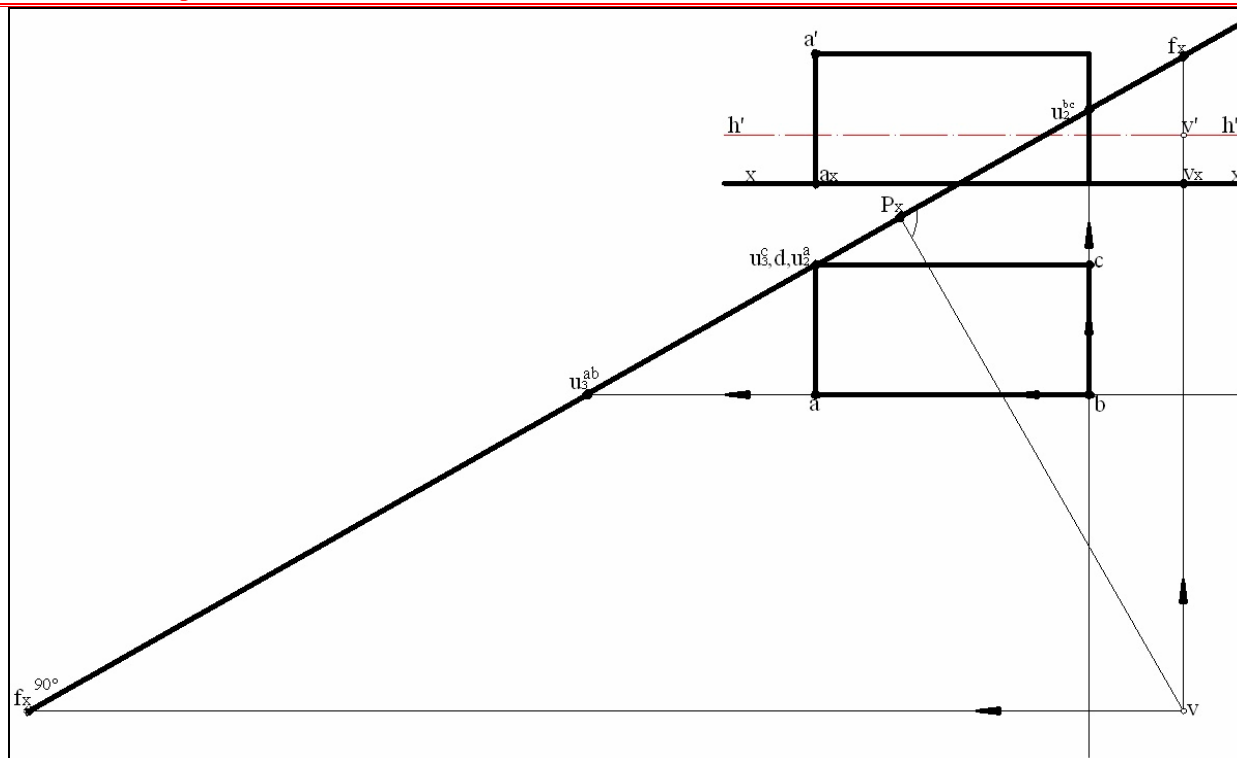
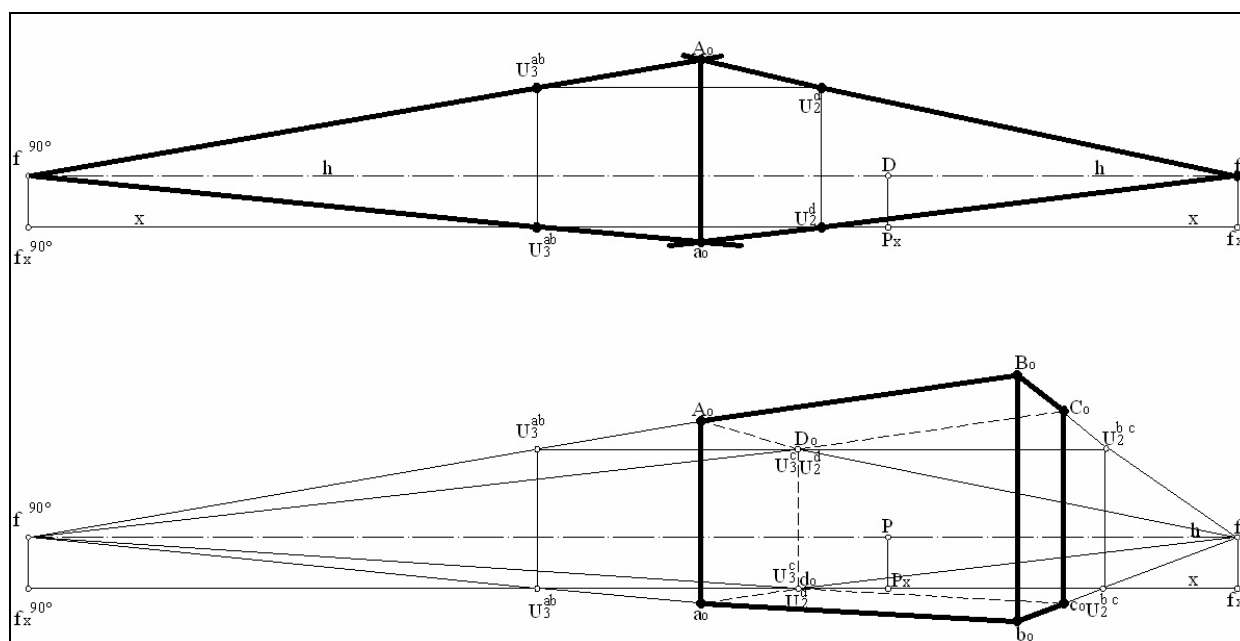


Fig.11.23. Construcția perspectivei prin metoda  $vf$ .



**Fig.11.24. Geometralul prin metoda  $f^{900}$**



**Fig.11.25.Tabloul de perspectivă; construcție prin metoda  $f^{90^\circ}$**

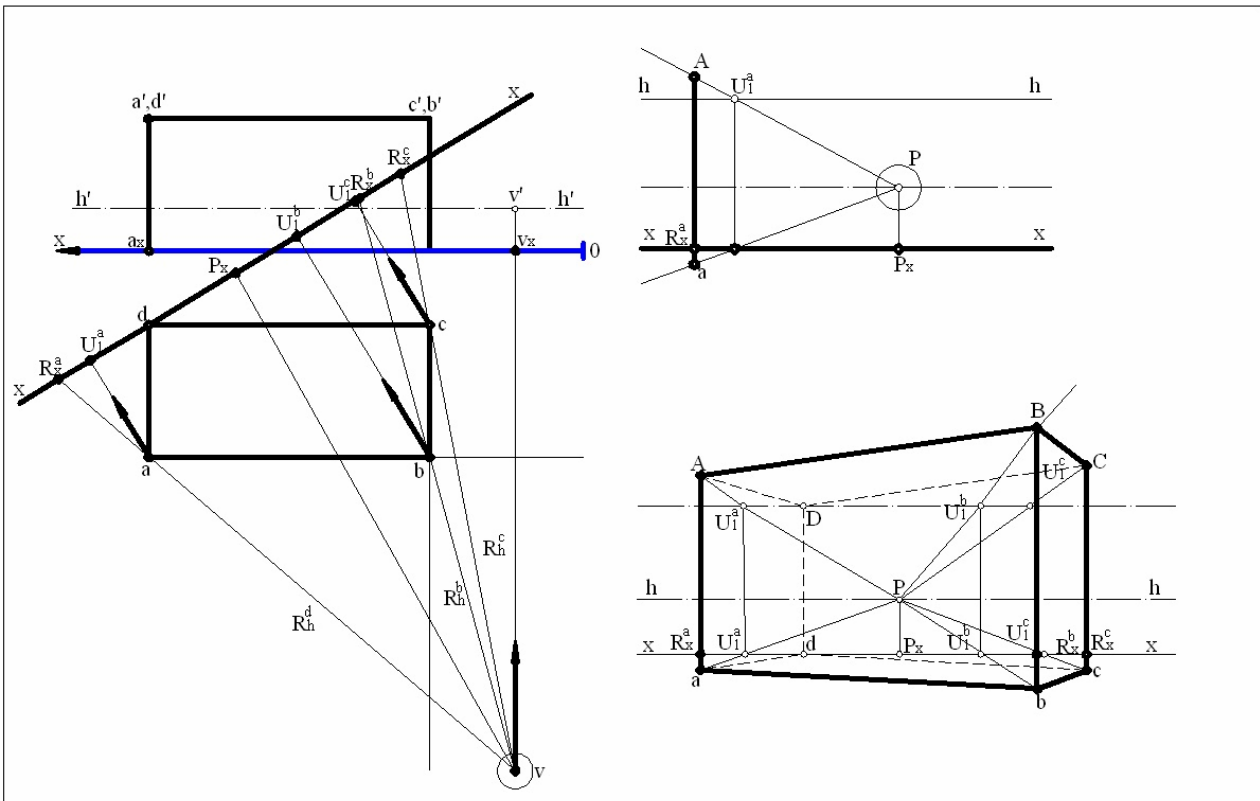


Fig. 11.26. Metoda vP.

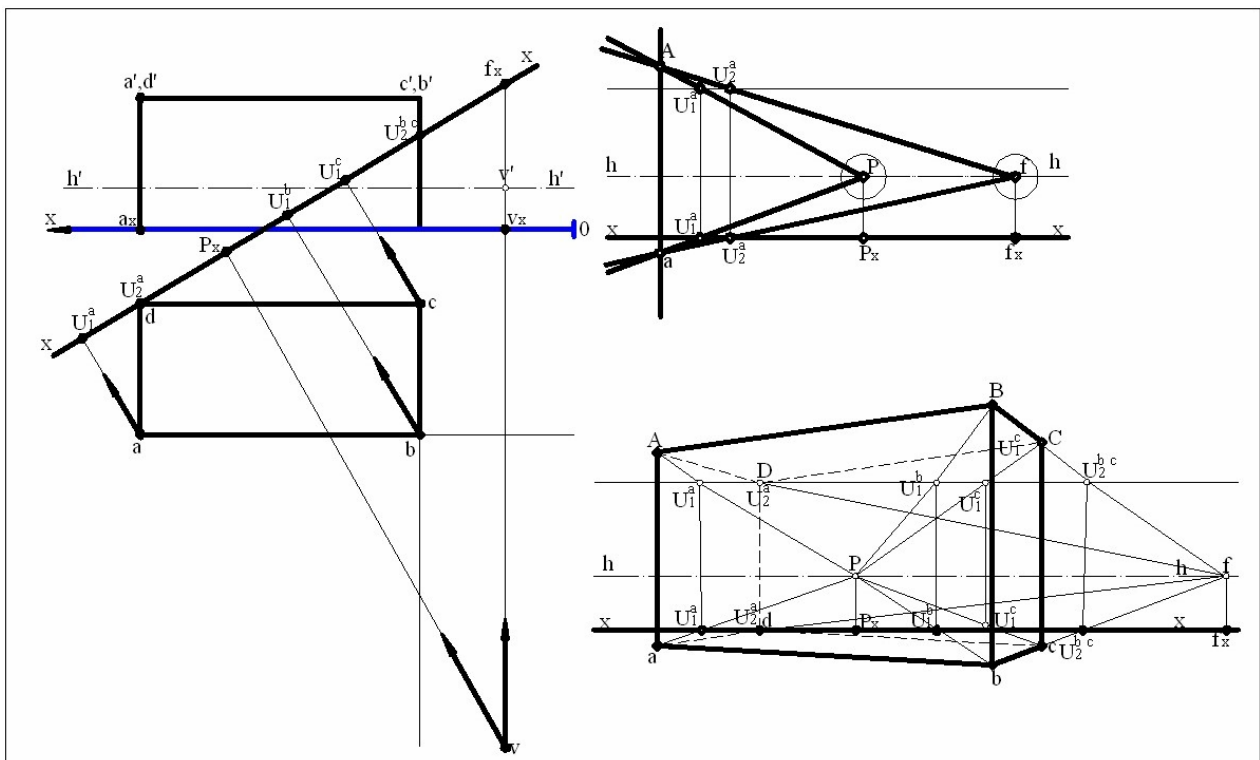


Fig. 11.27. Metoda Pf.

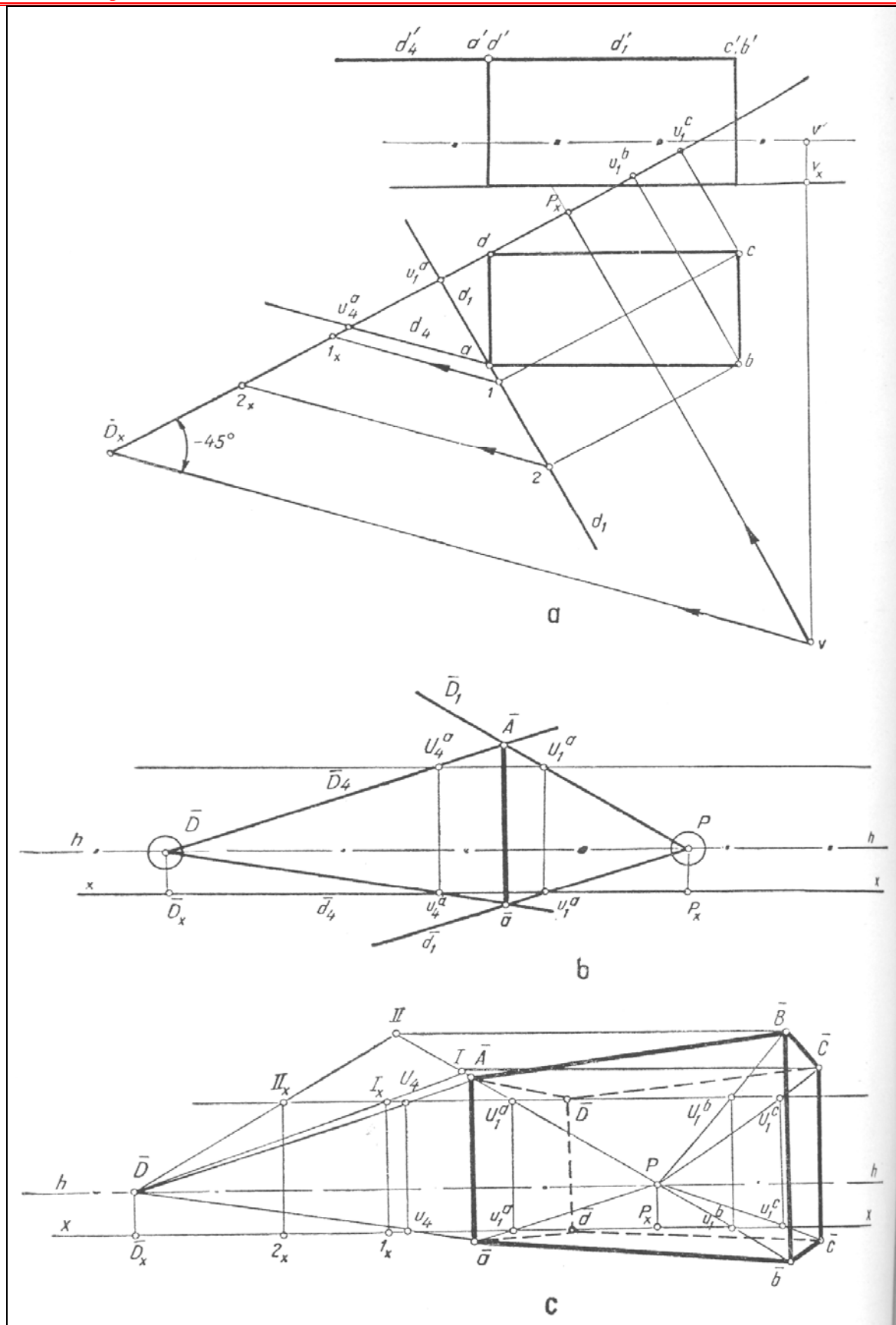


Fig.11.28. Metoda PD.

## 12.UMBRE

În funcție de poziția în spațiu a sursei de lumină, considerată punctuală, se deosebesc:

— umbra la lumânare când sursa de lumină este la distanță finită. Razele de lumină se iau concurente în punctul ce reprezintă sursa de lumină;

— umbra la soare, când sursa de lumină este la distanță infinită, deplasată pe o dreaptă, numită *direcția razelor de lumină*, iar razele de lumină se iau paralele cu această direcție.

În mod curent, în perspectiva paralelă și conică, umbrele se construiesc la o direcție luată convenabil pentru a avea anumite suprafețe umbrite. În dubla proiecție ortogonală s-a stabilit ca umbrele să se construiască la o direcție corespunzătoare diagonalei cubului ce are trei din fețele lui în planele de referință, diagonala corespunzând originii sistemului de referință (figura 12.1). În acest caz proiecțiile pe cele trei plane de referință ale diagonalei cubului sunt înclinate față de axele planelor de referință la  $45^\circ$ , ceea ce înseamnă că se construiește **umbra la  $45^\circ$** .

### 12.1. UMBRA PUNCTULUI

Din punct de vedere geometric, umbra unui punct **A** pe o suprafață **S** se reduce la intersecția razei de lumină **LA** cu suprafața respectivă, raza de lumină **LA** fiind dreapta ce trece prin punctul de lumină **L** în cazul umbrei la lumânare sau paralelă cu direcția **D** a razelor de lumină în cazul umbrei la soare și prin punctul **A**.

Umbrele punctelor se notează cu aceeași literă cu care este notat punctul din spațiu având ca indice litera cu care s-a notat suprafața. Primul punct de intersecție a razei de lumină cu suprafața este umbră reală, celelalte puncte în care raza de lumină va intersecta aceeași suprafață sunt umbre virtuale.

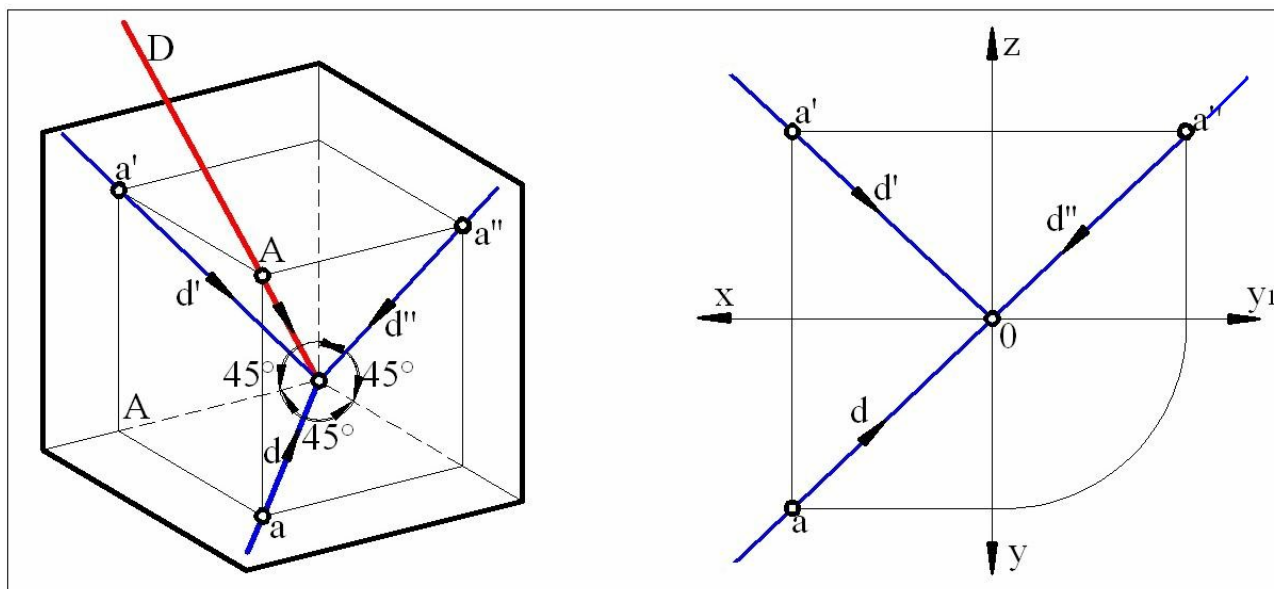


Fig.12.1. Direcția convențională a umbrei

#### a. Umbra punctului și a dreptei verticale pe planele de referință

Umbra unui punct pe planele de referință se reduce la determinarea urmelor razei de lumină a punctului pe planele de referință respective.

**Umbra punctului în perspectiva paralelă sau axonometrie** (figura 12.2).

Umbra punctului  $A, a$  la direcția  $D, d$  pe planul orizontal de referință se obține în punctul  $A_h$ , din intersecția razei de lumină  $RA$  a punctului  $A$  din spațiu cu proiecția ei orizontală  $r_a$ . Segmentul vertical  $Aa$  are ca umbră pe planul orizontal de referință segmentul  $aA_h$ , paralel cu  $d$ .

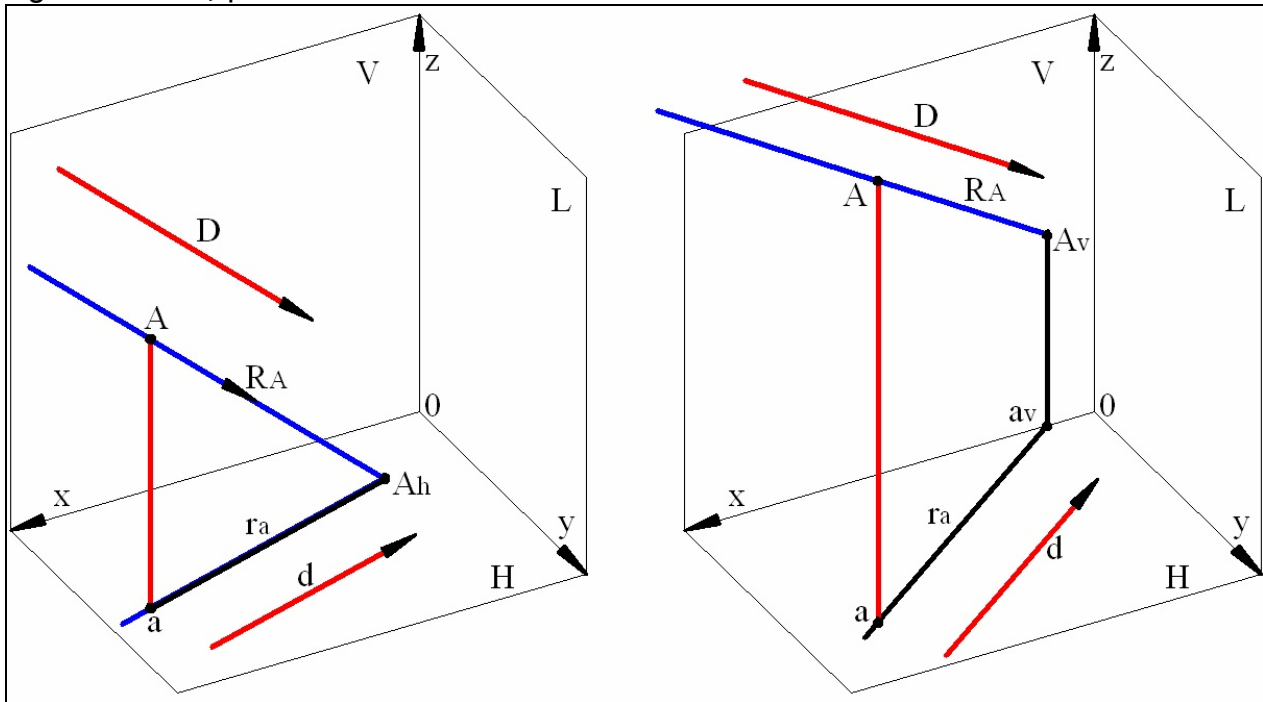


Fig.12.2. Umbra punctului  $A$  în axonometrie

Umbra punctului  $A, a$  pe planul vertical de referință, la direcția  $D, d$ , se obține în punctul  $A_v$  (urma verticală a razei de lumină  $RA, r_a$  a punctului) din intersecția liniei de ordine a punctului  $a_v$  (intersecția axei  $ox$  cu  $r_a$ ) cu raza de lumină  $RA$  a punctului  $A$  din spațiu. Segmentul vertical  $Aa$  poartă umbră pe planele de proiecție după linia frântă  $aa_vA_v$ , cu  $aa_v$  paralelă la  $d$  și  $a_vA_v$  segment vertical (figura 12.2, b).

**Umbra punctului în dubla proiecție ortogonală.** În dubla proiecție ortogonală umbrele volumelor se construiesc la direcția razelor de lumină cu proiecțiile înclinate la  $45^\circ$  față de axa  $ox$ . Umbra unui punct  $a, a'$  pe planul orizontal de proiecție este punctul  $a_h, a'_h$  (urma orizontală a razei de lumină  $r_a, r'_a$ ) iar pe planul vertical de proiecție punctul  $a_v, a'_v$  (urma verticală a razei de lumină) (figura 12.3).

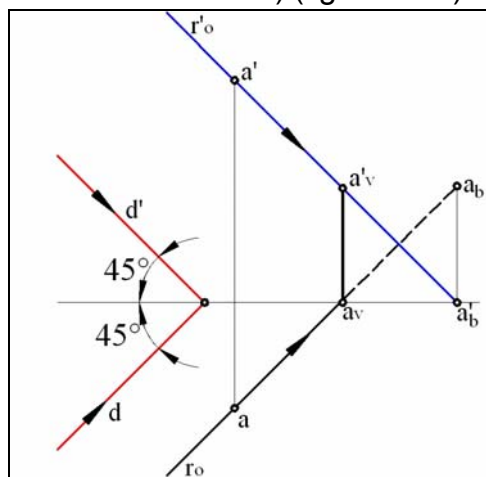


Fig.12.3. Umbra punctului  $A$  în epură



**Umbra punctului în perspectiva conică** (figura 12.4). Direcția  $D$  a razei de lumină din spațiu în perspectivă este determinată de punctul ei de fugă  $S, s$ . Rezultă că razele de lumină din spațiu trebuie desenate în perspectivă concurente în punctul de fugă  $S$ , iar proiecțiile lor orizontale concurente în  $s$ .

Sursa de lumină poate fi considerată la infinit în spatele observatorului sau în fața lui și atunci punctul de fugă  $S$  se va lua sub, respectiv deasupra liniei orizontului, iar  $s$  pe linia orizontului.

Cele trei poziții pe care le poate avea sursa de lumină la infinit sunt:

- $S, s$  în spatele observatorului sau spațiul virtual, (figura 12.4, a);
- $S, s$  în planul neutru (figura 12.4, b). În acest caz umbra se construiește la direcția frontală  $D, d$ , iar razele de lumină rămân paralele;
- $S, s$  în fața observatorului sau spațiul real, (figura 12.4, c).

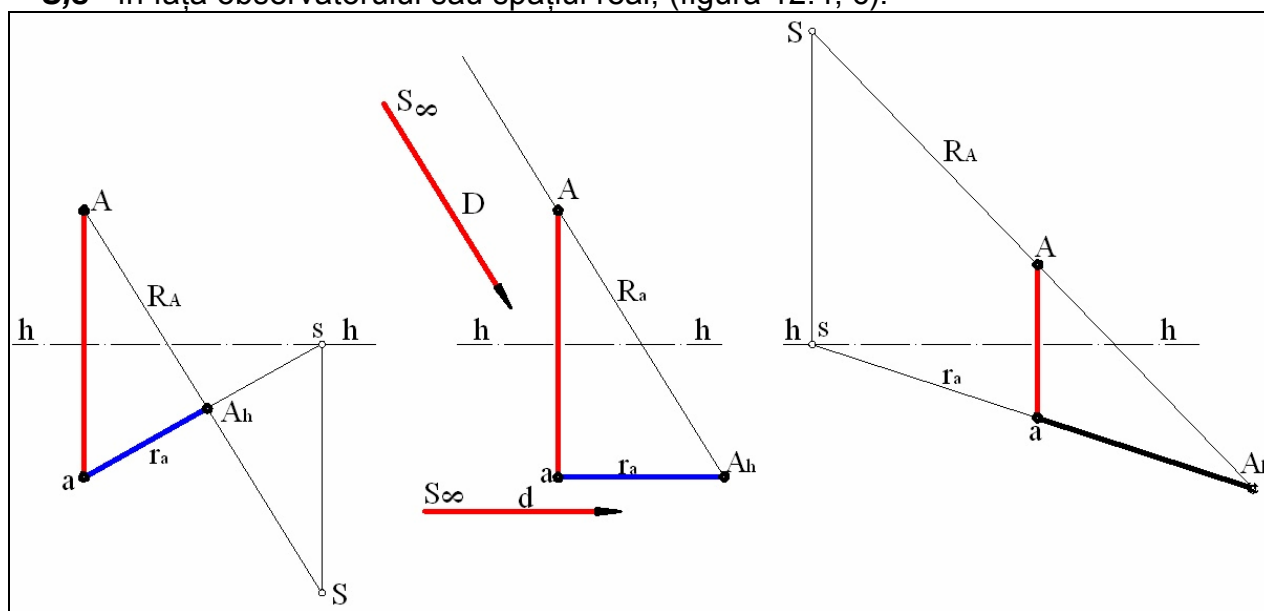


Fig.12.4. Umbra punctului  $A$  în perspectivă

În toate cazurile umbra punctului  $A, a$  pe planul orizontal de proiecte este punctul  $A_h$ , rezultat din intersecția razei de lumină  $RA$  ce pornește din sursa de lumină  $S$  și trece prin punctul  $A$  cu proiecția ei orizontală  $r_a$  ce unește pe  $s$  cu  $a$ . Umbra segmentului vertical  $Aa$  pe planul orizontal de proiecte este segmentul  $aA_h$ .

Se observă că umbra verticalei pe planul orizontal de proiecte se îndepărtează, sau este îndreptată către observator după cum sursa de lumină  $S, s$  este în spatele observatorului, respectiv în fața lui (figura 12.4,a,c). Dacă sursa de lumină este în planul neutru, umbra verticalei pe planul orizontal de proiecte este paralelă cu linia orizontului (figura 12.4,b).

## b. Umbra punctului și dreptei verticale pe un plan vertical

Umbra unui punct pe un plan vertical este intersecția razei de lumină a punctului cu acel plan. Pentru determinarea punctului se intersectează proiecția orizontală  $r_a$  a razei de lumină  $RA$  cu urma orizontală  $Ph$  a planului vertical, după care se ridică fie direct în spațiu pe raza de lumină  $RA$  a punctului din spațiu în cazul perspectivei paralele (figura 12.5, a) sau perspectivei conice (figura 12.5, c), fie pe proiecția verticală  $r'_a$  a razei de lumină în dubla proiectie ortogonală (figura 12.5,b).

Umbra segmentului vertical  $aA$  este alcătuită din linia frântă  $aa_pA_p$  în cazul perspectivei paralele sau conice și din  $aa_p$ , în proiecția orizontală și  $a^p_x a'_p$  în proiecția verticală în cazul dublei proiectii ortogonale (figura 12.5,b).

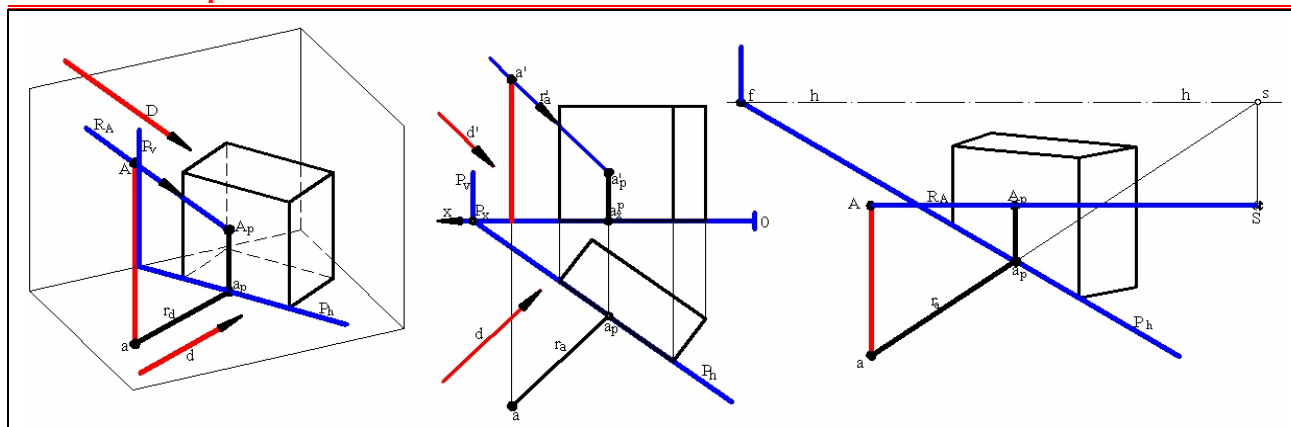


Fig.12.5. Umbra punctului  $A$  și a dreptei  $Aa$  pe un plan vertical  $P$

### c. Umbra punctului și dreptei verticale pe un plan oarecare

Pentru a construi umbra punctului  $A, a$  pe un plan oarecare  $R$ , de exemplu planul înclinat al acoperișului unei clădiri (figura 12.6) se poate folosi umbra dreptei verticale ce trece prin acel punct.

Planul vertical  $Ph$  ce trece prin punctul  $A, a$  paralel cu  $D$  ( $Ph$  paralel cu  $d$ ) secționează clădirea după linia poligonală  $1 - I - II - 2$ , punctele  $I$  și  $II$  rezultând din ridicarea punctelor  $1$  și  $2$  în care  $Ph$  intersectează proiecțiile orizontale ale marginilor acoperișului. Linia poligonală  $a - 1 - I - II - 2$  este umbra verticalei nelimitată dusă prin punctul  $A, a$ . Raza de lumină  $RA$  din spațiu intersectează linia  $I-II$  în punctul  $A_r$  - umbra punctului pe acoperiș (figura 12.6, a, c).

În epură (figura 12.6, b) punctul  $a'_r$  se obține la intersecția proiecției verticale a razei de lumină  $r'_a$  cu linia  $1'2'$  care coboară apoi în  $a_r$ .

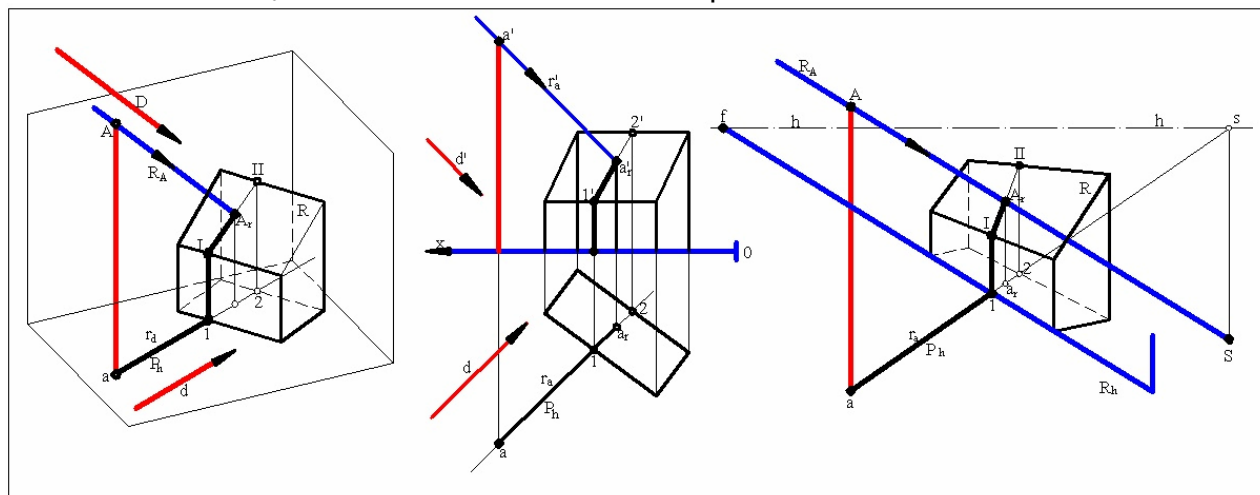


Fig.12.6. Umbra punctului  $A$  și a dreptei  $Aa$  pe plan oarecare  $R$

## 12.2. UMBRA DREPTEI

Totalitatea razelor de lumină ce trec prin sursa de lumină sau paralele cu direcția razelor de lumină și se sprijină pe dreapta  $D$ , generează un plan numit planul de lumină al dreptei. Intersecția acestui plan cu orice suprafață este umbra purtată de dreaptă pe suprafața respectivă. Dacă umbra este purtată pe un plan, rezultă că

## Geometrie descriptivă

aceasta este tot o dreaptă și deci poate fi construită prin umbrele purtate de două puncte ale dreptei pe plan.

La construirea umbrei purtate de o dreaptă pe un plan trebuie să se țină seama de următoarele:

- umbra reală a unei drepte pe un plan pornește din punctul de intersecție al dreptei cu planul;
- orice dreaptă paralelă cu planul poartă umbră pe plan după o paralelă la aceasta;
- dacă o dreaptă poartă umbră pe mai multe plane concurente umbra de pe un plan se frânge pe celălalt plan într-un punct situat pe dreapta comună planelor numit *punct de frângere k*.

### 12.3. UMBRA PARALELIPIPEDULUI

La volume trebuie construite două feluri de umbre:

- *umbră proprie*, partea întunecată de pe suprafața corpului, limitată de o linie ce poartă denumirea de *separatrice*;
- *umbră purtată* de corp pe alte corpuri. Umbra purtată este limitată de o linie de contur obținută prin umbra separatricei corpului.

În general, umbra proprie se intuiește pentru corpuri cu fețe verticale, stabilindu-se separatricea corpului, iar umbra purtată de corp se obține determinând conturul ei prin construirea umbrei purtate de separatricea corpului. Ca exemplu se prezintă umbra unui paralelipiped dreptunghic, volum întâlnit curent în arhitectură și construcții.

Se consideră un paralelipiped dreptunghic **ABCDabcd** reprezentat în perspectiva paralelă (figura 12.7,a) în dubla proiecție ortogonală (figura 12.7,b) și în perspectiva conică (figura 12.7,c). Ținând seama de direcția proiecției orizontale **d** a razelor de lumină, se observă că fețele verticale **adDA** și **cdDC** sunt luminate, iar **abBA** și **bcCB** întunecate. Cum raza de lumină din spațiu vine de deasupra clădirii, rezultă că fața orizontală superioară a clădirii **ABCD** este și ea luminată. În acest caz separatricea paralelipipedului este linia poligonală **aABCcda**. Pentru a construi umbra purtată de paralelipiped pe planul orizontal de referință este suficient să se construiască umbra separatricei corpului și anume umbra purtată de verticala **aA**, a orizontalelor **AB** și **BC** și apoi a verticalei **Cc**. Rezultă linia de contur a umbrei purtate **aA<sub>h</sub>B<sub>h</sub>C<sub>h</sub>c** în cazul perspectivei paralele și conice și **aa<sub>h</sub>b c<sub>h</sub>** în dubla proiecție ortogonală.

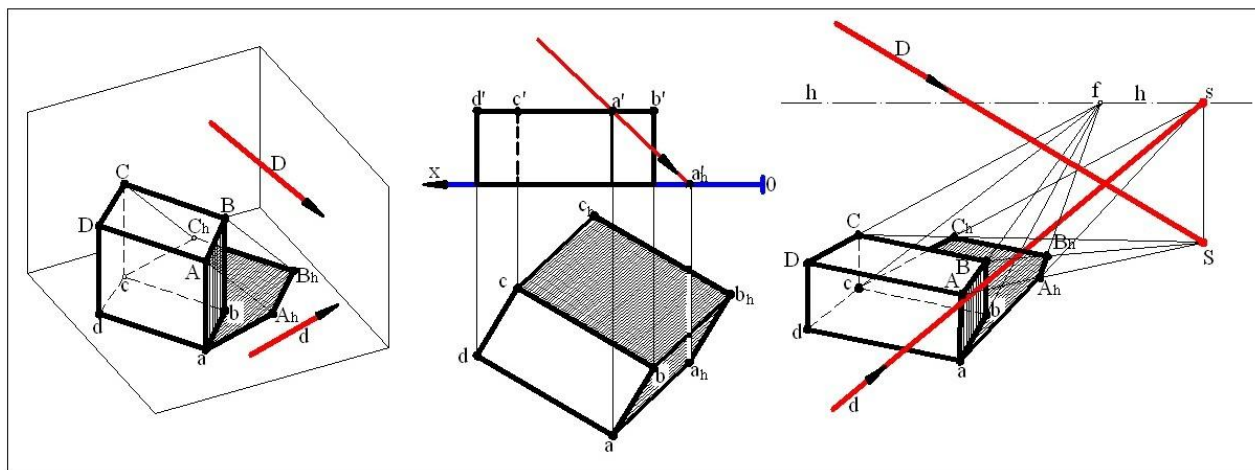


Fig. 12.7. Umbra paralelipipedului în axonometrie a), epură b) și perspectivă c).

## 13. PROBLEME

### 13.1. PUNCTUL

PROBLEMA 1.

Se dau punctele: **A (50, 65, 60)**, **B (30,-20, 40)**, **C (10,-30,-60)**, **D (40, 30,-25)**.

Să se reprezinte punctele în epură și triedru.

PROBLEMA 2.

Se dau punctele: **A (50, 60, 60)**, **B (30,-40, 40)**, **C (10,-50,-50)**, **D (40, 25,-25)**.

Să se reprezinte punctele în epură și triedru.

PROBLEMA 3.

Se dau punctele:

**H<sub>1</sub> (10, 25, 0)**, **H<sub>2</sub> (20,-40, 0)**, **V<sub>1</sub> (60, 0, 60)**, **V<sub>2</sub> (10, 0,-20)**, **L ( 0, 40, 50)**, **M (50, 0, 0)**.

Să se reprezinte punctele în epură și triedru.

PROBLEMA 4.

Se se deseneze în epură și triedru câte un punct aflat în planele de proiecție.

Să se specifice coordonatele.

PROBLEMA 5.

Se se deseneze în epură și spațiu câte un punct aflat în primele patru triedre de proiecție.

Să se specifice coordonatele.

PROBLEMA 6.

Se se deseneze în epură și spațiu câte un punct aflat în ultimele patru triedre de proiecție.

Să se specifice coordonatele.

### 13.2.DREAPTA

PROBLEMA 1.

Să se construiască în triedru și epură o dreaptă de nivel **N (n, n',n'')** și o dreaptă frontală **F (f, f', f'')**. Desenați câte un punct de coordonate alese, de pe cele două drepte.

PROBLEMA 2.

Să se construiască epura dreptei **AB** în triplă proiecție ortogonală definită de punctele **A (40, 10, 15)** și **B (15, 25, 25)**.

Să se determine urmele dreptei, intersecția cu planele bisectoare și diedrele pe care le străbate.

PROBLEMA 3.

Se dau punctele: **A (60, -65, -10)** și **B (15, 55, 35)**.

Să se determine diedrele și octanții prin care trece dreapta **AB** și apoi proiecția laterală a dreptei.

PROBLEMA 4.

Se dau punctele: **A (60, 65, -15)** și **B (20, -35, 45)**. Să se determine diedrele și octanții prin care trece dreapta **AB** și apoi proiecția laterală a dreptei.

PROBLEMA 5.

Se dau punctele: **A (50, 65, -15)** și **B (50, -35, 45)**.

Să se determine diedrele și octanții prin care trece dreapta **AB** și apoi proiecția laterală a dreptei.

PROBLEMA 6.

Se dau punctele: **A (40, 20, 26)** și **B (40, 50, 43)**.

Să se construiască în epură segmentul **AB**.

Să se determine urmele dreptei **AB** și intersecțiile dreptei cu planele bisectoare.

PROBLEMA 7.

Se dau punctele: **A (35, 40, 30)** și **B (35, -40, 30)**.

Să se determine urma verticală a dreptei, intersecțiile ei cu planele bisectoare și octanții prin care trece dreapta.

PROBLEMA 8.

Se dă punctul: **A (50, 20, 35)**.

Să se reprezinte orizontala ce trece prin punctul **A** și face un unghi de  $30^\circ$  cu planul vertical de proiecție. Să se reprezinte și frontala ce trece prin același punct și face un unghi de  $45^\circ$  cu planul orizontal de proiecție.

PROBLEMA 9.

Se dau punctele : **A (35, 30, 10)**, **B (55, 10, 60)**, **C (35, 45, 35)**, **H (55, 25, 0)**.

Să se reprezinte dreptele **AH** și **BC** în cele trei proiecții și să se stabilească în ce poziție sunt una față de cealaltă. Vizibilitatea dreptelor.

PROBLEMA 10.(2P)

Se dau punctele: **A (20, 50, 60)**, **V (80, 0, 20)**, **H (100, 50, 0)**.

Să se reprezinte orizontala ce face unghi de  $30^\circ$  cu planul vertical de proiecție și care se sprijină pe verticala punctului **H** și pe dreapta **AV**.

PROBLEMA 11.(2P)

Se dau punctele: **A (10, 40, 30)**, **V (85, 0, 15)**, **M (95, 45, 65)**, **H (120, 60, 0)**.

Să se reprezinte dreapta ce trece prin punctul **M**, se sprijină pe dreapta **AV** și face unghi de  $90^\circ$  cu frontala punctului **H**, înclinată la  $45^\circ$  față de planul orizontal de proiecție.

PROBLEMA 12.

Se dau punctele: **A (30, 35, 60)**, **V (65, 0, 25)**, **H (10, 65, 0)**, **M (10, 25, 65)**, **L (0, 40, 15)**.

Să se reprezinte dreapta paralelă cu dreapta de profil **HM** și care se sprijină pe dreapta **AV** și pe fronto-orizontala punctului **L**.

PROBLEMA 13.

Se dau punctele: **A (15, 30, 30)**, **V (55, 0, 10)**, **B (35, 55, 30)**, **W (35, 0, 65)**.

Să se stabilească poziția dreptei **AV** față de dreapta **BW** și vizibilitatea lor.

PROBLEMA 14.

Se dau punctele: **A (25, 25, 20)**, **B (25, 15, 10)**, **C (45, 10, 65)**, **D (45, 20, 45)**.

Să se stabilească poziția relativă a dreptelor **AB** și **CD**.

### 13.3. PLANUL

#### PROBLEMA 1.

Se dau punctele: **A (10, 15, 35), B (20, 30, 8), C (30, 15, 15).**

Să se determine urmele planului **ABC** pe cele trei plane de proiecție.

#### PROBLEMA 2.

Se dau punctele: **A (95, 0, 0), B (35, 30, 30), C (35, 13, 50).**

Să se determine urmele planului **ABC** pe cele trei plane de proiecție.

#### PROBLEMA 3. (2P)

Se dau punctele: **A (55, 25, 25), V (40, 0, 60).** Să se determine urmele planului dat prin dreapta **AV** ca linie de cea mai mare pantă față de planul orizontal de proiecție. Să se reprezinte dreptele particulare ale planului duse prin punctul **A** (orizontala, frontala și linia de cea mai mare pantă față de planul vertical de proiecție).

#### PROBLEMA 4. (2P)

Se dau punctele: **A (35, 15, 60), B (110, 0, 0), C (55, 30, 20).** Să se determine proiecțiile punctului **M** de cotă **30 mm** și depărtare **20 mm** ce aparține planului **ABC**.

#### PROBLEMA 5.

Se dau punctele: **A (20, 40, 25), M (50, 30, ?).** Să se reprezinte urmele planului paralel cu **Ox** care trece prin punctul **A** și face unghi de **60°** cu planul orizontal de proiecție. Să se determine cele trei proiecții ale punctului **M** ce aparține acestui plan.

#### PROBLEMA 6.

Se dau punctele: **A (100, 50, 60), B (50, 45, 40), V (90, 0, 40), M (35, 25, ?).**

Să se determine proiecția verticală a punctului **M** care aparține planului dat prin punctul **A** și orizontala **BV**.

#### PROBLEMA 7. (2P)

Se dau punctele: **A (55, 60, 20), V (70, 0, 40), Px (115, 0, 0), M (30, 20, 40).**

Să se determine urmele planului ce trece prin **M** și este paralel cu planul dat prin punctele **A, V și Px**.

#### PROBLEMA 8. (2P)

Se dau punctele: **A (40, 10, 20), B (20, 30, 5), Px (65, 0, 0), Rx (100, 0, 0), H (65, 60, 0), V (65, 0, 25).**

Se cere intersecția planului **VRxH** cu planul determinat de punctele **A, B și Px**.

#### PROBLEMA 9.

Se dau punctele: **Px = Rx (85, 0, 0), H (120, 60, 0), V (50, 0, 35), H<sub>1</sub> (120, 25, 0), V<sub>1</sub> (120, 0, 50), A (50, 20, 20).**

Să se ducă prin punctul **A** un plan paralel cu planul **V<sub>1</sub>RxH<sub>1</sub>** și apoi să se intersecteze acest plan cu planul **V Px H**.

#### PROBLEMA 10. (2P)

Se dau punctele: **H (0, 60, 0), V(0, 0, 55), Px (60, 0, 0), A (40, 65, 40).**

Se cere intersecția planului **HPxV** cu planul determinat de punctul **A** și de linia de pământ **Ox**.

## Geometrie descriptivă

---

### PROBLEMA 11. (2P)

Se dau punctele:  $A(115, 50, 65)$ ,  $B(65, 40, 25)$ ,  $H(90, 20, 0)$ ,  $M(10, 25, 25)$ ,  $V(40, 0, 70)$ ,  $H_1(25, 65, 0)$ . Prin punctul  $H_1$  se duce o paralelă la dreapta  $MV$ .

Să se determine dreapta de intersecție dintre planele date prin cele două drepte paralele și dreptele concurente  $AB$  și  $AH$ .

### PROBLEMA 12.

Se dau punctele:  $H(40, 30, 0)$ ,  $V(40, 0, 60)$ ,  $V_1(40, 0, 20)$ .

Să se determine dreapta de intersecție dintre planul ce trece prin punctele  $H$  și  $V$  și este paralel cu  $Ox$  cu planul dus prin punctul  $V_1$  paralel cu planul bisector I.

### PROBLEMA 13. (2P)

Se dau punctele:

$H(105, 35, 0)$ ,  $P_x(120, 0, 0)$ ,  $V(90, 0, 30)$ ,  $R_x(35, 0, 0)$ ,  $W(60, 0, 30)$ ,  $A(40, 40, 35)$ .

Să se ducă prin punctul  $A$  dreapta paralelă cu planele determinate de punctele  $H$ ,  $P_x$ ,  $V$  respectiv  $H$ ,  $R_x$ ,  $W$ .

### PROBLEMA 14. (2P)

Se dau punctele:

$A(100, 45, 50)$ ,  $B(55, 5, 10)$ ,  $C(25, 60, 65)$ ,  $M(35, 70, 30)$ ,  $V(110, 0, 60)$ .

Să se determine punctul de intersecție al dreptei  $MV$  cu placa triunghiulară  $ABC$  și vizibilitatea.

### PROBLEMA 15. (2P)

Se dau punctele:  $A(80, 40, 25)$ ,  $V_1(25, 0, 65)$ ,  $V_2(115, 0, 50)$ ,  $P_x(75, 0, 0)$ ,  $H(0, 40, 0)$ .

Să se determine punctul de intersecție al dreptei  $AV_1$  cu planul dat prin punctele  $V_2$ ,  $P_x$  și  $H$ . Vizibilitatea.

### PROBLEMA 16. (2P)

Se dau punctele:  $A(120, 60, 20)$ ,  $V(45, 0, 20)$ ,  $H(15, 40, 0)$ ,  $H_1(45, 70, 0)$ ,

$V_1(45, 0, 50)$ ,  $P_x(120, 0, 0)$ . Să se reprezinte dreapta din planul  $H_1 P_x V_1$  și care se sprijină pe dreapta  $AV$  și verticala punctului  $H$ .

### PROBLEMA 17. (2P)

Se dau punctele:  $A(15, 65, 15)$ ,  $V(35, 0, 55)$ ,  $H(85, 30, 0)$ ,  $M(60, 65, 50)$ .

Să se reprezinte în dubla proiecție ortogonală perpendiculara coborâtă din punctul  $M$  pe planul determinat de punctele  $A$ ,  $H$  și  $V$  și apoi să se intersecteze cu acest plan.

### PROBLEMA 18.

Se dau punctele:  $A(50, 30, 40)$ ,  $V(20, 0, 10)$ ,  $P_y(0, 30, 0)$ ,  $P_z(0, 0, 70)$ .

Să se determine punctul de intersecție al dreptei  $AV$  cu planul ce trece prin punctele  $P_y$  și  $P_z$  și este paralel cu  $Ox$ .

### PROBLEMA 19.

Să se construiască un pătrat cu latura  $AB$  de 20 mm într-un plan paralel cu  $Ox$ , definit de  $P_z(0, 0, 45)$ ,  $A(60, 30, 30)$  și unghiul de  $45^\circ$  cu planul orizontal de proiecție.

### PROBLEMA 20.

Să se construiască un poligon oarecare cu șapte laturi așezat într-un plan de nivel definit de  $P_z(0, 0, 50)$ .



## 13.4. POLIEDRE

### PROBLEMA 1. (2D)

Se dau punctele:

**A (70, 5, 15), B (20, 5, 60), C (30, 65, 10), S (100, 50, 60), M (75, 35, ?).**

Să se determine vizibilitatea muchiilor piramidei ce are ca bază poligonul **ABC** și vârful în punctul **S**, apoi să se construiască proiecțiile verticale ale punctului **M** ca să aparțină fețelor laterale ale piramidei.

### PROBLEMA 2. (2D)

Se dau punctele: **A (89, 10, 25), B (105, 17, 46).**

Să se reprezinte prisma hexagonală regulată cu baza în planul de capăt de latură **AB**, iar înălțimea egală cu latura poligonului de bază.

### PROBLEMA 3. (2D)

Se dau punctele: **A (57, 7, 24), B (40, 40, 9).**

Să se reprezinte piramida regulată dreaptă cu baza un pătrat de latură **AB** situat în planul vertical ce trece prin **AB** și vârful în punctul **S** la distanța **75** mm de bază.

### PROBLEMA 4. (2D)

Se dau punctele: **A (125, 35, 0), B (110, 10, 0), C (80, 5, 0), D (65, 40, 0), E (100, 60, 0), M (45, 65, 70), Px (0, 0, 0), H (60, 60, 0), V (60, 0, 60).**

Se cere secțiunea cu planul **HPxV** în prisma ce are ca bază poligonul **ABCDE**, iar muchiile paralele cu dreapta **AM**.

### PROBLEMA 5. (2D)

Se dau punctele: **A (110, 30, 0), B (80, 10, 0), C (60, 25, 0), D (73, 50, 0), V (60, 0, 35), Px (0, 0, 0), H (60, 55, 0).**

Se cere secțiunea cu planul **VPxH** în prisma verticală ce are ca bază poligonul **ABCD**.

### PROBLEMA 6.

Se dau punctele:

**A (60, 50, 0), B (40, 5, 0), C (5, 30, 0), S (20, 65, 60), Py (0, 60, 0), Pz (0, 0, 50).**

Să se determine secțiunea cu planul ce trece prin punctele **Py** și **Pz** și este paralel cu linia **Ox** în piramida ce are ca bază poligonul **ABC** și vârful în punctul **S**.

### PROBLEMA 7. (2D)

Se dau punctele: **A (120, 50, 0), B (70, 0, 0), C (40, 65, 0), S (15, 10, 60), M (80, 70, 35), V (20, 0, 10).**

Se cere intersecția dreptei **MV** cu piramida ce are ca bază poligonul **ABC** și vârful în punctul **S**.

### PROBLEMA 8. (2D)

Se dau punctele: **A (80, 0, 30), B (55, 0, 70), C (35, 0, 35), E (0, 35, 25),**

**M (75, 35, 15), V (0, 0, 40).** Se cere intersecția dreptei **MV** cu prisma ce are ca bază poligonul **ABC**, iar muchiile paralele cu **BE**.

### PROBLEMA 9.

Se dau punctele: **A (0, 60, 50), B (0, 40, 65), C (0, 5, 35), D (0, 40, 20), S (55, 35, 40), H (15, 45, 0).**

Să se determine punctele de intersecție ale dreptei verticale ce trece prin punctul **H** cu piramida ce are ca bază poligonul **ABCD** și vârful în punctul **S**.

## 13.5. CORPURI ROTUNDE

### PROBLEMA 1.

Se dau punctele:  $O(30, 32, 22)$ ,  $P_y(0, 70, 0)$ .

Să se reprezinte cilindrul circular drept ce are ca bază cercul din planul paralel cu  $Ox$  ce trece prin punctele  $O$  și  $P_y$  cu centrul în punctul  $O$  și raza  $20\text{ mm}$ , iar înălțimea  $35\text{ mm}$ .

### PROBLEMA 2. (2P)

Se dau punctele:  $O(40, 0, 40)$ ,  $A(30, 0, 57)$ ,  $S(5, 30, 5)$ .

Să se reprezinte pe cele trei plane de proiecție conul circular oblic ce are ca bază cercul din planul vertical de proiecție de centru  $O$  și raza  $OA$ , iar vârful în punctul  $S$ .

Considerând un punct  $M$  de cota  $30\text{ mm}$  situat pe generatoarea  $SA$  să se determine în triplă proiecție ortogonală proiecțiile punctului.

### PROBLEMA 3. (2P)

Se dau punctele:  $O(70, 30, 0)$ ,  $M(30, 55, 60)$ ,  $A(60, ?, 38)$ .

Să se reprezinte în dublă proiecție ortogonală cilindrul ce are ca bază cercul de nivel de centru  $O$  și raza  $20\text{ mm}$ , iar generatoarele paralele cu  $OM$ .

Să se reprezinte punctul  $A$  situat pe suprafața cilindrică și să se determine urmele planului tangent într-unul din cele două puncte obținute.

### PROBLEMA 4.

Se dau punctele:  $O(95, 35, 0)$ ,  $S(95, 35, 65)$ ,  $P_x(75, 0, 0)$ .

Se cere secțiunea după parabolă cu planul de capăt ce trece prin punctul  $P_x$  în conul de rotație ce are ca bază cercul de nivel de centru  $O$  și raza  $30\text{ mm}$ , iar vârful în punctul  $S$ . Adevărata mărime a secțiunii prin rabaterea planului de capăt pe  $H$ .

### PROBLEMA 5.

Se dau punctele:  $O(0, 40, 40)$ ,  $P_x(0, 0, 0)$ ,  $H(20, 50, 0)$ ,  $V(20, 0, 30)$ .

Se cere secțiunea cu planul  $HP_xV$  în cilindrul circular drept cu baza cercul de profil situat în planul lateral de centru  $O$  și raza  $15\text{ mm}$ .

### PROBLEMA 6. (2P)

Se dau punctele:  $O(80, 0, 40)$ ,  $S(10, 30, 0)$ ,  $P_x(0, 0, 0)$ ,  $H(80, 20, 0)$ .

Se cere secțiunea cu planul vertical ce trece prin punctele  $H$  și  $P_x$  în conul ce are ca bază cercul din planul vertical de proiecție de centru  $O$  și raza  $30\text{ mm}$ , iar vârful în punctul  $S$ .

### PROBLEMA 7. (2P)

Se dau punctele:  $O(80, 35, 0)$ ,  $M(20, 45, 50)$ ,  $A(20, 55, 20)$ .

Să se determine punctele de intersecție ale dreptei fronto-oriizontale care trece prin punctul  $A$ , cu cilindrul ce are ca bază cercul de nivel de centru  $O$  și raza  $25\text{ mm}$ , iar generatoarele paralele cu  $OM$ .

### PROBLEMA 8. (2P)

Se dau punctele:  $O(50, 0, 25)$ ,  $M(80, 42, 65)$ ,  $A(80, 32, 57)$ ,  $V(115, 0, 67)$ .

Să se determine punctele de intersecție ale dreptei  $AV$  cu cilindrul ce are ca bază cercul frontal de centru  $O$  și raza  $20\text{ mm}$ , iar generatoarele paralele cu dreapta  $OM$ .

## 13.6. INTERSECȚII DE CORPURI

### PROBLEMA 1. (2P)

Se dau punctele:  $A(0, 85, 0)$ ,  $B(55, 5, 0)$ ,  $C(95, 140, 0)$ ,  $S(133, 0, 120)$ ,  $M(95, 93, 0)$ ,  $N(153, 110, 0)$ ,  $P(137, 155, 0)$ ,  $V(55, 0, 80)$ .

Se cere intersecția prisme ce are ca bază poligonul  $MNP$ , iar muchiile paralele la dreapta  $MV$ , cu piramida ce are ca bază poligonul  $ABC$ , iar vârful în punctul  $S$ .

### PROBLEMA 2. (2P).

Se dau punctele:  $O_1(145, 115, 0)$ ,  $O_2(58, 75, 0)$ ,  $V(115, 0, 94)$ ,  $M(190, 0, 100)$ .

Se cere intersecția cilindrului ce are ca bază cercul de nivel de centru  $O_1$  și rază  $36 \text{ mm}$ , iar generatoarele paralele cu  $O_1V$  cu cilindrul ce are ca bază cercul de nivel de centru  $C_2$  și raza  $43 \text{ mm}$ , iar generatoarele paralele cu dreapta  $O_2M$ . Tangenta într-un punct curent.

### PROBLEMA 3.

Se dau punctele:  $O_1(50, 0, 0)$ ,  $O_2(0, 50, 0)$ .

Să se determine curba de intersecție dintre semicilindrul de capăt ce are ca bază semicercul din planul vertical superior de proiecție, de centru  $O_1$  și rază  $35 \text{ mm}$  cu semicilindrul fronto-orizantal ce are ca bază semicercul din planul lateral superior de proiecție, de centru  $O_2$  și raza  $35 \text{ mm}$ .

### PROBLEMA 4.

Se dau punctele:  $O_1(50, 0, 0)$ ,  $O_2(0, 50, 0)$ .

Să se determine curba de intersecție dintre semicilindrul de capăt ce are ca bază semicercul din planul vertical superior de proiecție de centru  $O_1$  și rază  $30 \text{ mm}$ , cu semicilindrul fronto-orizantal ce are ca bază semicercul din planul lateral superior de proiecție, de centru  $O_2$  și rază  $35 \text{ mm}$ .

### PROBLEMA 5. (2P).

Se dau punctele:  $O(150, 60, 0)$ ,  $A(60, 0, 0)$ .

Să se determine curba de intersecție dintre cilindrul vertical ce are ca bază cercul de nivel de centru  $O$  și raza  $30 \text{ mm}$ , cu semicilindrul orizontal circular drept ce are raza cercului de bază (secțiunea dreaptă) de  $30 \text{ mm}$  și axul longitudinal  $OA$ .

### PROBLEMA 6.

Se dau punctele:  $O(50, 0, 0)$ ,  $S(50, 95, 0)$ ,  $O_1(0, 35, 0)$ .

Să se determine curba de intersecție dintre semiconul ce are ca bază semicercul din planul vertical superior de proiecție de centru  $O$  și rază  $40 \text{ mm}$ , iar vârful în  $S$ , cu semicilindrul fronto-orizantal ce are ca bază semicercul din planul lateral superior de proiecție de centru  $O$  și rază  $25 \text{ mm}$ .

## 13.7. AXONOMETRIE

### PROBLEMA 1.

Să se reprezinte în axonometria oblică izometrică și dimetrică un ansamblu de corpuri geometrice rezultat din suprapuneri de prisme, piramide sau trunchiuri de piramide.

### PROBLEMA 2.

Să se reprezinte în axonometria ortogonală izometrică, corpurile geometrice rezultate din suprapuneri și alăturări de cilindri, conuri și trunchiuri de con.

## 13.8. DESFĂȘURĂRI, SECȚIUNI

### Problemele 1, 2.

Să se deseneze epura și desfășuratele corpurilor din tema 1 și 2, conform modelelor alăturate (figurile 13.1 - 13.3).

### Problemele 3, 4, 5, 6.

Să se rezolve în epură și proiecția care lipsește la corpurile secționate din tema 3 - 6.

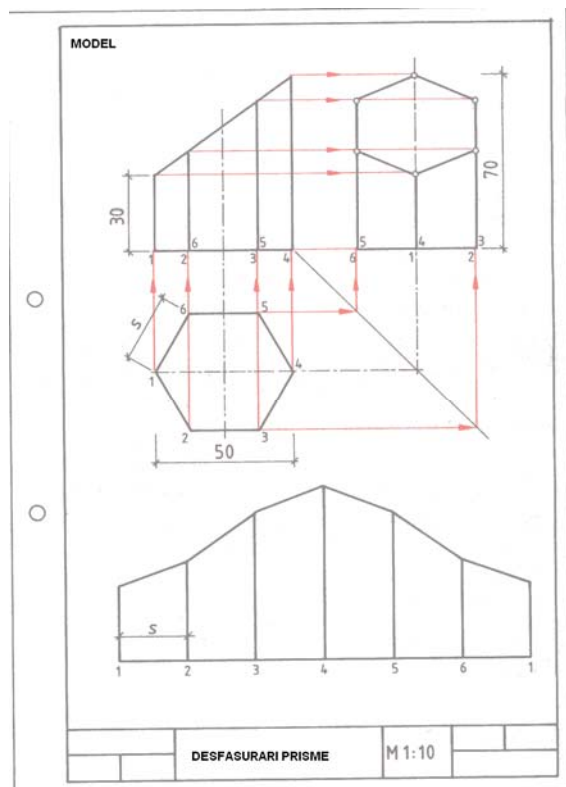


Fig.13.1. Desfășurare prismă

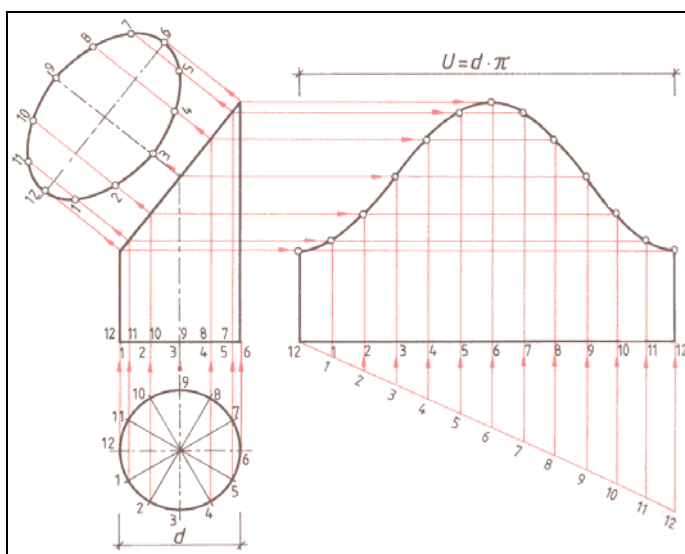


Fig.13.2. Desfășurare cilindru

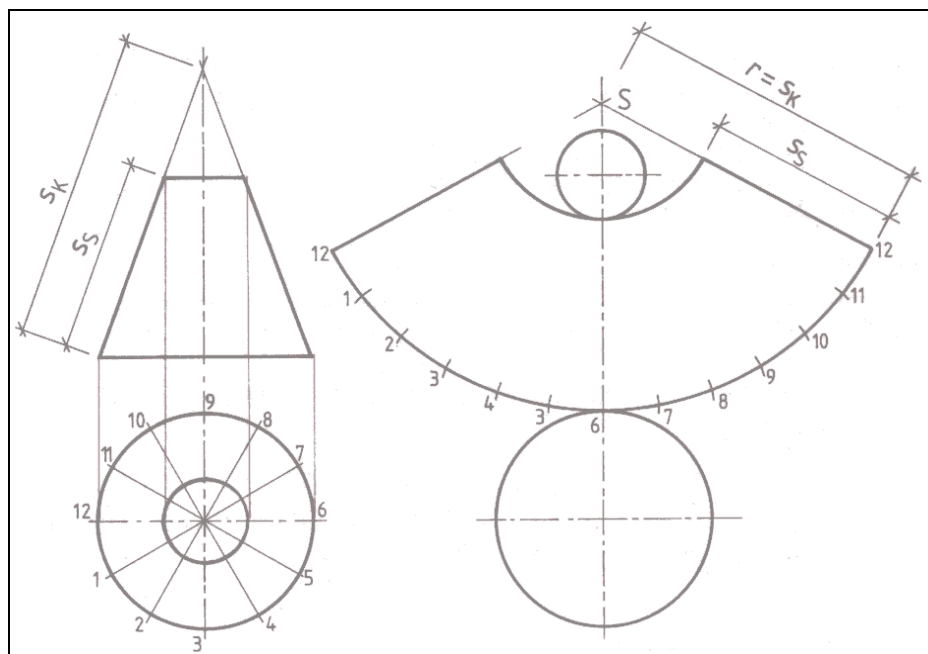
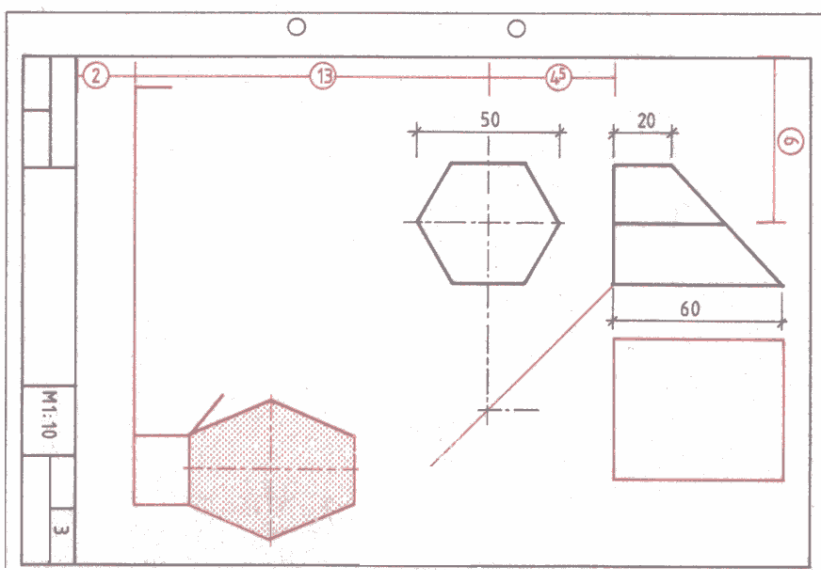
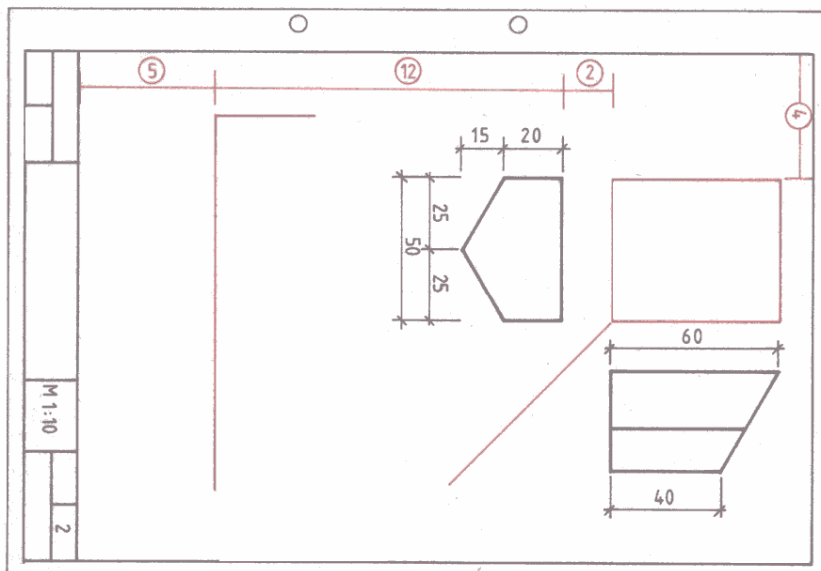
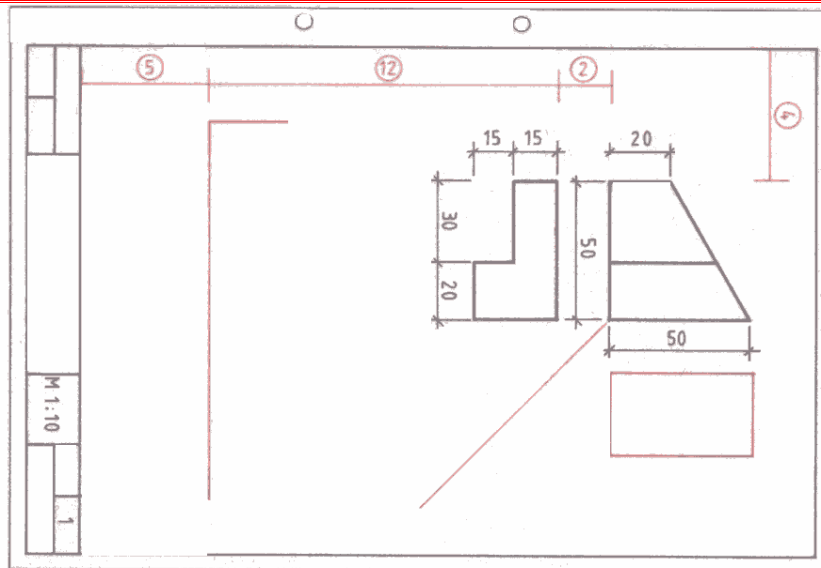
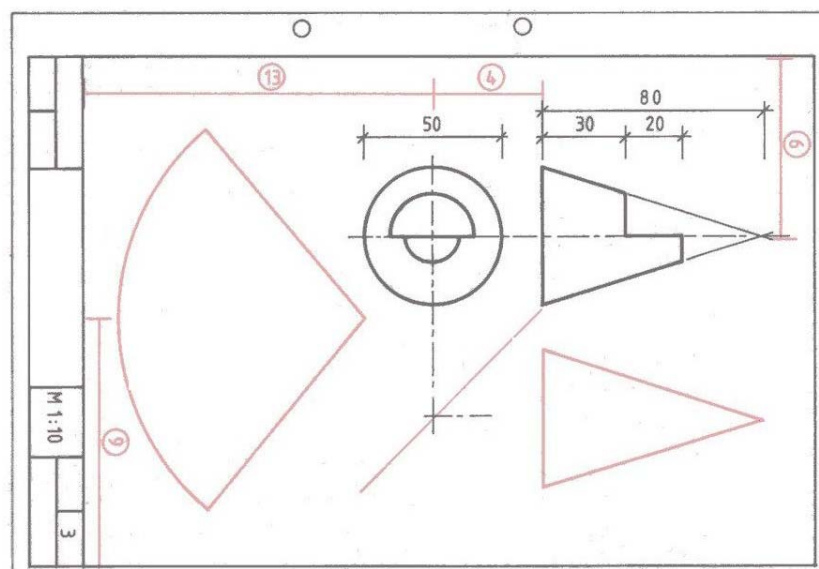
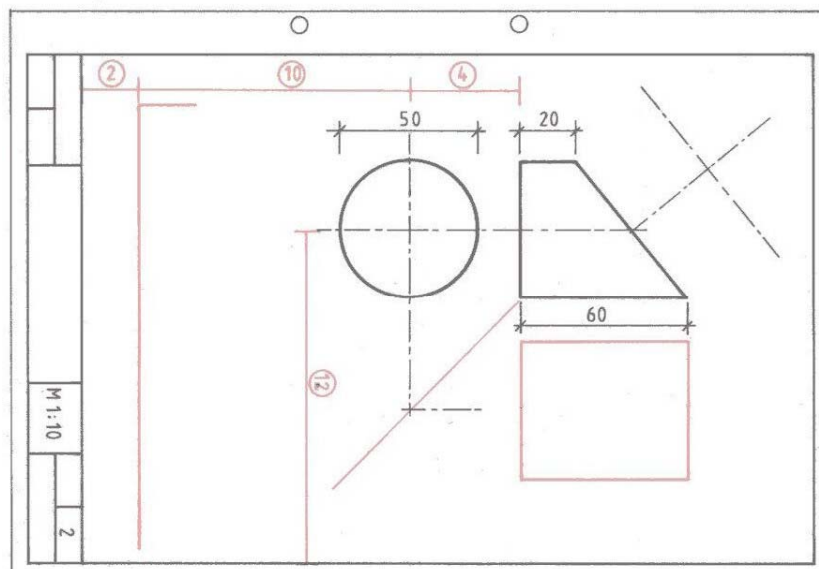
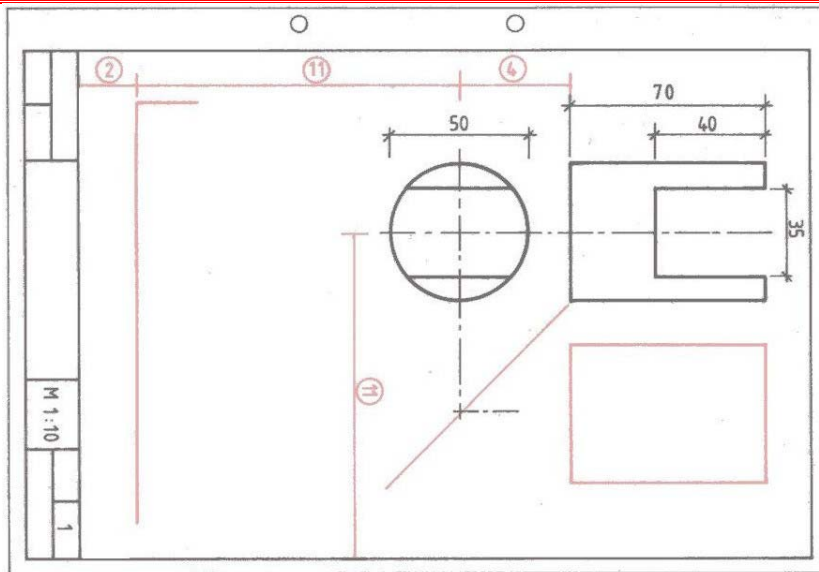


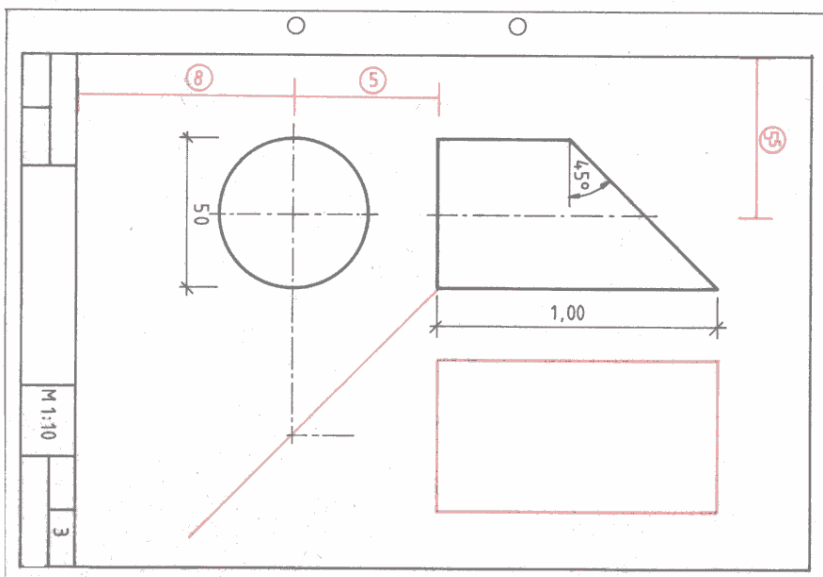
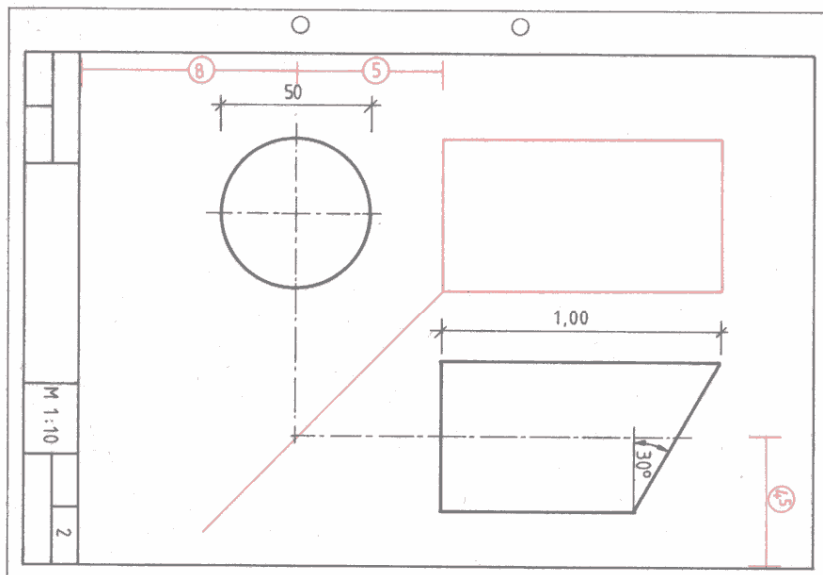
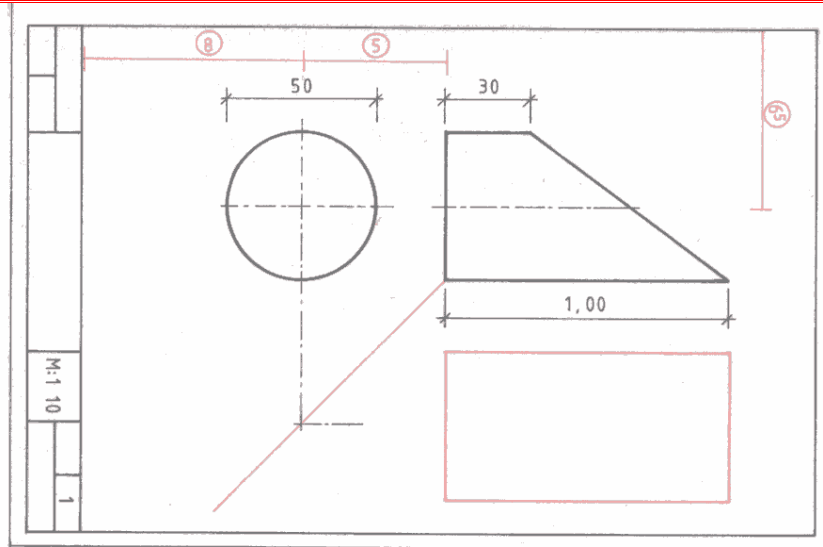
Fig.13.3. Desfășurare trunchi de con



Tema 1.

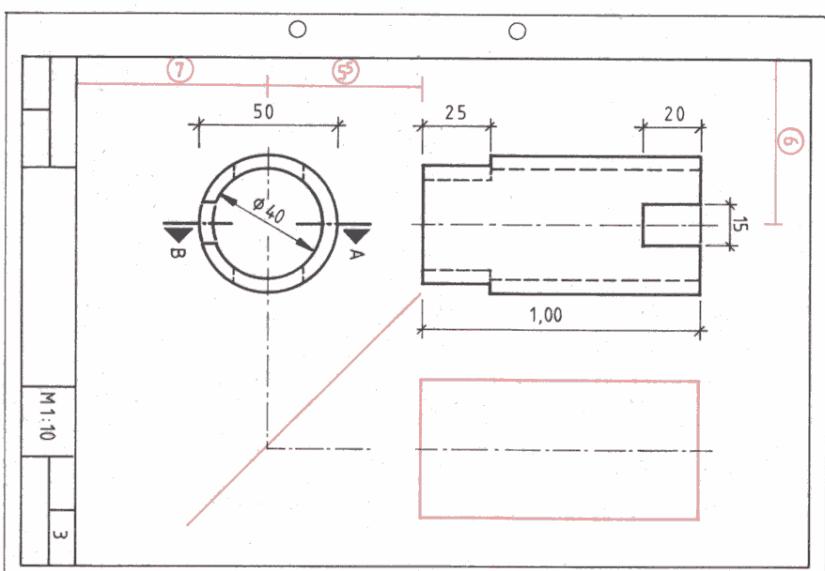
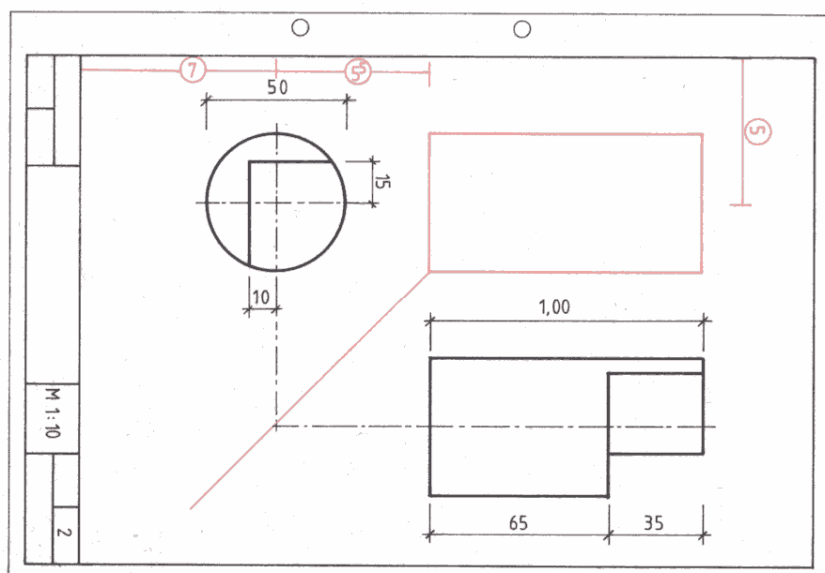
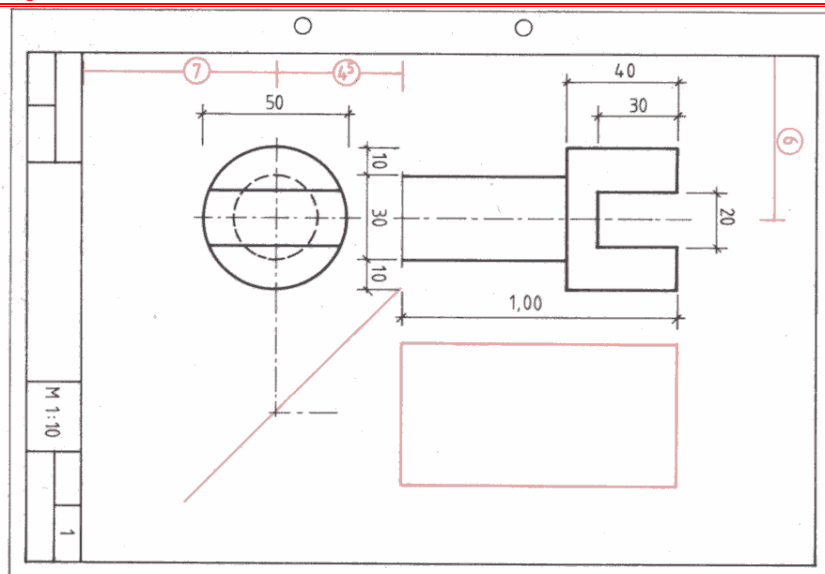


Tema 2.

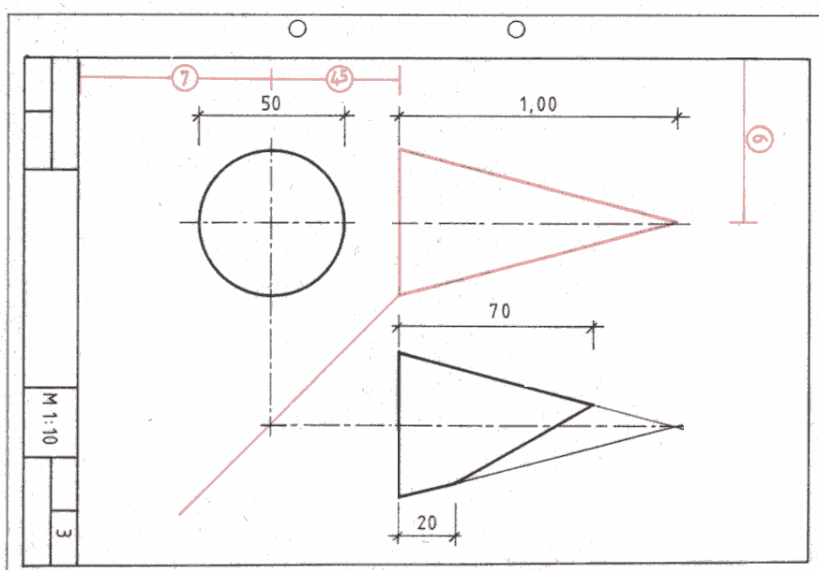
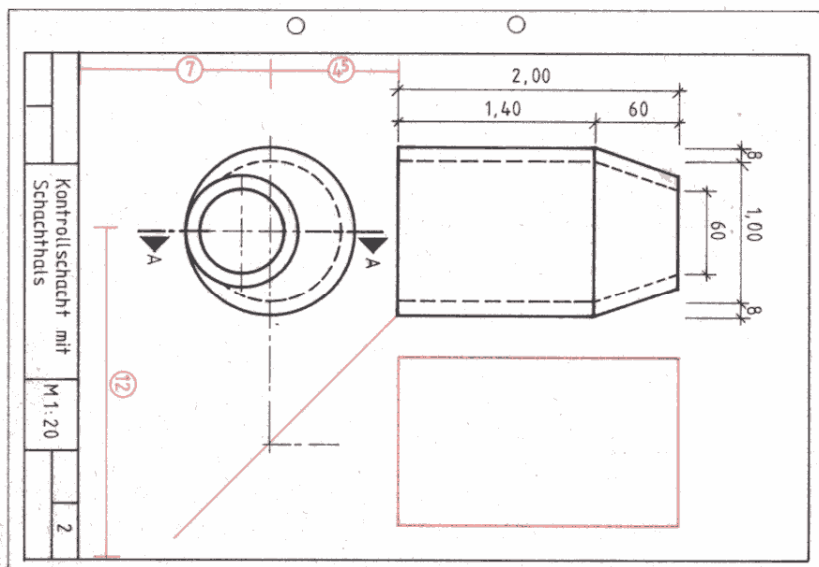
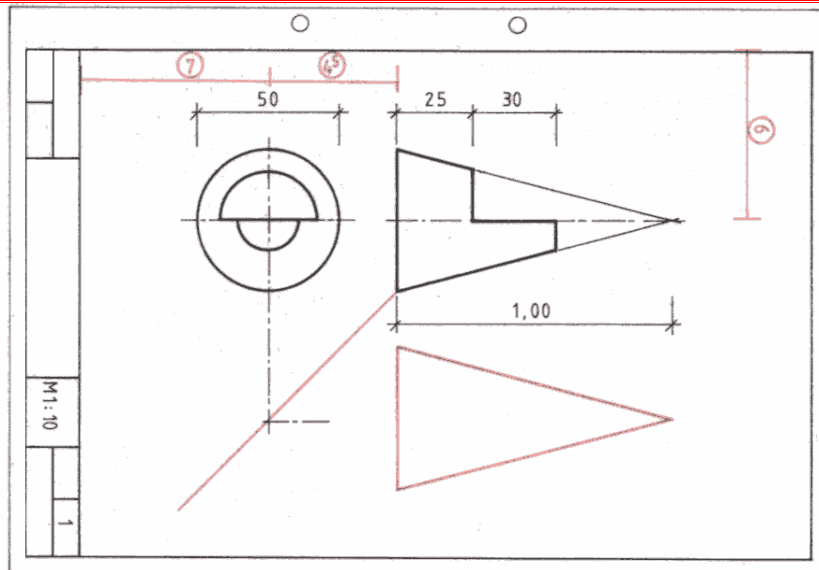


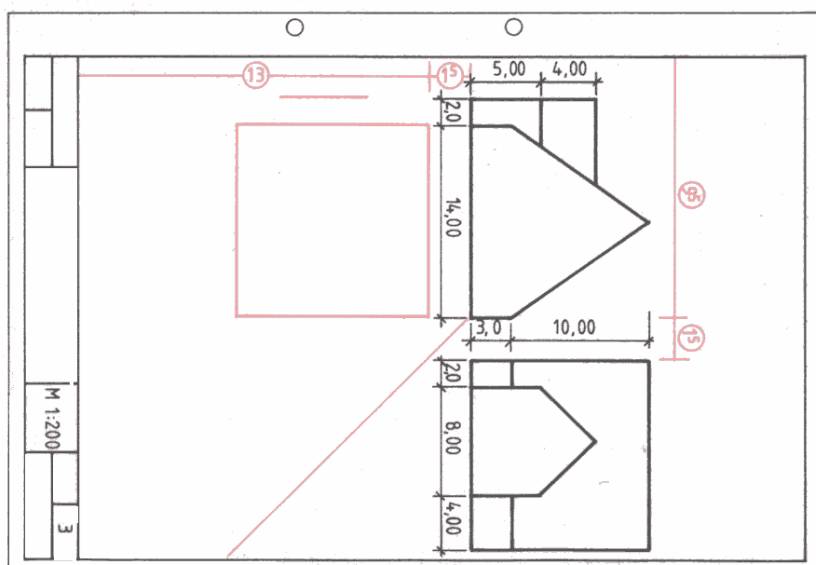
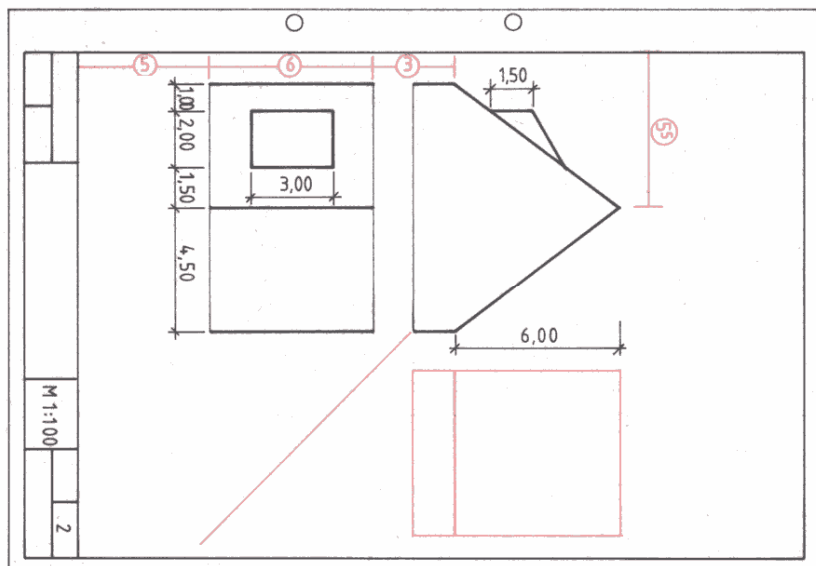
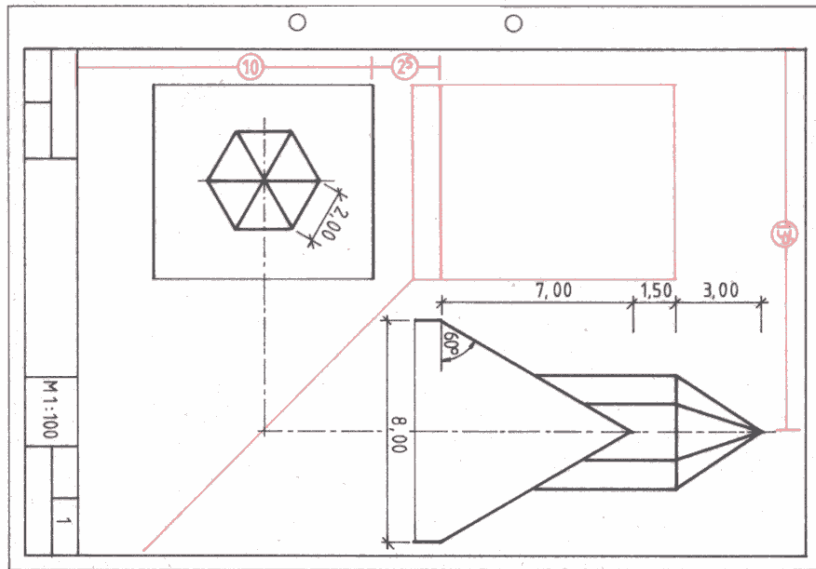
Tema 3.



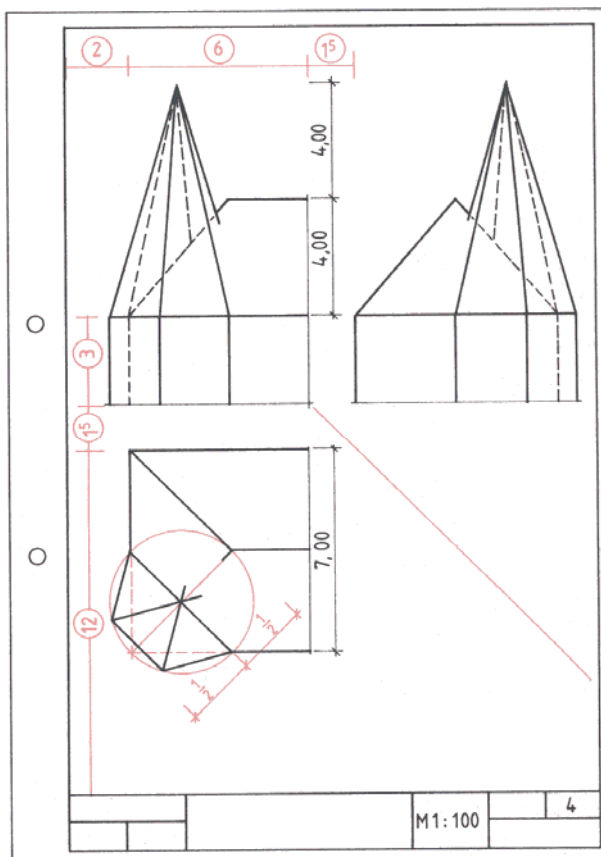
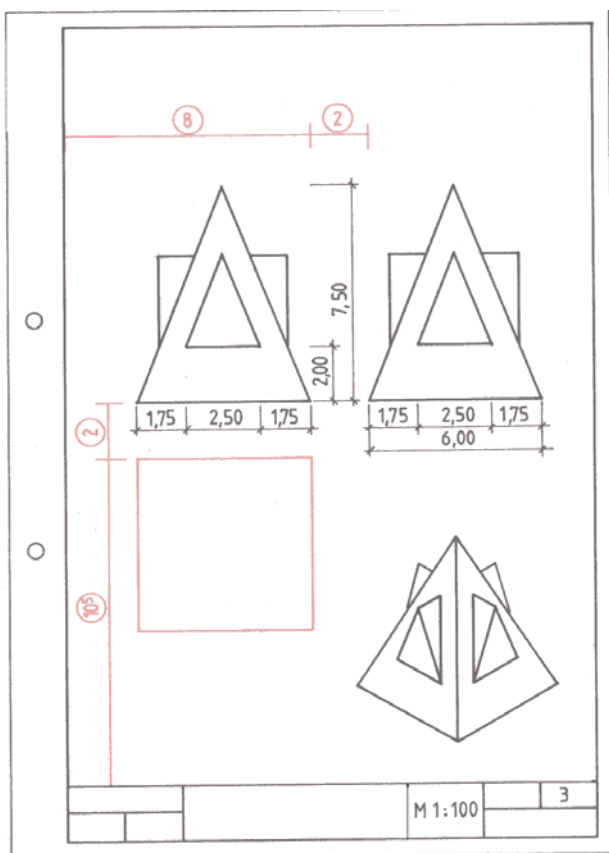
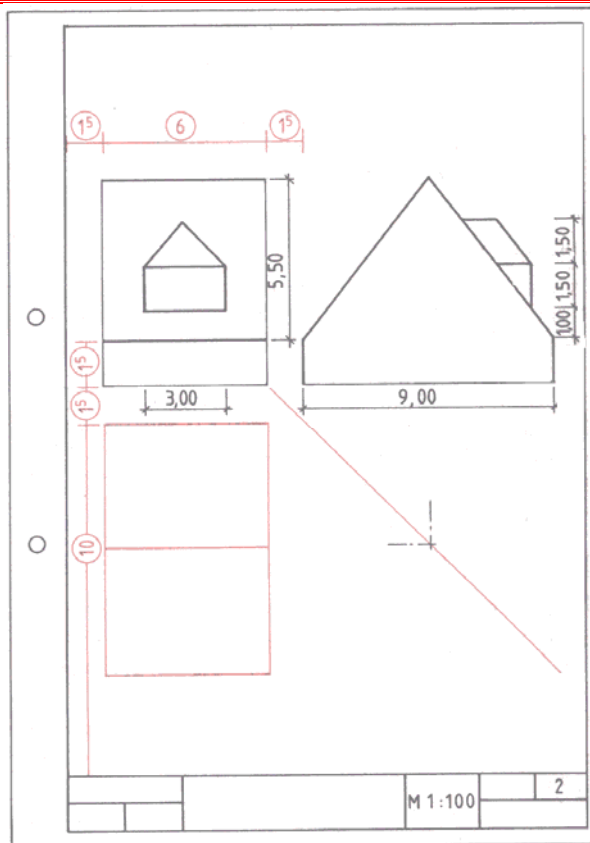
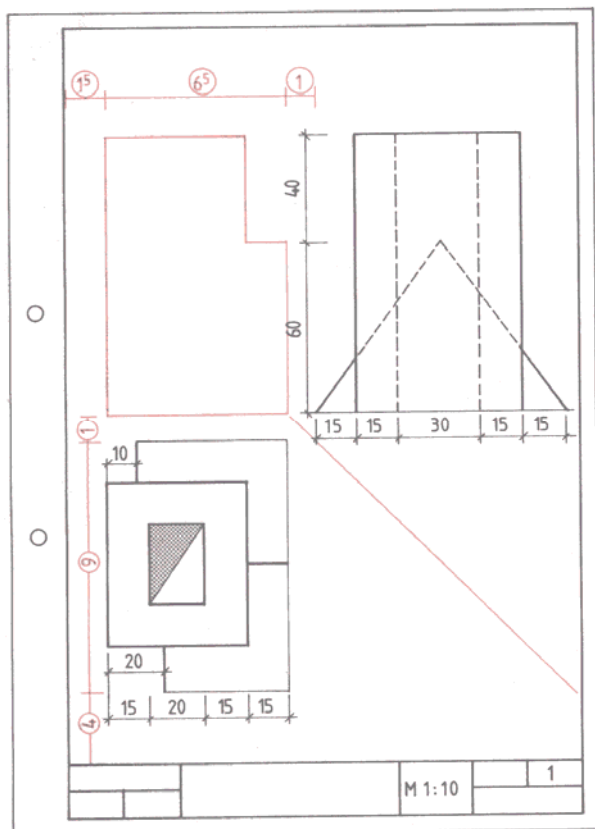


Tema 4.





Tema 6.



Tema 7.

**Problema 7.** Să se rezolve epura și intersecțiile de acoperiș din tema 7.

**Problema 8. Să se citească și apoi să se deseneze secțiunile din triedrele următoare:**

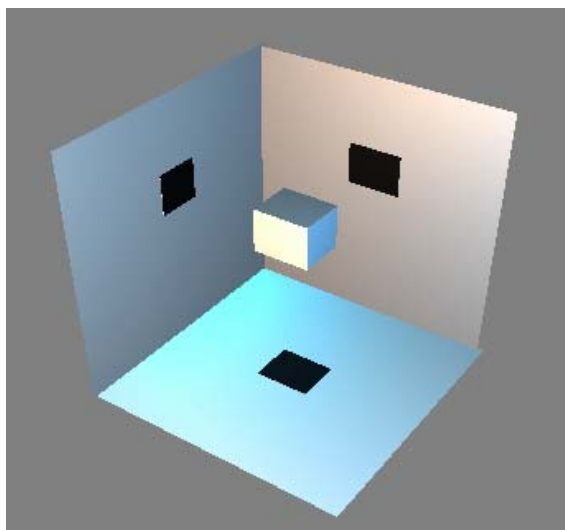


Fig.13.4.

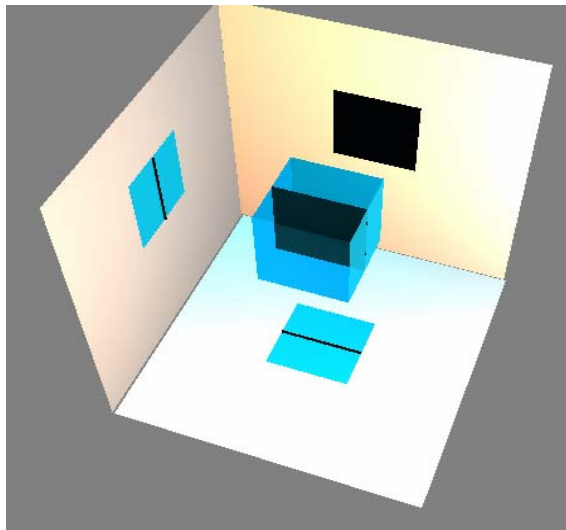


Fig.13.5.

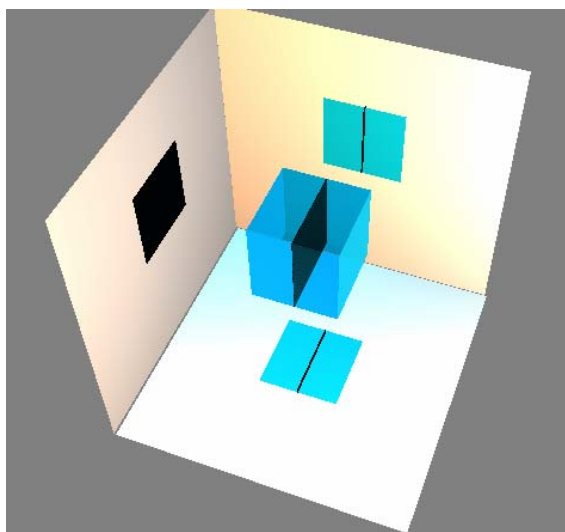


Fig.13.6.

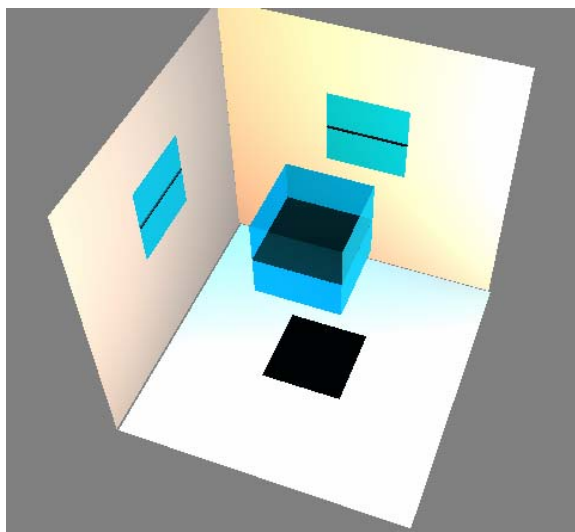


Fig.13.7.

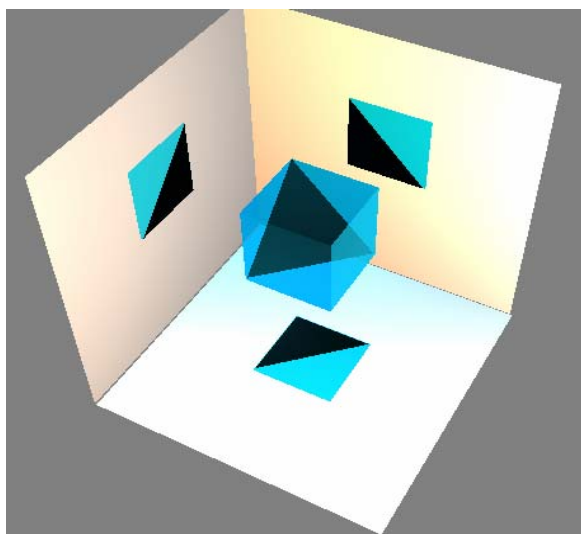


Fig.13.8.

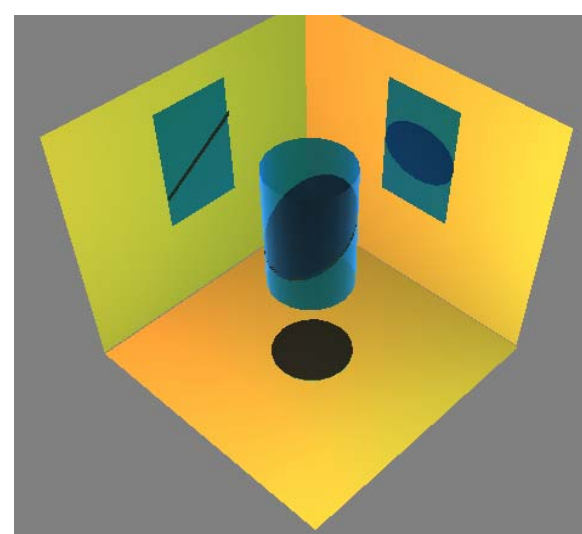
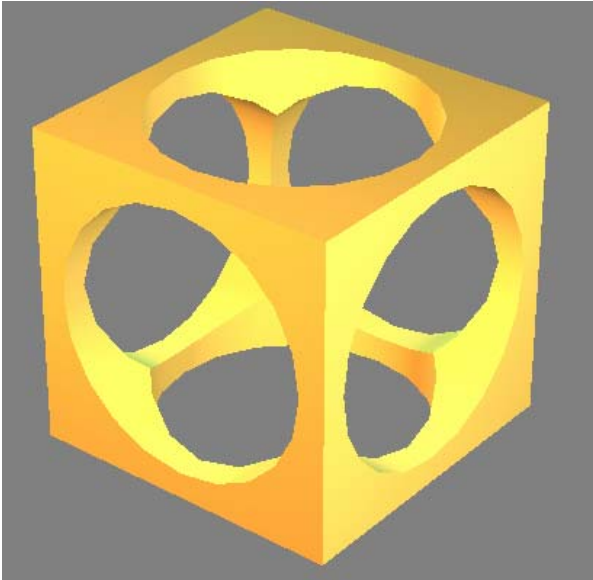


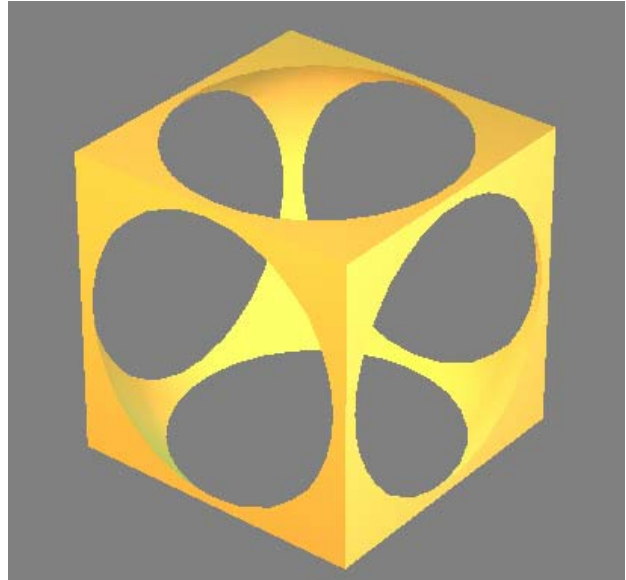
Fig.13.9.

**Problema 9.**

**Să se citească intersecțiile dintre corpuri rezultate în figurile 13.10 - 13.17.**



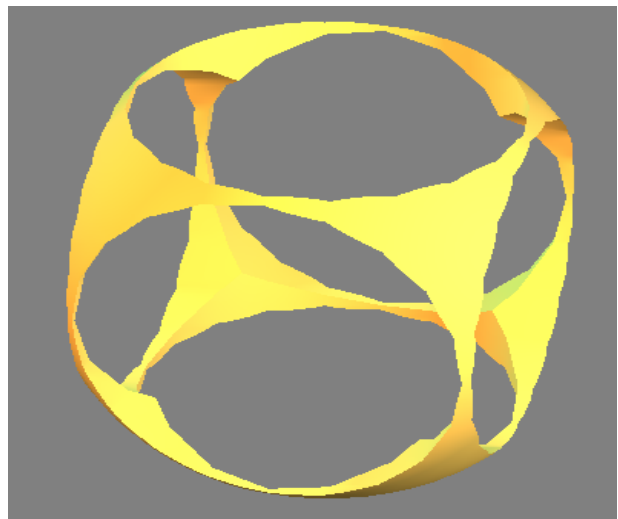
**Fig.13.10.**



**Fig.13.11.**



**Fig.13.12.**



**Fig.13.13.**

**Problema 10.**

**Să se deseneze un ansamblu axonometric format din corpurile din figura 13.18.**

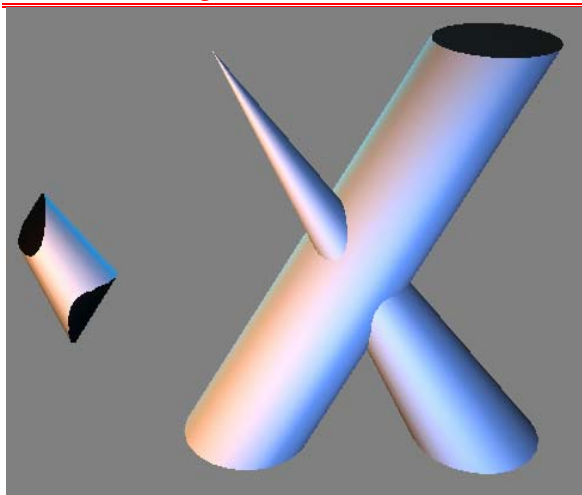


Fig.13.14.

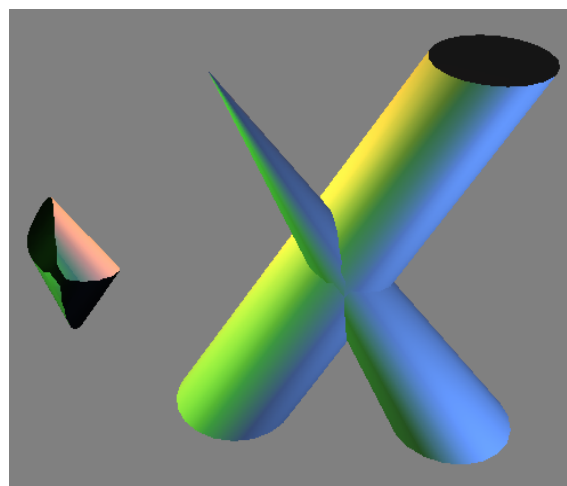


Fig.13.15.

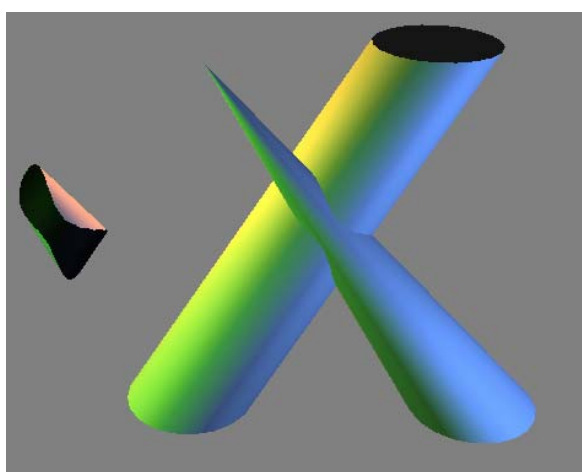


Fig.13.16.

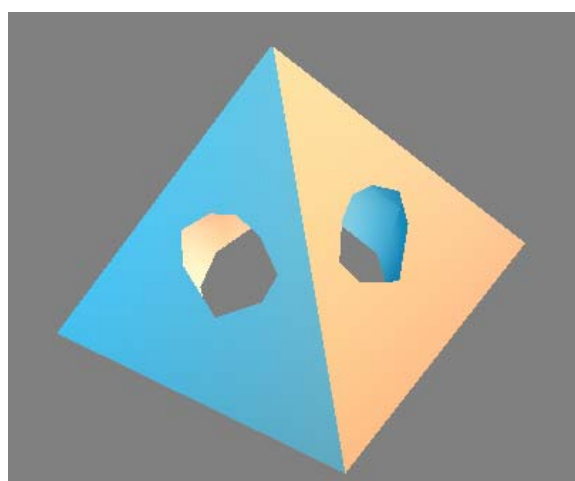


Fig.13.17.

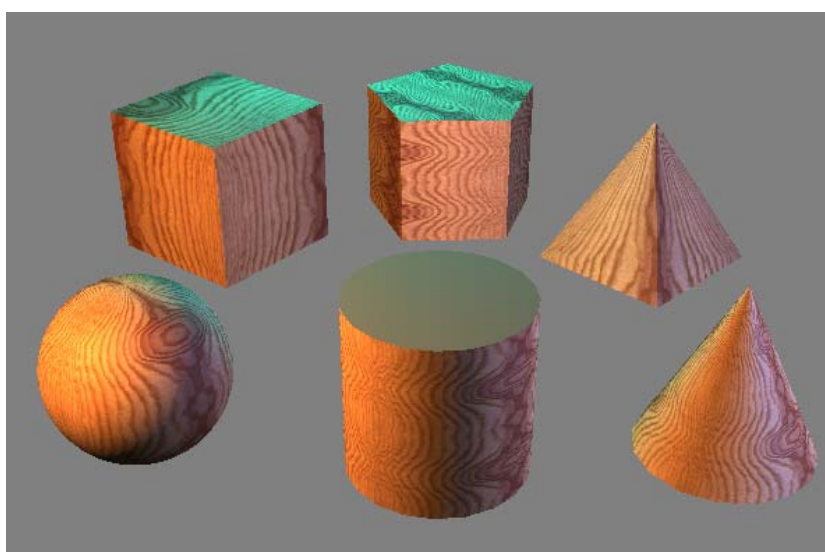
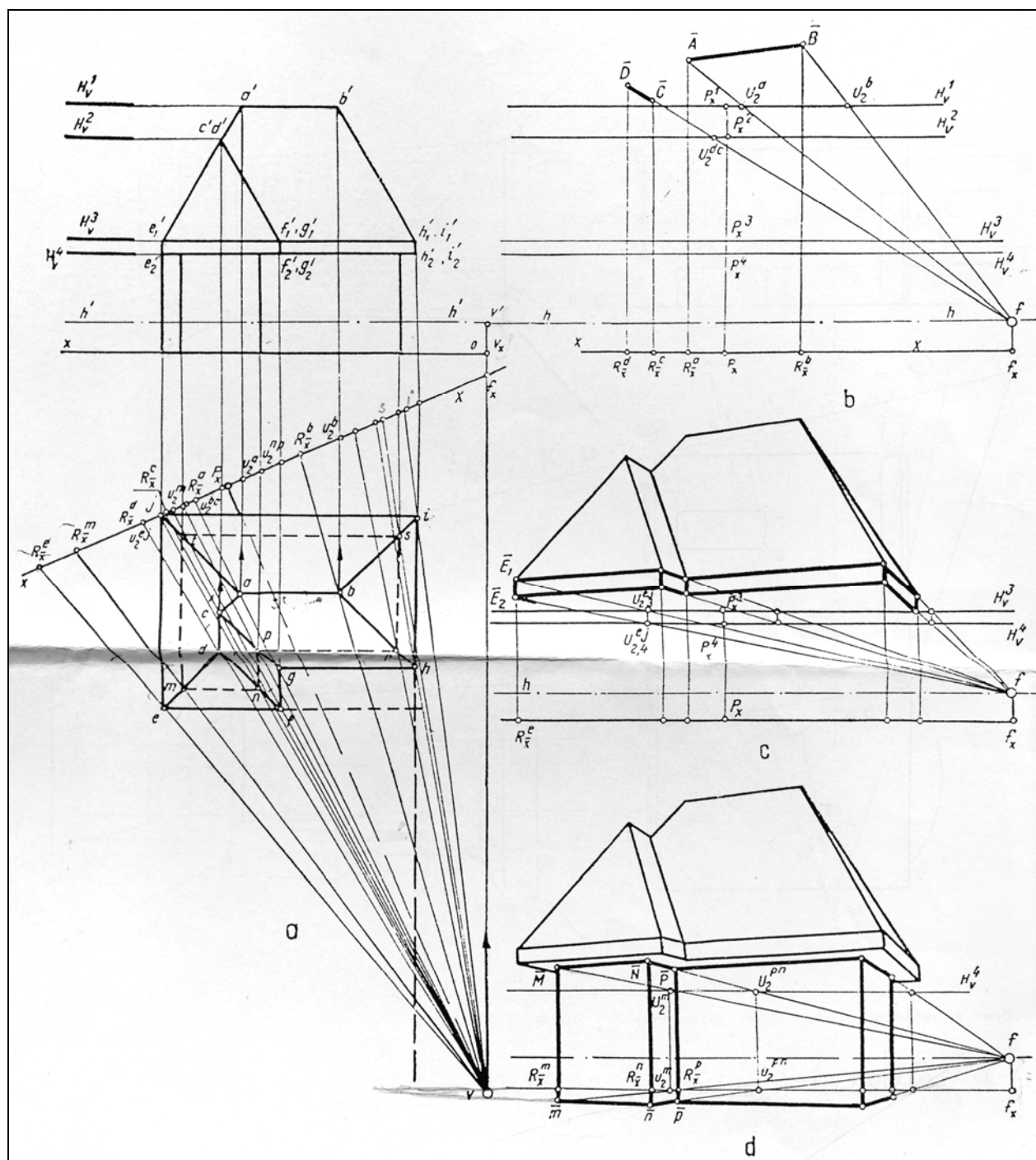


Fig.13.18.



# 13.9. PERSPECTIVĂ

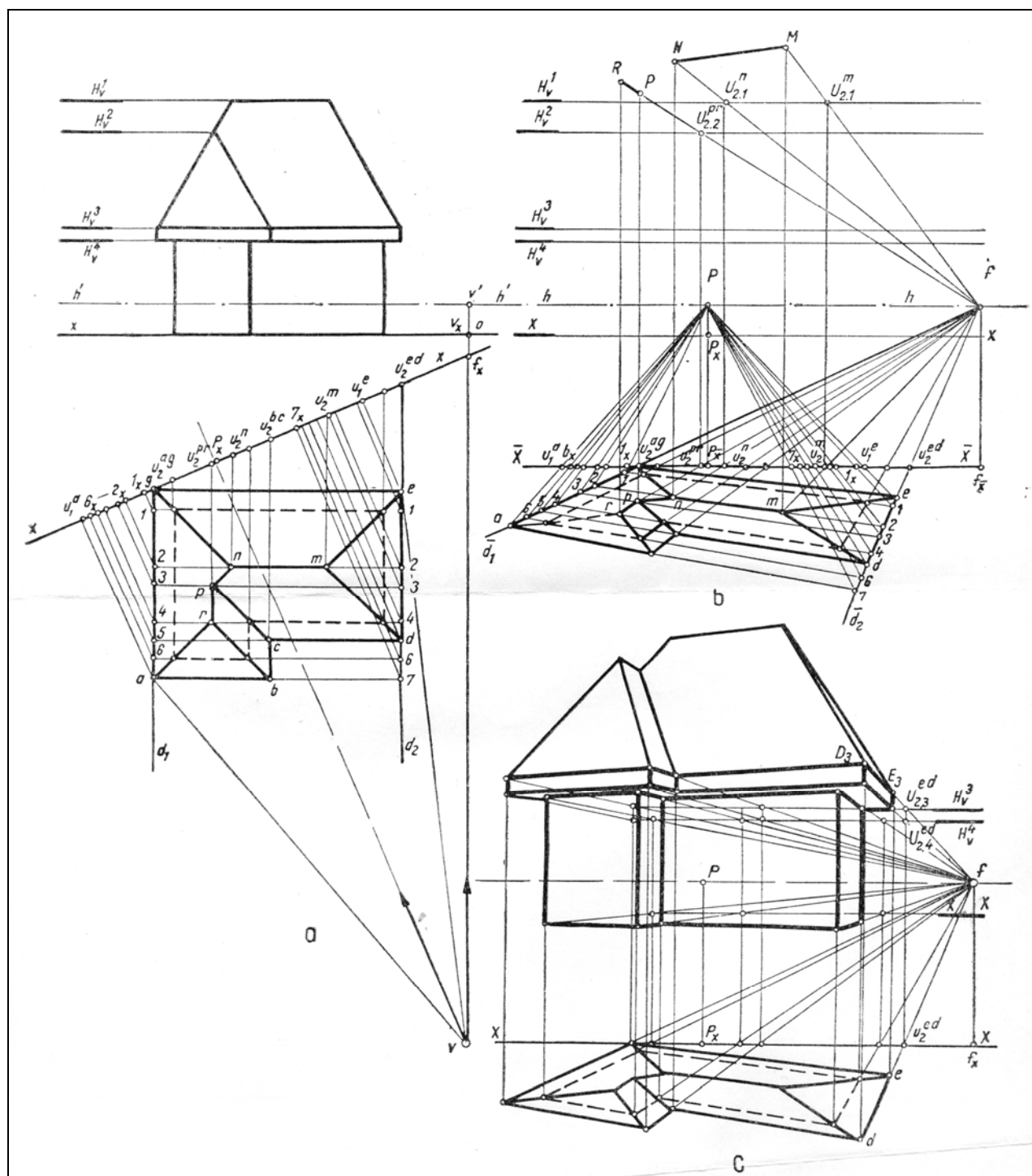
## Problema 1.



**Problema 2.**

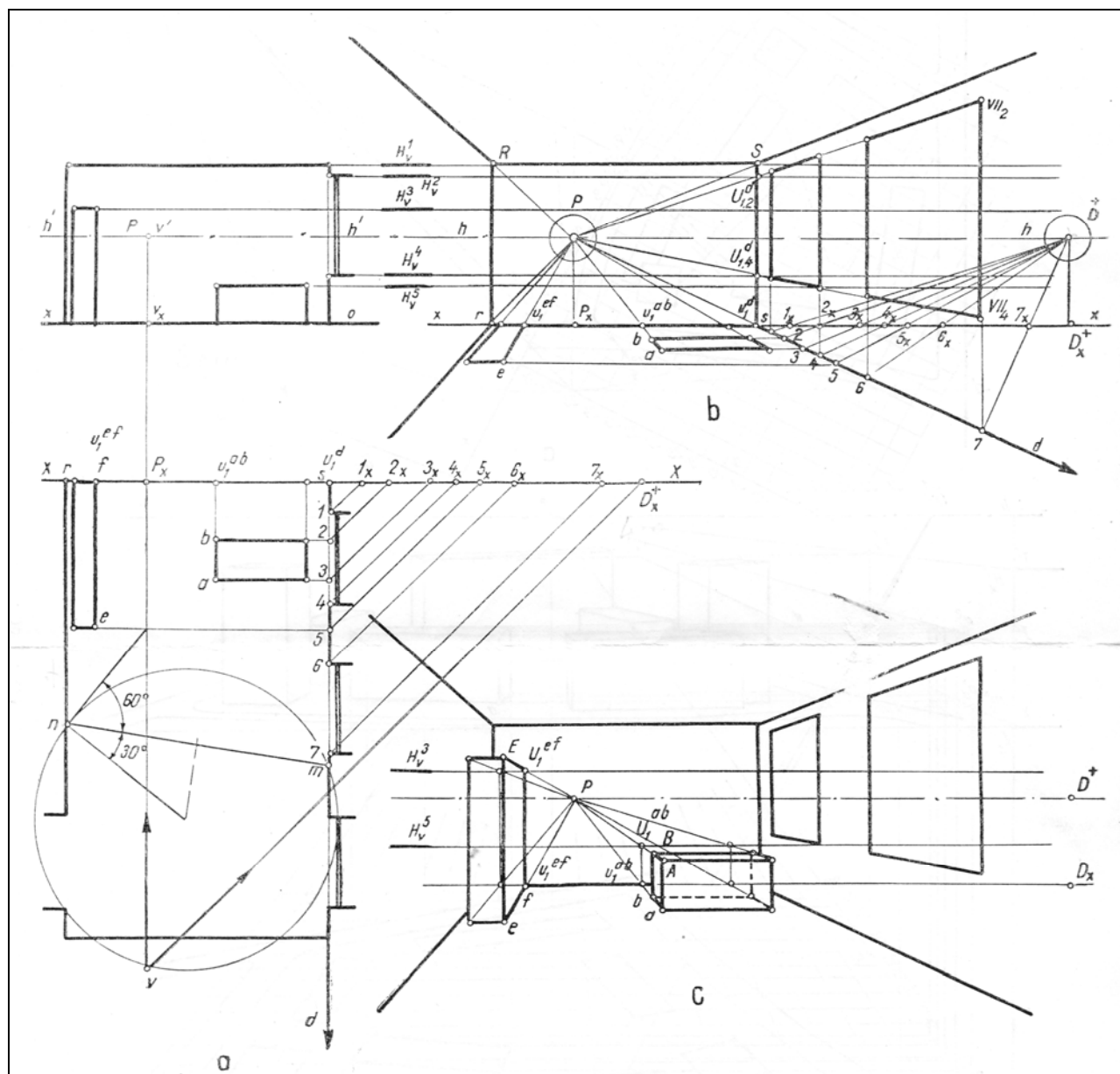
Să se deseneze perspectiva exterioră a clădirii din figura 13.20.

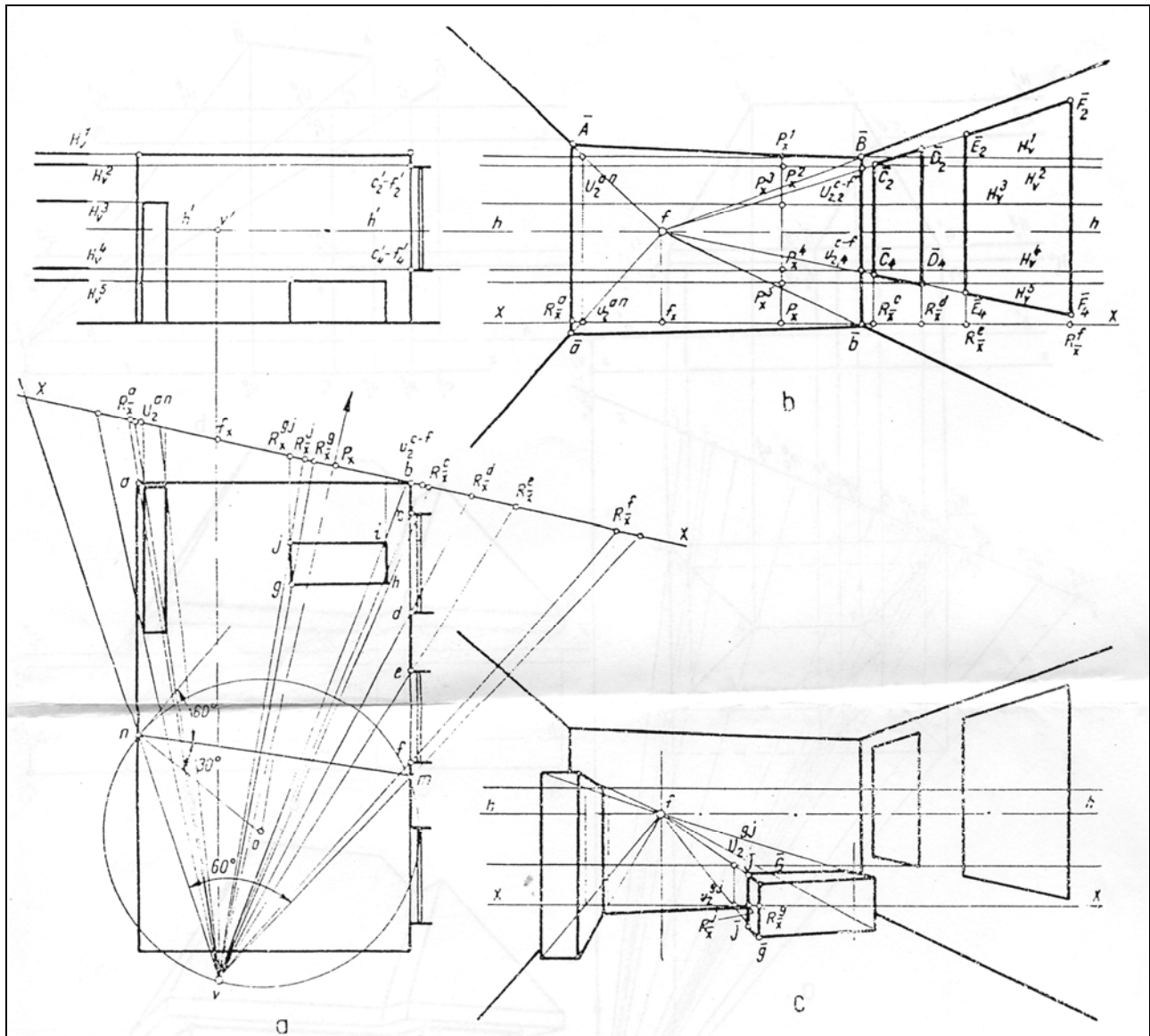
Se recomandă metoda directă, punct cu punct, Pf.



Problema 3.

Să se deseneze perspectiva interioară a camerei din figura 13.21. Se folosește oricare din metodele de construcție expuse la perspectiva exterioară. Se recomandă metoda directă, punct cu punct, PD.





## BIBLIOGRAFIE

1. **BATRAN, B.**, ș.a., *Fachwissen Bau, Handwerk und Technik*, Hamburg, 1991;
2. **DRAGOMIR, V., TEODORESCU, Șt.**, *Geometrie descriptivă, umbre, perspective*, EDP, București, 1977;
3. **DRĂGAN, D., MÂRZA, C.**, *Geometrie descriptivă – probleme*, Editura U.T. PRES, Cluj-Napoca, 2005;
4. **IANCĂU, V., ZETEA, E.**, *Reprezentări geometrice, îndrumător de lucrări*, Litografiat I.P.C.N., 1980;
5. **GROZA, O.**, *Geometrie descriptivă, teorie și aplicații*, Editura Universității din Oradea, 2006;
6. **HULE, V.**, *Geometrie descriptivă și desen tehnic*, Editura Universității din Oradea, 2003;
7. **NOVEANU, L., ORBAN, M.**, *Geometrie descriptivă și aplicații*, Editura UT Cluj-Napoca, 1997;
8. **MOCANU, R., TEODORESCU, E., PAPAE, M., PRUNDEANU, D.**, *Desen de arhitectură și sistematizare*, EDP București 1973;
9. **TĂNĂSESCU, A.**, *Geometrie descriptivă, perspectivă, axonometrie*, EDP, București, 1975.